

DIVISION DE EDUCACION CONTINUA
FACULTAD DE INGENIERIA U.N.A.M.

COMPUTACION APLICADA A LA PLANEACION URBANA

SISTEMAS DE PRONOSTICO

M. en I. Rubén Téllez Sánchez

AGOSTO, 1981

SISTEMA DE PRONÓSTICO

1.- INTRODUCCION

Para predecir los valores futuros de una variable se utilizan las series de tiempo, que son un conjunto de observaciones tomadas durante un determinado período de tiempo.

La estimación de los valores futuros de las series de tiempo se usan como base para hacer decisiones. Por ejemplo, pronosticar la demanda de productos, inventarios, predecir las características de calidad, instalaciones o equipo utilizado, fuerza de trabajo, circulante, etc.

El pronóstico de series de tiempo se aplican ampliamente en sistemas de control de inventarios, en modelos de planeación de producción total, de programación, de control de costos, de información administrativa.

Existen dos formas para estimar valores futuros de series de tiempo: predicción y pronóstico.

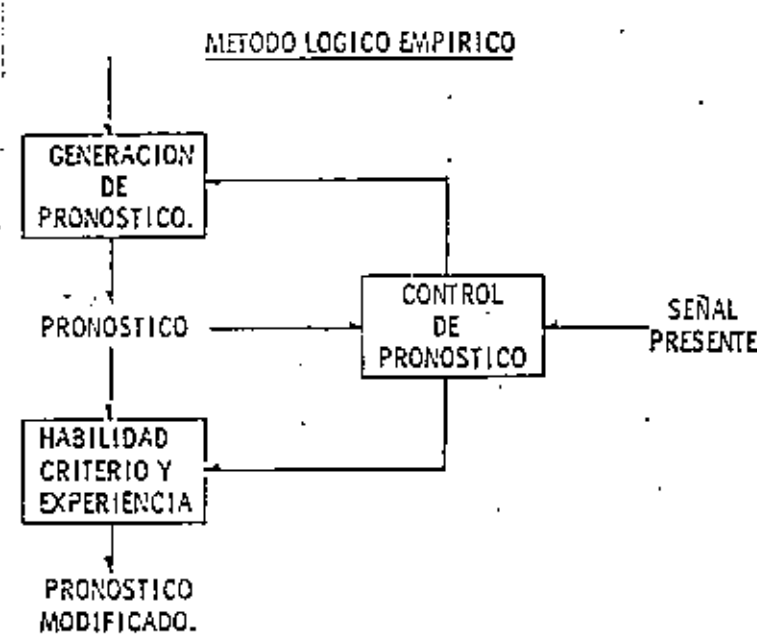
Predicción. - Predecir implica prever factores cualitativos, por ejemplo, los efectos al introducir un nuevo producto, competencia, política económica. La predicción requiere habilidad, experiencia y criterio. La predicción es un proceso subjetivo.

Pronóstico. - En el pronóstico se analizan datos del pasado para proyectarlos al futuro por medio de un modelo matemático. El pronóstico es un proceso objetivo y modificable, se conocen los factores que intervienen, y es la entrada a una predicción. Sin embargo, el pronóstico está limitado

por el tiempo.

El pronóstico de rango corto es más exacto que el de rango largo, su período futuro cuando más consta de un año. Su aplicación principal es en la programación de producción, planificación de inventarios y otras actividades. El pronóstico de rango grande tiene un período de cinco a diez años y se utiliza en las decisiones de cómo y cuándo se deben construir nuevas plantas.

Para que un pronóstico sea efectivo y eficiente, debe encajar en el sistema de control, como se muestra en la siguiente figura.



Se analizan técnicas de pronóstico para los tres tipos básicos de series de tiempo.

- a).- Proceso constante.
- b).- Tendencia lineal y cuadrática.
- c).- Variación periódica y cíclica y sus combinaciones.

Muchos modelos de series de tiempo se representan por funciones algebraicas o trascendentales de tiempo. Por ejemplo, si las observaciones son de una muestra aleatoria de alguna distribución de probabilidad y si la media de esta no cambia en el tiempo, entonces su modelo constante es:

$$x_t = a + \varepsilon_t \quad (1.1)$$

Donde a es la media desconocida y ε_t es la componente del error aleatorio. Se supone además que :

$$E(\varepsilon_t) = 0 \quad y \quad V(\varepsilon_t) = \sigma^2$$

Si la media de la distribución cambia linealmente en el tiempo, entonces el modelo de tendencia lineal es:

$$x_t = a + bt + \varepsilon_t \quad (1.2)$$

La variación cíclica se obtiene introduciendo la componente trascendental :

$$x_t = a_0 + a_1 \sin \frac{2\pi t}{T} + a_2 \cos \frac{2\pi t}{T} + \varepsilon_t \quad (1.3)$$

para 12 períodos.

Un problema de pronóstico consiste en estimar los parámetros desconocidos del modelo de series de tiempo para proyectarlos hacia el futuro. Por ejemplo, si \hat{a} y \hat{b} son los valores de los parámetros desconocidos a y b , en la ecuación 1.2; y si se está al final del período T , entonces el pronóstico para un tiempo futuro $t+T$ es:

$$\hat{x}_{t+T} = \hat{a} + \hat{b}[t+T]$$

estimando así la tendencia de las componentes \hat{a} , \hat{b} , en el período futuro.

En la mayoría de los casos, la exactitud de un pronóstico se determina utilizando la función de error para el período t , y se denota por

$$\varepsilon_t = x_t - \hat{x}_t$$

para estimar los parámetros del modelo se usa el criterio de mínimos cuadrados para minimizar el error de pronóstico.

2.- PREDICCIÓN SUBJETIVA

La metodología de predicción subjetiva es un procedimiento intuitivo, que deberá cumplir con lo siguiente :

- La solución debe de ser en un período corto de tiempo.
- Cuando la relación de beneficios futuros a el costo de técnicas sofisticadas es desfavorable para el tomador de decisiones.
- Cuando el tomador de decisiones piensa que su intuición en una situación particular es más confiable que cualquier función matemática de predicción.

Las características del Criterio subjetivo son :

- No es reproducible.
- Es único para un determinado tomador de decisiones individuales.
- Está basado en un registro de predicciones acumulado en un período de tiempo pasado.

* MODELOS ESTRUCTURALES Y ECONOMETRICOS

Un modelo estructural es un conjunto de funciones matemáticas las cuales intentan representar relaciones casuales que describen los factores que controlan la variable que desea predecir, así como los medios disponibles para el que realiza la predicción. El modelo debe ser una buena presentación de las observaciones.

Se ilustrará esta metodología con el siguiente ejemplo :

EJEMPLO : (Evaluación de proyectos de inversión en perspectiva).

Para esta evaluación se necesita primero la evaluación del beneficio futuro y por lo tanto del precio del bien que está siendo producido. Seguiremos la nomenclatura que se presenta a continuación para el análisis de nuestro problema.

Q_t^s = Cantidad suministrada al mercado en el tiempo T.

Q_t^d = Cantidad demandada en el mercado en el tiempo T.

P_t = precio en el tiempo T

w_t = Salario pagado, por hora, en la industria en el tiempo T

Y_t = Ingreso del consumidor en el tiempo T

En nuestro ejemplo consideramos que se sigue el modelo más simple en la inter-relación de la economía de la firma por lo que supondremos que el precio está determinado, en un mercado competitivo, por las funciones de oferta-demanda.

En el modelo de oferta-demanda que se postula se considera:

i) Q_t^s depende del precio P_t y de w_t

ii) Q_t^d depende del precio P_t y del ingreso Y_t del consumidor

Por lo tanto, matemáticamente el modelo es:

$$Q_t^s = f_s(P_t, w_t)$$

$$Q_t^d = f_d(P_t, Y_t)$$

Para la completa especificación de este modelo deberán realizarse las siguientes etapas.

1a. Etapa : (Especificación de las funciones f_s , f_d)

En la práctica se considera que f_s y f_d son lineales:

$$Q_t^s = \alpha_0 + \alpha_1 P_t + \alpha_2 w_t \quad (2.1)$$

$$Q_t^d = \beta_0 + \beta_1 P_t + \beta_2 Y_t \quad (2.2)$$

Donde α_i ($i=0,1,2$) y β_j ($j=0,1,2$) son coeficientes constantes, pero desconocidos.

2a. Etapa : (Inferencia de los parámetros del modelo).

Esta etapa consiste en la estimación de los valores de los coeficientes desconocidos α_i, β_j a partir de datos históricos de las variables:

$$Q_t^s, P_t, w_t, Q_t^d, Y_t$$

En esta inferencia se introducen las variables aleatorias respectivamente, las cuales representan los errores (perturbaciones) asociados en las ecuaciones teóricas propuestas.

Se considera que $\varepsilon_{s,t}$ y $\varepsilon_{d,t}$ son variables aleatorias con media cero.

$$Q_t^s = \alpha_0 + \alpha_1 P_t + \alpha_2 w_t + \varepsilon_{s,t} \quad (2.3)$$

$$Q_t^d = \beta_0 + \beta_1 P_t + \beta_2 Y_t + \varepsilon_{d,t} \quad (2.4)$$

α_i y β_j se determinan por medio de la técnica de regresión.

Observaciones :

i). - como el modelo formado por las ecuaciones (2.3), (2.4), se origina en un contexto económico, también es llamado un modelo econométrico.

ii). - la estimación de los coeficientes es un problema en la aplicación de la teoría de la econometría.

3a. Etapa (Predicción de los precios futuros).

Suponiendo que son dados los valores futuros de w_t , Y_t , $\varepsilon_{s,t}$, $\varepsilon_{d,t}$ y se desea conocer valores futuros de precio y cantidades suministradas y demandadas en el mercado, como en el sistema (2.3.), (2.4.), se tienen tres incógnitas Q_t^s, Q_t^d, P_t y dos ecuaciones, se puede resolver este sistema usando la condición de equilibrio en un mercado competitivo perfecto:

$$Q_t^s = Q_t^d$$

$$P_t = \frac{(\beta_0 + \beta_1 Y_t + \varepsilon_{d,t}) - (\alpha_0 + \alpha_1 w_t + \varepsilon_{s,t})}{(\alpha_2 - \beta_2)}$$

Observaciones:

i). - En la práctica no se tiene información sobre los errores (perturbaciones), se puede considerar que son iguales a:

$$E(\varepsilon_{s,t}) = 0$$

$$E(\varepsilon_{d,t}) = 0$$

ii). - w_t y y_t se consideran conocidas o bien que han sido determinadas fuera del modelo (variables exógenas).

Su determinación podría ser otro problema de predicción o se usaría predicciones subjetivas (intuitivas) para considerar al salario y al ingreso como entradas al modelo. Sin embargo, en esta última situación, también podría preferirse confiar directamente en una predicción intuitiva del precio, ya que probablemente se tenga más confianza en nuestro "sentimiento", que tenemos sobre nuestro mercado que en magnitudes tan relativas e intangibles como el ingreso del consumidor.

Fuentes de error en la predicción cuando se emplea el modelo estructural

i). - Salarios e ingresos futuros diferirán de los valores supuestos cuando el modelo sea resuelto para obtener predicciones.

ii). - Valores reales de perturbancias (errores) futuros diferirán de cero.

iii). - Error de muestreo que se presenta en la estimación de los coeficientes en la etapa segunda.

iv). - Error de especificación del modelo, es decir, la estructura misma puede ser deficiente en algún aspecto, por ejemplo la relación de oferta-demanda podría ser no-lineal, en lugar de lineal como se supuso.

3.- TECNICA DE REGRESION

Técnicas de regresión para estimar los parámetros de algunos modelos de series de tiempo.

Primeramente se analiza un caso particular del modelo general lineal. - Este caso particular es de forma :

$$x_t = \alpha + \beta t + \varepsilon_t \quad (3.1)$$

cuyas componentes de error son $E(\varepsilon_t) = 0$, $V(\varepsilon_t) = \sigma^2$ y $\text{Cov}(\varepsilon_i, \varepsilon_j) = 0$, para $i \neq j$.

El modelo lineal general para los parámetros α_i , se presenta por

$$x_t = \sum_{i=1}^n \alpha_i f_i(t) + \varepsilon_t \quad (3.2)$$
$$t = 1, 2, \dots, T$$

donde α_i es el coeficiente de los T -ésimos términos del modelo y las variables independientes $f_i(t)$ son funciones del tiempo.

El modelo general comprende varios casos que se presentan en la práctica, uno los siguientes :

$$x_t = \alpha_0 + \alpha_1 t + \alpha_2 t^2 + \varepsilon_t$$

$$x_t = \alpha_0 + \alpha_1 t + \alpha_2 \sin 2\pi t + \alpha_3 e^{-t} + \varepsilon_t$$

Notese, que ambos modelos son lineales en los parámetros α_i , y se puede usar regresión múltiple para estimarlos.

3.1. MODELO LINEAL SIMPLE

Definición Sea $A = \{1, 2, \dots, T\}$ el conjunto indicador histórico de la serie. $\{x_t : t \in A\}$

El modelo lineal simple para la serie de tiempo $\{x_t : t \in A\}$ se define por la relación

$$x_t = \alpha + \beta t + \varepsilon_t \quad t \in A \quad (3.3)$$

y debe satisfacer las siguientes suposiciones sobre la variable aleatoria ε_t , que representa al error del pronóstico cuando se usa la ecuación (3.3) :

i) $E(\varepsilon_t) = 0$ (i.e., el promedio de error es cero).

ii) $V(\varepsilon_t) = \sigma^2$ (i.e., la variancia del error es constante e igual a σ^2).

iii) $\text{Cov}(\varepsilon_i, \varepsilon_j) = 0$, para $i \neq j$ (i.e., los errores son variables aleatorias no relacionadas).

El siguiente teorema ilustra la forma de estimar los parámetros \hat{a} y \hat{b} del modelo (3.3), usando el criterio de mínimos cuadrados, y también proporciona el método de obtener el pronóstico para un tiempo futuro $T + \tau$.

TEOREMA. Sea $\{x_t : t \in A\}$ una serie de tiempo con $A = \{1, 2, \dots, T\}$ como conjunto indicador histórico. Si el modelo elegido para esta serie es de la forma (3.3), entonces:

$$\hat{a} = \frac{2(2T+1)}{T(T-1)} \sum_{t=1}^T x_t - \frac{6}{T(T-1)} \sum_{t=1}^T t x_t \equiv \hat{a}(T) \quad (3.4)$$

$$\hat{b} = \frac{12}{T(T^2-1)} \sum_{t=1}^T t^2 x_t - \frac{6}{T(T-1)} \sum_{t=1}^T x_t \equiv \hat{b}(T) \quad (3.5)$$

ii) el pronóstico para un tiempo futuro $T + \tau$, es:

$$\hat{x}_{T+\tau} = \hat{a}(T) + \hat{b}(T)[T + \tau] \quad (3.6)$$

Demonstración:

El criterio de mínimos cuadrados, consiste en elegir aquellos valores de \hat{a} y \hat{b} que minimizan la suma de los cuadrados de los residuos, la cual se indica por SSE , i.e.,

$$SSE = \sum_{t=1}^T [x_t - \hat{a} - \hat{b}t]^2$$

Para minimizar SSE , \hat{a} , \hat{b} deberán satisfacer que

$$\frac{\partial SSE}{\partial \hat{a}} = -2 \sum_{t=1}^T [x_t - \hat{a} - \hat{b}t] = 0 \quad \text{y} \quad \frac{\partial SSE}{\partial \hat{b}} = -2 \sum_{t=1}^T [x_t - \hat{a} - \hat{b}t](t) = 0$$

Estas dos condiciones dan origen a dos ecuaciones en las incógnitas \hat{a} y \hat{b} que al resolverlas, se obtienen los resultados mostrados en la parte i) del Teorema. Para la demostración de la parte ii) basta con sustituir los valores de los estimadores \hat{a} , \hat{b} en el modelo lineal simple, y evaluar \hat{x}_t en el tiempo $t = T + \tau$.

Observación:

Los valores de los estimadores \hat{a} y \hat{b} , se calcularán en base a un número T de datos históricos, por lo que su valor

depende de este número T de datos disponibles. Por esta razón los valores de \hat{a} y \hat{b} se han indicado por $\hat{a}(T)$ y $\hat{b}(T)$ para hacer incapie que están calculados en base a un número T de datos.

Ejemplo:

El registro de la demanda semanal de un producto nuevo es mostrado en la siguiente tabla. Estos datos se usan para estimar los parámetros en el modelo de tendencia lineal.

Semana (t)	Demandada (x_t)
1	10
2	12
3	15
4	18
5	20

Aplicando la primera parte del Teorema anterior se tiene:

$$\sum_{t=1}^5 x_t = 75 \quad \sum_{t=1}^5 t x_t = 251$$

$$\hat{a} = \frac{2(4)}{5(4)} (75) - \frac{6}{5(4)} (251) = 7.2$$

$$\hat{b} = \frac{12}{5(24)} (251) - \frac{6}{5(4)} (75) = 2.6$$

Aplicando la segunda parte del Teorema, la ecuación del pronóstico es:

$$\hat{x}_{5+\tau} = 7.2 + 2.6(5 + \tau)$$

El pronóstico de la demanda para la siguiente semana, es decir $\tau = 1$, es:

$$\hat{x}_6 = 7.2 + 2.6(6) = 22.8 \approx 23.$$

3.2-1. MODELO GENERAL LINEAL.

Definición.- El modelo general lineal se define por la relación:

$$x_t = \sum_{i=1}^n \alpha_i f_i(t) + \epsilon_t, \quad t \in A, \quad t=1,2,\dots,T \quad (3.7)$$

donde $A = \{1, \dots, T\}$ es el conjunto indicador histórico, las α_i son los parámetros de regresión, $f_i(t)$ son funciones independientes del tiempo, y se cumplen las siguientes condiciones: $E(\epsilon_t) = 0$, $V(\epsilon_t) = \sigma^2_\epsilon$ y $Cov(\epsilon_i, \epsilon_j) = 0$, para $i \neq j$.

NOTAS: Representaciones matriciales:

i) Representación matricial del modelo general lineal (3.7):

Sea $\alpha = (\alpha_i)$ un vector columna $n \times 1$,
 $f(t) = (f_1(t), \dots, f_n(t))'$ un vector columna $n \times 1$,
 $x(t) = (x_i)$ un vector renglón $1 \times T$,
 $\epsilon(t)$ un vector renglón $1 \times T$, y
 F una matriz definida por:

$$F = \begin{bmatrix} f_1(1) & f_1(2) & \dots & f_1(T) \\ f_2(1) & f_2(2) & \dots & f_2(T) \\ \vdots & & & \\ f_n(1) & f_n(2) & \dots & f_n(T) \end{bmatrix}$$

La notación $\bar{\alpha}$ indica la transpuesta de α .

La relación (3.7) se puede expresar matricialmente por cualquiera de las siguientes formas:

$$x_t = \bar{\alpha}' f(t) + \epsilon_t, \quad t \in A \quad (3.8)$$

$$x = \bar{\alpha}' F + \epsilon \quad (3.9)$$

ii) Representación matricial del residuo:

sea $\hat{\alpha} = (\hat{\alpha}_i)$ un vector $n \times 1$, un estimador de

$$\alpha = (\alpha_i)$$

$$\text{sea } \hat{\epsilon}_t = x_t - \hat{x}_t = x_t - \hat{\alpha}' f(t), \quad t \in A \quad (3.10)$$

el t -ésimo residuo.

Si $e = (e_t)$ es un vector $1 \times T$, la representación matricial del residuo, i.e. de la ecuación (3.10) es

$$e = x - \bar{\alpha}' F \quad (3.11)$$

iii) Representación matricial de la suma con prioridades de los cuadrados de los residuos:

$$\text{Sea: } SSE = \sum_{t=1}^T w_{tt} e_t^2 \quad (3.12)$$

la suma con prioridades de los cuadrados de los residuos, donde w_{tt} es el factor de prioridad asociado al t -ésimo residuo.

Si W es una matriz definida por:

$$W = \begin{bmatrix} w_{11} & 0 & \dots & 0 & 0 \\ 0 & w_{22} & \dots & 0 & 0 \\ \vdots & & & & \\ 0 & 0 & \dots & 0 & w_{TT} \end{bmatrix}$$

entonces la representación matricial de SSE es:

$$\begin{aligned} SSE &= (eW)(eW)' = eWw'e = eW^2e = (x - \bar{\alpha}' F)W^2(x - \bar{\alpha}' F)' = \\ &= xW^2x' - \bar{\alpha}' FW^2x' - xW^2F' \bar{\alpha}' + \bar{\alpha}' FW^2F' \bar{\alpha}' \quad (3.13) \end{aligned}$$

El estimador de mínimos cuadrados debe satisfacer que

$$\frac{\partial SSE}{\partial \bar{\alpha}} = -2FW^2x' + 2FW^2F'\bar{\alpha} = 0$$

∴ la ecuación normal de mínimos cuadrados es:

$$FW^2F'\bar{\alpha} = FW^2x' \quad \text{o} \quad G\bar{\alpha} = g.$$

TEOREMA. Para el modelo general lineal (3.7) se tiene:

a) el estimador $\hat{\alpha}' = (\hat{\alpha}_i)$ de $\alpha = (\alpha_i)$, usando el

el criterio de mínimos cuadrados es:

$$\hat{\alpha} = G^{-1} g \Rightarrow \hat{\alpha}(T) \quad (3.16)$$

donde $G = (FW)(FW)'$ es la matriz de los cuadrados de los pesos.

y $g = FW^2 x'$ es el vector dato suma de los pesos.

En notación escalar:

$$G_{ij} = \sum_{t=1}^T w_{it}^2 f_i(t) f_j(t), \text{ para } i, j = 1, 2, \dots, n$$

$$\hat{\alpha}_i = \sum_{t=1}^T w_{it}^2 x_t f_i(t), \text{ para } i = 1, 2, \dots, n$$

b) el pronóstico para un tiempo futuro $T+\tau$, es:

$$x_{T+\tau} = \hat{\alpha}'(T) f(T+\tau) \quad (3.17)$$

c) el estimador $\hat{\alpha}$ es insesgado, i.e.

$$E(\hat{\alpha}) = E(G^{-1}g) = (FW^2F')^{-1}FW^2E(x') = F'^{-1}F'FF'a = a$$

$$\therefore E(\hat{\alpha}) = a$$

Variancia-covariancia

d) la matriz de variancia-covariancia del estimador $\hat{\alpha}$ es:

$$V = E(\hat{\alpha} - a)(\hat{\alpha} - a)' = \sigma_e^2 G^{-1} F W^2 (F W^2)' G^{-1} \quad (3.18)$$

Si W es la matriz unitaria (i.e. todos los datos reciben los mismos pesos), entonces:

$$V = \sigma_e^2 G^{-1} = \sigma_e^2 (FF')^{-1} \quad (3.19)$$

e) Si σ_e^2 es desconocido, un estimador él, es

$$\sigma_e^2 = \frac{e'e'}{T-n} = \frac{\sum_{t=1}^T (x_t - \hat{x}_t)^2}{T-n} \quad (3.20)$$

4.- TECNICAS DE PROMEDIOS MOVILES.

Existen dos técnicas de pronósticos basadas en promedios móviles. La técnica de promedios móviles consiste en aplicar el criterio de mínimos cuadrados a un conjunto de datos históricos de tamaño fijo, donde a cada dato se le asigna el mismo factor de prioridad (o peso). Se analizarán las técnicas de promedios móviles para procesos constantes y de tendencia lineal.

4.1 PROCESOS CONSTANTES.

Definición: un proceso constante para la serie en el tiempo $\{x_t : t \in A\}$ es un modelo de la forma

$$x_t = a + \epsilon_t \quad (4.1)$$

donde a es un parámetro desconocido, constante en cualquier segmento local de tiempo, pero es posible que en diferentes intervalos largos de tiempo varíe. ϵ_t es una variable aleatoria tal que:

$$E(\epsilon_t) = 0, \quad V(\epsilon_t) = \sigma_e^2.$$

TECNICA de promedios móviles simples.

Teorema: Para el proceso constante (4.1) se tiene que:

i) el estimador $\hat{\alpha}$ de a , tomando únicamente N de los T datos del conjunto indicador histórico $A = \{t : t = 1, 2, \dots, T\}$, y usando el criterio de mínimos cuadrados está dado por:

$$\hat{\alpha} = \frac{1}{N} \sum_{t \in A} x_t = M_T \quad (4.2)$$

o por su forma alternativa:

$$M_T = M_{T-1} + \frac{x_T - x_{T-N}}{N}$$

ii) el pronóstico para un tiempo futuro $T+\tau$, es:

$$x_{T+\tau} = \hat{\alpha} = M_T \quad (4.4)$$

Desarrollando usando el criterio de mínimos cuadrados y considerando que sólo se usarán los N más recientes datos del conjunto histórico se tiene que la suma de los cuadrados de los residuos, SSE , está dada por:

$$SSE = \sum_{t=T-N+1}^T (x_t - \hat{a})^2$$

El valor de \hat{a} que minimiza SSE , y satisface que $\frac{\partial SSE}{\partial \hat{a}} = 0$, lo cual implica (4.2).

Observación.

El estimador M_T para \hat{a} , es el promedio de las N más recientes observaciones del conjunto histórico $\{x_t : t \in A\}$. Por esta razón, M_T se le llama promedio móvil de periodo N . En cada período la observación más vieja es descartada y la más nueva es añadida al conjunto.

Ejemplo: la demanda de un gato hidráulico en los últimos 6 días es:

$$\begin{aligned} x_1 &= 19, x_2 = 24, x_3 = 22, x_4 = 19, x_5 = 20 \\ x_6 &= 16. \end{aligned}$$

El estimador M_6 para \hat{a} es:

$$M_6 = \frac{1}{6} [19 + 24 + 22 + 19 + 20 + 16] = 20$$

por lo tanto, $\hat{a} = M_6 = 20$.

El pronóstico para el siguiente día es $\hat{x}_7 = \hat{a} = 20$.

Suponiendo que al otro día se observa una demanda $x_7 = 20$, entonces eliminando x_1 y agregando x_7 para obtener un nuevo estimador:

$$M_7 = \frac{1}{6} [24 + 22 + 19 + 20 + 16 + 22] = 20.5$$

ó usando la ecuación (3.22)

$$M_T = M_{T-1} + \frac{x_T - x_{T-N}}{N} \quad \therefore M_7 = 20 + \frac{22 - 19}{6} = 20.6$$

NOTA: El comportamiento del método de promedio móvil es una función de N , el número de observaciones que se desean promediar. Se aconseja cuando es conveniente elegir un valor grande de N y cuando un valor pequeño.

i) Si el parámetro α del proceso cambia subitamente de un valor $\alpha = \alpha_1$ a otro $\alpha = \alpha_2$, se necesitará que N sea pequeña para que al calcular M_T no se tomen datos muy viejos ya que éstos no proporcionarán una buena evaluación del nuevo parámetro $\alpha = \alpha_2$. Obsérvese que, si se elige un valor grande de N entonces se estarán tomando los primeros datos los cuales ya no representan el comportamiento del proceso. Por esta razón se dice que cuando N es grande, el método de promedios móviles reacciona lentamente a cambios súbitos del parámetro α del proceso.

ii) Si el parámetro α del proceso no cambia, entonces se desea que N sea grande, ya que para N grande se obtendrá un estimador \hat{a} con menor variancia, puesto que:

$$V(\hat{a}) = V_e^2/N \rightarrow 0, \text{ cuando } N \rightarrow \infty,$$

lo cual es una característica deseable para un estimador.

4.2- PROCESOS CON TENDENCIA LINEAL.

Definición: Un proceso con tendencia lineal para la serie de tiempo $\{x_t : t \in A\}$, es un modelo de la forma:

$$x_t = a + bt + E_t \quad (4.5)$$

donde a , b son parámetros constantes desconocidos en cualquier intervalo de tiempo, y E_t es una variable aleatoria con $E(E_t) = 0$ y $V(E_t) = \sigma_e^2$.

TECNICA DE PROMEDIOS MOVILES DOBLES

TEOREMA: Para el proceso constante lineal (4.5), se tiene:

- 1.- Si \hat{a} y \hat{b} son estimadores de a y b ; y $\hat{a}' = \hat{a} + \hat{b}\bar{t}$,
donde

$$\bar{t} = \frac{1}{N} \sum_{t=T-N+1}^T t, \text{ entonces: } \hat{a}'(T) = \hat{a}' = \frac{1}{N} \sum_{t=T-N+1}^T X_t = M_T \quad (4.6)$$

$$\hat{b}(T) = \hat{b} = \frac{12}{N(N^2-1)} \left[\frac{N-1}{2} X_T + \frac{N-3}{2} X_{T-2} + \dots + \frac{N-3}{2} X_{T-N+2} - \frac{N-1}{2} X_{T-N+1} \right] W_T \quad (4.7)$$

- 2.- Las fórmulas recursivas para los estimadores $\hat{a}'(T)$ y $\hat{b}(T)$

Son:

$$\hat{a}'(T) = M_T = M_{T-1} + \frac{1}{N} (X_T - X_{T-N}) \quad (4.8)$$

$$\hat{b}(T) = W_T = W_{T-1} + \frac{12}{N(N^2-1)} \left[\frac{N-1}{2} X_T + \frac{N-1}{2} X_{T-N} - N M_{T-1} \right] \quad (4.9)$$

- 3.- Si se desea encontrar \hat{a} en lugar de \hat{a}' , entonces:

$$\hat{a}(T) = M_T - W_T \left(T - \frac{N-1}{2} \right) \quad (4.10)$$

- 4.- El pronóstico para un tiempo futuro $T+\tau$, se puede calcular por cualquiera de las siguientes fórmulas:

$$\begin{aligned} i) \hat{X}_{T+\tau} &= \hat{a}(T) + \hat{b}(T)(T+\tau) = \hat{a}'(T) + \hat{b}(T) \left[\frac{N-1}{2} + \tau \right] = \\ &= M_T + W_T \left[\frac{N-1}{2} + \tau \right] \end{aligned} \quad (4.11)$$

$$ii) \hat{X}_{T+\tau} = \hat{X}_T + \hat{b}(T)\tau = 2M_T - M_T^{[2]} + \tau \left(\frac{2}{N-1} \right) (M_T - M_T^{[2]}) \quad (4.12)$$

donde:

$$M_T = \frac{1}{N} \sum_{t=T-N+1}^T X_t \quad (4.13)$$

$$M_T^{[2]} = \frac{1}{N} \sum_{t=T-N+1}^T M_t \quad (4.14)$$

$$= M_{t-1}^{[2]} + \frac{1}{N} [M_t - M_{t-N}]$$

ala cantidad $M_T^{[2]}$ se le llama promedio móvil doble.
A las cantidades M_T se les llaman promedio móvil simple.

Ejemplo: Las ventas semanales de un acondicionador de aire de 5000 BTU se encuentran en la segunda columna de la siguiente tabla:

semana	demandas	M_t	$M_t^{[2]}$	\hat{X}_t
1	10			
2	12			
3	15			
4	17			
5	16	13.4		
6	19	15.2		
7	18	16.4		
8	21	17.6		
9	23	17.4	16.40	
10	20	17.2	17.76	23.70
11	22	18.8	18.85	23.86
12	24	20.0	20.00	23.00
13	23	22.4	20.76	24.56
14	21	22.0	21.48	22.78
15	25	23.0	22.04	24.44

El proceso que genera estos datos puede ser adecuadamente aproximado por un modelo de tendencia lineal, y para pronosticar las ventas en la siguiente semana, se utiliza un promedio móvil doble de cinco semanas. Los promedios móviles simples M_t se calculan para cada semana desde $t=5, 6, \dots, 15$, y se muestran en la tercera columna. Los promedios móviles $M_t^{[2]}$ se calculan usando (4.14) o (4.15) para $t=5, 10, \dots, 15$. Los pronósticos hechos al final de la semana t , para la siguiente semana se calculan con la ecuación (4.12) para $\tau=1$, y se muestran en la última columna para el período $t+1$.

Por ej.,

$$\hat{X}_{10} = 2M_9 - M_9^{(2)} + (1)(\frac{2}{4})(M_7 - M_7^{(2)}) =$$

$$= 2(19.4) - (16.40) + \frac{1}{2}(19.4 - 16.4) = 23.70$$

$$\hat{X}_{11} = 2M_{10} - M_{10}^{(2)} + (1)(\frac{2}{4})(M_9 - M_9^{(2)}) = 2(20.2) - (17.76) + \frac{1}{2}(20.2 - 17.76) = 23.86$$

ii) Si $\alpha = 1 - \beta$, entonces $\hat{\theta} = S_T$, está dada por

$$S_T = \alpha X_T + (1 - \alpha) S_{T-1} \quad (5.3)$$

La operación definida por (5.3) es llamada suavización exponencial simple, al valor S_T se le llama valor平滑化 o estimador de suavización, y a la constante α se le llama constante de suavización.

iii) Otra expresión para encontrar $\hat{\theta} \in S_T$, es

$$S_T = \alpha \sum_{k=0}^{T-1} \beta^k X_{T-k} + \beta^T S_0 \quad (5.4)$$

donde $\alpha = 1 - \beta$, $i = 2, 3, \dots$

5 - TÉCNICAS DE SUAVIZACIÓN EXPONENCIAL.

Las técnicas de suavización exponencial, que en seguida se analizan, son las más ampliamente usadas debido a su exactitud y eficiencia computacional. En el desarrollo de estas técnicas se usa el criterio de mínimos cuadrados con pesos (prioridades).

5.1. - SUAVIZACIÓN EXPONENCIAL SIMPLE PARA UN PROCESO CONSTANTE.

Técnica de suavización exponencial simple para un proceso constante.

Teorema

$$x_t = \theta + e_t \quad t \in A = \{1, 2, \dots, T\} \quad (5.1)$$

e_t = componente del error aleatorio.

Se supone $E(e_t) = 0$, $V(e_t) = \sigma_e^2$, es decir, como se definió por (4.1), se tiene:

1. El estimador $\hat{\theta} = \hat{\theta}(T) = S_T$ del parámetro θ , se puede calcular por cualquiera de las siguientes 3 ecuaciones:

$$1) \hat{\theta} = \frac{(1-\beta)}{(1-\beta^{T-1})} \sum_{t=1}^T \beta^{T-t} x_t = \hat{\theta}(T) = S_T \quad (5.2)$$

donde β es una constante dada entre 0 y 1.

El proceso da un estimador inservido de θ , puesto que

$$E(S_T) = E\left[\alpha \sum_{k=0}^{T-1} \beta^k X_{T-k}\right] = \alpha \sum_{k=0}^{T-1} \beta^k E[X_{T-k}] = \alpha \sum_{k=0}^{T-1} \beta^k \theta = \theta.$$

2. El pronóstico para un tiempo futuro $T+t$, en base a un conjunto histórico indicado $A[t : t=1, 2, \dots, T]$, es

$$\hat{x}_{T+t} = S_T \quad (5.5)$$

Demonstración. El criterio de mínimos cuadrados con prioridades para encontrar el estimador $\hat{\theta}$, consiste en elegir aquel valor $\hat{\theta}$ que minimice la suma con prioridades (pesos) de los cuadrados de los residuos:

$$SS_E = \sum_{t=1}^T \beta^{T-t} e_t^2 = \sum_{t=1}^T \beta^{T-t} (x_t - \hat{x}_t)^2$$

$$SS_E = \sum_{t=1}^T \beta^{T-t} (x_t - \hat{\theta})^2, \quad 0 < \beta < 1$$

donde β^{T-t} es el peso (o prioridad) dado al residuo e_t .

Derivando SS_E con respecto a al valor $\hat{\theta}$, e igualando a cero se obtiene el resultado (5.2). El resultado (5.3) se obtiene realizando operaciones algebraicas en la ecuación (5.2). Existe un procedimiento heurístico para obtener el resultado (5.3), que se usa frecuentemente. (ver referencia 9).

Observaciones:

- 1.- Otra nombre para la técnica de suavización exponencial simple, es suavización exponencial de primer orden.
- 2.- La ecuación que en la práctica se utiliza para estimar $\hat{S} \equiv S_T$, es la ecuación (5.3). Para aplicar esta ecuación se requiere conocer el valor de la constante α . El valor que se elige de α es, generalmente, entre 0.1 y 0.30. El criterio para seleccionar este valor se presentará más adelante.
- 3.- La técnica de suavización exponencial requiere del conocimiento de un valor inicial S_0 , para emplear la fórmula (5.3), de forma iterativa (ver la ecuación 5.4). Si se tienen datos históricos disponibles, S_0 se puede tomar como el promedio de los más recientes datos. Si no existen datos históricos confiables, entonces se hará un pronóstico subjetivo de S_0 .

Ejemplo: Un contratista desea pronosticar el número de instalaciones de calentadores de agua por semana. Él tiene los siguientes datos disponibles:

semana (t)	1	2	3	4	5	6	7	8	9	10
No. de instalaciones	15	18	10	12	20	17	22	16	14	20

Examinando graficamente los datos, él decide suponer un modelo constante y utilizar suavización exponencial simple. Suponiendo arbitrariamente que $\alpha = 0.1$, entonces

$$S_{11} = (0.1) X_{11} + (0.9) S_{10}$$

Sin embargo, no hay un valor inicial S_{10} (notese que S_{10} representa a S_0 , si redefinimos el origen del eje del conjunto indicador histórico como $t=10$). Para estimar el valor inicial S_0 , se tomará el promedio de las demandas de las diez primeras semanas, que es igual a 16.6. Por lo tanto, es razonable considerar:

$$S_{10} = 16.6 \approx 17$$

Entonces el promedio para cualquier tiempo futuro $10+t$, será:

$$\hat{X}_{10+t} = S_{10} = 17$$

Suponga que el número real de instalaciones en la semana 11 fue de 15. Entonces:

$$S_{11} = \alpha X_{11} + (1-\alpha) S_{10}$$

$$S_{11} = (0.1)(15) + (0.9)(16.60) = 16.44 \approx 16$$

y el pronóstico para un tiempo futuro $11+t$, basandose en un conjunto indicador histórico $A = \{t: t=1, 2, \dots, 11\}$, es:

$$\hat{X}_{11+t} = S_{11} = 16.44 \approx 16$$

En la siguiente Tabla aparecen los pronósticos para períodos de tamaño $t=1$, contra los valores reales de las instalaciones de calentadores:

Demandas y pronósticos de instalaciones de calentadores de agua.

semana (t)	X_t	S_t	\hat{X}_t
1	15		
2	18		
3	10		
4	12		
5	20		
6	17		
7	22		
8	16		
9	14		
10	20	16.60	
11	15	16.44	17
12	12	16.00	16
13	16	16.00	16
14	20	16.44	16
15	22	16.76	16
16	17	16.76	17
17	15	16.76	17
18	10	16.09	17
19	14	16.09	16
20	20	16.46	16
21	17	16.31	16
22	24	17.43	17
23	18	17.50	17
24	15	17.25	17
25	20	17.53	17

-26-

SECCION 5.2. SUAVIZACION EXPONENCIAL DOBLE PARA PROCESOS CON TENDENCIA LINEAL.

Técnica de suavización exponencial doble.

Término.- Para un proceso con tendencia lineal.

$$x_t = a + bt + \epsilon_t \quad t \in A = \{1, 2, \dots, T\}$$

como el definido por (4.5),

se tiene:

1- Los estimadores \hat{a} , \hat{b} de a y b son respectivamente

$$\hat{b} = \frac{\sum}{\beta} (S_T - S_T^{(2)}) = \hat{L}(T) \quad (5.6)$$

$$\hat{a} = 2S_T - S_T^{(2)} - T \frac{\alpha}{\beta} [S_T - S_T^{(2)}] = \hat{a}(T) \quad (5.7)$$

$$\text{donde } S_T = \alpha x_T + (1-\alpha) S_{T-1}, \quad (5.8)$$

$$\text{y } S_T^{(2)} = \alpha S_T + (1-\alpha) S_{T-1}^{(2)} \quad (5.9)$$

A $S_T^{(2)}$ se le llama estimador doblemente suavizado exponencialmente. La notación $S_T^{(2)}$ no significa que S_T se eleva al cuadrado, sino que es un símbolo para indicar el resultado de la ecuación (5.9).

2- El pronóstico para un tiempo futuro $T+t$, usando suavización exponencial doble se calcula por:

$$\hat{x}_{T+t} = \hat{x}_T + t\hat{b}(T) \quad (5.10)$$

$$\hat{x}_{T+t} = (2+\gamma) S_T - (1+\gamma) S_T^{(2)} \quad (5.11)$$

$$\text{donde } \gamma = t(\alpha/\beta) \quad (5.12)$$

3- Los valores iniciales S_0 y $S_0^{(2)}$, para iniciar la suavización exponencial doble se calculan por:

$$S_0 = \hat{a}(0) - \frac{\rho}{\alpha} \hat{b}(0) \quad (5.13)$$

$$S_0^{(2)} = \hat{a}(0) - 2 \frac{\rho}{\alpha} \hat{b}(0) \quad (5.14)$$

-27-

donde $\hat{a}(0)$ y $\hat{b}(0)$ son estimados de datos históricos usando regresión lineal. Si no se dispone de datos históricos entonces se estimaciones subjetivas de $\hat{a}(0)$ y $\hat{b}(0)$.

Ejemplo: Un analista de investigaciones de operaciones de un centro de cómputo de tiempo compartido, desea pronosticar los ingresos para su compañía ha estado en operación dos años, sin embargo, al considerar que los ingresos de estos dos años no indican las operaciones comerciales actuales, ya que la compañía no ha llegado a estar completamente establecida. El piensa que los ingresos se incrementarán linealmente con el tiempo, y además sus mejores estimaciones subjetivas para los parámetros de esta relación lineal son (en miles de dólares): $\hat{a}(0) = 75$ y $\hat{b}(0) = 1.0$. El analista decide usar suavización exponencial doble con $\alpha = 0.1$. Usando estos estimadores, los valores iniciales requeridos para la suavización exponencial son:

$$S_0 = 75 - \frac{(0.9)}{(0.1)}(1) = 86$$

$$S_0^{(2)} = 75 - 2 \frac{(0.9)}{(0.1)}(1) = 77$$

Por lo tanto, el pronóstico (en miles de dólares) para el mes 1 es:

$$\hat{x}_1 = \left[2 + (1) \frac{(0.1)}{(0.9)} \right] S_0 - \left[1 + (1) \frac{(0.1)}{(0.9)} \right] S_0^{(2)} =$$

$$= (2.11)(86) - (1.11)(77) = 95.999 \approx 96$$

Suponga que el ingreso real en el mes 1 fue 98, entonces los estimadores suavizados serían:

$$S_1 = \alpha x_1 + (1-\alpha) S_0 = (0.1)(98) + (0.9)(86) = 87.20$$

$$S_1^{(2)} = \alpha S_1 + (1-\alpha) S_0^{(2)} = (0.1)(87.20) + (0.9)(77) = 78.02$$

y el pronóstico para el 2do año sería:

$$\hat{x}_2 = (2.11) S_1 - (1.11) S_0^{(2)} = (2.11)(87.20) - (1.11)(78.02) = 96.399 \approx 96$$

-28-

Los ingresos mensuales para el siguiente año y sus pronósticos se presentan en la siguiente tabla, y graficados en la fig. 5.1

Pronósticos de ingresos mensuales usando el método de Winter.

Mes (<i>t</i>)	x_t	s_t	$s_t^{(12)}$	\hat{x}_t
0	96	86.50	77.00	
1	98	87.30	78.02	96
2	94	87.88	79.01	97
3	97	88.77	80.00	98
4	104	90.49	81.05	99
5	108	92.24	82.17	101
6	100	93.02	83.26	103
7	106	94.32	84.36	104
8	104	95.29	85.45	105
9	118	97.56	86.56	106
10	109	98.20	87.67	108
11	102	99.03	88.78	111
12	116	100.73	90.16	110

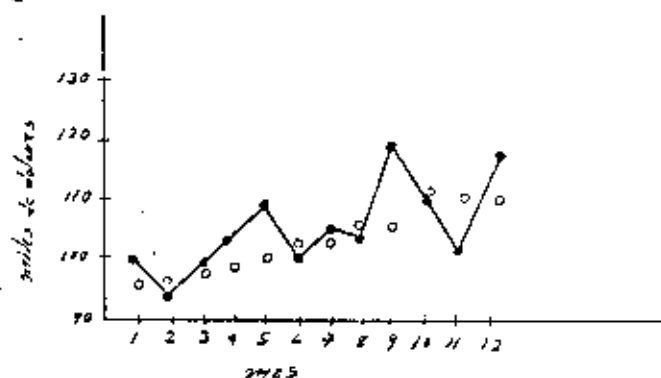


fig. 5.1

• = ingresos actuales.
○ = pronóstico.

5.3.- MÉTODO DE WINTER PARA VARIACIONES ESTACIONALES.

Para el pronóstico de una serie de tiempo con variación estacional se usa el método de winter.

Teorema. Considerando un modelo estacional cuya estación es *L*, está formado por *L* períodos, y que sigue la relación:

$$x_t = (a + b t) c_t + e_t \quad (5.15)$$

donde

a es la señal base y se le llama componente permanente.
b es la componente de tendencia lineal.

e_t es la componente del error aleatorio.

c_t es la componente estacional (o factor estacional) para el período *t*, y satisface:

$$\sum_{t=1}^L c_t = L \quad (5.16)$$

I - El procedimiento para revisar periódicamente los estimadores de los parámetros del modelo y hacer el pronóstico, se presenta a continuación. Al final de cualquier período *T*, después de observar *x_T*, se realizan los siguientes pasos:

i) Se revisa (se estima) el estimador de la componente permanente:

$$\hat{a}(T) = \alpha \left[\frac{x_T}{c_{T-L}} \right] + (1-\alpha) [\hat{a}(T-1) + \hat{b}(T-1)] \quad (5.17)$$

donde $0 < \alpha < 1$, es una constante de suavización.

ii) Se revisa el estimador de la componente de tendencia:

$$\hat{b}(T) = \beta [\hat{a}(T) - \hat{a}(T-1)] + (1-\beta) \hat{b}(T-1) \quad (5.18)$$

donde $0 < \beta < 1$, es una segunda constante de suavización.

iii) Se revisa el estimador del factor estacional para el período *T*:

$$c_T(T) = \gamma \left[\frac{x_T}{\hat{a}(T)} \right] + (1-\gamma) \hat{c}_{T-L} \quad (5.19)$$

donde $0 < \gamma < 1$, es la tercera constante de suavización.

iv) El método para cualquier período $T+t$, es:

$$\hat{x}_{T+t} = [\hat{a}(T) + t \hat{b}(T)] \hat{c}_{T+t} (T+t-L) \quad (5.20)$$

2. Los valores iniciales $\hat{a}(0)$, $\hat{b}(0)$ y $\hat{c}_t(0)$ para $t=1, 2, \dots, L$, necesarios para iniciar esta técnica, se estiman de la siguiente manera:

i) Si se disponen de datos de dos estaciones anteriores, entonces

$$\hat{b}(0) = \frac{\bar{x}_2 - \bar{x}_1}{L} \quad (5.21)$$

donde \bar{x}_1 es la demanda promedio de la primera estación y \bar{x}_2 es la demanda promedio durante la más reciente estación.

ii) Los factores estacionales iniciales pueden primeramente calcularse por

$$\hat{c}_t(0) = \frac{x_{t+L} - x_t}{L \hat{b}(0)}, \quad t=1, 2, \dots, L \quad (5.22)$$

Sin embargo, este procedimiento, generalmente, da resultados pobres debido a la altorritud del parámetro de la demanda. Por esto se utilizan inicialmente $\hat{a}(0)$ y $\hat{b}(0)$ (ver 5.1.2), que se pone en uso; y se vuelve a la componente persistente \hat{a}^* (ver ecuación 5.21), y después se vuelven a estimar en términos de $\hat{a}(0)$ y $\hat{b}(0)$, ver 5.2.4).

iii) Para estimar $\hat{a}(0)$, se usa:

$$\hat{a}(0) = \frac{\sum_{t=1}^{2L} x_t + 3L^2 \hat{b}(0) - 2\hat{b}(0) \sum_{t=1}^L t \hat{c}_t(0)}{2L} \quad (5.23)$$

para $t=1, 2, \dots, L$

iv) Para revalorizar los factores estacionales iniciales, basándose en los valores de $\hat{a}(0)$ y $\hat{b}(0)$, se usa:

$$\hat{c}_t(0) = \frac{1}{2} \left[\frac{x_t}{\hat{a}(0) - (2L-t)\hat{b}(0)} + \frac{x_{t+L}}{\hat{a}(0) - (L-t)\hat{b}(0)} \right] \quad (5.24)$$

para $t=1, 2, \dots, L$.

NOTA: Otro procedimiento para estimar los factores estacionales consiste en dividir la demanda en cada período, entre la demanda promedio en la estación. Este procedimiento es muy adecuado cuando no aparece la componente de tendencia (i.e., cuando $b=0$).

Ejemplo: La demanda para sistemas de aire acondicionado con características de 5000 BTU y 110V, es estacional, con una mayor demanda en los meses de primavera y verano. Datos históricos para 1970 se encuentran disponibles y aparecen en la tabla I. Supongamos que la componente de tendencia lineal es cero, por lo tanto los factores estacionales se calculan dividiendo la demanda mensual entre la demanda mensual promedio durante el año. Estos factores estacionales aparecen en la última columna de la tabla I.

TABLA I.- Datos históricos (1970)

Mes	Demanda	Factores estacionales estimados.
Enero	4	0.16
Febrero	2	0.24
Marzo	5	0.00
Abril	8	0.96
Mayo	11	1.32
Junio	13	1.56
Julio	18	2.16
Agosto	15	1.80
Septiembre	9	1.08
Octubre	6	0.72
Noviembre	5	0.60
Diciembre	4	0.48
Total	100	12.00

Los parámetros iniciales son:

$\hat{b}(0)=0$, por suponerse que no existe esta componente.

$$\hat{a}(0) = \frac{100}{12} = 8.3$$

Las constantes de suavización que se eligen son $\alpha=0.2$,

$$\beta = 0.1 \quad \gamma = 0.5$$

Los valores para $\hat{d}(t)$, $\hat{b}(t)$, $\hat{c}_L(t)$ se calculan con las ecuaciones (5.17), (5.18), (5.19) respectivamente. El pronóstico con la ecuación (5.20). Los resultados aparecen en la tabla II. Por ejemplo, en enero:

$$\hat{X}_{Ene} = [\hat{d}(0) + \hat{b}(0)] \hat{C}_{Ene} (\text{en 1970}) = (8.3 + 0)(0.48) = 3.98 \approx 4.$$

Ya que la demanda real en enero de 1971, fue de 5, se tiene de (5.17), que:

$$\begin{aligned}\hat{d}(enr) &= \alpha \left[\frac{X_{enr}}{\hat{C}_{enr}(\text{en 1970})} \right] + (1-\alpha) [\hat{d}(0) + \hat{b}(0)] = \\ &= 0.2(5)/0.48 + (0.8)(8.3) = 8.72\end{aligned}$$

De (5.18), se tiene:

$$\begin{aligned}\hat{b}(enr) &= \beta [\hat{d}(enr) - \hat{d}(0)] + (1-\beta) \hat{b}(0) = \\ &= 0.1(8.72 - 8.3) + 0.9(0) = 0.043.\end{aligned}$$

y de la (5.19), se tiene:

$$\begin{aligned}\hat{C}_{enr}(\text{en 1971}) &= \gamma \left[\frac{X_{enr}}{\hat{d}(enr)} \right] + (1-\gamma) \hat{C}_{enr} (\text{enero 1970}) \\ &= 0.5 \left(\frac{5}{8.72} \right) + 0.5(0.48) = 0.53\end{aligned}$$

El pronóstico para Febrero sería:

$$\begin{aligned}\hat{X}_{Fe} &= [\hat{d}(enr) + \hat{b}(enr)] \hat{C}_{Fe} (\text{Fe. 1970}) \\ &= (8.72 + 0.043)(0.24) = 2.1\end{aligned}$$

Los elementos restantes de la tabl. II, se calculan de manera similar.

TABLA II-Resultados calculados para el año actual 1971

Mes	Demandad real	$\hat{d}(t)$	$\hat{b}(t)$	$\hat{C}_L(t)$	Pronóstico realizada un período anterior
Enero	5	8.72	0.043	0.53	+
Febrero	4	10.34	0.200	0.31	2.1
Marzo	7	10.17	0.223	0.63	6.3
Abril	7	10.25	0.149	0.82	10.6
Mayo	15	10.57	0.158	1.37	13.7
Junio	17	10.78	0.101	1.56	16.8
Julio	24	10.77	0.164	2.17	23.6
Agosto	18	10.71	0.142	1.73	20.0
Septiembre	12	11.06	0.143	1.08	11.7
Octubre	7	10.91	0.114	0.68	8.1
Noviembre	8	11.49	0.161	0.65	6.6
Diciembre	6	11.82	0.178	0.49	5.8
Total	130				127.3

$G(t)$ es igual a $0.977308 \cdot t^2$.

La suavización exponencial, que consiste en la suavización exponencial, y fue desarrollado por Brown. En ésta técnica se usan funciones polinomiales y exponentiales. El empleo de polinomios produce un pronóstico aproximadamente igual al de la suavización simple, excepto que en aquella, los parámetros del modelo se obtienen directamente.

El uso más importante de la suavización adaptable es con funciones trigonométricas, como seno y coseno. Por ejemplo, el modelo de una onda senoidal es:

$$x = a \sin \omega t$$

donde a = amplitud y origen en $t=0$

Para λ períodos, y en radianes, se tiene:

$$x = a \sin \omega(t+\lambda)$$

Usando un par equivalente seno-coseno, entonces tenemos:

$$\begin{aligned} x &= a \sin \omega(t+\lambda) = a \cos \lambda \sin \omega t + a \sin \lambda \cos \omega t \\ &= a_1 \sin \omega t + a_2 \cos \omega t. \end{aligned}$$

Para un modelo polinomial de 4 parámetros, se tiene:

$$x_t = a_1 + a_2 t + a_3 \sin \frac{2\pi t}{12} + a_4 \cos \frac{2\pi t}{12} + \epsilon_t.$$

Y el de una onda senoidal con 12 puntos y base armónica es:

$$x_t = a_1 + a_2 t + a_3 \sin \frac{2\pi t}{12} + a_4 \cos \frac{2\pi t}{12} + a_5 \sin \frac{4\pi t}{12} + a_6 \cos \frac{4\pi t}{12} + \epsilon_t.$$

La inclusión de la armónica permite diseñar una gran variedad de modelos estacionales. En general, se tiene:

$$x_t = \sum_{i=1}^n a_i f_i(t) + \epsilon_t, \quad t=1, 2, \dots, T \quad (6.1)$$

donde $f_i(t)$ son variables independientes

T = observaciones disponibles.

En forma matricial:

$$\begin{pmatrix} x_1 \\ x_2 \\ \vdots \\ x_T \end{pmatrix} = \begin{pmatrix} f_1(1) & f_1(2) & \cdots & f_1(T) \end{pmatrix} \begin{pmatrix} a_1 \\ a_2 \\ \vdots \\ a_n \end{pmatrix} + \begin{pmatrix} \epsilon_1 \\ \epsilon_2 \\ \vdots \\ \epsilon_T \end{pmatrix}$$

Con coeficientes a que minimizan a:

$$SS_t = \sum_{i=1}^T p^{t-i} \left[x_t - \hat{x}_t \right]^2$$

son:

$$\hat{x}_t = G(t)^{-1} g(t) \quad (6.2)$$

$$\text{donde } G_{ij}(t) = \sum_{t=1}^T \beta^{t-t} f_i(t) f_j(t), \quad i, j = 1, 2, \dots, n$$

$$g_i(t) = \sum_{t=1}^T \beta^{t-t} x_t f_i(t), \quad i = 1, 2, \dots, n$$

Ahora supóngase que todas las funciones $f_i(t)$ son tales que sus valores en el tiempo $t+1$ son una combinación lineal en el tiempo t , entonces:

$$f_i(t+1) = L_{i1} f_1(t) + L_{i2} f_2(t) + \cdots + L_{in} f_n(t), \quad i = 1, 2, \dots, n$$

Si L es la matriz de los L_{ij} de $(n \times n)$, se tiene:

$$f(t+1) = L f(t) \quad (6.3)$$

Por ejemplo, considerando la variación del modelo de tendencia cuadrática:

$$x_t = a_1 + a_2 t + \frac{1}{2} a_3 t(t-1) + \epsilon_t$$

entonces $f_1(t) = 1$

$$f_2(t) = t$$

$$f_3(t) = \frac{1}{2} t(t-1)$$

y se verifica que:

$$L = \begin{bmatrix} 1 & 0 & 0 \\ 1 & 1 & 0 \\ 0 & 1 & 1 \end{bmatrix}$$

Dando a L y $f(0)$, se encuentra $f(t) = L^t f(0)$

$$\underline{\underline{G(T)}} = \sum_{j=0}^{T-1} \beta^j f(-j) f'(-j) = G(T-1) + \beta^{T-1} f(-T+1) f'(-T+1)$$

La matriz $G(T)$ se aproxima al límite G , donde:

$$G = \lim_{T \rightarrow \infty} G(T) = \sum_{j=0}^{\infty} \beta^j f(-j) f'(-j) \quad (6.4)$$

$$\begin{aligned} \therefore G^{-1} f & \text{ calcula solo una vez. Además, para el tiempo } T, \text{ se tiene} \\ g(T) &= \sum_{j=0}^{T-1} \beta^j x_{T-j} f(-j) = x_T f(0) + \sum_{j=1}^{T-1} \beta^{j-1} x_{T-j} f(-j) \\ &= x_T f(0) + \beta \sum_{j=1}^{T-1} \beta^{j-1} x_{T-j} L^{-1} f(-j+1) \\ &= x_T f(0) + \beta L^{-1} \sum_{k=0}^{T-2} \beta^k x_{T-1-k} f(-k) \end{aligned}$$

$$\therefore g(T) = x_T f(0) + \beta L^{-1} g(T-1)$$

de (6.7) se tiene que

$$\hat{g}(T) = G^{-1} g(T) = G^{-1} [x_T f(0) + \beta L^{-1} g(T-1)] \quad (6.8)$$

y como $g(T-1) = G \hat{a}(T-1)$, se tiene

$$\hat{g}(T) = x_T G^{-1} f(0) + \beta G^{-1} L^{-1} G \hat{a}(T-1)$$

que es de la forma:

$$\hat{a}(T) = h x_T + H \hat{a}(T-1) \quad (6.9)$$

donde

$$h = G^{-1} f(0)$$

$$H = \beta G^{-1} L^{-1} G$$

Notese que:

$$\begin{aligned} L^{-1} G &= L^{-1} G (L')^{-1} L' \\ &= \sum_{j=0}^{\infty} \beta^j L^{-1} f(-j) f'(-j) (L')^{-1} L = \sum_{j=0}^{\infty} \beta^j [L' f(-j)] [L' f(-j)]^T L \\ &= \sum_{j=0}^{\infty} \beta^j f(-j+1) f'(-j+1) L' \end{aligned}$$

para $k=j+1$, se tiene:

$$L^{-1} G = \beta^{-1} \left[\sum_{k=1}^{\infty} \beta^k f(-k) f'(-k) \right] L' = \beta^{-1} [G - f(0) f'(0)] L'$$

Así

$$H = \beta G^{-1} L^{-1} G = G^{-1} [G - f(0) f'(0)] L' = [I - G^{-1} f(0) f'(0)] L'$$

como $h = G^{-1} f(0)$, entonces:

$$H = L' - h f'(0) L' = L' - h [L f(0)]' = L' - h f'(1)$$

$$\therefore \hat{a}(T) = h x_T + [L' - h f'(1)] \hat{a}(T-1) =$$

$$- [L' x_T + h (x_T - f'(1) \hat{a}(T-1))] \quad (6.10)$$

Si \hat{x}_T es el pronóstico para el periodo T , hecho al final del periodo $T-1$ y como $\hat{x}_T = f'(1) \hat{a}(T-1)$, entonces (6.7) queda:

$$\hat{a}(T) = L' \hat{a}(T-1) + h [x_T - \hat{x}_T] \quad (6.8)$$

donde $h[x_T - \hat{x}_T]$ es el error para un solo pronóstico, es decir: $e_1(T) = x_T - \hat{x}_T$.

Finalmente, la estimación de los coeficientes en el periodo T , es una combinación lineal de los calculados en el periodo previo, es decir:

$$\hat{a}(T) = L' \hat{a}(T-1) + h e_1(T) \quad (6.9)$$

a h se le llama vector de suavización.

El pronóstico para el periodo $T+T$, hecho al final del periodo T , es:

$$(6.10) \quad \hat{x}_{T+T} = \hat{a}(T) f(T) = \sum_{i=1}^n \hat{a}_i(T) f_i(T), \quad i=1, 2, \dots$$

Este procedimiento requiere de la estimación inicial de los coeficientes $\hat{a}(0)$. Estos se pueden obtener subjetivamente ó a través del análisis de datos históricos.

Ejemplo: Para ilustrar las ideas anteriores se analizará un modelo armónico de seis parámetros

Las variables independientes, los coeficientes en el periodo T , y el vector de suavización, son:

$$f(t) = \begin{bmatrix} 1 \\ t \\ \sin \frac{2\pi t}{12} \\ \cos \frac{2\pi t}{12} \\ \sin \frac{4\pi t}{12} \\ \cos \frac{4\pi t}{12} \end{bmatrix}, \quad \hat{a}(T) = \begin{bmatrix} a_1(T) \\ a_2(T) \\ a_3(T) \\ a_4(T) \\ a_5(T) \\ a_6(T) \end{bmatrix}, \quad h = \begin{bmatrix} h_1 \\ h_2 \\ h_3 \\ h_4 \\ h_5 \\ h_6 \end{bmatrix}$$

La matriz de transición es

$$L = \begin{bmatrix} 1 & 0 & 0 & 0 & 0 & 0 \\ 1 & 1 & 0 & 0 & 0 & 0 \\ 0 & 0 & 0.866 & 0.5 & 0 & 0 \\ 0 & 0 & -0.5 & 0.866 & 0 & 0 \\ 0 & 0 & 0 & 0.5 & 0.866 & 0 \\ 0 & 0 & 0 & -0.866 & 0 & 0.5 \end{bmatrix}$$

Para obtener las ecuaciones de suavización se sustituye en L en $\tilde{x}(T) = L(\beta)(T-1) + h_0 e_i(T)$ ∴ se tiene:

$$\tilde{x}_1(T) = \tilde{x}_1(T-1) + h_1 e_i(T)$$

$$\tilde{x}_2(T) = \tilde{x}_2(T-1) + h_2 e_i(T)$$

$$\tilde{x}_3(T) = 0.866 \tilde{x}_3(T-1) - 0.5 \tilde{x}_4(T-1) + h_3 e_i(T)$$

$$\tilde{x}_4(T) = -0.5 \tilde{x}_3(T-1) + 0.866 \tilde{x}_4(T-1) + h_4 e_i(T)$$

$$\tilde{x}_5(T) = 0.866 \tilde{x}_5(T-1) + 0.5 \tilde{x}_6(T-1) + h_5 e_i(T)$$

$$\tilde{x}_6(T) = 0.5 \tilde{x}_5(T-1) + 0.866 \tilde{x}_6(T-1) + h_6 e_i(T)$$

donde $e_i(T) = x_T - \tilde{x}_T = x_T - f'(1) \tilde{x}(T-1)$

y el pronóstico para un período $T+\tau$, al final del período T es:

$$\hat{x}_{T+\tau} = f'(1) \tilde{x}(T)$$

Ejemplo: demostrar los cálculos necesarios para obtener los elementos del vector de suavización para un modelo específico. Para cualquier modelo, el vector de suavización se encuentra de:

$$h = G^{-1} f(0)$$

cálculo de la matriz G .

$$\text{de } G = \lim_{T \rightarrow \infty} G(T) = \sum_{j=0}^{\infty} \beta^j f(-j) f'(-j)$$

$$\therefore G = \sum_{j=0}^{\infty} \beta^j f(-j) f'(-j)$$

La matriz simétrica cuyos elementos de la diagonal es la suma de los cuadrados de los pesos de las variables independientes.

El modelo armónico de seis parámetros es:

$$G = \begin{bmatrix} A & B(1) & B(2) \\ B(1) & C(1,1) & C(1,2) \\ B(2) & C(2,1) & C(2,2) \end{bmatrix}$$

donde las submatrices A , $B(v)$, $C(u,v)$ de orden 2×2 , son:

$$A = \begin{bmatrix} \sum_{j=0}^{\infty} \beta^j & -\sum_{j=0}^{\infty} j \beta^j \\ -\sum_{j=0}^{\infty} j \beta^j & \sum_{j=0}^{\infty} j^2 \beta^j \end{bmatrix}$$

$$B(v) = \begin{bmatrix} -\sum_{j=0}^{\infty} \beta^j \sin v w_j & \sum_{j=0}^{\infty} \beta^j \cos v w_j \\ \sum_{j=0}^{\infty} j \beta^j \sin v w_j & -\sum_{j=0}^{\infty} j \beta^j \cos v w_j \end{bmatrix}$$

para $v=1,2$

$$C(u,v) = \begin{bmatrix} \sum_{j=0}^{\infty} \beta^j \sin u w_j \sin v w_j & -\sum_{j=0}^{\infty} \beta^j \sin u w_j \cos v w_j \\ -\sum_{j=0}^{\infty} \beta^j \cos u w_j \sin v w_j & \sum_{j=0}^{\infty} \beta^j \cos u w_j \cos v w_j \end{bmatrix}$$

para $v=1,2$

$v=u+1$, donde $w=2\pi/12$.

usando transformaciones Z , se encuentran los elementos de las submatrices A y B :

$$A = \begin{bmatrix} \frac{1}{1-\rho} & \frac{-\rho}{(1-\rho)^2} \\ \frac{-\rho}{(1-\rho)^2} & \frac{\rho(1+\rho)}{(1-\rho)^3} \end{bmatrix}$$

$$B(v) = \begin{bmatrix} -\beta \sin(w) & 1 - \beta \cos(w) \\ 1 - \beta \sin(w) & 1 - 2\beta \cos(w) + \beta^2 \\ \frac{\beta(1-\beta^2) \sin(w)}{(1-2\beta \cos(w) + \beta^2)^2} & \frac{-2\beta^2 + \beta(1+\beta^2) \cos(w)}{(1-2\beta \cos(w) + \beta^2)^2} \end{bmatrix}$$

Con las siguientes identidades trigonométricas:

$$\sin(a+b) = \frac{1}{2} [\cos(a+b) - \cos(a-b)]$$

$$\cos(a)\cos(b) = \frac{1}{2} [\cos(a+b) + \cos(a-b)]$$

$$\cos(a)\sin(b) = \frac{1}{2} [\sin(a+b) + \sin(a-b)]$$

$$\sin(a)\sin(b) = \frac{1}{2} [\cos(a-b) - \cos(a+b)]$$

$C(u,v)$ se expresa como:

$$C(u,v) = \frac{1}{2} \begin{bmatrix} -\left(\frac{c_1}{d_1} + \frac{c_2}{d_2}\right) & -\left(\frac{c_3}{d_1} + \frac{c_4}{d_2}\right) \\ -\left(\frac{c_5}{d_1} + \frac{c_6}{d_2}\right) & \left(\frac{c_7}{d_1} + \frac{c_8}{d_2}\right) \end{bmatrix}$$

donde $c_1 = 1 - \beta \cos(u+v)w$

$$c_2 = 1 - \beta \cos(u-v)w$$

$$c_3 = \beta \sin(u+v)w$$

$$c_4 = \beta \sin(u-v)w$$

$$d_1 = 1 - 2\beta \sin(u+v)w + \beta^2$$

$$d_2 = 1 - 2\beta \cos(u-v)w + \beta^2$$

Notese que los elementos de G se determinan completamente de la ecuación

$$f(t) = \begin{bmatrix} 1 \\ 0 \\ 0 \\ 1 \\ 0 \\ 0 \\ 1 \end{bmatrix}$$

Para $\beta=0.90$ y $w=2\pi/12$, se tiene:

$$h = \begin{bmatrix} 0.17030 \\ 0.00853 \\ 0.05453 \\ 0.15545 \\ 0.07055 \\ 0.14285 \end{bmatrix}$$

* - ELECCION DE LA CONSTANTE DE SUAVIZACION.

En muchas aplicaciones de suavizacíon exponencial es necesario especificar el valor de la constante o constante del modelo.

Se analizarán algunas bases para seleccionar a la constante, puesto que ésta controla el número de modificaciones parciales de los errores de tiempo que sucesivamente influyen en el pronóstico. Si el valor de la constante es pequeño, se tiene un gran número de observaciones pasadas, y el pronóstico reaccionará lentamente para cambios de los parámetros del modelo, y para grandes valores, se incluyen pocos datos históricos y reaccionará rápidamente con variaciones aleatorias habiendo más sensibilidad.

Stewart analizó la respuesta característica de la suavización exponencial para varias señales estándares, tales como impulsos, saltos y fluctuaciones de paso.

Como regla general, para un modelo constante, la constante de suavización estará entre los valores de 0.01 a 0.3. La técnica más ampliamente usada es llamar una secuencia de pruebas de los datos históricos, dividirlos diferentes intentos a la constante, eligiendo el que optimiza a la ejecución.

Por ejemplo, si se tienen datos de tres años, se llaman los de los dos primeros para optimizar a la constante y se simula el pronóstico de cada uno, y observar su comportamiento.

Si el resultado de los pronósticos da un valor de > 0.3 , la validez del resultado será cuestionada.

En modelos jerárquicos y transitorios necesita un valor de la constante, tal que los términos en igual sean los mismos. Es decir,

especificar μ e σ^2 para una d^a en una observaci^{on} constante, estimese su valor equivalente en un modelo de H Eximos es:

$$(1 - \alpha_{\text{u}})^n = 1 - \alpha$$

En el cuadro vemos valores de la constante para elegir. Para un punto en el eje vertical el abanico es de $\pm 1\%$ y los coeficientes cambian significativamente cerca de $\pm 2\%$.

#. - TIEMPOS PONER PAJOS DE JODNESTICO.

En la mayoría de los ejemplos presentados hasta ahora, nos ha interesado el pronóstico para un simple período futuro t en un punto arbitrario. Muchas veces interesa pronosticar para varios períodos. Es decir, se desea pronosticar sobre algún tiempo pasado o planeación horizontal. Por ejemplo, en problemas de producción y planeación de inventarios, se pronostica la demanda para 12 períodos.

Para ilustrar el proceso, supóngase que T es el período presente y se desea pronosticar la demanda de los w períodos siguientes, es decir, $T+1, T+2, \dots, T+w$, y sea $\{x_1, x_2, \dots, x_T\}$ el dato $x_{T+1}, x_{T+2}, \dots, x_{T+w}$.

... el pronóstico de la demanda acumulada para el tiempo ponderado
para el período w es:

$$\widehat{X}_w(T) = \sum_{t=T+1}^{T+w} \widehat{x}_t$$

De esta forma es muy simple presentar la demanda para cualquier periodo de tiempo deseado.

La variancia para cualquier punto futuro es:

$$V(\hat{x}_z) = f'(z) Vf(z)$$

donde la matriz de variancia-covariancia está definida por:

$$V = E(\tilde{\beta} - \beta)(\tilde{\beta} - \beta)' = T_t^{-2} G^{-1} F W^2 (F W^2)' G^{-1}$$

Si las variables independientes incluyen un polinomio a tréminos infinitos, es decir $V(\hat{x}_t)$ depende de un punto futuro en el tiempo. Brown demuestra que, en general, la variancia del pronóstico de un modelo lineal se incrementa como una función lineal del tiempo, y en una condición se incrementa como una función cuadrática de tiempo. Un modelo que no cumple estas propiedades infinitas tiene aproximadamente la misma variancia circunscrita a cualquier punto; esto es muy importante, puesto que en esta forma se obtiene un rango de valores y por ende la probabilidad de los valores, que puedan tomar futuras observaciones.

Por otro lado se tiene:

error de pronóstico $C_t = x_t - \hat{x}_t$

$$\text{Varianza } V(e_t) = \nabla^2 f(t) Vf(t)$$

La variancia del pronóstico acumulativo es $V\{(X_w(T)\}$

$$\text{Como: } \widehat{X}_w(\tau) = \sum_{t=T+1}^{T+w} \widehat{x}_t = \sum_{t=T+1}^{T+w} \widehat{\alpha}'(\tau) f(t)$$

$$\text{Solve for } V\{\tilde{X}_w(\tau)\} = \left[\sum_{i=1}^{T_w} f(i) \right]^2 V\left[\sum_{i=\tau}^{T_w} f(i) \right]$$

y la variancia del error acumulativo para el periodo n de tiempo ponderado es:

$$W \nabla_{\epsilon}^2 \rightarrow \left[\sum_{t=T+1}^{T+w} f(t) \right] V \left[\sum_{t=T+1}^{T+w} f(t) \right]$$

-44-

8.-1. TÉCNICAS Y ANÁLISIS DEL ERROR DE PRONÓSTICO.

Matemáticamente se define al error de pronóstico como:

$$e_t = x_t - \hat{x}_t$$

y para aquellas señales pronósticamente nulas las características muy deseables son que el error y sus derivadas de tiempo tengan la menor variancia posible para este análisis.

La variancia del error de pronóstico es:

$$V(e_t) = V(x_t) + V(\hat{x}_t)$$

$$\sigma^2 = V_e^2 + V_{\hat{x}}^2$$

Suponiendo que x_t y \hat{x}_t son independientes, entonces para un modelo constante:

$$V_{\hat{x}}^2 = \frac{\alpha}{2-\alpha} V_e^2$$

$$V_e^2 = \frac{2}{2-\alpha} V_e^2$$

A continuación de la cuadra, la variancia del error, es del tipo condicionado de acuerdo a su historial de probabilidad. Gracias a ésto los errores están bien definidos y se calculan más fáciles.

En general, el mejor es un dispositivo para minimizar y controlar el error de pronóstico. Existen dos formas de señal de registro, una basada en la suma de los errores y el otro en el error de suavización.

Considerando las sumas para el periodo actual T:

$$Y(T) = \sum_{t=1}^T e_t$$

$$\sigma^2 Y(T) = Y(T-1) + e_T$$

Si existe un sesgo consistente en el pronóstico, los errores tendrán el mismo signo para varios períodos y la suma tenderá a cero.

Para un modelo constante se tiene:

$$V_y^2 = \frac{1}{1-\beta^2} V_e^2$$

) y en general, para un modelo con parámetros:

$$V_y^2 \approx \frac{1}{1-\beta^2} V_e^2$$

Como V_y no se conoce exactamente se estima.

En realidad, como $V_y^2 = [1/(1-\beta^2)] V_e^2$, basta estimar a V_e^2 .

Suponiendo que el error está distribuido normalmente con media cero y variancia V_e^2 . Entonces la mitad de desviación absoluta Δ , es

$$\Delta = E\{|e - E(e)|\} = 2 \int_0^\infty (e - 0) n(e; 0, V_e^2) de = \sqrt{\frac{2}{\pi}} V_e \approx 0.8 V_e$$

y al final del periodo T es:

$$\bar{\Delta}(T) = \alpha |e(T)| + (1-\alpha) \bar{\Delta}(T-1)$$

$$\sigma^2 \bar{\Delta}(T) = \frac{1}{N} \sum_{t=T-N+1}^T |e_t|$$

$$\widehat{\Delta}^2 = \left[\frac{\bar{\Delta}(T)}{0.8} \right]^2$$

para una suavización simple:

$$V_e^2 = \frac{2-\alpha}{2} V_e^2$$

$$\widehat{\Delta}^2 = \left(\frac{2-\alpha}{2} \right) \left[\frac{\bar{\Delta}(T)}{0.8} \right]^2$$

$$\therefore \widehat{V}_y^2 = \left(\frac{1}{1-\beta^2} \right) \left(\frac{2-\alpha}{2} \right) \left[\frac{\bar{\Delta}(T)}{0.8} \right]^2 = \frac{1}{2\alpha} \left[\frac{\bar{\Delta}(T)}{0.8} \right]^2$$

Para una suavización exponencial simple la señal de registro, basada en la suma de los errores es:

$$\left| \frac{Y(T)}{\bar{\Delta}(T)} \right| < \frac{K_1}{0.8} \sqrt{\frac{1}{2\alpha}} = C_1$$

dónde k elige de las tablas de la función de distribución normal acumulativa estándar para proporcionar el nivel de aproximación de significancia. Cuando el modelo no es constante se selecciona directamente a C_2 cuyos valores, por lo común, están entre 4 y 6.

Para el periodo T , el error de suavización es:

$$\bar{e}(T) = \alpha e_T + (1-\alpha) \bar{e}(T-1)$$

la señal apropiada es:

$$\left| \frac{\bar{e}(T)}{\bar{e}(T)} \right| < C_2$$

no debe exceder de 1.0
el valor de C_2 está entre 0.2 y 0.4.

Si la señal de registro excede al límite de control en dos o tres observaciones, es sintoma de que algo está mal en el sistema. Y cuando la señal se sale de control, la cantidad $\bar{Y}(T)$ o $\bar{e}(T)$ se restaura a cero para evitar una salida falsa en períodos futuros.

Ejemplo: Como ilustración, calcular el error acumulativo de la señal de registro, considerando los datos de la demanda, situados en la columna (3) de la tabla siguiente:

t	CALCULOS MUESTRA PARA EL ERROR ACUMULATIVO DE LA SEÑAL DE REGISTRO.					
	(1)	(2)	(3)	(4)	(5)	(6)
t	\bar{Y}_t	\bar{e}_t	C_2	$\bar{Y}(t)$	$\bar{e}(t)$	$\bar{Y}(t)/\bar{e}(t)$
1	100	1.00	1.00	1.00	1.00	1.00
Febrero	105	105.10	2.70	4.90	2.10	1.67
Marzo	98	100.43	-2.97	2.41	2.14	1.03
Abril	110	100.24	9.76	12.17	2.92	4.20
Mayo	120	101.22	16.78	30.95	4.49	8.80
Junio	118	103.10	16.70	45.85	5.53	8.29

Suponiendo que en Enero se ha determinado algún punto anterior y que el modelo apresado es constante y con $\alpha = 0.1$, y $S_{dec} = 100.00$, $\bar{Y}(dec) = 0.00$, $\bar{e}(dec) = 2.00$.

El pronóstico para Enero es: $\bar{X}_{Ene} = S_{dec} = 100.00$, y el de los meses restantes se evalúa en igual forma (ecuaciones: $S_{T+1} = \alpha \bar{X}_T + (1-\alpha)S_{T-1}$ y $S_T = \bar{e}_{T-1}$) y se muestran en la columna 2; las (3) y (4) son el

error acumulativo para cada mes; la (5) es la desviación. Se la media absoluta de cada mes, (ecuación: $\bar{e}(T) = \alpha e_T + (1-\alpha) \bar{e}(T-1)$).

Por ejemplo:

$$\begin{aligned}\bar{e}(Ene) &= \alpha / C_2 + (1-\alpha) \bar{e}(dec) = \\ &= 0.1 / 100 + (0.9)(2.00) = 1.90\end{aligned}$$

Finalmente, la señal de registro para cada mes se calcula dividiendo el error acumulativo entre la desviación de la media absoluta. Si se elige ± 4 como la critica de detección de la señal, entonces la reacción de la primera señal fuera de control se genera en Abril seguida por la de mayo y junio.

El método para analizar el error acumulativo tiene alguna desventaja relativa para la interpretación del error de suavización. Si existe un gran error aleatorio en un periodo particular, se incrementaría el de suavización y el acumulativo, pero no tanto como para que generen una señal fuera de control. Por otra supóngase que varios períodos tienen un error promedio casi cero. El error acumulativo continúa en un valor grande, pero el de suavización decrece hacia cero. En algún punto, un segundo error aleatorio aparece con el mismo signo que el anterior. La suma acumulativa de la señal de registro generará incorrectamente una señal fuera de control, pero no así el de suavización. Como otro ejemplo, supóngase que la suma acumulativa de la señal de control, que es menor que la critica establecida al comienzo, esté en el mismo sentido será correcto. Como el error es cero, la suma acumulativa no cambiará y la media de derivación absoluta será pequeña.

más importante que las observaciones individuales. Por ejemplo, en un inventario puede interesar más la probabilidad de una demanda de 140 a 150 unidades para el período siguiente. Es decir, interesa la probabilidad de pronóstico en lugar de futuras observaciones.

Si X_t es una variable aleatoria con función de distribución de probabilidad G , es decir, $\Pr\{X_t = \theta\} = G(\theta)$.

G generalmente es desconocida, pero se puede estimar y debe ser estacionaria o cambiar lentamente en el tiempo.

Un problema de pronóstico consiste en encontrar $\hat{\theta}_p$, una estimación de θ_p , tal que $G(\theta_p) = p$, para $0 < p < 1$. Es decir, se desea encontrar un estimador de θ_p tal que la probabilidad p -de las observaciones futuras sea más pequeña que θ_p .

Supóngase que las observaciones son medidas en una escala con $m+1$ límites de clase, es decir:

$$X_0 < X_1 < X_2 < \dots < X_m$$

los cuales deben ser definidos, de modo que cada observación se haga en una y sólo una clase. Es decir, sólo existe un k , de modo que: $X_{k-1} < X_t \leq X_k$

Los límites X_0 y X_m son finitos y están entre 10 y 20 clases. i.e.: Si p_k es la probabilidad de que la variable aleatoria X_t caiga en el intervalo de X_{k-1} a X_k , es decir,

$$p_k = \Pr\{X_{k-1} < X_t \leq X_k\}, \quad k=1, 2, \dots, m.$$

$$\therefore \sum_{k=1}^m p_k = 1.$$

$$\text{Además como } \sum_{j=1}^k p_j = \Pr\{X_t \leq X_k\} = G(X_k)$$

Se puede estimar la función desconocida de distribución G calculando las m probabilidades p_k , las cuales se expresan como un vector columna \vec{p} de $(m \times 1)$. por tanto:

en el tiempo t se denotan por:

$$\vec{p}(t) = \begin{bmatrix} \hat{p}_1(t) \\ \hat{p}_2(t) \\ \vdots \\ \hat{p}_m(t) \end{bmatrix}$$

$$\text{La estimación de } G(X_k) \text{ es } \hat{G}(X_k) = \sum_{j=1}^k \hat{p}_j(t).$$

Si la t -ésima observación X_t está asociada con el k -ésimo intervalo de clase, es decir, $X_{k-1} < X_t \leq X_k$.

Definiendo un vector columna u_t de $(m \times 1)$ que tiene ceros y uno como la componente k -ésima.

Revisando la estimación de los períodos anteriores $\hat{p}(t-1)$ de información presente de acuerdo a:

$$\hat{p}(t) = \alpha u_t + (1-\alpha) \hat{p}(t-1)$$

se demuestra fácilmente que $\hat{p}(t)$ es insegado [$E\{\hat{p}(t)\} = p$] y la variancia de la k -ésima probabilidad es:

$$\sqrt{\hat{p}_k} = \frac{2}{2-\alpha} p_k (1-p_k)$$

La estimación inicial de la probabilidad $\hat{p}(0)$ puede ser subjetiva o obtenida a través del análisis de datos históricos.

Considérese el siguiente problema de pronóstico.

Supóngase que se tienen las m probabilidades $\hat{p}(t)$ y se da p . Se desea estimar un valor de θ_p tal que la probabilidad de un observación futura más pequeña que θ_p es p , es decir, $G(\theta_p) = p$.

Si p es tal que una de los límites de clase anticipa exactamente a $p = \hat{G}(X_k)$, la solución se considera obviamente a $\theta_p = X_k$.

Si: $\hat{G}(X_{k-1}) < p < \hat{G}(X_k)$,

entonces θ_p se estima por medio de una interpolación lineal:

Ejemplo: Supóngase que en el tiempo $t=1$, los datos de la tabla siguiente son la demanda diaria de una componente eléctrica. La observación en el período t es $X_t = 34$. Siendo el vector $u_t = [0, 0, 0, 1, 0]$, con $\alpha = 0.1$.

DATOS DE LA DEMANDA			
k	Límite de clase X_k	Probabilidad $P_k(t-1)$	$G_k(X_k)$
0	0	0.00	
1	10	0.60	0.60
2	20	0.15	0.75
3	30	0.15	0.90
4	40	0.05	0.95
5	50	0.05	1.00

Actualizando las probabilidades de acuerdo a la ecuación:

$$\hat{P}(t) = \alpha u_k + (1-\alpha) \hat{P}(t-1)$$

$$\hat{P}(t) = 0.1 \begin{bmatrix} 0 \\ 0 \\ 0 \\ 1 \\ 0 \end{bmatrix} + 0.9 \begin{bmatrix} 0.60 \\ 0.15 \\ 0.15 \\ 0.05 \\ 0.05 \end{bmatrix} = \begin{bmatrix} 0.540 \\ 0.135 \\ 0.135 \\ 0.145 \\ 0.045 \end{bmatrix}$$

La nueva función de distribución estimada es:

$$\hat{G}(0) = 0.000 \quad \hat{G}(30) = 0.810$$

$$\hat{G}(10) = 0.540 \quad \hat{G}(40) = 0.955$$

$$\hat{G}(20) = 0.675 \quad \hat{G}(50) = 1.00$$

Supóngase que se quiere encontrar θ_p , tal que la probabilidad de demanda menor que θ_p es 0.9. Este valor es:

$$\hat{\theta}_{0.9} = \frac{[0.955 - 0.9]30 + [0.9 - 0.810]40}{0.955 - 0.810} = \underline{\underline{36.2}}$$

El procedimiento de control nroas autorístico. Se hace un gran número de diseños para monitorear y modificar automáticamente el valor de la constante en la suavización exponencial. Estas técnicas se llaman modelos de control adaptable, debido a que la constante se adapta por si misma a cambiar estas series de tiempo.

Chow describió un procedimiento de control adaptable de una sola constante de suavización exponencial. Este método tiene tres valores espaciados uniformemente iguales para la constante: $\alpha_{\text{inferior}} < \alpha_{\text{medio}} < \alpha_{\text{superior}}$, y $\alpha_{\text{medio}} = \alpha_0$.

$$\text{ASÍ: } \alpha_1 = \alpha_0 + \delta \quad (8.1)$$

$$\alpha_2 = \alpha_0 - \delta$$

dónde δ es una constante elegida arbitrariamente, con valor aproximado de 0.05.

Para cada período se calculan tres pronósticos, uno con cada valor de la constante. La desviación de la media absoluta se denota por $L(\alpha_0)$, $L(\alpha_1)$, $L(\alpha_2)$, y se calcula para cada período. La regla para comprobar el valor de la constante es, si $L(\alpha_1) < L(\alpha_0)$, α_0 se cambia a α_1 ; si $L(\alpha_1) > L(\alpha_0)$, α_0 se cambia a α_2 .

Si $L(\alpha_2) < L(\alpha_0)$, entonces se hace $\alpha_0 = \alpha_2$.

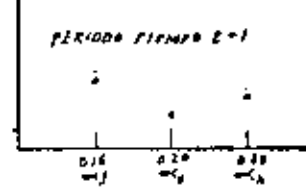
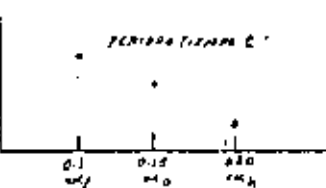
Los nuevos valores superior e inferior se eligen de acuerdo a la ecuación (8.1) usando la nueva α_0 .

Si $L(\alpha_2) > L(\alpha_0)$, se hace $\alpha_0 = \alpha_1$, y se revisan los valores inferior y superior.

Cuando $L(\alpha_1)$ y $L(\alpha_2)$ son mayores que $L(\alpha_0)$, se ajusta α_0 a la dirección de la media de desviación absoluta menor.

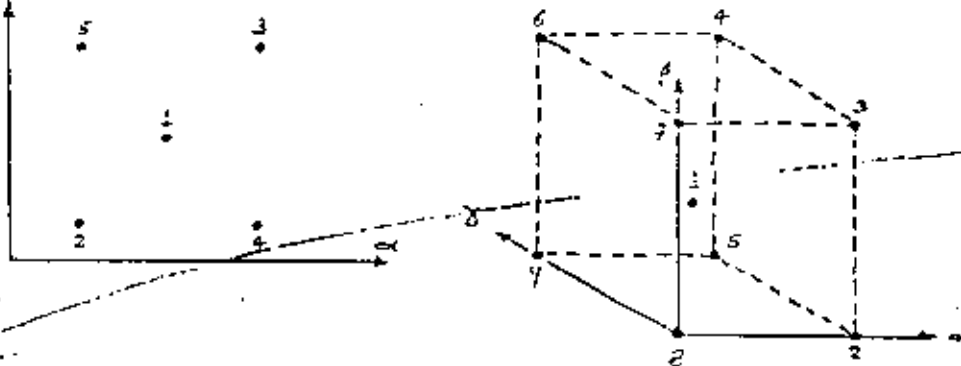
En cada revisión la desviación media absoluta se restaura en cero y el proceso comienza de nuevo.

El procedimiento de Chow suavización exponencial de control adaptable, para el caso de $L(\alpha_1) < L(\alpha_0)$ en el tiempo t , se ilustra en las siguientes figuras:



por suavizamiento, se considera un diseño experimental. Su método es esencialmente una extensión del de Chow para el caso de varias constantes. El procedimiento de R. y R. usa un diseño factorial de dos niveles en el cual cada constante está situada en un nivel superior e inferior. Todas las posibles combinaciones de este nivel, así como un punto control, están incluidas.

El diseño para modelos de dos y tres parámetros se muestra en las siguientes figuras:



La repetición completa para cada punto de diseño se llama ciclo.

Si los k parámetros de suavizamiento están bajo control, entonces se calculan $2^k + 1$ pronósticos para cada período.

La medida de efectividad del pronóstico es el cuadrado de su error.

Si \bar{SS}_{ij} es el cuadrado del error en el punto de diseño del ciclo j . Entonces después de m ciclos, su promedio es:

$$\bar{SS}_i = \frac{1}{m} \sum_{j=1}^m \bar{SS}_{ij}$$

El procedimiento de control consiste en el cálculo de los "efectos" de cada parámetro de suavizamiento en la misma forma que los efectos principales en un análisis de variancia, se estiman y se ajustan aquellos.

Sea \bar{S} .

$$E_\alpha = \frac{1}{2} (\bar{SS}_3 + \bar{SS}_4 - \bar{SS}_2 - \bar{SS}_5)$$

$$E_\beta = \frac{1}{2} (\bar{SS}_3 + \bar{SS}_5 - \bar{SS}_2 - \bar{SS}_4)$$

Los parámetros se cambian si E_α, E_β están fuera de la aproximación del 99% del error.

$$\pm 3 \sqrt{\frac{1}{n}} S$$

donde S es la estimación de la desviación estándar de los errores, y se calcula por el método de rango.

Como ilustración de la técnica, supóngase que E_α está bajo el límite inferior del error, para un ciclo particular, es decir,

$$E_\alpha < -3 \sqrt{\frac{1}{n}} S.$$

Lo que indica que $\bar{SS}_2 + \bar{SS}_5$ es más grande $\bar{SS}_3 + \bar{SS}_4$, por lo tanto el diseño debe desplazarse hacia la derecha, tomando el valor superior de α como el nuevo control y dejando los de β sin alterar. Se descartan los antiguos de \bar{SS}_5 y los nuevos se calculan sobre varios ciclos:

Para el caso de tres parámetros los efectos son:

$$E_\alpha = \frac{1}{4} (\bar{SS}_2 + \bar{SS}_3 + \bar{SS}_4 + \bar{SS}_5 - \bar{SS}_6 - \bar{SS}_7 - \bar{SS}_8 - \bar{SS}_9)$$

$$E_\beta = \frac{1}{4} (\bar{SS}_3 + \bar{SS}_4 + \bar{SS}_6 + \bar{SS}_7 - \bar{SS}_2 - \bar{SS}_5 - \bar{SS}_8 - \bar{SS}_9)$$

$$E_\gamma = \frac{1}{4} (\bar{SS}_4 + \bar{SS}_5 + \bar{SS}_6 + \bar{SS}_7 - \bar{SS}_1 - \bar{SS}_2 - \bar{SS}_3)$$

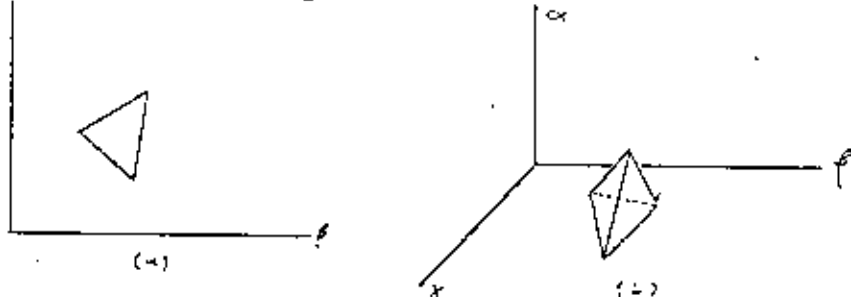
y la aproximación del 99% del límite de control:

$$\pm 3 \sqrt{\frac{1}{n}} S$$

La técnica de control para 3 parámetros es similar a la anterior.

Otra técnica de control adaptable, es la de Montgomery. Su esquema está basado en el simplex elevado, como el factorial de dos niveles, es un diseño experimental ortogonal de primer orden.

Si $k = 2$ los parámetros controlados y N las observaciones tomadas en los. Es del Simplex, el cual para dos parámetros ($k=2$) es un triángulo equilátero. Para tres es un tetraedro. Estos diseños se visualizan en las siguientes figuras:



La matriz de diseño D para un Simplex de orientación arbitraria se construye de $N^{1/2} H$, donde H es una matriz ortogonal de $(N \times N)$, d_i^* son las filas de D .

La ventaja de este diseño es que en cada período sólo k pronósticos se calculan.

Para aplicar esta técnica a un modelo exponencial de dos o tres parámetros, se aplican las siguientes reglas:

1.- Se denota por C_i al error absoluto del pronóstico presente en el punto de diseño i th, es decir,

$$C_i = |T_i - \hat{T}_i|, i = 1, 2, \dots, N$$

suponiendo que el valor máximo de C_i es en el punto d_j^* .

Se forma un nuevo Simplex suprimiendo a d_j^* de D , y se sustituye el nuevo punto de diseño:

$$d_j^{*+} = 2 \sum_{i=1}^k (d_i^* + d_2^* + \dots + d_{j-1}^* + d_{j+1}^* + \dots + d_N^*) - d_j^*$$

calcular el pronóstico para el período siguiente usando los parámetros de suavización, los cuales son elementos de d_j^{*+}

2.- Aplicar la regla 1 excepto en el punto de diseño que se ha encontrado en N sucesivos Simplexes sin ser eliminado. Esta situación surgiría para el punto i th de diseño, descartando C_i .

3- calcular el pronóstico para el período siguiente usando los parámetros de suavización en d_j^* . Entonces aplicar la regla 1.

3.- C_i será el error máximo absoluto en el i -ésimo Simplex y C_i^* es el error máximo absoluto en el i -ésimo Simplex, no regresar al i -th diseño. En su lugar de eliminación mover los $N+1$ diseños por medio de descartar al segundo error absoluto más grande.

Computacionalmente, este método es más eficiente que el de Robert y Reid, pues únicamente k pronósticos se requieren para cada período (el de R. y R. requiere de $2^k + 1$).

8.- TÉCNICAS DE BAYES PARA PREDICTIVO.

Los datos de Bayes que a continuación se presentan son útiles cuando no se tiene información histórica disponible en el momento de iniciar el predictivo. Esta situación se presenta con mucha frecuencia en la práctica, por lo que al efectuar un pronóstico inicial este se realiza en bases subjetivas exclusivamente. Sin embargo, a medida que se va obteniendo información histórica de la serie de tiempo se deberán reactualizar nuestros estimadores subjetivos.

El método de Bayes, proporciona un criterio para ir modificando nuestros estimadores subjetivos en función de la información que se va obteniendo. La técnica de Bayes en pronósticos consiste en aplicar el criterio de la teoría de decisiones de Bayes, la cual a su vez, está basada en el teorema de Bayes. Se presentará primero este teorema, y después su aplicación a predictivos para el caso de una serie en el tiempo que siga un modelo constante y de tendencia lineal.

4.- CRITERIO DE BAYES EN ESTADÍSTICA

Cuando se tiene una variable aleatoria X , que tiene una función de densidad f , la cual está caracterizada por un parámetro θ , entonces se usa la notación $f(x; \theta)$ ó $f(x|\theta)$, para hacer énfasis en que la función de densidad f , depende del parámetro θ . Por ejemplo, cuando f es una densidad de probabilidad binomial, entonces la notación $f(x; \theta)$ significa:

$$f(x; \theta) = \binom{n}{x} \theta^x (1-\theta)^{n-x}, \quad x=0,1,2,\dots,n$$

Si f es una distribución normal, entonces la notación $f(x; \theta_1, \theta_2)$ significa:

$$f(x; \theta_1, \theta_2) = \frac{1}{\sqrt{2\pi\theta_2}} e^{-\frac{1}{2}\left(\frac{x-\theta_1}{\theta_2}\right)^2}$$

En este ejemplo el parámetro θ_1 representa la media y θ_2 la variancia. Si una variable aleatoria X tiene una función de densidad normal con θ_1 y variancia θ_2 , se dice que X es $N(\theta_1, \theta_2)$ también se escribe:

$$X \sim N(\theta_1, \theta_2).$$

OBSERVACIÓN: A una función de densidad de probabilidad también se le llama función de densidad.

CRITERIO DE BAYES. - Sea X una variable aleatoria con función de densidad de probabilidad $f(x; \theta)$, donde el parámetro θ es desconocido. El criterio de Bayes en teoría de decisiones consiste en considerar al parámetro desconocido θ como una variable aleatoria. Esta consideración es la diferencia importante entre el criterio de Bayes y el criterio clásico en teoría de decisiones, ya que el criterio clásico considera que el parámetro θ desconocido, es una constante y no una variable aleatoria.

TEOREMA DE BAYES.

Sea X una variable aleatoria con función de densidad de probabilidad $f(x; \theta)$ donde el parámetro desconocido θ es considerado como una variable aleatoria. Sea $f(\theta)$ la función de densidad de probabilidad de la variable θ . A $f(\theta)$ se le llama la función de densidad de probabilidad a priori de la variable aleatoria θ .

Sean x_1, x_2, \dots, x_n observaciones de X , y sea $f(x_1, x_2, \dots, x_n | \theta)$ la función de densidad de probabilidad condicional de x_1, x_2, \dots, x_n , dado θ . La función de densidad de θ dadas las observaciones x_1, x_2, \dots, x_n , está dada por:

$$f(\theta | x_1, x_2, \dots, x_n) = \frac{f(x_1, x_2, \dots, x_n | \theta) f(\theta)}{\int_0^\infty f(x_1, x_2, \dots, x_n | \theta) f(\theta) d\theta} \quad (8.1)$$

A $f(\theta | x_1, x_2, \dots, x_n)$ se le llama la función de densidad a posteriori de θ . A la fórmula (8.1) se le llama Teorema de Bayes.

NOTAS.

1- Para utilizar la fórmula (8.1) generalmente se efectúan los siguientes pasos:

- Subjetivamente se establecen los posibles valores que puede tomar el parámetro θ , junto con la probabilidad de que tomen los valores supuestos de θ . La función de probabilidad de estos valores también se da subjetivamente, en base a la experiencia, o de situaciones similares encontradas en otros

problemas resueltos.

- ii) Se obtienen los valores históricos (o experimentales), x_1, \dots, x_n .
- iii) Se calcula la condicional $f(x_1, \dots, x_n | \theta)$, para cada uno de los supuestos de θ .
- iv) Se asignan nuevas probabilidades a los valores de θ , usando la ecuación (8.1), en base de la información proporcionada por las observaciones históricas x_1, \dots, x_n .
- v) Con las nuevas probabilidades $f(\theta | x_1, \dots, x_n)$ para los posibles valores de θ , es posible hacer estimaciones o tomar decisiones sobre θ , como se verá en el teorema que aparece después.

2: En muchas ocasiones, en lugar de considerar directamente las observaciones x_1, \dots, x_n , se calcula una función $y = u(x_1, \dots, x_n)$ de las observaciones x_1, \dots, x_n , para concentrar toda la información que proporcionan x_1, \dots, x_n en un solo valor $y = u(x_1, \dots, x_n)$, y en base a esta información concentrada se estiman las nuevas probabilidades de θ , se calcula:

$$f(\theta | y) = \frac{f(y|\theta) f(\theta)}{\int_0^{\infty} f(y|\theta) f(\theta) d\theta} \quad (8.2)$$

Para obtener esta probabilidad aposteriori, primero es necesario encontrar la condicional $f(y|\theta)$ la cual depende de la función $f(x_1, \dots, x_n | \theta)$, que a su vez depende de $f(x)$. En general, es fácil encontrar la función $f(y|\theta)$ en términos de $f(x)$, aunque depende del tipo de la función $y = u(x_1, \dots, x_n)$ que se haya elegido. Por ejemplo, si:

$$y = u(x_1, \dots, x_n) = \bar{x} = \frac{x_1 + \dots + x_n}{n}$$

se sabe en estadística que $y = \bar{x}$ tiene una distribución igual a la distribución x , con la misma media, pero con variancia igual a la variancia de x sobre n . En el caso de que x sea $N(\mu, \sigma^2)$, entonces $y = \bar{x}$ es:

$$N\left(\mu, \frac{\sigma^2}{n}\right).$$

CRITERIO DE BAYES EN TEORÍA DE DECISIONES.

TEOREMA: Sea $f(x; \theta)$ una función de densidad de p -probabilidad, donde θ es un parámetro desconocido considerado como una variable aleatoria. Sean x_1, x_2, \dots, x_n observaciones de X , y si $y = u(x_1, \dots, x_n)$ una función de x_1, x_2, \dots, x_n . El estimador Bayesiano de θ , indicado por θ^* , usando el criterio del menor error cuadrado medio, está dado por:

$$\theta^* = \int \theta f(\theta | y) d\theta \quad (8.3)$$

Lemotilación:

El método de Bayes asociado al criterio del menor error cuadrado medio, consiste en elegir un estimador $\hat{\theta}^*$, que minimice el valor esperado condicional de $(\theta - \hat{\theta}^*)^2$, dadas las observaciones x_1, x_2, \dots, x_n .

Observación.

En probabilidad se sabe que $\int \theta f(\theta | y) d\theta$ es por definición la media condicional de θ dado y . Por lo tanto, observando la ecuación (8.3) se dice que el estimador Bayesiano θ^* de θ , basado en el criterio del menor error cuadrado medio, es la media condicional de θ dado y , o también se dice que θ^* es la media aposteriori de θ , o la media de la distribución aposterior $f(\theta | y)$.

MÉTODO DE COHEN.

TEOREMA: Sea $\{x_t : t \in A\}$, $A = \{1, 2, \dots, n\}$, una serie en el tiempo, y considerando que se puede representar por el modelo constante: $x_t = a + e_t$

donde a es un parámetro desconocido que representa la media del proceso, y e_t es el error aleatorio con distribución $N(0, \sigma_e^2)$, donde σ_e^2 es conocida. Suponga que el parámetro desconocido a , es una variable aleatoria, cuya distribución apriori es $N(a_0, \sigma_a^2)$, si nuestra consideración subjetiva es que a es una variable aleatoria $N(a_0, \sigma_a^2)$. Sea $y = \bar{x}$, la función que concentra toda la información histórica x_1, x_2, \dots, x_n .

$$\hat{\alpha} = \frac{\bar{x} T_0^2 + \alpha (\bar{T}_e^2/n)}{T_0^2 + (\bar{T}_e^2/n)} = \hat{\alpha}(n) \therefore \hat{\alpha}(n) = \frac{\bar{x} T_0^2 + \hat{\alpha}_0 (\bar{T}_e^2/n)}{\bar{T}_0^2 + (\bar{T}_e^2/n)} \quad (8.4)$$

$$\hat{\alpha} = \frac{\bar{x} \bar{n} \bar{x}}{\bar{u} + \bar{n}} \bar{x} + \frac{\bar{u}}{\bar{u} + \bar{n}} \hat{\alpha}_0 \text{ es } \hat{\alpha}^*(n) \therefore \hat{\alpha}^*(n) = \frac{\bar{x} \bar{n} \bar{x}}{\bar{u} + \bar{n}} \bar{x} + \frac{\bar{u}}{\bar{u} + \bar{n}} \hat{\alpha}_0 \quad (8.5)$$

dónde $u = \bar{T}_e^2/T_0^2$, y α^* se puede expresar como

$$\hat{\alpha}^* = \alpha x_n + (1-\alpha) \hat{\alpha}^*(n-1) \xrightarrow{\substack{\text{forma no diferente de la suavización} \\ \text{exponencial}}} \quad (8.6)$$

dónde $\alpha = 1/(u+n)$

(ii) Si n es muy grande el tiempo pasado es:

$$\hat{x}_{n+1} = \hat{\alpha}^*(n) \quad (8.7)$$

NOTA: La Técnica de Bayes deberá dejarse de usar cuando en algún tiempo ya se disponga de datos suficientes, y en ese momento deberá adoptarse otra técnica de pronóstico, quizás suavización exponencial u otra.

Ejemplo: Supongamos que deseamos pronosticar la demanda para un producto nuevo. Sospechamos que la demanda está normalmente distribuida y que un modelo constante es apropiado, pero no se dispone de información histórica. Se supone que una razonable densidad apriori para α es $N(50, 4)$, y que $T_e^2 = 7$. Para el período 1, el pronóstico es:

$$\hat{x}_1 = 50$$

se supone que la demanda real en el período 1 es $x_1 = 56$. Ahora el estimador de Bayes de α es:

$$\hat{\alpha}^*(1) = \frac{1}{(9/4)+1} (56) + \frac{(9/4)}{(9/4)+1} (50) \approx 52.$$

Por tanto, el pronóstico para el período 2 es:

$$\hat{x}_2 = 52$$

$$\hat{\alpha}^*(2) = \frac{1}{(9/4)+2} (58) + \frac{(13/4)}{(9/4)+2} (52) \approx 53$$

$$\text{y } \hat{x}_3 = 53$$

Este procedimiento se continúa hasta que haya suficiente datos acumulados disponibles, para que en ese momento se desarrolle un sistema de pronóstico permanente.

TEOREMA.

Considerando un modelo lineal de la forma $X_t = a + bt + \varepsilon_t$ el cual se encrescribe como:

$$\text{donde } a' = a + bt \quad \text{y} \quad \bar{\varepsilon} = \sum_{t=1}^n \varepsilon_t / n = n(n+1)/2$$

Suponiendo que las densidades apriori de b y a son normales, i.e. $b \sim N(b_0, \bar{T}_b^2)$ y $a \sim N(a_0, \bar{T}_a^2)$, y además que $\varepsilon_t \sim N(0, \bar{T}_\varepsilon^2)$.

Suponiendo que \bar{T}_ε^2 es conocida.

Sean

$$\hat{a}' = \sum_{t=1}^n X_t / n \quad \text{y} \quad \hat{b}' = \sum_{t=1}^n X_t(t - \bar{\varepsilon}) / SS_{tt}$$

estimadores de a' y b' , donde $SS_{tt} = \sum_{t=1}^n (t - \bar{\varepsilon})^2$.

Los estimadores de Bayes son:

$$b^* = \frac{w}{w + \bar{T}_b^2} \hat{b}' + \frac{\bar{T}_b^2}{w + \bar{T}_b^2} b_0 \quad (8.8)$$

dónde $w = SS_{tt} \bar{T}_b^2$

$$(a')^* = \frac{z}{z + \bar{T}_a^2} \hat{a}' + \frac{\bar{T}_a^2}{z + \bar{T}_a^2} a_0 \quad (8.9)$$

dónde $z = n \bar{T}_a^2$

- 1.- La matriz $\hat{\theta}_t$, es la que minimiza la diferencia cuadrática de los errores correspondientes a los estimadores obtenidos por mínimos cuadrados.
- 2.- Observando (8.8) y (8.9) se nota que los estimadores de Bayes (a_t) y b_t son promedios ponderados (o compromisibles) de los estimadores de mínimos cuadrados y de las medias de los apriori.
- 3.- Las fórmulas (8.8) y (8.9) se deben usar para que sucesivamente se vayan combinando los estimadores subjetivos con datos observados hasta que se tenga suficiente experiencia para desarrollar una síntesis de probabilidad permanente.

En la suavización exponencial la cual se deriva del método de mínimos cuadrados. En muchas series de tiempo, las observaciones sucesivas son altamente dependientes. Si éste es el caso, entonces los modelos anteriormente presentados son inadecuados. Esto no quiere decir que los métodos de suavización exponencial no funcionen para este tipo de observaciones. Se puede trabajar bastante bien con ellos. Sin embargo, los métodos de pronóstico explotan esta dependencia y producen buenos resultados. Se verán algunos de estos modelos.

A muchos de estos modelos alternativos se les puede diseñar como una combinación lineal de variables aleatorias independientes, es decir, $E_t, E_{t-1}, E_{t-2}, \dots$. A esta secuencia se le llama un proceso "white noise" y es extraída de una distribución estable, supuestamente normal, con media cero y variancia σ^2 .

La combinación lineal de los $\{E_t\}$ es:

$$X_t = \mu + \gamma_0 E_t + \gamma_1 E_{t-1} + \gamma_2 E_{t-2} + \dots \quad (9.1)$$

donde γ_i ($i=0, 1, \dots$) son los pesos y μ determina el nivel del proceso. A esta ecuación se le llama "linear filter". Las observaciones sucesivas X_t son dependientes, puesto que son generadas de los $\{E_t\}$. Desde el punto de vista de (9.1) a un modelo de series de tiempo se le define como una función que transforma las series de tiempo en un proceso de white noise.

Box y Jenkins han unificado esta metodología y desarrollado una serie de fórmulas para este enfoque. Los resultados de (9.1) se los llama los B_t y B^j_t .

UNA CLASE DE MODELOS DE SERIES DE TIEMPO.

El linear filter no es muy práctico por el número infinito de parámetros desconocidos que contiene (los pesos γ).

Al operador B de desplazamiento hacia atrás se le define como:

$$BE_t = E_{t-1}$$

$$\text{y } B^j E_t = E_{t-j}$$

Si se resta el término de la ecuación (9.1) en términos del operador B

$$\text{dijo } \gamma_t - \mu = \varphi_1 B + \varphi_2 B^2 + \varphi_3 B^3 + \dots + \varphi_p B^p$$

$$\text{ó } \gamma_t - \mu = \varphi(B) \gamma_t$$

$$\text{donde } \varphi(B) = \varphi_0 B^0 + \varphi_1 B^1 + \varphi_2 B^2 + \dots$$

Los modelos derivados de (9.1) pueden representar series de tiempo estacionarias y no estacionarias. Por estacionarias, se quiere decir que las series de tiempo oscilan aleatoriamente alrededor de una media constante, y por no estacionarias las que no tienen una media normal. Generalmente, si la secuencia de los pesos $\varphi_0, \varphi_1, \dots$ es finita o infinita y convergente, la serie es estacionaria con media μ . Si $\varphi_0, \varphi_1, \dots$ es infinita y divergente, la serie es no estacionaria y μ es únicamente un punto de referencia para el nivel de la serie.

MODELOS AUTORREGRESIVOS.

Es conveniente trabajar las series de tiempo en términos de la desviación μ . Por tanto, suponiendo que $\bar{x}_t = x_t - \mu$, para toda t . Un caso especial importante es el modelo:

$$\bar{x}_t = \varphi_1 \bar{x}_{t-1} + \varphi_2 \bar{x}_{t-2} + \dots + \varphi_p \bar{x}_{t-p} + e_t \quad (9.2)$$

y se le llama proceso autorregresivo (AR) y contiene p parámetros desconocidos $\varphi_1, \varphi_2, \dots, \varphi_p$.

Dos importantes procesos autorregresivos son:

$$\text{AR(1): } \bar{x}_t = \varphi_1 \bar{x}_{t-1} + e_t \quad \text{y}$$

$$\text{AR(2): } \bar{x}_t = \varphi_1 \bar{x}_{t-1} + \varphi_2 \bar{x}_{t-2} + e_t$$

La ecuación (9.2), en términos del operador B , es:

$$\bar{x}_t = (\varphi_0 B + \varphi_1 B^2 + \dots + \varphi_p B^p) \bar{x}_t + e_t \quad (9.3)$$

$$\text{ó } (1 - \varphi_1 B - \varphi_2 B^2 - \dots - \varphi_p B^p) \bar{x}_t = e_t.$$

$$\text{si } \varphi_1(B) = 1 - \varphi_1 B - \varphi_2 B^2 - \dots - \varphi_p B^p$$

$$\varphi_1(B)^{-1} \bar{x}_t = e_t \quad (9.4)$$

El modelo autorregresivo se utiliza para representar series de

tiempo estacionarias y no estacionarias. Si las raíces del polinomio $\varphi_1(B) = 1 - \varphi_1 B - \varphi_2 B^2 - \dots - \varphi_p B^p$ son todos de módulo menor que 1, esto garantiza que, por ejemplo, en el AR(1) cuando tiene:

$$|\varphi_1| < 1$$

$$\text{y en el AR(2): } |\varphi_1 + \varphi_2| < 1$$

$$|\varphi_2 - \varphi_1| < 1$$

$$|\varphi_2| < 1$$

MODELOS DE PROMEDIO MÓVIL.

Considerando el caso especial de linear filter (9.1) con sólo el primer peso ϑ no cero, se tiene:

$$\begin{aligned} \bar{x}_t &= E_t - \vartheta_1 E_{t-1} - \vartheta_2 E_{t-2} - \dots - \vartheta_q E_{t-q} \\ &= (1 - \vartheta_1 B - \vartheta_2 B^2 - \dots - \vartheta_q B^q) E_t \\ &= \Theta_q(B) E_t. \end{aligned} \quad (9.5)$$

donde $-\vartheta_1, -\vartheta_2, \dots, -\vartheta_q$ son el conjunto finito de pesos de (9.1). Al modelo (9.5) se le llama "proceso del promedio móvil" de orden q : MA(q).

Los dos casos más útiles e importantes son:

$$\text{MA(1): } \bar{x}_t = E_t - \vartheta_1 E_{t-1}$$

$$\text{MA(2): } \bar{x}_t = E_t - \vartheta_1 E_{t-1} - \vartheta_2 E_{t-2}$$

Existe una interesante dualidad entre el promedio móvil y el proceso autorregresivo. Por ejemplo, el proceso MA(1) ..

$$\bar{x}_t - \vartheta_1 \bar{x}_{t-1} = (1 - \vartheta_1 B) E_t.$$

cuya solución es: $E_t = (1 - \vartheta_1 B)^{-1} \bar{x}_t$.

$$\text{si } |\vartheta_1| < 1 \therefore E_t = \left(\sum_{j=0}^{\infty} \vartheta_1^j B^j \right) \bar{x}_t = (1 + \vartheta_1 B + \vartheta_1^2 B^2 + \dots) \bar{x}_t$$

el cual es un proceso infinito autorregresivo con pesos $\varphi_j = \vartheta_1^j$. Es decir, se ha invertido el proceso MA(1) para obtener el AR(∞).

A $|\vartheta_1| < 1$, se le llama condición de inversión para el proceso MA(1). En general, para efectuar la inversión del modelo MA(q),

el proceso AR(∞) se requiere que las raíces de (β_1) (5) estén fuera del círculo unitario. Sin embargo, el proceso del promedio móvil es estacionario cualesquiera que sean los pesos elegidos. Esta dualidad es verdadera para procesos autorregresivos, es decir, el proceso finito AR(p) se puede invertir para obtener uno de promedio móvil de orden infinito.

MODELOS MIXTOS DE PROMEDIO MÓVIL Y AUTORREGRESIVOS.

La construcción de un modelo empírico de series de tiempo puede conducir a un modelo muy lento, si se incluyen componentes del promedio móvil y autorregresivo, es decir, modelos mixtos de orden (p, q):

$$Z_t = \phi_1 Z_{t-1} + \phi_2 Z_{t-2} + \dots + \phi_p Z_{t-p} - \theta_1 E_{t-1} - \theta_2 E_{t-2} - \dots - \theta_q E_{t-q} + \epsilon_t$$

$$\text{ó } \Phi_p(B) Z_t = \Theta_q(B) \epsilon_t \quad (7.6)$$

en forma abreviada : ARMA(p, q)

un modelo particularmente útil es ARMA(1):

$$Z_t - \phi_1 Z_{t-1} = \epsilon_t - \theta_1 \epsilon_{t-1}$$

$$\text{ó } Z_t = \phi_1 Z_{t-1} + \epsilon_t - \theta_1 \epsilon_{t-1}$$

Las condiciones de estacionaridad e invertibilidad para los procesos AR(p) y MA(q) establecen estas propiedades para ARMA(p, q). Por ejemplo, el proceso ARMA(1,1) es estacionario si $| \phi_1 | < 1$, e invertible si $| \theta_1 | < 1$.

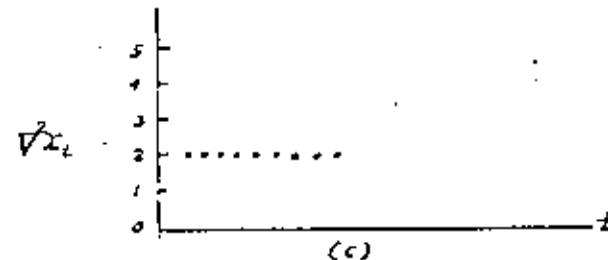
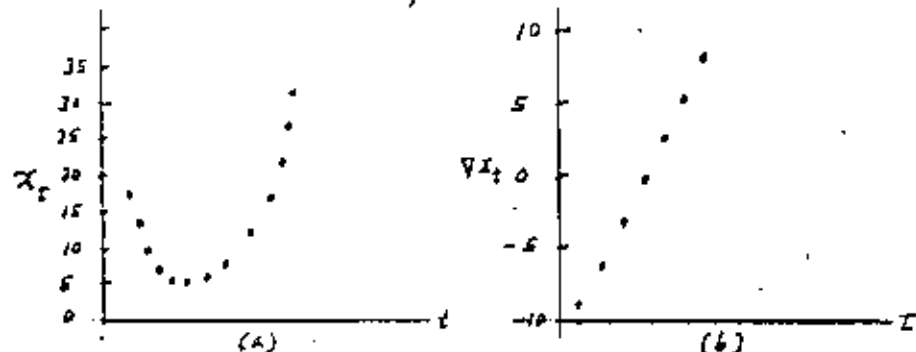
PROCESOS NO ESTACIONARIOS

Cuando las series de tiempo se comportan como si no tuvieran una media constante, se les llama no estacionarios en la medida.

Para ilustrar el funcionamiento de los no estacionarios, considérese el modelo discreto y determinístico que se muestran en las figuras : (a), (b), (c).

La figura muestra el comportamiento de una función no estacionaria en media y sesgo. La primera diferencia se representa en la

fig.(b), que sólo es no estacionaria en la medida la segunda diferencia se muestra en (c), es estacionaria.



Por lo tanto, para reducir una serie de tiempo estocástica no estacionaria a una estacionaria se usa diferenciación.

Definiendo al operador diferencial (hacia atrás) ∇ , como :

$$\nabla X_t = X_t - X_{t-1} \quad (7.7)$$

∇ se puede expresar en términos del operador B , como:

$$\nabla = (I - B)$$

$$\nabla^2 = (I - B)^2$$

$$\nabla^3 = (I - B)^3$$

$$\nabla^4 = (I - B)^4$$

Por ejemplo : $\nabla^2 X_t = (I - B)^2 X_t = X_t - 2X_{t-1} + X_{t-2}$
El operador diferencial siempre actúa sobre las observaciones originales.

Diferenciando se producen nuevas series $w_t = V^d X_t = V^d \tilde{X}_t$. Estas series $\{w_t\}$ puede tener media nula o cero.

El modelo mixto para el proceso del promedio móvil autorregresivo integrado ARIMA(p, d, q) de orden (p, d, q) es

$$\Phi_p(B) V^d X_t = \Theta_q(B) E_t \quad (7.8)$$

cuya característica principal es su flexibilidad y su forma alternativa es

$$\Phi(B) w_t = \Theta_q(B) E_t$$

Si las series w_t tienen media nula, es decir, μ_w , entonces el proceso ARIMA es:

$$\Phi_p(B)(w_t - \mu_w) = \Theta_q(B) E_t$$

La suposición de que μ_w es nula es pura intención un patrón mixto determinístico en una función estatal de predicción, y por esta razón se dice que $\mu_w = 0$, salvo que los datos indiquen otra cosa.

En la práctica muchas series de tiempo se pueden describir por un proceso ARIMA en el cual p, d, q no exceden de 2. Por ejemplo, si ARIMA(1,1,1):

$$(1-\phi_1 B)^d X_t = (1-\theta_1 B) E_t$$

$$\text{o } X_t = (1+\phi_1) X_{t-1} - \phi_1 X_{t-2} + E_t - \theta_1 E_{t-1},$$

Si $p, q, d = 0$, el ARIMA incluye modelos autorregresivos, promedio móvil y mixtos.

* CÁLCULO DE LOS PESOS ψ .

En la práctica es muy útil expresar cualquier modelo ARIMA(p, d, q) en términos de los pesos ψ del linear filter. Para efectuar esto, primero recordemos que el linear filter es:

$$\hat{X}_t = \Psi(B) E_t \quad \text{o } E_t = \frac{\hat{X}_t}{\Psi(B)}$$

sustituyendo en el \hat{X}_t corregida para μ se tiene

$$\Phi_p(B)^d \hat{X}_t = \Theta_q(B) \frac{\hat{X}_t}{\Psi(B)}$$

$$\text{o } \Psi(B) \Phi_p(B)^d \hat{X}_t = \Theta_q(B) \hat{X}_t$$

por lo tanto los pesos ψ se pueden obtener de la ecuación de coeficientes de B del desarrollo:

$$(\psi_0 + \psi_1 B + \psi_2 B^2 + \dots) (1 - \phi_1 B - \phi_2 B^2 - \dots - \phi_p B^p) (1 - B)^d = \\ = (1 - \theta_1 B - \theta_2 B^2 - \dots - \theta_q B^q)$$

Por ejemplo, considerando el modelo ARMA(1,1):

$$(1 - \phi_1 B) \hat{X}_t = (1 - \theta_1 B) E_t$$

Para encontrar los pesos ψ , se tiene:

$$(\psi_0 + \psi_1 B + \dots) (1 - \phi_1 B) = (1 - \theta_1 B)$$

Para B^0 : $\psi_0 = 1$

para B^1 : $\psi_1 = \psi_0 - \phi_1$

para B^2 los coeficientes son $\psi_2 - \phi_1 \psi_1$, $\psi_1 = 0$

lo cual da $\psi_2 = \phi_1 (\phi_1 - \theta_1)$

$$\therefore \psi_j = \phi_1^{j-1} (\phi_1 - \theta_1)$$

NOTA: como conclusión se podría agregar que, en general, los modelos presentados aquí, no son los apropiados para datos estacionarios.

10. PREDICTICO CON MODELOS DE BOX-JENKINS.

Box-Jenkins elaboraron una filosofía general para el desarrollo de un modelo adecuado de series de tiempo y su uso en pronósticos. Su aproximación consiste de un método iterativo de tres pasos. Primero, se construye un modelo tentativo de acuerdo a los datos actuales. Entonces los parámetros desconocidos se estiman, y finalmente se verifica el diagnóstico para determinar el modelo adecuado.

* IDENTIFICACION.

La identificación tentativa del modelo se efectúa por medio de un

análisis de los datos históricos. Se requiere de 50 observaciones como mínimo para lograr resultados satisfactorios. El principal instrumento en este análisis es la función de autocorrelación. Considerando la serie de tiempo estacionaria x_1, x_2, \dots, x_n , la función técnica de autocorrelación es:

$$\rho_k = \frac{E[(x_t - \bar{x})(x_{t+k} - \bar{x})]}{\sigma_x^2}, \quad k=0, 1, \dots \quad (10.1)$$

donde σ_x^2 es la variancia, ρ_k es la autocorrelación en la distancia k . Obviamente $\rho_0 = 1$; pero como nunca se tiene conocimiento exacto, una estimación satisfactoria de ρ_k es la función muestra de autocorrelación:

$$\hat{\rho}_k = \frac{\frac{1}{N-k} \sum_{i=1}^{N-k} (x_i - \bar{x})(x_{i+k} - \bar{x})}{\frac{1}{N} \sum_{i=1}^N (x_i - \bar{x})^2}, \quad k=0, 1, \dots, k \quad (10.2)$$

En el caso de una muestra, se calculan los primeros $k=N/4$ autocorrelaciones.

El coeficiente de autocorrelación parcial (o correlación condicional) ϕ_j se define como al coeficiente k -ésimo del proceso autorregresivo de orden k , y satisface la siguiente ecuación de Yule-Walker:

$$P_j = \phi_1 P_{j-1} + \phi_2 P_{j-2} + \dots + \phi_k P_{j-k}, \quad j=1, 2, \dots, k.$$

sustituyendo \hat{P}_j por P_j , se obtienen los coeficientes de autocorrelación parcial:

$$\hat{\rho}_j = \phi_1 \hat{\rho}_{j-1} + \phi_2 \hat{\rho}_{j-2} + \dots + \phi_k \hat{\rho}_{j-k}, \quad j=1, 2, \dots, k$$

cuya solución para $j=1, 2, \dots, k$, nos da la función muestra de autocorrelación parcial: $\hat{\rho}_1, \hat{\rho}_2, \dots, \hat{\rho}_k$

Por "cutting off" se quiere significar que la función tiene una aproximación exponencial, senoidal o oscilación armónica, con un número relativamente grande de saltores no cero. Por "tail off" se da a entender que la función se trunca bruscamente con pocos saltos no cero. Obsérvese la dualidad entre los procesos autorregresivo y promedio móvil (evidente en la Tabla I).

Según Box-Jenkins, el error estándar de los k -ésimos coeficientes de autocorrelación parcial es:

$$S(\hat{\rho}_k) \approx N^{-1/2} \left[1 + 2 \sum_{j=1}^{k-1} \gamma_j \right] \quad (10.3)$$

$$\text{donde } \gamma_j = \begin{cases} \hat{\rho}_j & \text{si } \hat{\rho}_j \neq 0 \\ 0 & \text{si } \hat{\rho}_j = 0 \end{cases}$$

el error estándar de los k -ésimos coeficientes de la autocorrelación parcial es: $S(\hat{\rho}_{ik}) \approx N^{-1/2} \quad (10.4)$

Generalmente, se supone alta autocorrelación, ya sea parcial o no, como cero, si el valor absoluto de su estimación es menor dos veces que su error estándar. Siempre es conveniente graficar directamente los límites $\pm 2S(\hat{\rho}_k)$ y $\pm 2S(\hat{\rho}_{ik})$ en las gráficas de las funciones. La invención de las funciones de autocorrelación y autocorrelación parcial de las series de tiempo estacionarias, para muy facilmente de un valor a otro. Si esto es cierto, se calculan las funciones para la primera diferencia de las series. Si las funciones se comportan de acuerdo a lo total (), entonces sólo un grado de diferencia se necesita para lograr la estacionariedad. Si no es así, se calculan sucesivamente diferencias de orden superior hasta que se produzca la estacionariedad.

Después, esto requiere habilidad y práctica.

TABLA I

COMPORTAMIENTO DE LAS FUNCIONES DE AUTOCORRELACION TECNICA Y AUTOCORRELACION PARCIAL PARA MODELOS ESTACIONARIOS

MODELO	FUNCION DE AUTOCORRELACION	FUNCION DE AUTOCORRELACION PARCIAL
AR(p)	Tails off	cuts off después de los últimos p .
MA(q)	cuts off, seguido de los últimos q .	Tails off.
ARMA(p,q)	Tails off, prevista el amortiguamiento de la onda senoidal después de los últimos $(q-p)$	Tails off, inversa el amortiguamiento de la onda senoidal después de los últimos $(p+q)$.

• ESTIMACION.

Una vez que las series de tiempo han sido identificadas tentativamente, el siguiente paso es estimar los parámetros del modelo por medio de mínimos cuadrados. Anteriormente se ha definido al modelo lineal como una relación lineal con parámetros desconocidos. Esto quiere decir que, si el modelo es lineal, entonces la derivada parcial de E_t con respecto a cualquier parámetro no es función de éstos. Por ejemplo, considerar el proceso AR(p):

$$\hat{X}_t = \phi_1 \hat{X}_{t-1} + \phi_2 \hat{X}_{t-2} + \dots + \phi_p \hat{X}_{t-p} + E_t$$

$$\text{o } E_t = \hat{X}_t - \phi_1 \hat{X}_{t-1} - \phi_2 \hat{X}_{t-2} - \dots - \phi_p \hat{X}_{t-p}.$$

$$\text{como } \frac{\partial E_t}{\partial \phi_i} = \hat{X}_{t-i}, \quad i=1, 2, \dots, p$$

no es función de los ϕ_i , entonces por medio de "mínimos cuadrados lineales" se estiman los parámetros de AR(p).

Línea 3:

Se revisan las ideas anteriores obteniendo los estimadores de AR(2), por medio de "mínimos cuadrados lineales".

$$\hat{X}_t = \phi_1 \hat{X}_{t-1} + \phi_2 \hat{X}_{t-2} + E_t$$

Suponiendo que se tienen N observaciones. Entonces se escriben los datos, en forma matricial, para el modelo AR(2) como:

$$\begin{bmatrix} \hat{X}_1 \\ \hat{X}_2 \\ \vdots \\ \hat{X}_{N-1} \\ \hat{X}_N \end{bmatrix} = \begin{bmatrix} \hat{X}_2 & \hat{X}_1 \\ \hat{X}_3 & \hat{X}_2 \\ \vdots & \vdots \\ \hat{X}_{N-1} & \hat{X}_{N-2} \\ \hat{X}_N & \hat{X}_{N-1} \end{bmatrix} \begin{bmatrix} \phi_1 \\ \phi_2 \end{bmatrix} + \begin{bmatrix} E_1 \\ E_2 \\ \vdots \\ E_{N-1} \\ E_N \end{bmatrix}$$

$$\text{o } X = Z \phi + \epsilon$$

∴ la estimación de los parámetros autoregresivos son:

$$\hat{\phi} = (Z'Z)^{-1} Z'X$$

Notese que anteriormente se han utilizado las últimas $N-2$ observaciones, puesto que las X_0 y X_1 requeridas para el AR(2) en $t=1$, no existen. Una solución alternativa para un valor inicial es hacer $X_0 = X_1 = 0$ y utilizar todo el conjunto de las N observaciones.

La estimación de los parámetros de un modelo de promedio móvil es tan simple por ejemplo, considerando al proceso MA(1)

$$\bar{X}_t = E_t - b_1 E_{t-1}$$

$$\therefore E_t = (1 - b_1)^{-1} \bar{X}_t$$

La primera derivada $\frac{\partial E_t}{\partial b_1} = b_1 (1 - b_1)^{-2}$ es una función de los parámetros desconocidos b_1 . Por lo tanto, estos no pueden ser estimados por mínimos cuadrados lineales. Una estimación aproximada se obtiene aplicando la técnica de la suma de la función cuadrada:

$$SS_t = \sum_{i=1}^N (\bar{X}_i - \hat{X}_i)^2$$

• VERIFICACION DEL DIAGNOSTICO

Si el modelo de ajustado es adecuado, las observaciones deberían transformarse a un proceso white noise. Así, un método lógico de verificar al diagnóstico es calcular los residuales, es decir,

$$e_t = X_t - \hat{X}_t$$

se construye y se examina su función de autocorrelación. Si el modelo es el adecuado, esta función no diferirá significativamente de cero para todos los últimos más grandes que cero. Un análisis cuidadoso de los residuales indicaría en cambio un mejoramiento potencial del modelo.

• PRONOSTICO

Una vez identificado el modelo correcto de las series de tiempo, estimados sus parámetros y verificado su diagnóstico, entonces, el modelo ya puede ser utilizado para generar pronósticos. Denotando por T al período presente, y suponiendo que se desea pronosticar la serie para el período $T+t$. Suponiendo además que \hat{X}_{T+t} (o \bar{X}_{T+t} si la serie esté corregida por la media) repre-

en el pronóstico para el período $T+t$

El procedimiento se sigue iterando la esperanza en el período T del modelo para el período $T+t$. Como regla general, el pronóstico para el período $T+t$ se construye a partir del pronóstico para los períodos $T+1, T+2, \dots, T+t-1$.

En este procedimiento, las \hat{X}_{T+j} que no han ocurrido en el tiempo T se reemplazan por su pronóstico \hat{X}_{T+j} ; los E_{T-j} se sustituyen de $C_{T-j} = L_{T-j} - \hat{X}_{T-j}$, y los E_{T-j} que no han ocurrido se reemplazan por ceros. Por ejemplo, considerando el modelo ARIMA(1,1,1) al final del tiempo $T+t$:

$$\hat{X}_{T+t} = (1 + \phi_1) \hat{X}_{T+t-1} - \phi_1 \hat{X}_{T+t-2} + E_{T+t} - \theta_1 E_{T+t-1}$$

Tomando la esperanza en el tiempo T se escrivaría para $t=1$

$$\bar{E}[\hat{X}_{T+1}] = \hat{X}_{T+1} = (1 + \phi_1) \hat{X}_T - \phi_1 \hat{X}_{T-1} - \theta_1 C_T$$

como $\bar{E}[E_{T+1}] = 0$, y al final del tiempo T , E_T se puede estimar por medio del residual en el tiempo T , $C_T = X_T - \hat{X}_T$.

Para $t \geq 2$, de forma similar se obtiene:

$$\bar{E}[\hat{X}_{T+t}] = \hat{X}_{T+t} = (1 + \phi_1) \hat{X}_{T+t-1} - \phi_1 \hat{X}_{T+t-2}$$

También se puede generar un pronóstico usando un modelo asimétrico de los pesos $\hat{\gamma}_t$. En general, en el período T , se tiene:

$$X_{T+t} = \gamma_0 E_{T+1} + \dots + \gamma_{t-1} E_{T+1} + \gamma_t E_T + \gamma_{t+1} E_{T+1} + \dots + E_{T+t}. \quad (10.5)$$

Sin embargo, en el tiempo $t > T$ se pueden remplazar los correspondientes E_t por ceros y en el tiempo $t \leq T$ se puede remplazar E_t por C_t , así el pronóstico es:

$$\hat{X}_{T+t} = \hat{\gamma}_t C_T + \hat{\gamma}_{t+1} C_{T+1} + \dots \quad (10.6)$$

La estimación de los pesos $\hat{\gamma}_T, \hat{\gamma}_{T+1}, \dots$ se obtiene de $\{\hat{\gamma}_t\}$ y $\{\theta_t\}$.

La variancia del peso $\hat{\gamma}_t$, el error de pronóstico es:

$$V(\hat{\gamma}_t) = \left\{ 1 + \sum_{j=t}^{T-1} \hat{\gamma}_j^2 \right\} \bar{V}_E^{-2}$$

Así, la aproximación $100(1-\alpha)$ del porcentaje de los límites de probabilidad del pronóstico para el período $T+t$ se calculan de

$$\hat{X}_{T+t} \pm Z_{\alpha/2} \left\{ 1 + \sum_{j=t}^{T-1} \hat{\gamma}_j^2 \right\} \bar{V}_E^{-2} \quad (10.7)$$

donde \bar{V}_E es una estimación de V_E y $Z_{\alpha/2}$ es un porcentaje de la densidad normal estándar, tal que:

$$\Pr\{Z \geq Z_{\alpha/2}\} = \alpha/2.$$

13-SISTEMA INFORMATIVO DE PRONÓSTICO.

Con el sistema de tiempo computado de computadora, se ha abierto una nueva dimensión en la aplicación de modelos estadísticas y sustentables a problemas secuenciales de decisión.

Como la función de pronóstico implica un proceso secuencial, se lo puede manipular satisfactoriamente con el sistema de tiempo computado. En seguida se describe brevemente este sistema, que permite obtener un análisis preliminar de datos, para identificar la técnica de pronóstico más apropiada para una situación dada, y aplicarla en el desarrollo de aquella.

El sistema interactivo de pronóstico ha dado excelentes resultados, tanto en la enseñanza, como para hacer decisiones en los negocios. Actualmente se aplica en las técnicas de administración.

En teoría y práctica ha respondido ampliamente a los requerimientos de computadoras de todos tipos, en las que es esencial justificar para un número de cantidad las incertidumbres que las afectan en su decisión y ejecución. Pero mientras la mayoría de los administradores están conscientes de la necesidad de emplear métodos de pronóstico, pocos son los que están familiarizados con las técnicas y sus características, que han sido desarrolladas, y así poder seleccionar la más apropiada a su problema.

Desafortunadamente existen pocos trabajos que traten directamente el uso administrativo de problemas de pronóstico; por el contrario, la literatura sobre este tema es extensa, y consiste de un excelente número de libros y artículos.

Como ejemplos de técnicas de pronóstico, se tiene el método de Box-Jenkins para aproximación de series de tiempo, el de Simeónov sobre técnicas de regresión, y el de Brown para suavizamiento de series de tiempo. Estos métodos han encontrado amplia aceptación en Investigación de operaciones, por lo tanto, es necesario describir sus aspectos técnicos y metodológicos, para trasladarlos a la práctica administrativa.

Los factores primarios concernientes a la administración, incluyen la experiencia práctica que otros han tenido al usar el método, su costo, su claridad y la exactitud en los resultados del pronóstico.

Todos aquellos que han tratado con métodos de pronóstico, saben de un número de requerimientos que son difíciles de satisfacer con los sistemas y técnicas existentes. Tres de los más importantes son los siguientes:

1.- La dificultad de mantener la flexibilidad de aproximación en nuevas situaciones.

Los administradores han encontrado que es fácil desarrollar un método de pronóstico de su preferencia, sobre todos los demás, para utilizarlo en cualquier nueva situación. Sin embargo, reconocer la necesidad de considerar un rango de técnicas alternativas que tales casos. Una fuente de esta dificultad es la confianza puesta en el criterio de un sólo técnico. Es difícil esperar imparcialidad de parte de este hacia cada alternativa del método, sencillamente a causa de la magnitud intelectual que dicha tarea requiere. Lo correcto sería que un sistema sostenga explícitamente la consideración de varias técnicas alternativas para cada de los problemas de pronóstico.

2.- Consideración de todos los factores relevantes al seleccionar una técnica de pronóstico.

Los administradores están conscientes de la necesidad de considerar no sólo la exactitud, sino también otros factores al seleccionar la técnica de pronóstico. Como el intercambio y criterio se deben hacer respecto a estos factores, el administrador necesita estar involucrado activamente para aplicar cualquier sistema de pronóstico.

3.- Un sistema para seleccionar rápidamente una técnica administrativa.

La otra parte que ha crecido problemática es la selección del pronóstico, es que ante una nueva situación, se ven en la necesidad de formular directamente o algún técnico de su personal, por no sentirse competentes para hacer el análisis preliminar. Sin embargo, si se efectúa una selección preliminar de técnicas alternativas para un problema dado, a la larga se ahorra tiempo y esfuerzo, y también se estimulará la adopción de procedimientos formales de pronósticos en casos en donde no sea necesario consultar a un especialista.

Sabemos, de los problemas que han encuestado los administradores, los que tienen programas de administración tienen más facilidad; la dificultad es clase hablar de detalles técnicos y esto ha sido algunas consideraciones prácticas. Esto es natural, dado que la mayor parte de la literatura sobre pronósticos es técnica en su orientación, y existe poco escrito sobre la experiencia actual.

Otro problema al que se enfrentan los que manejan pronósticos, es que tiene un tiempo considerable al establecer aplicar una técnica de manera completa a una simple situación. Puesto que la mayoría de los usuarios son relativamente cortos, no hay tiempo suficiente para aplicar un número de estas técnicas a varias situaciones del problema.

Finalmente, los usuarios se encuentran con la dificultad particular para establecer las suposiciones inherentes en cada método alternativo de pronóstico y su implicación en la práctica. Una solución clara para este ultimo, sería dar el suficiente número de experiencias prácticas para aplicar los métodos. Pero una vez, por falta de tiempo esto no se puede llevar a cabo.

En cambio, en gran parte, sobre un reconocimiento de los problemas anteriores, los autores han desarrollado un sistema interactivo tanto para la enseñanza como para su aplicación.

práctica. Este sistema ha sido instalado en computadoras de tiempo compartido.

En seguida se describe el sistema interactivo, cómo manejarlo, la experiencia práctica de los autores en la enseñanza, identificando y explicando las técnicas para cada problema particular de administración.

A la fecha, los resultados han sido optimistas, y parece ser se ha encontrado el objetivo para problemas previamente planeados.

DESCRIPCION DEL SISTEMA COMPUTARIZADO.

El sistema interactivo de pronóstico está dividido en dos segmentos secuenciales.

El primer segmento llamado SIBYL está dirigido para permitir al usuario ejecutar un análisis preliminar de sus datos, a fin de identificar las cuatro técnicas de pronóstico que podrían ser las más apropiadas para su caso.

Como se muestra en el diagrama de flujo (fig. 1), se comienza por introducir los datos que se desean examinar para usarlos como base del pronóstico. Este segmento hace una serie de preguntas del administrador respecto a su criterio acerca de los datos y las características del problema, más importantes en la selección del método. Entre los factores que necesariamente se deben considerar, están los siguientes:

- 1) El tiempo horizontal para efectuar una decisión: período inmediato, período corto, período medio y período largo.
- 2) El esquema de datos: estacional, horizontal, tendencia, cíclico o aleatorio.
- 3) El tipo de modelo deseado: series de tiempo, causal, estadístico o no estadístico.
- 4) El valor del pronóstico, así como la cantidad que puede ser gastada en su obtención.

vii) la exactitud requerida y su justificación.

viii) La complejidad tolerable.

ix) La disponibilidad de datos históricos.

Algunos de estos factores se les puede analizar mejor a través de pruebas estadísticas, mientras que otros implican el criterio del usuario. Los más requieren de información acerca de la técnica de pronóstico en sí misma, lo cual puede ser proporcionado por anteriores usuarios. Todos estos factores son importantes; y su consideración específica se debe hacer antes de seleccionar el método más apropiado.

Para poder elegir el mejor método se debe tener, por un lado, conocimiento de todas las técnicas de pronóstico; y por el otro, se deben evaluar todos los factores que influyen en la selección. Esta tarea no es fácil, aun por expertos en este campo. Para los métodos existen muchas dificultades, una de las más importantes es la falta de experiencia al evaluar los factores relevantes que influían en la elección del método de pronóstico.

La primera característica del segmento SIBYL, es que considera a todos los siete factores mencionados anteriormente, y da apoyo al usuario al manejarlos. La base lógica de esta consideración se muestra en la fig. 2. Esta figura ha sido desarrollada como base para comparar técnicas disponibles sobre diferentes factores. La influencia de esta estructura en el diseño del sistema, está reflejada en la secuencia de preguntas y respuestas. En este segmento (SIBYL), la pregunta inicial tratará con la serie de datos, que se están usando como base para el pronóstico; y también se graficarán para obtener distintas estadísticas.

La siguiente sección de preguntas tratará con el uso de la autocorrelación para identificar el espaciamiento básico de los datos. En esta parte de SIBYL, la autocorrelación se calcula para varios tamaños de densora, y se gráfica o se presenta en forma

de resumen estadístico. Una vez calculada la autocorrelación, SIBYL ayuda al usuario a identificar el esquema que mejor representa sus datos.

A través de una serie de preguntas, el programa obtiene información sobre los factores importantes y necesarios para seleccionar el método de pronóstico y suministra una lista de tres o cuatro técnicas que parecen ser las más adecuadas para el problema. También en este punto le da al usuario, un resumen de estadísticas comparativas sobre aquellas técnicas sugeridas y pregunta para seleccionar una para desarrollarla en el pronóstico presente. Una vez que se ha elegido el método, el control pasa al segundo segmento mayor del sistema: RUNNER.

Antes de describir a RUNNER, hay un par de características de este sistema de pronóstico que facilitan su uso, y merecen especial atención. Una de estas, es la opción que tiene el usuario de responder cualquier pregunta desde el sistema con la palabra HELP. Cuando el usuario contesta de esta manera recibe información adicional no sólo en forma de respuesta, sino también una explicación más general del factor y su relación con el pronóstico.

La segunda consiste de un manual suplementario expeditivo, ilustrado con ejemplos que involucran los principios importantes de pronóstico, y el uso de técnicas específicas.

Al segundo segmento principal del sistema se le llama RUNNER y se encierra en la figura 3. Este segmento está compuesto de un número de subroutines, en los que cada una es la versión computarizada de cada técnica especificada de pronóstico.

El programa RUNNER permite al usuario seleccionar de un conjunto de subroutines el método de pronóstico adecuado a sus datos. Se debe recordar que cuando el usuario llega a este punto, SIBYL ya ha identificado dos otras técnicas apropiadas al problema. La mayoría de preguntas y respuestas involucradas en este segmento del programa, tratan con un conjunto de parámetros para un

método, y operaciones de probabilidad. Por ejemplo, si el método es un simple sistema uniforme, este requiere que el usuario defina tres parámetros: los pesos, la constante de adaptación y el número de iteraciones.

Una vez que el método de pronóstico está fijo, se determina la exactitud de las técnicas. Si se lleva en cuenta el criterio y no porcentaje, finalmente, en RUNNER se lo utiliza para comparar diferentes técnicas para el mismo conjunto de datos históricos.

Después de "correr" la combinación SIBYL-RUNNER, el usuario tiene:

- 1.- Una síntesis general de los datos.
- 2.- Una selección de las técnicas disponibles de pronóstico.
- 3.- Un resumen detallado de las técnicas más apropiadas.
- 4.- La selección final de una técnica para su utilización.

EXPERIENCIA DEL USO DEL SISTEMA INTERACTIVO DE PRONÓSTICO.

El uso de este sistema de pronóstico, basado en tiempo computado, ha sido bien recibido en la enseñanza. Los estudiantes han sido más motivados, usando este aproximamiento, que con la de los libros de texto tradicionales; y profesores que han guiado en la aplicación práctica de estas técnicas alternativas.

Una de las características más atractivas de este sistema, es que se puede usar convenientemente con algunos familiarizado con él, y con su trabajo tridimensional, ya que permite visualizar mucho de la información jerárquica. Así, los estudiantes han mencionado que es muy útil, no solo en su aprendizaje inicial, sino que también, cuando que han estudiado un número de técnicas, les facilita su aplicación a situaciones específicas.

Aunque el sistema SIBYL-RUNNER no ha sido cabalmente probado en los negocios como en la enseñanza, ha proporcionado una ayuda de gran utilidad en pronósticos en los que ha sido aplicado. Una de las ventajas de este sistema en

administración, es que permite obtener en forma rápida y a bajo costo un pronóstico agrupado. En resumen, este método es adecuado como guía para examinar un amplio rango de alternativas para cualquier nueva situación, además, ayuda a considerar todos aquellos factores que son importantes para seleccionar la técnica más apropiada para un problema dado. La conclusión de los autores, es que este sistema satisface muchas de las necesidades existentes en el área de pronósticos.

Naturalmente, este sistema tiene limitaciones. En primer lugar, es que tanto administradores como estudiantes, deben adentrarse en pronósticos, así como en el rango de técnicas disponibles cuando de emplear o utilizar el SIBYL-RUNNER.

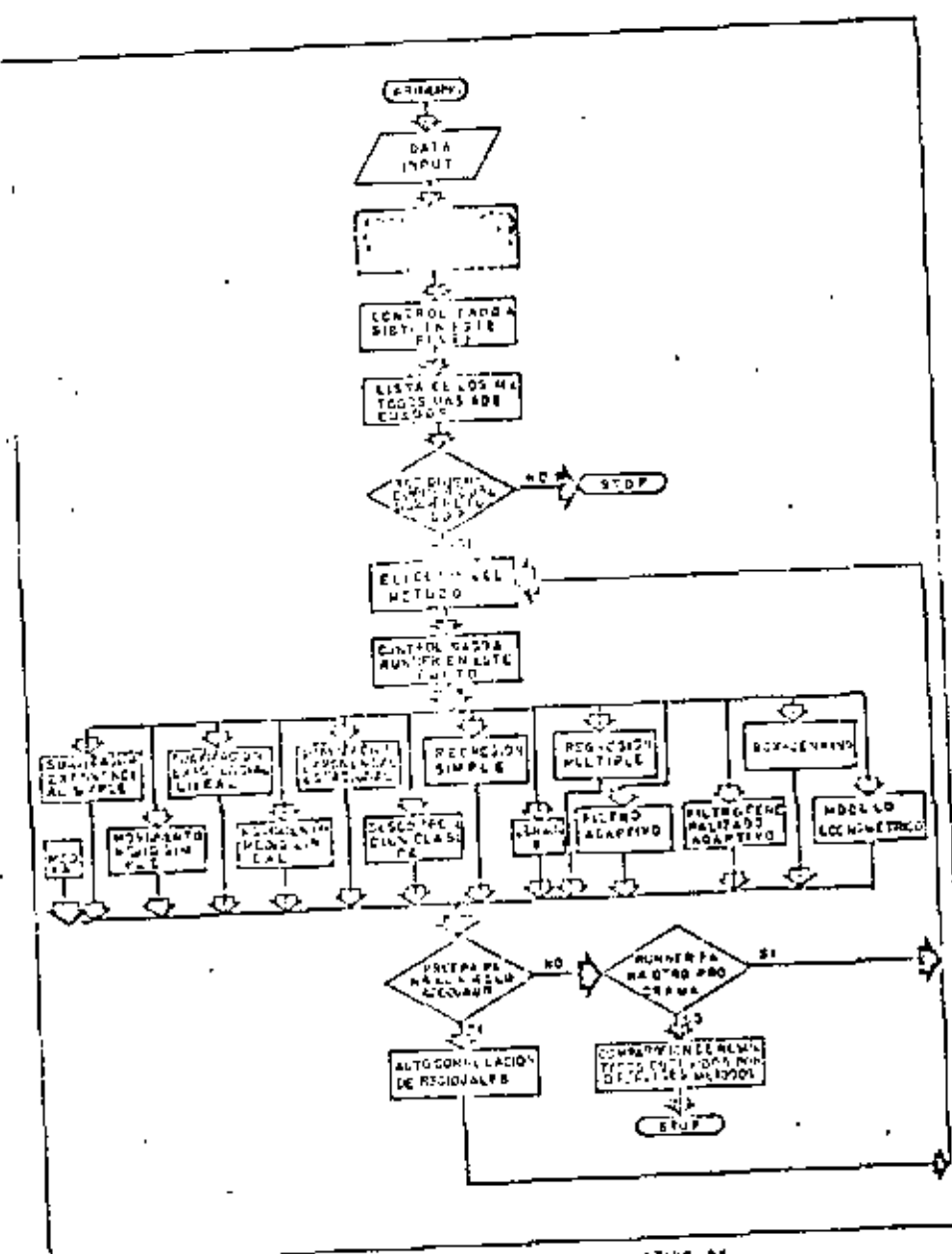
En segundo lugar, las preguntas y respuestas pueden ser rígidas fuera de tiempo, y por lo tanto fallar el criterio del usuario. Tercero, la simplicidad del sistema y su uso fácil puede llevar a aplicarlo, en casos en donde es necesario un análisis más sofisticado, lo cual debe ser efectuado por un especialista en pronósticos.

Este paquete está diseñado para adaptarse a la aplicación de métodos sistematizados de pronóstico, no para desempeñarlos.

Actualmente, un simple programa de computadora escribe al lenguaje de programación BASIC incorporando las características del sistema SIBYL-RUNNER. Además, existe un programa BASIC que representa a cada una de las técnicas de pronóstico incluyendo este sistema. Por ejemplo, existe un programa para suavización exponencial, otro para regresión simple, y así sucesivamente. Estos programas, que representan cada método de pronóstico, son llamados y controlados directamente por el programa SIBYL-RUNNER. Sin embargo, también se pueden correr individualmente.

El sistema SIBYL-RUNNER está programado en FORTRAN.

FACTORES	TECNICAS DE PROSTICO									
	TIPO DE ACCESO	TIPO DE CARACTERISTICA	TIPO DE ESTRUCTURA	TIPO DE ESTIMACION	TIPO DE CLASIFICACION	TIPO DE REGRESION	TIPO DE FILTRO	TIPO DE BOX-JENKINS	TIPO DE ANALISIS	TIPO DE ANALISIS
TIPO DE ACCESO	X	X	X	X	X	X	X	X	X	X
TIPO DE CARACTERISTICA	X	X	X	X	X	X	X	X	X	X
TIPO DE ESTRUCTURA	X	X	X	X	X	X	X	X	X	X
TIPO DE ESTIMACION	X	X	X	X	X	X	X	X	X	X
TIPO DE CLASIFICACION	X	X	X	X	X	X	X	X	X	X
TIPO DE REGRESION	X	X	X	X	X	X	X	X	X	X
TIPO DE FILTRO	X	X	X	X	X	X	X	X	X	X
TIPO DE BOX-JENKINS	X	X	X	X	X	X	X	X	X	X
TIPO DE ANALISIS	X	X	X	X	X	X	X	X	X	X
TIPO DE ANALISIS	X	X	X	X	X	X	X	X	X	X



CONCLUSIONES:

Los métodos de las series de tiempo han tenido un desarrollo considerable a partir de su introducción. Como ya se vio, existe una gran variedad de métodos que se pueden utilizar para adaptarse a la mayoría de estimación, pronóstico o control, que necesariamente implican series de tiempo, obteniéndose un alto grado de exactitud con su empleo.

Sin embargo, existe un problema que no es técnico, sino más bien consistente en la falta de comunicación entre los expertos en métodos de serie de tiempo y los usuarios potenciales. Aunque estos métodos son conocidos ampliamente, gracias a Box y Jenkins, Weiss y Kalman, subsisten problemas de tipo práctico.

No existe una documentación adecuada para la descripción verbal - de cómo debe usarse cada método y cómo interpretar los resultados en términos de programas de computadora para personas no capacitadas técnicamente. La descripción de los métodos es demasiado --- matemática y los diferentes programas existentes no están estandarizados.

El estudiante y el ejecutivo no están consciente de los beneficios de - utilizar los métodos de tiempo de filtrado, pronóstico o - control. Existe una carencia de información para permitir el avan- zamiento de costos, de exactitud, y desde luego en el análisis final, de los beneficios de usar tales técnicas. En fin, la crítica es simi-

lar a aquella que hizo Grayson a la ciencia de la administración, principalmente que el uso de métodos de series de tiempo es un arte que requiere de conocimientos prácticos que sólo unos cuan- tos especialistas saben aplicar.

En opinión de los autores, los inconvenientes antes mencionados se deben corregir. Existe la necesidad de varias prioridades de - investigación.

Primero, los hallazgos de la investigación deberán establecer el - nivel de exactitud, preferiblemente expresado en promedio de por- centaje de error de cada método individual. Segundo, una repre- sentación detallada del costo actual del desarrollo y funcionamien- to de cada técnica. Tal información sería inestimable para cual-quier usuario potencial. El trabajo, aunque no es fácil, dado el gran número de factores que influencian la exactitud y el costo, - no es tan difícil como las tareas llevadas a cabo por físicos y --- otros científicos.

Otra área de investigación debería ser dirigida hacia el desarrollo de filtros que incluyan esquemas de movimiento medio. Esto in- crementaría la eficiencia con poca carga computacional extra. La aplicación de los filtros, fuera de las situaciones de ingeniería, - parece prometer mucho.

3.

Los filtros combinan las características, tanto de los métodos de suavización (en términos de costos), como las del esquema auto-regresivo, en términos de rigorismo teórico, sin ser tan difícil o complejo su uso. Por lo tanto, su utilización en aplicaciones fuera del campo de la ingeniería podría ser sumamente útil.

Otra área que requiere atención, es la de predecir el ciclo de negocios de una manera más satisfactoria. Esta es una área de extrema importancia en pronósticos de negocios, en la cual, a la fecha, ningún método de series de tiempo ha tenido éxito. Existe, claro, algunos intentos aislados, tales como los de McLanghlin y Boyle. Sin embargo, los resultados han sido mediocres. También debe de haber un trabajo creativo de programación para elaborar paquetes de pronóstico que sean fáciles de entender, de usar, y que presenten sus resultados de tal forma que personas no especializadas, puedan utilizarlos para sus necesidades de estimación, de planeación, de pronóstico y de control.

Finalmente, el trabajo que queda, y el más importante, es dar a conocer los métodos de series de tiempo a los no expertos. Esto crearía un gran número de usuarios, y por lo tanto, aumentaría el interés y la actividad, en el área de las series de tiempo.

En opinión del autor, la tarea más urgente es la de educar al usu-

4.

rio potencial sobre los méritos de la aproximación de series de tiempo, aplicadas a datos cronológicos.

BIBLIOGRAFIA

- * Operations research in production planning, scheduling, and inventory control.
de L.A. Johnson.
D.C. Montgomery.
Edit. John Wiley and sons, Inc. London.
- * The statistical analysis of Time Series.
de T.W. Anderson.
Edit. John Wiley and sons, Inc. New York.
- * Elements of Applied stochastic Processes.
de U. Narayan Bhat.
Edit. John Wiley and sons, Inc.
- * Interactive forecasting. Volume II.
de Spyros Makridakis.
Edit. Christine Doerr, Hewlett. Packard.



COMPUTACION APLICADA A LA PLANEACION URBANA

PROGRAMACION LINEAL

Dr Sergio Fuentes Maya

Agosto, 1981

1. Introducción

CONTENIDO	Pag.
1. INTRODUCCION	1.1
2. BASES METODOLOGICAS DE P.L.	2.1
2.1 Conceptos y definiciones	2.2
2.2 Problemas lineales duales	2.5
2.3 El método Simplex revisado	2.11
2.4 Análisis Post-óptimo	2.19
2.5 Parametrización	2.36
3. EJEMPLOS DE APLICACION	3.1.

La programación lineal es la parte de la programación matemática más popular y ampliamente desarrollada. Su aplicación a problemas reales como a diversas ramas de la ciencia tiene como propósito resolver problemas de asignación de recursos en casos. El auge de la programación lineal se debe en gran parte a su facilidad para plantear y resolver problemas reales y una simplificación de los mismos, así como a la sencillez que existe para la interpretación de sus resultados. Una ventaja importante de la programación lineal es que dispone de métodos especiales para el análisis de un mismo problema cuando existen cambios en los datos. Esto permite establecer conclusiones sobre los resultados de un problema lineal cuando la información sobre algunos de sus parámetros es incierta o bien varía en intervalos definidos. Para ello, en los últimos veinte años se han desarrollado las técnicas de análisis post-óptimo y de parametrización que permiten determinar los efectos de cambios en los datos.

En la práctica también son importantes los métodos de solución de la programación lineal, pues aún problemas pequeños involucran una gran cantidad de operaciones que hacen indispensable el uso de las computadoras. Es por ello que se han desarrollado "paquetes comerciales" eficientes y sofisticados que incluyen permiten la solución de problemas de gran escala. La importancia de estos paquetes no sólo está en el hecho de que resuelva el problema dando una solución óptima, sino que -

además, proporcionan al usuario una gran cantidad de información adicional que le permite hacer un análisis post-óptimo, esto es, le permiten determinar los rangos de variación de diversos elementos del problema sin que cambie la solución óptima. Otros procesos que es posible realizar con estos paquetes son la parametrización, almacenamiento de la base y cambio arbitrario de un parámetro cualquiera del problema de P.L.

En esta ponencia desarrollamos las bases metodológicas de la programación lineal y presentaremos algunos ejemplos de aplicación.

2. Bases metodológicas de la P.L.

El propósito de este capítulo es presentar de manera uniforme los principales conceptos y resultados de la programación lineal. La idea de establecer de manera formal algunos de estos resultados se justifica de la necesidad de familiarizar al lector con las implicaciones de los mismos, las cuales, son frecuentemente usadas en la interpretación de los reportes de salida de los paquetes comerciales de la programación lineal. Los resultados fundamentales son enunciados y el lector puede recurrir a cualquier libro de programación lineal para su demostración o profundización en el tema.

Este capítulo se divide en cinco secciones, en la primera se dan algunas definiciones y resultados importantes introduciendo con ellos la notación que se maneja más a menudo. En la segunda sección se define el problema dual, cómo se obtiene y los resultados que caracterizan las soluciones óptimas de la programación lineal: los teoremas de dualidad y complementariedad. En la tercera sección se describe el método Simplex Revisado y se resuelven algunos ejemplos. La sección 4 trata el análisis post-óptimo y finalmente, la sección 5 introduce mediante un ejemplo, el concepto de parametrización.

2.1 Conceptos y definiciones de P.L.

Un problema lineal consiste en la maximización o minimización de una función lineal de varias variables sujeta a restricciones lineales en estas mismas variables. Una forma particular, del problema lineal, es la forma est醍ndar:

$$\text{minimice } c_1x_1 + c_2x_2 + \dots + c_nx_n$$

sujeto a

$$a_{11}x_1 + a_{12}x_2 + a_{13}x_3 + \dots + a_{1n}x_n = b_1$$

$$a_{21}x_1 + a_{22}x_2 + a_{23}x_3 + \dots + a_{2n}x_n = b_2$$

(P)

$$a_{m1}x_1 + a_{m2}x_2 + a_{m3}x_3 + \dots + a_{mn}x_n = b_m$$

$$x_1 \geq 0 ; x_2 \geq 0 ; \dots ; x_n \geq 0$$

donde los coeficientes a_{ij} , b_i y c_j son n鷖eros reales, y x_i , $i=1, \dots, n$ son las variables a determinar. Una forma compacta y usual de escribir (P) es:

$$\text{minimice } cx$$

$$Ax = b$$

$$x \geq 0$$

donde A , es una matriz $m \times n$; c , vector hilera de n componentes; b , un vector columna de m componentes y x , un vector columna de n variables.

Considere el sistema de ecuaciones lineales

$$Ax = b$$

donde A es una matriz $m \times n$; b , vector columna de m componentes; y x , vector columna de n incógnitas. Sea B una submatriz de A de orden $m \times m$ que no es singular y suponga que las $n-m$ componentes del vector x no asociadas a las columnas de B se hacen igual a cero. La solución del conjunto de ecuaciones resultante se denomina una solución básica con respecto a la base B . Las componentes de x asociadas a las columnas de B se denominan variables básicas. La solución básica es degenerada si una o más de las variables básicas tiene valor cero..

La idea al definir la solución básica del sistema $Ax=b$ es que si podemos escribir $A = [B, R]$, donde B es una matriz no singular, entonces una solución de este sistema de ecuaciones se puede determinar observando que, si hacemos $Bx_b = b$ el vector $x = \begin{bmatrix} x_B \\ 0 \end{bmatrix} = \begin{bmatrix} B^{-1}b \\ 0 \end{bmatrix}$ es la solución que deseamos. Note que en una solución básica no degenerada es inmediata la identificación de las columnas de A que forman la matriz no singular B . Sin embargo, en una solución degenerada existe cierta ambigüedad para identificar B , pues, las variables básicas con valor cero pueden ser confundidas con las variables no básicas cuyo valor es cero también.

Sea el problema lineal en forma estándar

$$\begin{array}{l} \text{minimice } cx \\ \text{sujeto a} \\ \quad Ax = b \\ \quad x \geq 0 \end{array}$$

Se dice que x es una solución factible si satisface las restricciones de este problema. Si la solución factible es también básica se dice que es una solución factible básica. De manera semejante se define la solución factible básica degenerada. Una solución factible que adquiere el valor mínimo de la función objetivo en el problema lineal se denomina solución óptima. La base B asociada a la solución óptima se denomina base óptima.

TEOREMA FUNDAMENTAL DE LA P.L.

Dado un problema lineal en la forma estándar en donde A es una matriz $m \times n$ con rango m :

- a. Si existe una solución factible, existe una solución factible básica;
- b. Si existe una solución factible óptima, existe una solución factible básica que es óptima.

Este resultado permite reducir el problema a programación lineal a la búsqueda de soluciones básicas cuyo número es finito.

2.2 Problemas lineales duales

Considere los problemas lineales

$$\begin{array}{ll} \text{minimice } cx & \text{maximice } \lambda b \\ (P) \quad Ax \geq b & \lambda A \leq c \\ \quad x \geq 0 & \quad \lambda \geq 0 \end{array} \quad (D)$$

donde A es una matriz $m \times n$; b , un vector columna de m componentes; c , un vector hilera de n componentes; x , un vector columna de n incógnitas; y λ , un vector hilera de m variables. Estos problemas se denominan problemas lineales duales y se dice que (P) es el problema primal y (D) el correspondiente problema dual.

Esta definición de problemas lineales duales permite determinar el problema dual de un problema lineal cualquiera. Esto se obtiene, básicamente, mediante la transformación del problema lineal original a la forma del problema (P) .

Ejemplo 1.

Considere el problema lineal en forma estándar

$$\begin{array}{l} \text{minimice } cx \\ (P') \quad Ax = b \\ \quad x \geq 0 \end{array}$$

que puede escribirse en forma equivalente como:

minimice cx

$$Ax \geq b$$

$$-Ax \geq -b$$

$$x \geq 0$$

y cuyo correspondiente problema dual es:

maximice $ub-vb$

$$uA-vA \leq c$$

$$u \geq 0 \quad v \geq 0$$

donde u y v son vectores hilera de m componentes. Si $\lambda = u-v$, el correspondiente par de problemas duales asociados es

minimice cx

$$(P') \quad Ax = b$$

$$x \geq 0$$

maximice λb

$$\lambda A \leq c \quad (D')$$

λ no restringida

denominada la forma asimétrica, pues en un problema, el vector de variables es restringido y en el otro es no restringido.

En general, se cumple que si alguna de las restricciones del problema primal es una igualdad, la componente correspondiente del vector λ en el problema dual será una variable no restringida. Recíprocamente, si alguna de las componentes del vector x en el problema primal es no restringida, la desigualdad correspondiente en el problema dual será igualdad.

Ejemplo 2. Determine el dual del problema lineal

minimice cx

$$Ax \leq b$$

$$x \geq 0$$

Primero conviene reformular este problema como

minimice cx

$$-Ax \geq -b$$

$$x \geq 0$$

cuyo dual asociado es dado por

maximice $-\lambda b$

$$-\lambda A \leq c$$

$$\lambda \geq 0$$

o si se prefiere, (i.e., el caso usado en paquetes comerciales)

maximice λb

$$\lambda A \leq c$$

$$\lambda \leq 0$$

Utilizando estas ideas podemos establecer las formas generales de problemas lineales duales:

PRIMAL	DUAL
Minimice $qy + cx$	Maximice $\lambda_1 b_1 + \lambda_2 b_2 + \lambda_3 b_3$
$Q_1y + A_1x \geq b_1$	$\lambda_1 Q_1 + \lambda_2 Q_2 + \lambda_3 Q_3 = q$
$Q_2y + A_2x = b_2$	$\lambda_1 A_1 + \lambda_2 A_2 - \lambda_3 A_3 \leq c$
$Q_3y + A_3x \leq b_3$	$\lambda_1 \geq 0 + \lambda_2 \text{ no restringida; } \lambda_3 \geq 0.$
$y \geq 0$	$x \geq 0$

PRIMAL	DUAL
Maximice $qy + cx$	Minimice $\lambda_1 b_1 + \lambda_2 b_2 + \lambda_3 b_3$
$Q_1y + A_1x \geq b_1$	$-\lambda_1 Q_1 + \lambda_2 Q_2 + \lambda_3 Q_3 = q$
$Q_2y + A_2x = b_2$	$-\lambda_1 A_1 + \lambda_2 A_2 + \lambda_3 A_3 \geq c$
$Q_3y + A_3x \leq b_3$	$\lambda_1 \geq 0 + \lambda_2 \text{ no restringida; } \lambda_3 \geq 0.$
$y \geq 0$	$x \geq 0$

La relación más importante y significativa de los problemas lineales duales queda resumida en el teorema de dualidad, el cual presenta la relación que existe entre los valores de las funciones objetivo de estos problemas y las relaciones que gobernan a las restricciones de un problema con las variables de decisión de su dual. Antes de establecer este resultado conviene señalar que dados los problemas lineales duales

$$\begin{array}{ll} \min z = cx & \max z = \lambda b \\ (P) \quad Ax \geq b & (\lambda) \quad \lambda A \leq c \\ x \geq 0 & \lambda \geq 0 \end{array}$$

Se cumple que si x_0 y λ_0 (arbitrarias) satisfacen las restricciones de estos problemas se tiene que $cx_0 \geq \lambda_0 b$, pues

$$cx_0 \geq (\lambda A)x_0 = \lambda(Ax_0) \geq \lambda_0 b$$

Asimismo, se tiene que $cx_0 = \lambda_0 b$ implica el par (x_0, λ_0) es la solución de los problemas lineales duales.

TEOREMA DE DUALIDAD

Si alguno de los problemas lineales duales (P) o (D) tiene solución óptima, lo mismo es cierto del otro problema y el correspondiente valor de la función objetivo es el mismo. Por otra parte, si uno de los problemas tiene función objetivo no acotada, el otro problema no tiene solución factible.

TEOREMA DE COMPLEMENTARIDAD

Considere los problemas lineales duales

$$\begin{array}{ll}
 \min z = cx & \max w = b^T \\
 (P) \quad Ax \geq b & \lambda A \leq c \\
 x \geq 0 & \lambda \geq 0
 \end{array}
 \quad (D)$$

Sean x^* y λ^* soluciones factibles de los problemas respectivos. Entonces, una condición necesaria y suficiente para que x^* y λ^* sean soluciones óptimas es que satisfagan las relaciones

- a. $x_i^* > 0$ implica $\lambda^* a_i = c_i$
- b. $x_i^* = 0$ si $\lambda^* a_i < c_i$
- c. $\lambda_j^* > 0$ implica $a_j^T x^* = b_j$
- d. $\lambda_j^* = 0$ si $a_j^T x^* > b_j$

donde a_i (a_j^T) es el i -ésimo (j -ésima) vector columna (hilera) de la matriz A .

Una interpretación económica de este resultado es como sigue:

Si en el problema (P) se tiene una restricción activa, esto es, $a_j^T x^* = b_j$, entonces el precio a que se compararía una unidad adicional del recurso j es igual a λ_j^* . Además, si la restricción es no activa, esto es $a_j^T x^* > b_j$, el precio a que se compraría la unidad adicional de recurso es igual a cero.

De este resultado se justifica que los elementos λ_j^* $j=1, \dots, m$, sean denominados los precios sombra o precios de oportunidad.

2.3 El método Simplex Revisado

Existen distintos métodos de solución del problema de programación lineal, el más frecuentemente utilizado para la solución de problemas de programación lineal es el llamado Simplex Revisado. Este método consiste en pasar de una solución factible básica a otra, de tal manera, que en cada paso el valor de la función objetivo disminuya. La terminación del proceso se garantiza en un número finito de pasos, ya que, el número de soluciones factibles es finito. Este método además proporciona elementos suficientes para calcular la solución del problema dual.

Dada la importancia del método simplex revisado conviene describir las bases del mismo:

Considere el problema lineal

$$\begin{aligned}
 &\text{minimice } z = cx \\
 &Ax = b \\
 &x \geq 0
 \end{aligned}$$

donde A es matriz $m \times n$; b , vector columna de m componentes; c , vector hilera de n componentes; y , x vector de n variables. Suponga que la base B consiste de las primeras m columnas de A . Suponga que particionamos A , x y c como sigue:

$$A = [B, R] \therefore x^t = [x_B^t, x_R^t]; \quad c = [c_B, c_R]$$

Entonces, el problema lineal es equivalente a:

$$\text{minimice } z = c_B x_B + c_R x_R$$

$$Bx_B + Rx_R = b$$

$$x_B \geq 0 ; x_R \geq 0$$

y una solución factible básica asociada con la base B es $x^t = (x_B, x_R) = (B^{-1}b, 0)$ con valor de la función objetivo $z_0 = c_B x_B = c_B B^{-1}b$. Sin embargo, para valores de $x_R \neq 0$, el vector x_B está dado por $x_B = B^{-1}b - B^{-1}R x_R$. De donde, sustituyendo x_B en z tenemos

$$\begin{aligned} z &= c_B(B^{-1}b - B^{-1}R x_R) + c_R x_R \\ &= c_B B^{-1}b + (c_R - c_B B^{-1}R)x_R \\ &= z_0 + (c_R - c_B B^{-1}R)x_R \end{aligned}$$

y se observa que, si el vector de costos relativos 6 reducidos $\bar{c}_R = c_R - c_B B^{-1}R \geq 0$, entonces

$$z_0 \leq c_B B^{-1}b + (c_R - c_B B^{-1}R)x_R = z$$

y por lo tanto, la solución básica original $(x_B, 0)$ es óptima. Este resultado se conoce como: Principio de Optimalidad.

Al expresar el valor de la función objetivo en términos de las variables no básicas x_R , podemos determinar si alguna de ellas debe entrar a la base, o, si el proceso de búsqueda de una solución óptima ha llegado a su fin. Esto es, si la

i-ésima componente del vector de costos relativos es $\bar{c}_{R_i} < 0$ entonces, para valores de x_j positivos tenemos que $\bar{c}_{R_i} x_j < 0$. De aquí $z_0 > z$ y por lo tanto, la solución básica anterior no es la mínima y debe considerarse una nueva solución donde x_j esté en la base.

Descripción del Método Simplex Revisado

Suponga que B es una base del problema lineal y que la solución $x = (x_B, 0) = (B^{-1}b, 0)$ es una solución factible.

1. Calcule $\lambda = c_B B^{-1}$. Calcule el vector de costos relativos $\bar{c}_R = c_R - \lambda R$. Si $\bar{c}_R \geq 0$ la solución es óptima.

2. Determine un vector a_j que entre a la base. Este será aquél con costo relativo más negativo. Calcule $y = B^{-1}a_j$ que expresa el vector a_j en términos de la base actual.

3. Determine el vector que sale de la base, esto es, si $b = B^{-1}b$, $y = B^{-1}a_j$ determine el índice k tal que

$$\frac{b_k}{y_k} = \min \{ \frac{b_i}{y_i} : \text{si } y > 0 \}$$

donde b_i (y_i) denota el i-ésimo elemento del vector b (y).

Finalmente, actualice la base (y su inversa) y regrese a 1.

Ejemplo 1. Consideré el problema lineal

$$\text{minimice } z = -20x_1 - 10x_2 - x_3$$

$$3x_1 + 2x_2 + 10x_3 \leq 10$$

$$2x_1 + 4x_2 + 20x_3 \leq 15$$

$$x_1 \geq 0 ; x_2 \geq 0 ; x_3 \geq 0$$

Para resolver este problema usando el método simplex revisado, se introducen variables de holgura y se obtiene

$$\text{minimice } z = -20x_1 - 10x_2 - x_3$$

$$3x_1 + 2x_2 + 10x_3 + x_4 = 10$$

$$2x_1 + 4x_2 + 20x_3 + x_5 = 15$$

$$x_1 \geq 0 ; x_2 \geq 0 ; x_3 \geq 0 ; x_4 \geq 0 ; x_5 \geq 0$$

cuya tableau inicial es:

a_1	a_2	a_3	a_4	a_5	b
3	2	10	1	0	10
2	4	20	0	1	15
-20	-10	-1	0	0	0

Una base factible inicial puede identificarse inmediatamente del tableau simplex. Por lo tanto:

Iteración 1. $B = [a_4, a_5]$ y $c_B = [0, 0]$. Asimismo,

	B^{-1}	$B^{-1}b$	$B^{-1}a_1$
x_4	1	0	10
x_5	0	1	15

Entonces $\lambda = c_B B^{-1} = [0, 0]$ y puesto que $R = [a_1, a_2, a_3]$ se tiene que $c_R = [-20, -10, -1]$. Asimismo,

$$\bar{c}_R = c_R - \lambda R = [-20, -10, -1]$$

Seleccionando al vector a_1 para entrar a la base se tiene de la comparación de $B^{-1}a_1$ con $B^{-1}b$ que el vector que sale de la base es a_4 , pues $\min\{10/3, 15/2\} = 10/3$.

Iteración 2. Usando $B = [a_1, a_5]$ se tiene que $c_B = [-20, 0]$ y podemos determinar la inversa de la base B , usando el elemento pivote indicado en la iteración anterior.

	B^{-1}	$B^{-1}b$
x_1	1/3	0
x_5	-2/3	1

de donde $\lambda = c_B B^{-1} = [-20/3, 0]$ y dado que $R = [a_4, a_2, a_3]$ se tiene que $c_R = [0, -10, -1]$. Asimismo,

$$\bar{c}_R = c_R - \lambda R = [20/3, 10/3, 197/3]$$

Puesto que $\bar{c}_R \geq 0$, la solución óptima es $x_1^* = 10/3; x_5^* = 25/3; x_2^* = x_3^* = x_4^* = 0$, y la función objetivo es $z^* = -200/3$.

Ejemplo 2. Considera el problema lineal*

$$\text{maximizar } z = 2x_1 + x_2 - 3x_3 + 5x_4$$

$$x_1 + 2x_2 + 4x_3 - x_4 \leq 6$$

$$2x_1 + 3x_2 - x_3 + x_4 \leq 12$$

$$x_1 + x_3 + x_4 \leq 4$$

$$x_1 \geq 0, x_2 \geq 0, x_3 \geq 0, x_4 \geq 0$$

Resolvemos este problema usando el criterio de optimalidad correspondiente, esto es, la solución óptima deberá satisfacer $\bar{c}_R = c_R - \lambda R \leq 0$. Para ello note que el tableau inicial es:

a_1	a_2	a_3	a_4	a_5	a_6	a_7	b
1	2	4	-1	1	0	0	6
2	3	-1	1	0	1	0	12
1	0	1	1	0	0	1	4
2	1	-3	5	0	0	0	0

y que una base inicial se tiene en forma inmediata, específicamente $B = [a_5, a_6, a_7]$, por lo que podemos empezar a resolver el problema con el método simplex revisado.

Iteración 1. Sea $B = [a_5, a_6, a_7]$ y $c_B = [0, 0, 0]$

	B^{-1}	$B^{-1}b$	$B^{-1}a_4$
x_5	1	0	0
x_6	0	1	0
x_7	0	0	1

De donde, $\lambda = c_B B^{-1} = [0, 0, 0]$ y $R = [a_1, a_2, a_3, a_4]$. De aquí que $c_R = [2, 1, -3, 5]$ y $\bar{c}_R = c_R - \lambda R = [2, 1, -3, 5]$.

Por lo tanto, se selecciona el vector a_4 para entrar a la base y de la comparación de $B^{-1}b$ con $B^{-1}a_4$ se obtiene que el vector que sale de la base es a_7 pues:

$$\min(12/1, 4/1) = 4$$

Iteración 2. Usando $B = [a_5, a_6, a_4]$ se tiene que $c_B = [0, 0, 5]$ y la inversa de la nueva base B puede obtenerse usando el elemento pivote indicado en la iteración anterior.

	B^{-1}	$B^{-1}b$	$B^{-1}a_2$
x_5	1	0	1
x_6	0	1	-1
x_4	0	0	1

de donde $\lambda = c_B B^{-1} = [0, 0, 5]$ y $R = [a_1, a_2, a_3, a_7]$. Entonces $c_R = [2, 1, -3, 0]$ y $\bar{c}_R = c_R - \lambda R = [-3, 1, -8, -5]$.

Por lo tanto, se selecciona el vector a_2 para entrar a la base y de la comparación $B^{-1}b$ con $B^{-1}a_2$ se obtiene que a_6 sale de la base ya que

$$\min\{10/2, 8/3\} = 8/3$$

Iteración 3. La nueva base es $B = [a_5, a_2, a_4]$ y $c_B = [0, 1, 5]$. Se tiene la inversa de esta nueva base usando el elemento pivote indicado en la iteración anterior.

	B^{-1}			$B^{-1}b$
x_5	1	-2/3	5/3	14/3
x_2	0	1/3	-1/3	8/3
x_4	0	0	1	4

de donde $\lambda = c_B B^{-1} = [0, 1/3, 14/3]$ y $R = [a_1, a_6, a_3, a_7]$.

Entonces $c_R = [2, 0, -3, 0]$ y $\bar{c}_R = c_R - \lambda R = [-10/3, -1/3, -22/3, -14/3]$

Puesto que $\bar{c}_R \leq 0$ la solución óptima es

$x_2^* = 8/3$, $x_4^* = 4$, $x_5^* = 14/3$, $x_1^* = x_3^* = x_6^* = x_7^* = 0$ y el valor de la función objetivo es $z^* = 68/3$. Los valores duales asociados a la solución óptima son: $\lambda_1 = 0$, $\lambda_2 = 1/3$ y $\lambda_3 = 14/3$.

2.4 Análisis post-óptimo

Este problema surge del interés por conocer la forma en que varía la solución óptima de un problema de programación lineal, al cambiar algunos de los parámetros usados. El aspecto importante de esta problemática es que, frecuentemente, se requiere un mínimo de cálculos adicionales para obtener la nueva solución óptima sin tener que resolver el problema totalmente. Las operaciones requeridas para este análisis se conocen con el nombre de análisis de sensibilidad o post-óptimo.

El interés de este análisis se enfoca a establecer las condiciones bajo las cuales la base óptima se conserva al variar el vector de recursos y el vector de costos. Asimismo, se desea establecer el costo que representa para la solución óptima la introducción de variables no-básicas. Con el propósito de tener un marco para el análisis del comportamiento del problema lineal considere:

$$(P) \quad \begin{aligned} & \text{minimice } z = cx \\ & Ax = b \\ & x \geq 0 \end{aligned}$$

Suponga que $A = [B, \bar{A}]$, donde B es una matriz invertible, $c = [c_B, c_R]$ y $x^t = [x_B^t, x_R^t]$. Entonces usando la solución básica x asociada con B podemos transformar (P) en:

$$\text{minimice } z = c_B x_B + c_R x_R$$

$$Bx_B + Rx_R = b$$

$$x_B \geq 0 \quad ; \quad x_R \geq 0$$

Suponiendo que la solución básica $x = [x_B, x_R] = [B^{-1}b, 0]$ es óptima, las condiciones de optimalidad son:

- a. $x_B = B^{-1}b \geq 0$
- b. $c_R - c_R B^{-1} \geq 0$

donde se observa que la factibilidad del problema primal no depende del vector de costos c ; de la misma manera, la factibilidad del problema dual no depende del vector de requerimientos b . Estas observaciones son la base del análisis del problema de variación de datos, pues lo que se buscará es satisfacer las mismas condiciones de optimalidad al cambiar parámetros.

a. Cambio en el vector de requerimientos

Suponga que en el problema original se cambia b por el vector $b + ad$ donde a es un escalar y d es un vector columna de m componentes. Analizaremos las condiciones bajo las cuales la base óptima B sigue siendo óptima. Para la discusión supondremos que la solución óptima original es no degenerada, esto es, $x_B = B^{-1}b > 0$. Note que la condición necesaria y suficiente para que B siga siendo óptima es que

$$B^{-1}(b + ad) \geq 0$$

Sin embargo esto se cumple, al menos, para valores de a pequeños pues $B^{-1}b > 0$. En este caso el cambio en la función objetivo es:

$$\Delta z = c_B B^{-1} [b + ab] - c_B B^{-1}b = c_B B^{-1} ab = \lambda ab$$

y se concluye que la solución del problema dual λ es una medida de la rapidez de variación de los valores óptimos de la función objetivo del primal respecto a los requerimientos.

Si definimos $y = B^{-1}d$ se puede verificar que los valores de a para los cuales la base óptima B se conserva están dados por el intervalo $[\underline{a}, \bar{a}]$ en que

$$\underline{a} = \min_i \{-x_{Bi}/y_i : y_i < 0\}$$

$$\bar{a} = \max_i \{-x_{Bi}/y_i : y_i > 0\}$$

donde x_{Bi} es la componente i -ésima del vector x_B . Esto significa que para valores fuera de este intervalo la solución básica dada por $x_B = B^{-1}b + ay$, deja de ser factible (y óptima) del problema modificado. En particular, si se tiene que $y = B^{-1}d \geq 0$ la solución básica $x_B = B^{-1}b + ay$ es óptima para toda $a \geq 0$. Análogamente, si $y \leq 0$ la solución x_B es óptima para toda $a \leq 0$.

Ejemplo 1. Consideré el problema

$$\begin{aligned} \text{minimice } z &= -20x_1 + 10x_2 - x_3 \\ 3x_1 + 2x_2 + 10x_3 + x_4 &= 10 \\ 2x_1 + 4x_2 + 20x_3 + x_5 &= 15 \\ x_1 \geq 0, x_2 \geq 0, x_3 \geq 0, x_4 \geq 0, x_5 \geq 0. \end{aligned}$$

cuyo tableau simplex inicial es

x_1	x_2	x_3	x_4	x_5	x_b
3	2	10	1	0	10
2	4	20	0	1	15
-20	-10	-1	0	0	0

y el tableau simplex final es

x_1	x_2	x_3	x_4	x_5	b
1	2/3	10/3	1/3	0	10/3
0	8/3	40/3	-2/3	1	25/3
0	10/3	197/3	-20/3	0	200/3

Suponga que deseamos encontrar el intervalo de variación de la primera componente del vector $b^t = [10, 5]$ sin que cambie la base óptima ya determinada. Asimismo, calcule los valores de la función objetivo para los límites de ese intervalo.

La inversa de la base óptima es

$$B^{-1} = \begin{bmatrix} 1/3 & 0 \\ -2/3 & 1 \end{bmatrix}$$

Consideré ahora el cambio del vector b por $b + \alpha e_1$ donde α es un escalar y $e_1 = [1, 0]$. Para determinar el intervalo de variación de α hagamos

$$y = B^{-1} e_1 = \begin{bmatrix} 1/3 & 0 \\ -2/3 & 1 \end{bmatrix} \begin{bmatrix} 1 \\ 0 \end{bmatrix} = \begin{bmatrix} 1/3 \\ -2/3 \end{bmatrix}$$

El valor máximo de α , denotado $\bar{\alpha}$, es tal que

$$x_B = B^{-1} b + \alpha y = \begin{bmatrix} 10/3 \\ 25/3 \end{bmatrix} + \alpha \begin{bmatrix} 1/3 \\ -2/3 \end{bmatrix} \geq 0$$

de donde $\bar{\alpha} = (25/3)/(2/3) = 25/2$. El valor mínimo de α es $\underline{\alpha} = (-10/3)/(1/3) = -10$. Por lo tanto la base asociada a la solución óptima original no cambia si el valor de la primera componente de b está en el intervalo $[0, 45/2]$. Los valores de la función objetivo cuando b_1 toma estos valores extremos son:

$$z(0) = 0 \quad ; \quad z(45/2) = -150$$

b. Cambio en el vector de costos

Suponga que en el problema original se cambia el vector de costos c por $c + \beta h$, donde β es un escalar y h un vector hilera de n componentes. Analizaremos las condiciones bajo las cuales la base óptima B sigue siendo óptima. Supondremos para el análisis que la solución óptima del problema dual es no-degenerada, esto es, el sistema $\lambda A \leq c$, donde $A = [B, R]$ y $c = [c_B, c_R]$ puede expresarse como:

$$\lambda B = c_B \quad \text{y} \quad \lambda R \leq c_R$$

que indica que las primeras m desigualdades del sistema se satisfacen con igualdad y las $n-m$ restantes con estricta desigualdad. Sin embargo, puesto que $\lambda = c_B B^{-1}$, la solución óptima no-degenerada implica que

$$c_R - c_B B^{-1} R = c_R - \lambda R > 0$$

Por otra parte, la condición necesaria y suficiente para que la base B siga siendo óptima es que se cumpla

$$[c_R + \Delta c_R] - [c_B + \Delta c_B] B^{-1} R \geq 0$$

donde $[\Delta c_B, \Delta c_R] = \Delta c = \beta h$ es la variación propuesta al vector de costos. Esta expresión equivale a

$$[c_R - c_B B^{-1} R] + [\Delta c_R - \Delta c_B B^{-1} R] \geq 0$$

y se satisface para el caso que se analiza con valores de β suficientemente pequeños, debido a que la solución óptima del

problema dual es no-degenerada. Si la base B sigue siendo óptima el vector $\lambda = [c_B + \Delta c_B] B^{-1}$ es la solución óptima del dual y el cambio en la función objetivo es

$$\Delta w = [c_B + \Delta c_B] B^{-1} b - c_B B^{-1} b = \Delta c_B B^{-1} b$$

que equivale a $\Delta w = \Delta c_B x_B + \Delta c_R x_R = \Delta c x$ pues $x_R = 0$ y $x_B = B^{-1} b$. De donde se concluye que la solución óptima del problema primal representa la rapidez de cambio de la función objetivo del problema dual respecto al vector de costos.

Si $\bar{c}_R = [c_R - c_B B^{-1} R] > 0$ y $s = h_R - h_B B^{-1} R$ puede verificarse que los límites de β para los cuales la base B no cambia quedan dados por el intervalo $[\underline{\beta}, \bar{\beta}]$ donde

$$\underline{\beta} = \min \{-\bar{c}_{Rj}/s_j ; s_j < 0\}$$

$$\bar{\beta} = \max \{-\bar{c}_{Rj}/s_j ; s_j > 0\}$$

aquí \bar{c}_{Rj} es la componente i -ésima de \bar{c}_R (y lo mismo sucede con s_j). Finalmente note que si $s \geq 0$ el vector solución $= [c_B + \beta h_B] B^{-1}$ es óptimo para toda $\beta \geq 0$. Analogamente, si $s \leq 0$, la solución λ es óptima para toda $\beta \leq 0$.

Ejemplo 2. Determine el intervalo de variación de la primera componente del vector de costos del ejemplo 1 (de esta sección) sin que cambie la base óptima original.

En el ejemplo 1 se estableció que

$$B^{-1} = \begin{bmatrix} 1/3 & 0 \\ -2/3 & 1 \end{bmatrix}$$

donde $B = [a_1, a_5]$ y $R = [a_2, a_3, a_4]$. Asimismo, se verifica que $c_B = [-20, 0]$ y $c_R = [-10, -1, 0]$. De donde para determinar el intervalo de variación de la primera componente de c_B , que coincide con la primera componente de c , define el vector $h = [1, 0, 0, 0, 0]$. Entonces $h_B = [1, 0]$, $h_R = [0, 0, 0]$ y

$$\bar{c}_R = c_R - c_B B^{-1} R = [10/3, 197/3, 20/3]$$

$$s = h_R - h_B B^{-1} R = [-2/3, -10/3, -1/3]$$

Por lo tanto la cota superior de θ es dada por

$$\bar{\theta} = \min \left\{ \frac{-10/3}{-2/3}, \frac{-197/3}{-10/3}, \frac{-20/3}{-1/3} \right\} = 5$$

Por otra parte $s \leq 0$ que implica $\theta_{\min} = -\infty$. De aquí se concluye que el intervalo de variación de la primera componente de c , sin que cambie la base, es $(-\infty, -15)$. De donde tenemos que:

$$2(-\infty) = -\infty \quad 2(-15) = -50$$

Ejemplo 3. Considere el problema

$$\text{maximizar } z = 2x_1 + x_2 - 3x_3 + 5x_4$$

$$\text{sujeto a } x_1 + 2x_2 + 4x_3 - x_4 \leq 6$$

$$2x_1 + 3x_2 - x_3 + x_4 \leq 12$$

$$x_1 + x_3 + x_4 \leq 4$$

$$x_1 \geq 0 ; x_2 \geq 0 ; x_3 \geq 0 ; x_4 \geq 0 ; x_5 \geq 0 ; x_6 \geq 0 ; x_7 \geq 0.$$

cuyo tableau inicial, con variables de holgura es:

a_1	a_2	a_3	a_4	a_5	a_6	a_7	b
1	2	4	-1	1	0	0	6
2	3	-1	1	0	1	0	12
1	0	1	1	0	0	1	4
2	1	-3	5	0	0	0	0

La base óptima $B = [a_5, a_2, a_4]$ y su inversa son:

$$B = \begin{bmatrix} 1 & 2 & -1 \\ 0 & 3 & 1 \\ 0 & 0 & 1 \end{bmatrix} \quad B^{-1} = \begin{bmatrix} 1 & -2/3 & 5/3 \\ 0 & 1/3 & -1/3 \\ 0 & 0 & 1 \end{bmatrix}$$

Se desea determinar el intervalo de variación de cada una de las componentes de los vectores de requerimientos y de costos, sin que cambie la base óptima original. Asimismo, calcule los valores de la función objetivo para los puntos límites de dicho intervalo.

Primero observe que la solución es dada por

$$x_B^* = [x_5, x_2, x_4] = [14/3, 8/3, 4]$$

y que $x_R^* = [x_1, x_3, x_5, x_7] = [0, 0, 0, 0]$. Asimismo, la solución del problema dual es $\lambda^* = [0, 1/3, 14/3]$. Si deseamos determinar el intervalo de variación de b_1 , la primera componente de b , sin que cambie la base, sea:

$$b = b + \alpha e_1^t = \begin{bmatrix} 6 \\ 12 \\ 4 \end{bmatrix} + \alpha \begin{bmatrix} 1 \\ 0 \\ 0 \end{bmatrix}$$

Para que B siga siendo óptima se debe cumplir que:

$$B^{-1}b = \begin{bmatrix} 14/3 \\ 8/3 \\ 4 \end{bmatrix} + \alpha \begin{bmatrix} 1 \\ 0 \\ 0 \end{bmatrix} \geq 0$$

esto es, $B^{-1}b \geq 0$. Sin embargo, esto es cierto cuando

$\alpha \geq -14/3$, que equivale a tener $b_1 \geq 6 - 14/3 = 4/3$. Asimismo,

$$x_B^* B^{-1}b = \begin{bmatrix} x_5 \\ x_2 \\ x_4 \end{bmatrix} = \begin{bmatrix} 1 & -2/3 & 5/3 \\ 1 & 1/3 & -1/3 \\ 0 & 0 & 1 \end{bmatrix} \begin{bmatrix} b_1 \\ b_2 \\ b_3 \end{bmatrix} = \begin{bmatrix} b_1 - 4/3 \\ 8/3 \\ 4 \end{bmatrix}$$

En el valor mínimo, $x_B^t = [0, 8/3, 4]$, por lo tanto $z = 68/3$.

Procediendo de manera semejante se tiene que el intervalo de variación de la segunda componente de b es:

$$4 \leq b_2 \leq 19$$

y además los valores de x_B en función de b_2 son:

$$x_B = \begin{bmatrix} x_5 \\ x_2 \\ x_4 \end{bmatrix} = \begin{bmatrix} \frac{38}{3} - \frac{2}{3}b_2 \\ \frac{b_2}{3} - \frac{4}{3} \\ 4 \end{bmatrix}$$

por lo tanto $z(b_2) = b_2/3 + 56/3$; $z(4) = 20$ y $z(19) = 25$

Análogamente se obtiene que el intervalo de variación de b_3 es:

$$6/5 \leq b_3 \leq 12$$

y los valores x_B en función de b_3 son:

$$x_B = \begin{bmatrix} x_5 \\ x_2 \\ x_4 \end{bmatrix} = \begin{bmatrix} \frac{5}{3}b_3 - 2 \\ 4 - \frac{b_3}{3} \\ b_3 \end{bmatrix}$$

de donde $z(b_3) = \frac{14}{3}b_3 + 4$; $z(6/5) = 9.6$ y $z(12) = 60$.

Para analizar la variación de los coeficientes del vector de costos debemos especificar, primeramente, si son elementos de

$$c_B = [c_5, c_2, c_4] \quad \text{y} \quad c_R = [c_1, c_6, c_3, c_7]$$

Suponga que se desea variar un elemento de c_R . Entonces la condición de optimalidad que debe satisfacerse es:

$$\bar{c}_R = c_R - c_B B^{-1} R \leq 0$$

donde $\bar{c}_R = c_R + ae_i$, $i=1,3,6,7$. Note que \bar{c}_R es el nuevo vector de costos no-básicos. En particular, si $i=1$, tenemos que:

$$\bar{c}_R = (a - 10/3, -1/3, -22/3, -14/3) \leq 0$$

de donde $a \leq 10/3$, lo cual es equivalente a $c_1 \leq 16/3$. Además, el valor de la función objetivo cuando c_1 toma este valor extremo no se altera porque la variable x_1 no está en la base. De manera análoga, se obtiene que $c_3 \leq 13/3$ y para los coeficientes c_6 y c_7 , correspondientes a las variables de holgura, resulta que $c_6 \leq 1/3$ y $c_7 \leq 14/3$.

Si la componente a variar es un elemento de c_B entonces la condición de optimalidad que se debe satisfacer es:

$$\bar{c}_R = c_R - c_B B^{-1} R \leq 0$$

donde $\bar{c}_B = c_B + ae_i$, $i=2,4,5$. En particular, si $i=2$ se tiene que $c_B = (0, 1+a, 5)$ y que

$$0 \geq \bar{c}_R = -\frac{1}{3} [10 + a, 1 + a, 22 - 2a, 14 - a]$$

que implica $-1 \leq a \leq 11$ y equivalentemente $0 \leq c_2 \leq 12$. Además, si se sustituye el coeficiente $c_2 = 1$ de la función objetivo por estos valores extremos se obtiene en cada caso:

$$z(0) = 20.0 \quad \text{y} \quad z(12) = 52.0$$

De manera análoga, resulta que $c_4 \geq 5/3$ y sustituyendo este valor extremo en la función objetivo nos queda:

$$z(5/3) = 28/3$$

Para el coeficiente c_5 que corresponde a la variable de holgura básica x_5 , el proceso es el mismo y se obtiene que:

$$\frac{22}{19} \leq c_5 \leq \frac{1}{2}$$

los valores de la función objetivo al sustituir estos extremos son:

$$z(-22/19) = 17.26316 \quad \text{y} \quad z(1/2) = 25.$$

c. Introducción de variables no-básicas

Otro aspecto importante del análisis post-óptimo es la evaluación de los cambios en la función objetivo debidos a la introducción de variables no-básicas en la solución óptima del problema de programación lineal. Específicamente, sea B la base óptima del problema lineal cuya solución general es:

$$x_B = B^{-1}b - B^{-1}R x_R \geq 0 \quad (1)$$

donde x_B es óptima cuando $x_R = 0$. Suponga que la variable no-básica x_i puede tener valores distintos de cero y que las otras variables no-básicas permanecen con valor igual a cero. Se desea determinar el intervalo de variación de dicha variable no-básica sin que cambie la base óptima. La consecuencia de que la variable no básica tenga valores fuera de este intervalo es que al menos una variable básica se vuelve no factible. El proceso de determinación de la primera variable básica que se hace no factible en cada extremo se denomina "LIMITING PROCESS" en los listados de computadora. Si la variable básica en cuestión es de holgura, la pérdida de factibilidad es equivalente a la no factibilidad de la restricción en que se encuentra dicha variable de holgura.

Finalmente se desea determinar el costo unitario de disminución de beneficios debidos a la introducción de esta variable y los correspondientes valores de la función objetivo en los extremos de dicho intervalo.

Ejemplo 4. Considera el problema:

$$\text{Maximizar } z = 2x_1 + x_2 - 3x_3 + 5x_4$$

$$\text{sujeto a } x_1 + 2x_2 + 4x_3 - x_4 \leq 6$$

$$2x_1 + 3x_2 - x_3 + x_4 \leq 12$$

$$x_1 + x_3 + x_4 \leq 4$$

$$x_1 \geq 0; x_2 \geq 0; x_3 \geq 0; x_4 \geq 0$$

cuyo tableau inicial con variables de holgura es:

a_1	a_2	a_3	a_4	a_5	a_6	a_7	b
1	2	4	-1	1	0	0	6
2	3	-1	1	0	1	0	12
1	0	1	1	0	0	1	4
2	1	-3	5	0	0	0	0

y cuyo tableau óptimo es:

x_1	x_2	x_3	x_4	x_5	x_6	x_7	$B^{-1}b$
4/3	0	19/3	0	1	-2/3	5/3	14/3
1/3	1	-2/3	0	0	1/3	-1/3	8/3
1	0	1	1	0	0	1	4

Determine los intervalos de variación de las variables no-básicas sin que cambie la base. Asimismo, determine los costos unitarios de disminución de beneficios debidos a la introducción de las variables no-básicas en la solución óptima y los correspondientes valores de la función objetivo en los extremos de dichos intervalos.

Para ello, suponga que la variable x_1 puede tener valores distintos de cero y que las otras variables no-básicas permanecen con valor igual a cero. Entonces, sustituyendo valores en la relación (I) se tiene que:

$$x_B = \begin{bmatrix} x_5 \\ x_2 \\ x_4 \end{bmatrix} = \begin{bmatrix} 14/3 \\ 8/3 \\ 4 \end{bmatrix} - \begin{bmatrix} 4/3 \\ 1/3 \\ 1 \end{bmatrix} x_1$$

Los valores de x_1 para los cuales $x_B \geq 0$ son dados por $x_1 \leq 7/2$. Note que cuando $x_1 > 7/2$ se tiene $x_5 < 0$ que es equivalente a que la restricción uno no se cumpla pues

$$x_1 + 2x_2 + 4x_3 - x_4 = 6 - x_5$$

En este caso se dice que la restricción uno es la que limita el que la variable x_1 pueda tener valores mayores que $7/2$.

Por otra parte observe que el valor de la función objetivo al considerarse x_1 en la solución óptima es

$$Z = 2x_1 + (8/3 - 1/3x_1) + 5(4 - x_1) = 68/3 - 10/3x_1$$

De donde el costo unitario debido a la introducción de x_1 es igual a $10/3$ y los límites de la función objetivo para los valores extremos de x_1 son $Z = -\infty$ y $Z = 11$.

Considere ahora la introducción de la variable no-básica x_3 en la solución óptima. Primero conviene analizar el intervalo de valores que puede tener x_3 sin que cambie la base. Sea

$$x_B = \begin{bmatrix} x_5 \\ x_2 \\ x_4 \end{bmatrix} = \begin{bmatrix} 14/3 \\ 8/3 \\ 4 \end{bmatrix} - \begin{bmatrix} 4/3 \\ 1/3 \\ 1 \end{bmatrix} x_3$$

De donde los valores de x_3 tales que $x_B \geq 0$ están dados por $-4 \leq x_3 \leq 14/19$. Note que si $x_3 < -4$ entonces la variable básica x_2 deja de ser factible; si $x_3 > 14/19$ entonces $x_5 < 0$ que equivale a decir que la restricción uno no se satisface. En la operación "LIMITING PROCESS" se dirá que x_2 y la restricción uno limitan la variación de x_3 más allá de los límites determinados para esta variable. Asimismo, se observa que el valor de la función objetivo al introducir x_3 es

$$Z = 68/3 - 22/3x_3$$

que equivale a decir que el costo unitario de deterioro de la función objetivo es $22/3$. En particular, los valores extremos de esta función para los límites de variación de x_3 son:

$$Z(-4) = 52 ; Z(14/19) = 17.2631$$

2.5 Parametrización

En el análisis post-óptimo se discute únicamente los cambios de datos del problema lineal sin que exista cambio de la base óptima. La parametrización proporciona una visión más amplia, pues nos permite analizar el comportamiento de la solución óptima y el valor de la función objetivo, aún cuando existan cambios en la base óptima. Esto análisis permite conocer la influencia de cada una de las componentes del vector de recursos o de costos en la función objetivo. La curva resultante se denomina función de beneficios y es importante para estudios económicos más globales, en donde se distribuyen recursos escasos a unidades productivas. Un ejemplo típico de esto, en el caso de planeación agrícola, se tiene al determinar los beneficios económicos de un distrito de riego en la función del volumen de agua que se le asigne.

Considera los dos tipos más usuales de parametrización. El primero queda dado por

$$\begin{aligned} z(a) &= \text{maximice } cx \\ Ax &\leq b + ad \\ x &\geq 0 \end{aligned}$$

donde se desea saber la forma de la función $z(a)$ cuando varía a . Se puede demostrar que la forma típica de esta función es:

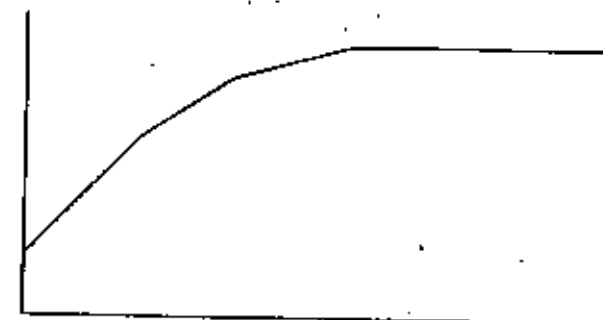


Fig. 2.1 Curva de variación del lado derecho.

El segundo tipo de problema está dado por:

$$\begin{aligned} z(a) &= \max(cx) \\ Ax &= b \\ x &\geq 0 \end{aligned}$$

En este caso puede demostrarse que la forma de la función $z(a)$ cuando varía a es como sigue:

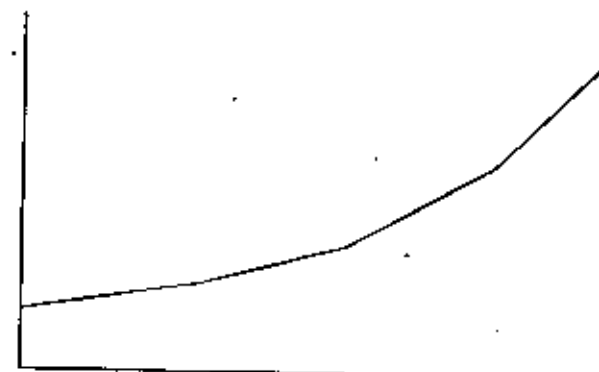


Fig. 2.2 Curva de variación de costos.

Ejemplo 1. Consideré el problema:

$$\text{Maximizar } z = 2x_1 + x_2 - 3x_3 + 5x_4$$

sujeto a

$$x_1 + 2x_2 + 4x_3 - x_4 \leq a$$

$$2x_1 + 3x_2 - x_3 + x_4 \leq 12$$

$$x_1 + x_3 + x_4 \leq 4$$

$$x_1 \geq 0; x_2 \geq 0; x_3 \geq 0; x_4 \geq 0$$

cuyo tableau inicial con variables de holgura es:

a_1	a_2	a_3	a_4	a_5	a_6	a_7	b
1	2	4	-1	1	0	0	a
2	3	-1	1	0	1	0	12
1	0	1	1	0	0	1	4
2	1	-3	5	0	0	0	0

Se desea determinar la curva de beneficios máximos de este problema en función del parámetro a .

Iteración 1. Sean $B = [a_5, a_6, a_7]$ y $c_B = [0, 0, 0]$

	B^{-1}	$B^{-1}b$	$B^{-1}a_4$
x_5	1 0 0	a	-1
x_6	0 1 0	12	1
x_7	0 0 1	4	(1)

Entonces $\lambda = c_B B^{-1} = [0, 0, 0]$ y $R = [a_1, a_2, a_3, a_4]$. Asimismo, se tiene que $c_R = [2, 1, -3, 5]$ y $\bar{c}_R = c_R - \lambda R = [2, 1, -3, 5]$.

Se selecciona el vector a_4 para entrar a la base y el vector a_7 sale de la base, ya que $\min\{12/1, 4/1\} = 4$.

Iteración 2. La nueva base es $B = [a_5, a_6, a_4]$ y $c_B = [0, 0, 5]$.

	B^{-1}	$B^{-1}b$	$B^{-1}a_2$
x_5	1 0 1	a + 4	(2)
x_6	0 1 -1	8	(3)
x_4	0 0 1	4	0

La inversa de B se calculó con el elemento pivote de la iteración anterior. Entonces $\lambda = c_B B^{-1} = [0, 0, 5]$ y $R = [a_1, a_2, a_3, a_4]$. Asimismo, $c_R = [2, 1, -3, 6]$ y $\bar{c}_R = c_R - \lambda R = [2, 1, -3, -5]$. Se selecciona al vector a_2 para entrar a la base y de la comparación de $B^{-1}b$ y $B^{-1}a_2$ se obtiene que:

$$\min\{(a+4)/2, 8/3\} = \begin{cases} 8/3 & \text{si } a \geq 4/3 \\ (a+4)/2 & \text{si } a \leq 4/3 \end{cases}$$

Iteración 3. ($a \leq 4/3$). La nueva base es $B = [a_2, a_6, a_4]$ y $c_B = [c_2, c_6, c_4] = [1, 0, 5]$. Usando el elemento pivote (línea punteada) de la iteración 2 se tiene:

	B^{-1}			$B^{-1}b$
x_2	1/2	0	1/2	$2+\alpha/2$
x_6	-3/2	1	-5/2	$2-3\alpha/2$
x_4	0	0	1	4

Entonces $\lambda = c_B B^{-1} = [1/2, 0, 11/2]$ y $R = [a_1, a_6, a_3, a_7]$. Así mismo $c_R = [2, 0, -3, 0]$ y $\bar{c}_R = c_R - \lambda R = [-4, 0, -21/2, -11/2]$.

Por lo tanto, si $-4 \leq \alpha \leq 4/3$, la solución óptima es:

$x_2^* = 2+\alpha/2$, $x_4^* = 4$, $x_6^* = 2-3\alpha/2$, $x_1^* = x_3^* = x_5^* = x_7^* = 0$ y el valor de la función objetivo es $z^* = 22 + \alpha/2$.

Iteración 3. ($\alpha \geq 4/3$). $B = [a_5, a_2, a_4]$ y $c_B = [c_5, c_2, c_4]$.

	B^{-1}			$B^{-1}b$
x_5	1	-2/3	5/3	$\alpha-4/3$
x_2	0	1/3	-1/3	8/3
x_4	0	0	1	4

de donde $\lambda = c_B B^{-1} = [0, 1/3, 14/3]$ y $R = [a_1, a_6, a_3, a_7]$. Así mismo $c_R = [2, 0, -3, 0]$ y $\bar{c}_R = c_R - \lambda R = [-10/3, -1/3, -22/3, -14/3]$.

Puesto que $\bar{c}_R \leq 0$ se tiene que la solución óptima es

$x_2^* = 8/3$; $x_4^* = 4$ y $x_5^* = \alpha-4/3$, $x_1^* = x_3^* = x_6^* = x_7^* = 0$ y el valor de la función objetivo es $z^* = 68/3$.

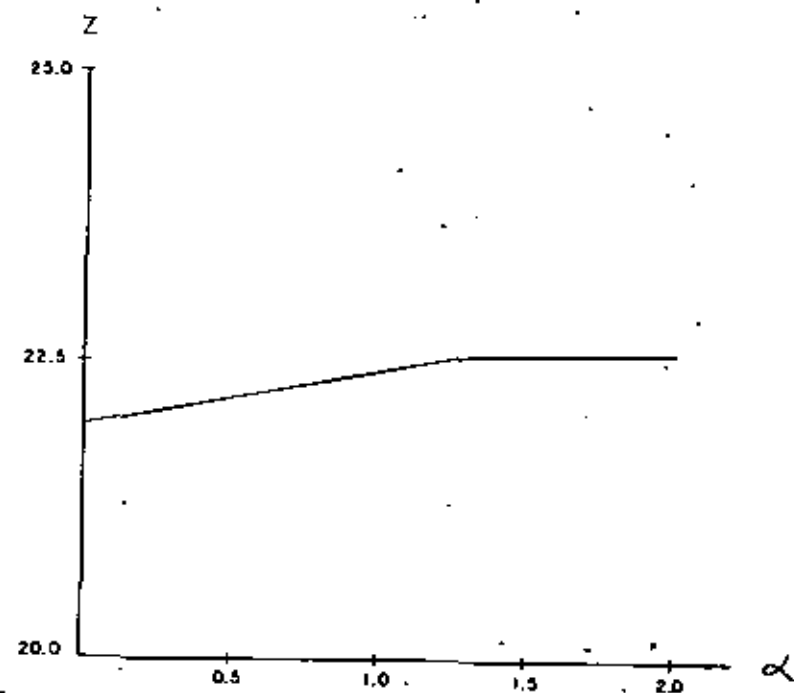


Fig. 2.3 Curva de variación del lado derecho.

Ejemplo 2. Considere el problema

$$\text{Maximizar } z = ax_1 + x_2 - 3x_3 + 5x_4 \\ \text{sujeto a}$$

$$x_1 + 2x_2 + 4x_3 - x_4 \leq 6$$

$$2x_1 + 3x_2 - x_3 + x_4 \leq 12$$

$$x_1 + x_3 + x_4 \leq 4$$

$$x_1 \geq 0 ; x_2 \geq 0 ; x_3 \geq 0 ; x_4 \geq 0$$

y supóngase que se desea determinar la curva de beneficios máximos al variar el parámetro a . El tableau inicial con variables de holgura es

a_1	a_2	a_3	a_4	a_5	a_6	a_7	b
1	2	4	-1	1	0	0	6
2	3	-1	1	0	1	0	12
1	0	1	1	0	0	1	4
a	1	-3	5	0	0	0	0

Iteración 1 : Sea $B = [a_5, a_6, a_7]$ y $c_B = [0, 0, 0]$

	B^{-1}	$B^{-1}b$	$B^{-1}a_4$
x_5	1	0	0
x_6	0	1	0
x_7	0	0	1

de donde, $\lambda = c_B B^{-1} = [0, 0, 0]$ y $R = [a_1, a_2, a_3, a_4]$. Asimismo, $c_R = [a, 1, -3, 5]$ y $\bar{c}_R = c_R - \lambda R = [a, 1, -3, 4]$. Se selecciona el vector a_4 para entrar a la base y sale de la base el vector a_7 .

Iteración 2. Sean $B = [a_5, a_6, a_7]$ y $c_B = [0, 0, 5]$.

	B^{-1}	$B^{-1}b$	$B^{-1}a_2$
x_5	1	0	1
x_6	0	1	-1
x_4	0	0	1

donde la inversa de B se obtuvo con el elemento pivote indicado en la iteración anterior. Se tiene $\lambda = c_B B^{-1} = [0, 0, 5]$ y $R = [a_1, a_2, a_3, a_7]$. Asimismo $c_R = [a, 1, -3, 0]$ y tenemos que $\bar{c}_R = c_R - \lambda R = [a-5, 1, -8, -5]$. Se selecciona el vector a_2 para entrar a la base y el vector a_6 sale de la base.

Iteración 3. Sea $B = [a_5, a_2, a_4]$ y $c_B = [0, 1, 5]$

	B^{-1}	$B^{-1}b$	$B^{-1}a_1$
x_5	1	-2/3	5/3
x_2	0	1/3	-1/3
x_4	0	0	1

de donde $\lambda = c_B B^{-1} = [0, 1/3, 14/3]$ y $R = [a_1, a_6, a_3, a_7]$.

Entonces, $c_R = [0, 0, -3, 0]$ y

$$\bar{c}_R = c_R - \lambda R = [-16/3, -1/3, -22/3, -14/3]$$

Si $\alpha \leq 16/3$ la solución es óptima y es:

$$x_2^* = 8/3 ; x_4^* = 4 ; x_5^* = 14/3 ; x_1^* = x_3^* = x_6^* = x_7^* = 0$$

con valor de la función objetivo $z(\alpha) = 68/3$.

Iteración 4. Si $\alpha \geq 16/3$ entonces el vector a_1 entra a la base y sale el vector a_5 . Sean $B = [a_1, a_2, a_4]$ y $c_B = [0, 1, 5]$.

	B^{-1}			$B^{-1}b$	$B^{-1}a_D$
x_1	3/4	-1/2	5/4	7/2	-1/2
x_2	-1/4	1/2	-3/4	3/2	1/2
x_4	-3/2	1/2	-1/4	1/2	1/2

de donde $\lambda = c_B B^{-1} = [-4+3\alpha/4, 3-\alpha/2, -2+5\alpha/4]$ y se tiene que

$R = [a_5, a_6, a_3, a_7]$. Entonces $c_R = [0, 0, -3, 0]$ y

$$\bar{c}_R = c_R - \lambda R = [4-3\alpha/4, \alpha/2-3, 22/3-11\alpha/4, 2-5\alpha/4]$$

Si $16/3 \leq \alpha \leq 6$, la solución es óptima y es:

$$x_1^*=7/2 ; x_2^*=3/2 ; x_4^*=1/2 ; x_3^*=x_5^*=x_6^*=x_7^*=0$$

cuyo valor de la función objetivo es $z(\alpha) = 7\alpha/2 + 4$.

Iteración 5. Si $\alpha \geq 6$ entonces el vector a_6 entra a la base y sale el vector a_4 . Sean $B = [a_1, a_2, a_6]$ y $c_B = [0, 1, 0]$.

	B^{-1}			$B^{-1}a_4$
x_1	0	0	1	1
x_2	1/2	0	-1/2	1
x_6	-3/2	1	-1/2	1

Entonces $\lambda = c_B B^{-1} = [1/2, 0, \alpha-1/2]$ y $R = [a_5, a_4, a_3, a_7]$.

Asimismo $c_R = [0, 5, -3, 0]$ y

$$\bar{c}_R = c_R - \lambda R = [-1/2, 6-\alpha, -\alpha-9/2, -\alpha+1/2]$$

Si $\alpha \geq 6$ tenemos que $\bar{c}_R \leq 0$ y la solución actual es óptima:

$$x_1^*=4 ; x_2^*=1 ; x_6^*=1 ; x_3^*=x_4^*=x_5^*=x_7^*=0$$

con valor de la función objetivo igual a $z(\alpha) = 4\alpha+1$.

La gráfica de la función de beneficios máximos resultante al variar el parámetro α en el problema resuelto se proporciona en la siguiente hoja.

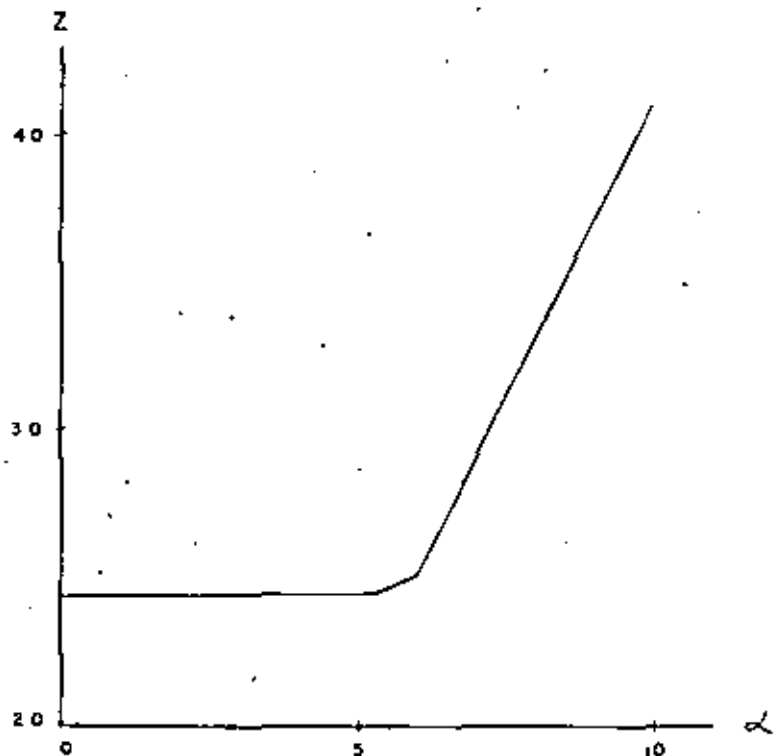


Fig. 2.4 Curva de variación del vector de costos.

I. PROBLEMA DE CONTRATACION.

La compañía Aeronaves del Pacífico necesita determinar cuántas aeromozas contratar y adiestrar en los próximos seis meses. Las necesidades de la compañía expresadas como horas-vuelo-aeromoza son:

enero	febrero	marzo	abril	mayo	junio
8000	9000	7000	10000	9000	11000

El entrenamiento necesario para que una aeromoza dé servicio en un vuelo dura un mes; por lo que cada muchacha debe contratarse por lo menos un mes antes.

El entrenamiento necesita 100 horas de supervisión de aeromoza ya entrenadas, por lo que se dispone 100 horas-vuelo-aeromoza menos, durante un mes por cada aeromoza en entrenamiento. Cada aeromoza entrenada puede trabajar 150 horas en un mes y la compañía tiene 60 aeromozas entrenadas al principio de enero.

Por razones sindicales, si el tiempo máximo disponible de las aeromozas entrenadas excede al requerido por la compañía en el mes (horas-vuelo y supervisión), éstas trabajarán menos de 150 horas y no se despide a nadie. Sin embargo, en cada mes aproximadamente 10% de las aeromozas con experiencia dejan el trabajo por razones de matrimonio u otras. Además, en cada mes, 5% de las personas que se contratan (y terminan su entrenamiento), son rechazadas por varias razones.

Si se consideran los salarios y otros beneficios, cada aeromoza adiestrada cuesta a la compañía \$8,000.00 mensuales, y cada aeromoza en entrenamiento, \$4,000.00.

La compañía desea determinar el plan de contratación y adiestramiento de aeromozas a costo mínimo.

Formulación:

Sea x_t número de personas contratadas al inicio del mes t

y_t número de aeromozas con entrenamiento al inicio del mes t .

b_t número de horas-vuelo-aeromoza necesarias en el mes t .

En este caso el problema consiste en

$$\text{minimizar } z = 800 \sum_{t=1}^6 y_t + 4000 \sum_{t=1}^5 x_t$$

sujeto a

$$y_{t+1} = 0.95x_t + 0.9y_t \quad t=1, 2, \dots, 5$$

$$150y_t \geq b_t + 100x_t \quad t=1, 2, \dots, 5$$

$$y_1 = 60$$

$$x_t \geq 0 ; \quad y_{t+1} \geq 0 \quad t=1, 2, \dots, 5.$$

2. PROBLEMA DE INVERSIONES

Un inversionista dispone de \$40,000.00 y desea establecer un plan de inversiones que maximice la cantidad de dinero que puede acumular al final de los próximos cinco años.

El inversionista dispone de varias actividades financieras. En la actividad A, cada peso invertido al comienzo de un año produce \$ 1.50 (una ganancia de 0.50) dos años más tarde (en el momento preciso para una reinversión). En la actividad B, cada peso invertido al principio de un año le produce \$ 1.80 tres años después. Se tienen además dos actividades financieras: C y D, que estarán disponibles solamente una vez en el futuro. Cada peso invertido en C, en el comienzo del segundo año, le produce \$ 2.25 cuatro años más tarde. Finalmente, en la actividad D, cada peso invertido al principio del quinto año le produce \$ 1.30 un año más tarde.

Formulación:

Sea x_{ij} la cantidad de dinero invertido al principio del año i en la cantidad j ($i=1, 2, 3, 4, 5$) ; ($j=A, B, C, D$).

w_i , la cantidad de dinero que no se invierte al principio del año i . $i=1, 2, 3, 4, 5$.

En este caso se desea maximizar el dinero acumulado al final del quinto año, esto es, se desea

$$\text{maximizar } z = 1.7x_{4A} + 1.8x_{4B} + 2.25x_{2C} + 1.30x_{5D}$$

sujeto a

$$x_{1A} + x_{1B} + w_1 = 40000$$

$$x_{2A} + x_{2B} + x_{2C} + w_2 = w_1$$

$$x_{3A} + x_{3B} + w_3 = w_2 + 1.5x_{1A}$$

$$x_{4A} + w_4 = w_3 + 1.5x_{2A} + 1.8x_{1B}$$

$$x_{5D} = w_4 + w_5 + 1.5x_{3A} + 1.8x_{2B}$$

$$x_{ij} \geq 0 \quad i=1,2,3,4,5; \quad j=A,B,C,D.$$

$$w_{ij} \geq 0 \quad i=1,2,3,4.$$

3. PROBLEMAS DE REGRESION

Un problema importante en el campo de la estadística es el denominado problema de regresión lineal. A grandes rasgos, éste consiste en determinar la línea recta que mejor representa un conjunto de datos estadísticos como $(x_1, y_1), \dots, (x_n, y_n)$. Suponiendo que la línea recta es dada por la ecuación $y = a + bx$, el propósito es determinar las constantes a y b que proporcionan la mejor representación de los datos de acuerdo a un criterio específico. Algunos de los criterios, en que la programación lineal es útil, son:

a. minimice $\sum_{i=1}^n |y_i - a - bx_i|$.

b. minimice (máximo $|y_i - a - bx_i| : i=1,2,3, \dots, n$).

En cada uno de estos criterios se minimizan las desviaciones entre los valores observados y aquéllos que son calculados por medio de la ecuación de la recta.

Una forma de reformular el problema dado por el criterio a es como sigue. Observe que éste es equivalente a

$$\text{minimizar } \sum_{i=1}^n z_i$$

$$z_i \geq |y_i - a - bx_i| \quad i=1, \dots, n$$

$$z_i \geq 0 \quad i=1, \dots, n$$

Asimismo, usando la definición de valor absoluto, se tiene que el problema es equivalente a

$$\text{minimizar } \sum_{i=1}^n z_i$$

$$z_i \geq y_i - a - bx_i \quad i=1, \dots, n$$

$$z_i \geq -y_i + a + bx_i \quad i=1, \dots, n$$

$$z_i \geq 0 \quad i=1, \dots, n$$

que es un problema de programación lineal. Por otra parte, considere el problema de regresión con criterio b y observe que éste es equivalente a

$$\text{minimizar } z$$

$$z \geq |y_i - a - bx_i| \quad i=1, \dots, n$$

De donde podemos concluir que el problema de regresión es equivalente a

$$\text{minimizar } z$$

$$z \geq y_i - a - bx_i \quad i=1, \dots, n$$

$$z \geq -y_i + a + bx_i \quad i=1, \dots, n$$

$$z \geq 0$$

que es un problema de programación lineal.

COMPUTACION APLICADA A LA PLANEACION URBANA
AGOSTO, 1981

FECHA	HORA	TEMAS	PROFESOR
Lunes 10	9:00 - 11:45	Comptadoras en Planeación Urbana Panorama del Curso	Dr Willard B Hansen Arq Alejandro Villanueva
	11:45 - 11:30	Descanso	
	11:30 - 13:00	Geo-procesamiento	Dr Adolfo Guzmán Arenas
	13:00 - 14:00	Comida	
	14:00 - 15:30	Modelos Digitales de Terrenos	Act Dora Luz Gómez
	15:30 - 15:45	Descanso	
	15:45 - 18:00	Computación Gráfica y Mapas por Computadora I SYMAP	Arq Alejandro Villanueva
Martes 11	9:00 - 10:45	Archivos Geográficos Urbanos	Dr Willard B Hansen
	10:45 - 11:00	Descanso	
	11:00 - 12:00	Sistemas Interactivos de Geo-procesamiento	Gte Felipe de Teresa y Polignac
	12:00 - 13:00	Visita a SPR	
	13:00 - 14:00	Comida	
	14:00 - 16:00	Percepción Remota	M en C Armando Jinich
	16:00 - 16:15	Descanso	
	16:15 - 18:00	Sistemas Interactivos para la Toma de Decisiones con Objetivos Multiples en Sistemas Urbanos	M en C Fausto Riveros Acosta
Miércoles 12	9:00 - 10:45	Sistemas de Información Urbana	Dr Willard B Hansen
	10:45 - 10:55	Descanso	
	10:55 - 11:55	Sistema de Información para el Desarrollo Urbano, caso de estudio DDF	Arq Alfonso Covela
	11:55 - 15:00	Descanso	

Miércoles 12	12:00 - 13:00	Insumo/Producto en Sistemas de Ciudades	Dr José Villanueva Ledesma
	13:00 - 14:00	Comida	
	14:00 - 16:00	Minicomputadoras y Microprocesadores	Ing Luis Cordero Borboa
	16:00 - 16:15	Descanso	
	16:15 - 18:00	Computación Gráfica y Mapas por Computadora Gte Lou Meier II Calcomp. Visita CENIA	
Jueves 13	9:00 - 10:45	Análisis Estadístico	Dr Willard B Hansen
	10:45 - 10:55	Descanso	
	10:55 - 11:25	Ejercicios SPSS	Act Juan Manuel Padilla
	11:25 - 11:30	Descanso	
	11:30 - 13:00	Métodos de Pronóstico	M en C Rubén Téllez Sánchez
	13:00 - 14:00	Comida	
	14:00 - 15:30	Optimización en Sistemas Urbanos Tempo	Dr Sergio Fuentes Maya
	15:30 - 16:00	Ejercicios Tempo	Act Juan Manuel Padilla
	16:00 - 18:00	Computación Gráfica y Mapas por Computadora III, Visita a Soluciones Gráficas	Ing Douglas Thorson
Viernes	9:00 - 10:45	Modelos de Simulación, Uso de Suelo-Transporte	Dr Willard B Hansen
	10:45 - 11:00	Descanso	
	11:00 - 12:00	Modelos Urbanos, Casos de Estudio	Dr Cuauhtémoc Rodríguez
	12:00 - 12:05	Descanso	
	12:05 - 13:00	Simulación Mediante Juegos. METRO, APEX, CLUG	Arq Alejandro Villanueva
	13:00 - 14:00	Comida	
	14:00 - 16:15	Conceptos Generales y Lenguajes de la Simulación de Sistemas	M en C Arturo García del Busto
	16:15 - 16:30	Descanso	
	16:30 - 18:00	Simulación Urbana con Dynamo	M en I Francisco Alvarez-Caso



COMPUTACION APPLICADA A LA PLANEACION URBANA

How to describe pure forma and how to measure
differences in shapes using shape numbers

Agosto, 1981

Reprinted from

PATTERN RECOGNITION

Vol. 12, No. 2, pp. 101-112

HOW TO DESCRIBE PURE FORM AND HOW TO
MEASURE DIFFERENCES IN SHAPES USING
SHAPE NUMBERS

ERNESTO BRIBIESCA and ADOLFO GUZMAN

Research Department, DETENAL-SPP (Mexico), Calzada San Antonio Abad 124, Mexico 8,
D.F. and Computer Science Dept., IIMAS, National University of Mexico

PERGAMON PRESS
OXFORD · NEW YORK · FRANKFURT · PARIS
1980

HOW TO DESCRIBE PURE FORM AND HOW TO MEASURE DIFFERENCES IN SHAPES USING SHAPE NUMBERS

ERNESTO BRITESCA and ADOLEFO GUZMAN

Research Department, DETENAL-SPP (Mexico), Calzada San Antonio Abad 124,
Mexico 8, D.F. and Computer Science Dept., IIMAS, National University of Mexico

(Received 5 April 1979; in revised form 26 September 1979; received for
publication 15 October 1979)

Abstract — The shape number of a curve is derived for two-dimensional non-intersecting closed curves that are the boundary of simply connected regions. This description is independent of their size, orientation and position, but it depends on their shape. Each curve carries "within it" its own shape number. The order of the shape number indicates the precision with which that number describes the shape of the curve. For a curve, the order of its shape number is the length of the perimeter of a "discrete shape" (a closed curve formed by vertical and horizontal segments, all of equal length) closely corresponding to the curve. A procedure is given that deduces, without table look-up, string matching or correlations, the shape number of any order for an arbitrary curve. To find out how close in shape two curves are, the degree of similarity between them is introduced; dissimilar regions will have a low degree of similarity, while analogous shapes will have a high degree of similarity. Informally speaking, the degree of similarity between the shapes of two curves tells how deep it is necessary to descend into a list of shapes, before being able to differentiate between the shape of those two curves. Again, a procedure is given to compute it, without need for such list or grammatical parsing or least square curve or area fitting. The degree of similarity maps the universe of curves into a tree or hierarchy of shapes. The distance between the shapes of any two curves, defined as the inverse of their degree of similarity, is found to be an ultradistance over this tree. The shape number is a description that changes with skewing, anisotropic dilation and mirror images, as the intuitive psychological concept of "shape" demands. Nevertheless, at the end of the paper a related Theory "B" of shapes is introduced that allows anisotropic changes of scale, thus permitting for instance a rectangle and a square to have the same B shape. These definitions and procedures may facilitate a quantitative study of shape.

Curve description	Chain encoding	Shape code	Silhouettes	Shape numbers
Form similarity	Shape comparison		Measure of shape difference	
Image processing				Binary picture

INTRODUCTION

The study of shape is an important part of the field of Pattern Recognition.

As pointed out by Lord Kelvin, a science begins to emerge when it is possible to make measurements of the phenomena that such science seeks to understand, allowing quantitative comparison and mathematical relations among them.

This paper gives a procedure to measure (i.e. to assign a number to) the resemblance between any two shapes.

With the help of procedures like this, a quantitative study of shape may be possible.

Previous work on shape

Shape extraction is an active field. Sequential extraction of shape features^[4] can be performed making only one pass over the image. For global shape analysis, several authors have used Freeman chains, medial axis transforms, decomposition into primary convex subsets, polar co-ordinates,^[5] decomposition at concave

vertices; decomposition by clustering, mirroring axes^[6] and stroke detectors. These and other methods are reviewed by Pavlidis.^[1]

I. THE SHAPE NUMBERS

1.1. What is a shape

A region is a simply connected portion of a plane limited by a curve boundary. That is, no holes; no self-intersecting boundary. It is a closed boundary. A given region has a size, a position, and an orientation in the plane. This defines a flat region, which is uniquely defined by the curve it has as boundary. This paper deals with shapes of regions, but the shape numbers used here can also be applied to open curves. In addition, Section IV describes regions with holes.

A shape is what remains of a region after disregarding its size, position and orientation in the plane. That is, two regions have the same shape if we can make them coincide exactly by translation and rotation in the plane, in addition to a uniform change of scale (the

x and y co-ordinates increase by the same factor).

A region and its mirror images will not have the same shape, in general.

This definition coincides with the intuitive psychological definition of "shape".

If a notation is going to be used to represent the shape of a region, it has to be independent of the position, orientation and size of such region. It should be reproducible: a region, when translated, magnified and rotated should still give the same description as when untransformed. Two regions with different shapes should produce different descriptions. Finally, the shape number should be unique for a given region; for instance, it should not depend on an arbitrary starting point or a particular co-ordinate system.

If the notation can be deduced exclusively from the region, without comparison with a table of canonical shapes or shape descriptors, for instance, then we can expect savings in memory and computer time for the procedure that computes the shape description.

1.2 Continuous and discrete shapes

A shape is discrete if the boundary of the region is formed by segments of a square grid. Otherwise, the shape is continuous.

1.3 Mapping a continuous shape into a discrete shape

A square grid may be overlaid on top of a continuous shape to obtain a discrete shape. The quantization of the shape is as follows: a square of the grid is "black" (inside the discrete shape) if more than 50% of it is covered by the continuous shape; otherwise it is "white" or outside (Fig. 1). The size, orientation and position of this grid will influence the resulting discrete shape.

A discrete shape, obtained from a continuous shape in the above manner, can not be a shape descriptor of the continuous shape, because it depends on the size and orientation of the grid. This will be solved in Section 1.6.

Now, some shape descriptors will be given.

1.4 Eccentricity

The eccentricity (ratio of the major to minor axis, Fig. 2) of a region is a descriptor that depends only on its shape.

The major axis of a region is the line joining the two perimeter points furthest away from each other. The minor axis is perpendicular to the major axis, and of length such that a box could be formed that just

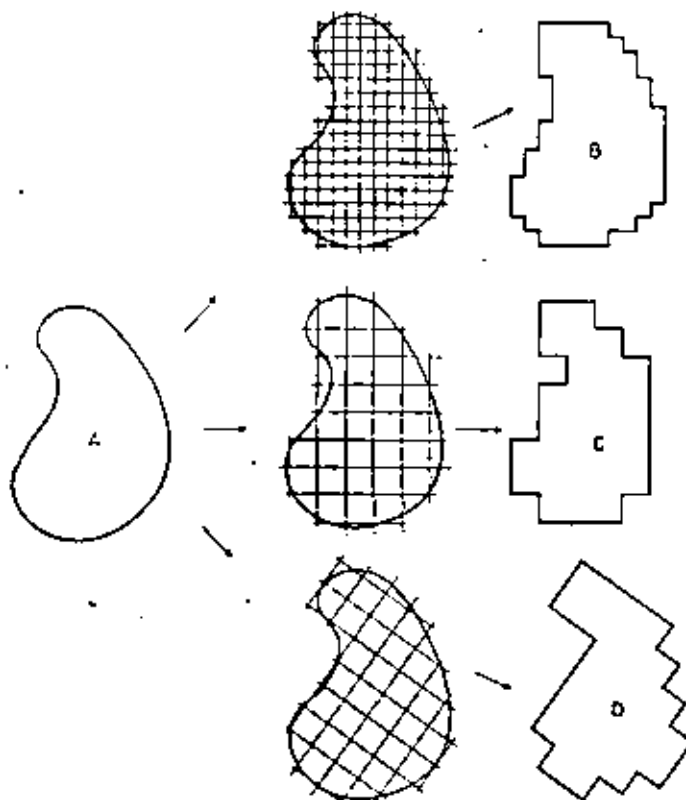


Fig. 1. Continuous and discrete shapes. Continuous shape *A* gives rise to several discrete shapes *B*, *C*, *D*. If it is desired to have a unique discrete shape derived from *A*, then it is necessary to specify the grid size (related to the order of the discrete shape), as well as its orientation and position with respect to the continuous curve *A*. In this manner, for a given order *n*, the discrete shape corresponding to *A* will be unique. This is accomplished in Section 1.6.

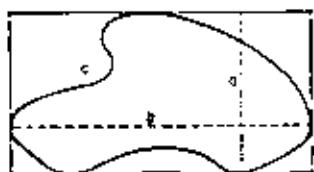


Fig. 2. Basic rectangle. (a) Minor axis of c . (b) Major axis of c . (c) Region. (d) Basic rectangle of c . The eccentricity $e = b/a$ is always greater than or equal to 1. It is a shape descriptor, although not a good one.

encloses the region. This box is called the *basic rectangle* (Fig. 2).

Occasionally, there will be more than one major axis in a region. In that case, select that which gives the shorter minor axis; if necessary, add additional criteria to make the choice of major axis a unique choice.

1.5 Freeman chain and its derivative

Freeman chain in four directions. For a given region and a given square grid of fixed orientation and size, the Freeman chain in four directions is the curve obtained by walking clockwise on the grid (on its "wires") around and outside the squares that are more than half contained by the region (Fig. 3).

Derivative of Freeman Chains. It is the chain number obtained by clockwise replacing each convex corner of the Freeman chain by a 1, each straight corner by a 2, and each concave corner by a 3, as Fig. 3 suggests. The number obtained ("E" in Fig. 3) will be different if we change the size or orientation of the grid. In the next section a method appears that makes the "derivative of Freeman chain" independent of these changes. This new derivative will be called the shape number.

1.6 The shape numbers

This section tells how to obtain our proposed description for the shape of shapes and regions. The procedure to find the shape number of a region is as follows:

1. A grid of arbitrary cell size is overlaid on top of the region. A "black" region is formed with all the cells

that fall 50 per cent or more inside the region.

2. The boundary of such a black region is the chain sought after. This chain is denoted by its derivative notation (q_A). We collect these numbers travelling clockwise. Refer to Fig. 4.

Observe that there are several strings of digits 1, 2 and 3 corresponding to the above chain, depending on the starting point (see Fig. 4):

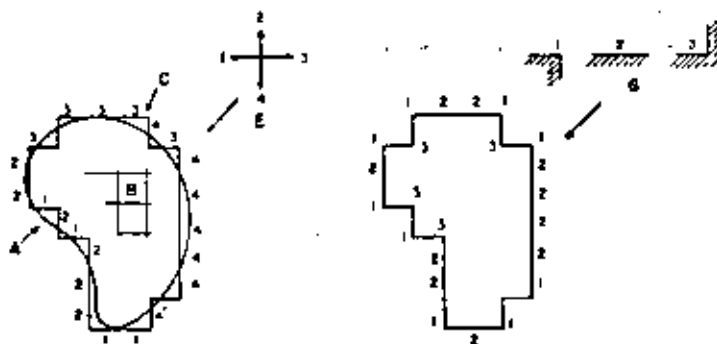
12131131213113	(A)
21311312131131	(B)
13113121311312	(C)
31131213113121	(D)
11312131131213	(E)
13121311312131	(F)
31213113121311	(G)
12131131213113	(H)
21311312131131	(I)
13113121311312	(J)
31131213113121	(K)
11312131131213	(L)
13121311312131	(M)
31213113121311	(N)

Observe also that one of them is a minimum, when regarded as a number in base 3: (E) in the above example.

3. Select the chain that is minimum as the chain that represents the region. In the example, it is 11312131131213. Observe that the minimum chain always starts with a 1, since every discrete shape contains at least four 1's.

What size of grid? What orientation? Unless a procedure is given that normalizes these questions and provides unique answers, a region will have several shape numbers.

The adopted posture is that the orientation of the grid will be normalized, but its size will be a parameter that will allow us to vary the precision of the shape number. Nevertheless, although the size of the cell of the grid varies according to the precision, the number of segments of the grid (sides of each cell) into which the region will be mapped is no longer at user's will, but



D: 1223233343444444111222121

E: 1131213113121311312131131213

Fig. 3. Chains. A: the region. B: The grid. C: The Freeman chain in four directions. D: Its chain number. E: The four directions of (B) used to code (C) into (D). F: the derivative of (C). G: The three types of corners used to code (C) into (F).

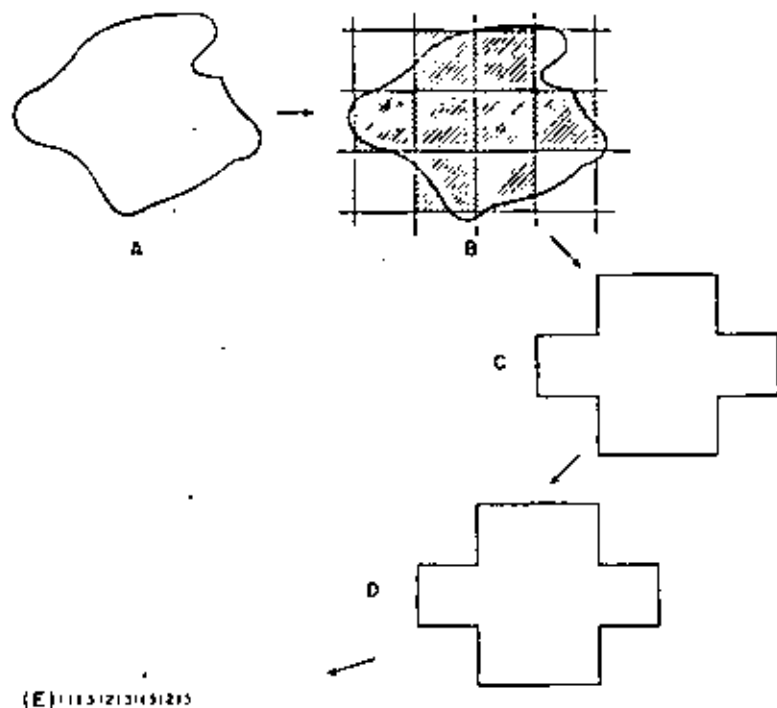


Fig. 4. Shape number. (A) The continuous shape. (C) The discrete shape. (E) The shape number.

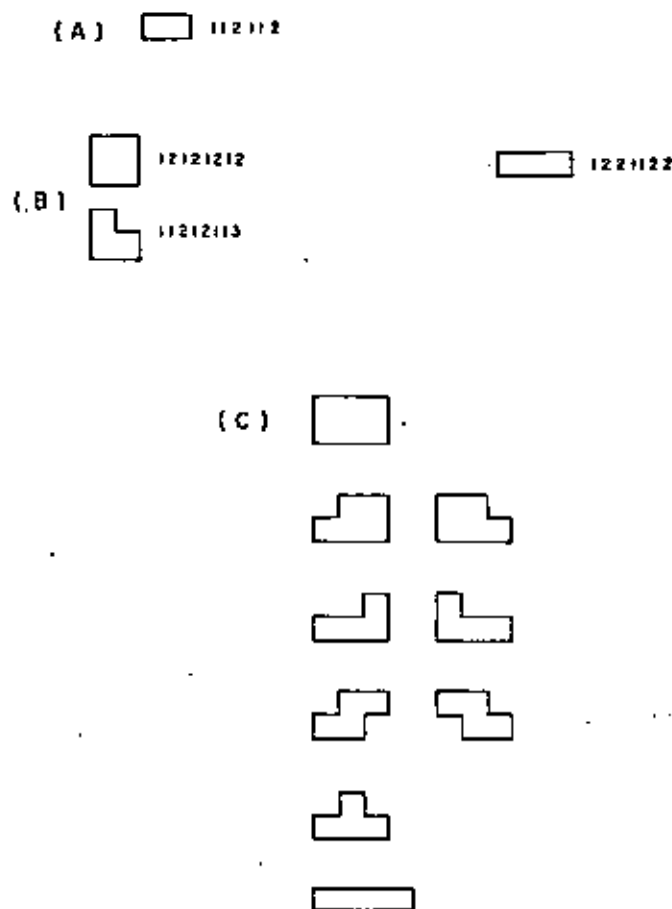


Fig. 5. All the shapes of orders 6, 8 and 10. (A) Of order 6. (B) Of order 8. (C) Of order 10.

it is dictated by the precision he specifies.

The orientation of the grid is not arbitrary, but it is made to coincide with the major axis of the region. The reason is clear; each region should carry along with it its own direction of the grid. In this manner, if the region rotates, the grid rotates the same amount and a code is obtained invariant under rotations.

Procedure to achieve a unique shape number. Given a region surrounded by its basic rectangle, a grid of a given (fixed) size could be placed on top of the rectangle, in order to extract the unique shape number of the region. Instead, the user is allowed to tell how many digits he wants his shape number to contain. That is known as the *order* of the shape number.

It is clear that the same shape gives rise to several shape numbers. But, given n , the shape number of order n of that shape is unique.

Shortly a procedure will be shown to find the shape number of order n of a region, for a given n . Before that, however, the families of discrete closed shapes of several orders are presented.

All the shapes of order 4. These are all the regions that can be formed with four sticks of the same size, when they can be placed only collinearly or at 90 degrees with respect to each other.

There is only one closed shape of order 4, the square: 1111.

This is the most primitive or fundamental shape. Imagine you are looking at things very far away; you

can not really differentiate much. All objects would look round (square, in this paper) and equal.

All the shapes of order 5. No shape number of odd order represents a closed figure. For a closed figure, number of corners = number of sticks = order of figure.

This paper does not deal with open figures. Not all ternary numbers with an even number of digits are shape numbers. Most of them do not close.

All the shapes of order 8, 10 and 12. See Figs. 5 and 6.

2. USING THE SHAPE NUMBERS FOR SHAPE DESCRIPTIONS

2.1 The order of a shape number

The order of a shape number is the number of ternary digits that the shape number contains. It is always even, because the boundary is closed.

2.2 How to find the shape number of order n of a continuous shape

The procedure is as follows:

1. Find the basic rectangle of the region.
2. From the family of discrete shapes of order n , find the rectangle of order n with eccentricity closest to that of the region. (This is easy. For instance, for $n=22$, the rectangles of order 22 – those with perimeter equal to 22 – are of sides 6 by 5, 7 by 4, 8 by 3, 9 by 2 and 10 by 1.)

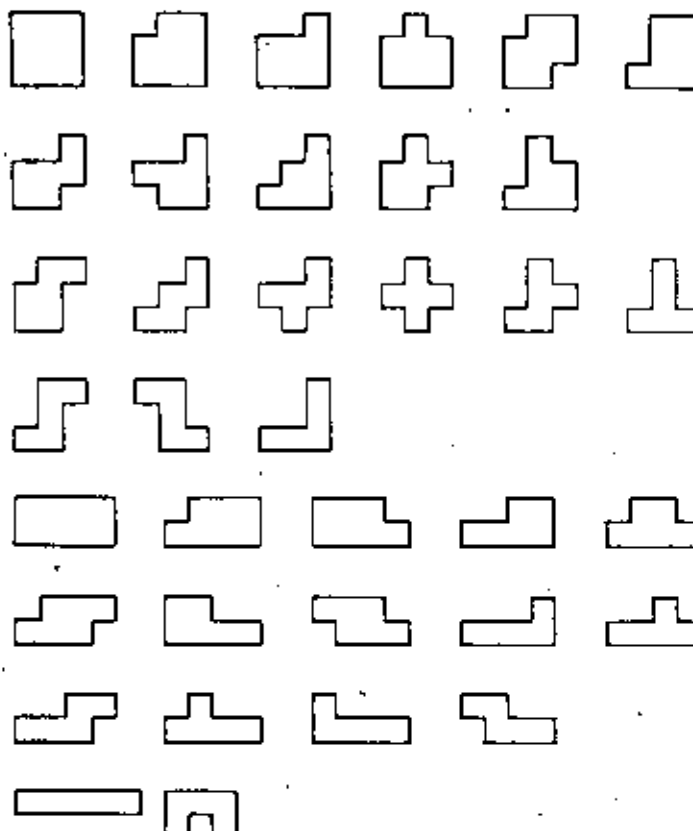


Fig. 6. All the shapes of order 12.

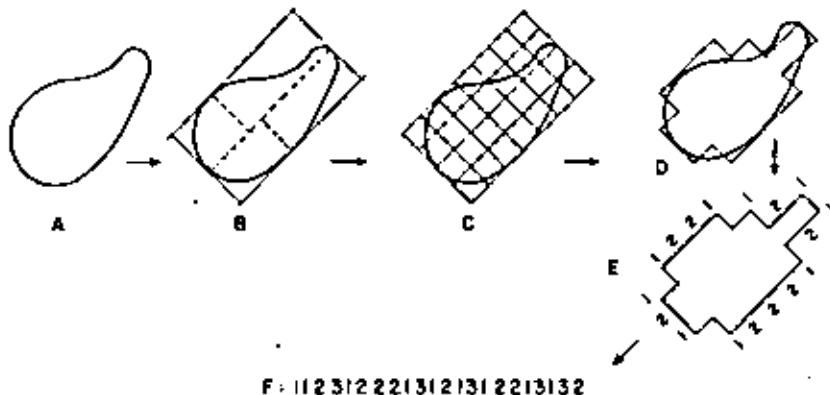


Fig. 7. Finding the shape number of order 22. The continuous (A) is encased in its basic rectangle (B). Given $n = 22$, a square grid of appropriate size (see text) is centered (C) on the basic rectangle. A discrete shape (D) is obtained. The "derivative notation" (E) is found. Traveling clockwise, the chain with the minimum absolute value (F) is the shape number of order 22 digits. (D) has 22 sides, as well as 22 corners.

In practice, it is better to approximate the longer side of the rectangle instead of the eccentricity. If $e = \text{eccentricity}$, one can deduce that the longer side is $b = (n/2)(e/1+e)$. Select a rectangle with longest side closest to that quantity. Lay this rectangle, centered, so as to cover the region, and make a grid of a by b square cells ("C", in Fig. 7).

3. Make black (= 1) all those cells falling more than 50% inside the region; leave white (0, outside) all others.

The boundary of this black region, expressed in the derivative notation, is the desired shape number.

Remember to write down the digits of the chain traveling clockwise, and selecting as the starting point the corner of type I that makes the chain number the smallest of the n possible chain numbers. An example is given in Fig. 7.

Notice that the resulting shape number is indeed of order n . This will not be true if the figure has depressions (concavities) in its boundary. The depression in the boundary makes the order bigger. Each depression of depth k increases the order of the shape by $2k$.

When, looking for a shape number of order n , if a number of order $n + 2d$ results, try next to look for a shape number of order $n - 2d$. Due to the presence of the holes, the shape number $n - 2d$ will be increased by an amount equal to the "hole excess" $2d$, thus yielding the desired order n . This relation holds only approx-

imately, since the size of the holes of order n is smaller than those of order $n - 2d$. Thus, in practice, try the basic rectangles of order $n - 2d$, $n - 2d + 2$, $n - 2d + 4$, ..., $n - 2$, and when we obtain a shape number of order n , that is it. See also Section 2.3.

Properties of the shape number. It is insensitive to orientation of the region, to its position, to its size, and to the origin of the chain. It is therefore appropriate to think that the shape number of a region indeed describes its shape (cf. Section 1.1).

Also, since it is possible to compute the shape number of a region without reference to a table of sorted shapes (canonical shapes), we avoid making correlations or comparisons of shapes or of strings. That is, the shape number of a region can be deduced solely from the region.

In addition, the precision of the resulting shape number can be varied. This is done with the order of the shape number: that is, the size of the sticks (or of the grid) that we use to find it.

2.3 Shapes without shape numbers

A shape with a thin isthmus (narrower than the size of the grid) will not yield one shape number, since the procedure of Section 2.2 will split the continuous shape into several discrete shapes (Part II of Fig. 8). Some shapes with depressions in their boundaries may not have a shape number. This is discussed in Section 3.3d.

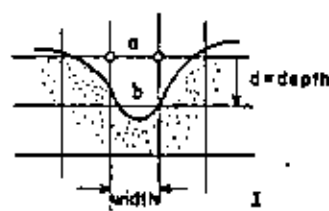


Fig. 8. Depressions and degenerate shapes. I. A depression of depth d increases the shape number by $2d$. II. Degenerate regions split the discrete shape but do not have a shape number.

3. USING THE SHAPE NUMBERS TO MEASURE SHAPE SIMILARITY

3.1 The degree of similarity between two shapes

The shape number of a region enables us to find instances of a given shape, even when distorted by enlargement or rotation. It answers the questions "Have these two regions the same shape?", up to an order n .

In practice, however, a shape rarely repeats itself, due to noise and the allowable variations (for instance, ten silhouettes of apples have similar but not identical shapes). The relevant questions to answer are "How much different are these two forms?", "How much do these two shapes resemble each other?", "Is region A closer in shape to B , or to C ?". This section gives a procedure to quantitatively answer these questions.

When the shapes of two regions A and B are compared, we can notice that the shape of order 4 of A , $s_4(A)$, is equal to 1111 (the only shape of order 4), and is therefore equal to $s_4(B)$.

Also $s_6(A) = s_6(B)$; probably $s_8(A) = s_8(B)$. It is likely that their first few shape numbers be identical. The reason is that the discrete shapes are coarse and not varied at low orders, where the "resolution" is low.

Nevertheless, most likely $s_{100}(A) \neq s_{100}(B)$, also $s_{98}(A) = s_{98}(B)$, etc. This is expected, because, due to the finer precision at higher orders, there exists a large variety of shapes, thus the discrimination between A and B is more demanding.

Of course, if A and B were very similar (but not identical), one might need to go up to say 170 to find

that $s_{170}(A) \neq s_{170}(B)$. On the other hand, if they are visibly different (not alike at all), already at order 10 we will find $s_{10}(A) \neq s_{10}(B)$.

Thus, as we increase the order n of the two shape numbers $s_n(A)$ and $s_n(B)$, they begin equal but at some order they become different. How long they remain equal gives us an idea of the similarity between the shapes of A and B .

Degree of similarity k between the shapes of two regions A and B : it is the largest order for which their shape numbers still coincide.

That is, it is the largest m for which $s_m(A) = s_m(B)$, but $s_{m+1}(A) \neq s_{m+1}(B)$ for all i greater than 0.

That is, we have $s_4(A) = s_4(B)$, $s_6(A) = s_6(B)$, $s_8(A) = s_8(B)$, ..., $s_k(A) = s_k(B)$, $s_{k+1}(A) \neq s_{k+1}(B)$, ...

If A and B are regions with degree k of similarity we write $a \approx_k b$.

Example. For the figures of Fig. 9 we have for A to F :

$$s_4(A) = s_4(B) = \dots = s_4(F) = 1111;$$

$$s_6(A) = s_6(B) = \dots = s_6(F) = 112112;$$

$$s_8(A) = s_8(D) = s_8(E) = 12121212;$$

$$s_8(B) = 11212113; \quad s_8(C) = s_8(F) = 11221122;$$

$$s_{10}(A) = 1212212122; \quad s_{10}(B) = 1121221123;$$

$$s_{10}(C) = 1122113113;$$

$$s_{10}(D) = s_{10}(E) = 1131212122;$$

$$s_{10}(F) = 1122121213; \quad s_{12}(D) = 113113121213;$$

$$s_{12}(E) = 113121221213.$$

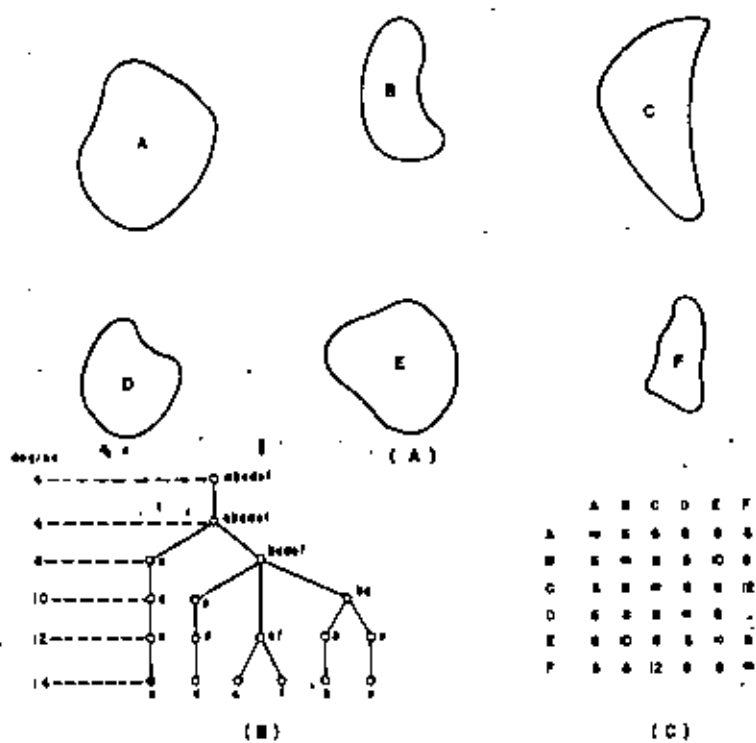


Fig. 9. Degree of similarity. (A) Regions to be analyzed. (B) Similarity tree for (A). (C) Similarity matrix for regions (A). The shapes form a hierarchy, a tree with root at degree = 4

Therefore, A and B have a degree of similarity equal to 6: $A \approx_6 B$. Also, $A \approx_8 E$; $E \approx_8 B$; $D \approx_{10} E$; etc.

This is represented in the figure both as a similarity tree and as a similarity matrix.

The similarity matrix is symmetrical; in fact, it is easily proved that, for arbitrary regions A and B ,

(1) (Thm.) The relation " A and B have degree k of similarity" (for a fixed k) is not an equivalence relation.

(2) (Thm.) The relation " A and B have degree of similarity of at least k' " (for a fixed k') is an equivalence relation.

In fact, the equivalence classes of (2) for $k=10$ are nine, since there are only nine discrete shapes of order 10.

Informally speaking, the size (power) of the magnifying lens that barely confuses two regions gives the degree of similarity between such regions.

The comparison procedure could be visualized as follows: A number (a shape number of high order) is associated to each one of two regions. If the numbers are equal, the regions have identical shape. If not, another pair of numbers (shape numbers of the next lower order) is deduced, and so on until we find that the two numbers coincide. The number of stages needed is an indication of the dissemblance of the two shapes.

3.2 The distance between two shapes

Distance. (definition) The distance between two shapes A and B is defined to be the inverse of their degree of similarity, $d(A, B) = 1/k$.

Then d is an ultradistance, obeying

$$d(A, A) = 0 \quad (1)$$

$$d(A, B) \geq 0;$$

$$d(A, B) = 0 \text{ if and only if } A = B \quad (2)$$

$$d(A, C) \leq \text{Sup}[d(A, B), d(B, C)]. \quad (3)$$

3.3 Comments on this theory of shapes

a. *No parsing is necessary.* To find the degree of similarity between A and B , their shape numbers are compared for equality. Two shape numbers of different order are incommensurable. Two shape numbers of the same order are either equal or different. If different, that is it. There is no need to compare "how close in shape they are". String matching^[2] is not needed.

To find out the degree of similarity, a binary search is used. First see whether the shape numbers at order 8 are equal or not. Then compare the shape numbers at the highest required accuracy (say, 100). Then at the middle. Then at the middle of the remaining valid half. And so on.

b. *Intuitively satisfying.* Shape numbers are not invariant under reflexions (mirror images), skewing, or unequal expansion along the X and Y axes. These transformations alter what could be considered the intuitive shape of a figure. At the end of the paper a Theory "B" of shapes is presented, where the last

transformation is allowed, i.e. a circle and an ellipse have the same B -shape number.

c. *Occasional loop in the similarity tree.* Due to noise or the 50 per cent requirement for quantization, and at low orders, a transitory divergence and then convergence in the shapes of two regions is sometimes observed, v.gr.,

$$s_4(A) = s_6(B)$$

$$s_{10}(A) \neq s_{10}(B)$$

$$s_{12}(A) = s_{12}(B)$$

$$s_{14}(A) \neq s_{14}(B)$$

$$s_{16}(A) \neq s_{16}(B)$$

i.e. they were already different at order 10, but they are again equal at order 12 (however, only to separate soon forever). This still gives a unique number for the shape of a region, but makes the definition of degree of similarity less attractive, and the procedure to find it, unreliable. Only loops of size 2 (such as the example given) have been found, infrequently. These loops disappear in theory B.

d. *Non-existent shape numbers.* Shape number of order n may occasionally not exist for a given figure, due for instance to symmetrical holes of type I in Fig. 8. This does not bother the similarity procedure, but it is a nuisance not to have that shape number.

e. *Quantization of the eccentricity.* The basic rectangles of order 12 have eccentricities equal to 1 (the square of 3 by 3), 2 (the rectangle of 4 by 2) and 5 (the rectangle of 5 by 1). For an object of eccentricity 1.6, one of these has to be used. An error is going to be committed in any case. There seems to be no way out of this.

A theory is now presented that has none of these problems.

3.4 Theory "B" for Shape description

To obtain this new theory, the current theory undergoes some changes:

1. Force the eccentricity of any region to be equal to one, by performing an unequal dilation of its axes. The only discrete B -shapes that now exist are those obtained from squares. All the rectangles have disappeared.
2. Do not go into depressions (1 in Fig. 8) with width smaller than the size of the side of the cell of the grid. This avoids degenerate shapes.
- That is, if a region is "scratched" by thin lines (thinner than the size of the grid) that belong to the background ignore them (act as if they were not there) or else, if they cannot be ignored, this theory "B" says that the size of the grid is inappropriate to describe such region, and that its B -shape does not exist at this order. Higher resolution is needed.
3. Let the depressions where the sticks do go in (because they are wider than Part 1 of Fig. 8)

generate Bshape numbers having a number of (ternary) digits larger than the expected order. That is, do not correct the anomaly that these depressions cause. The perimeter of the Bshapes no longer tells its order.

4. Eliminate the orders that are not powers of two. The only valid orders for Bshape numbers are 4, 8, 16, 32, ... These numbers still indicate the perimeter of the basic square of the region.

The procedure is the following:

How to find the Bshape number of order n

1. Find the basic rectangle of the region and convert it to a square. Declare that the Bshape number does not exist if the region has necks (isthums) or depressions (channels, fjords) narrower than 4^n or 2^n .
2. Make a grid by dividing the side of the basic square into $n/4$ equal parts.
3. Mark with a 1 each cell of the grid of step 2 that is more than 50 per cent contained in the region. The collection of grid squares containing a 1 form a discrete Bshape.
4. Find the shape number of the discrete Bshape of step 3, and give that as answer (even if it has more than n ternary digits).

The order n of a Bshape number is four times the number of parts into which the side of the basic square

was divided. It is also the perimeter (measured by the number of sticks) of the basic square.

It is no longer the perimeter of the discrete Bshape, nor the number of ternary digits of the Bshape number.

Given a shape, it is easy to derive its Bshape number. An example is given in Fig. 11.

The degree of similarity between the Bshapes of two regions is obtained as before. No change in the definition.

Downwards constructability. Given the Bshape number of order n of a region, the Bshape number of order $n/2$ can be deduced from it, by regrouping appropriate sets of 4 neighboring cells into a cell for the lower order. Therefore, if two regions have the same Bshape number of order n , they will continue to have equal Bshape numbers of smaller order, until they cease to exist. This gets rid of problem 3.3c of the former theory.

Upwards existence. If the Bshape number of order n of a region exists, the existence of numbers for higher order is guaranteed, since the channels or narrow parts that could not split the shape at order n , will also be unable to split it at higher orders. This defeats problem 3.3d of the former theory.

Quantization of the eccentricity. Finally, problem 3.3e of the former theory is not present in theory B because all eccentricities are now equal to 1.

Some examples of similarity comparison using theory B are given in Fig. 10.

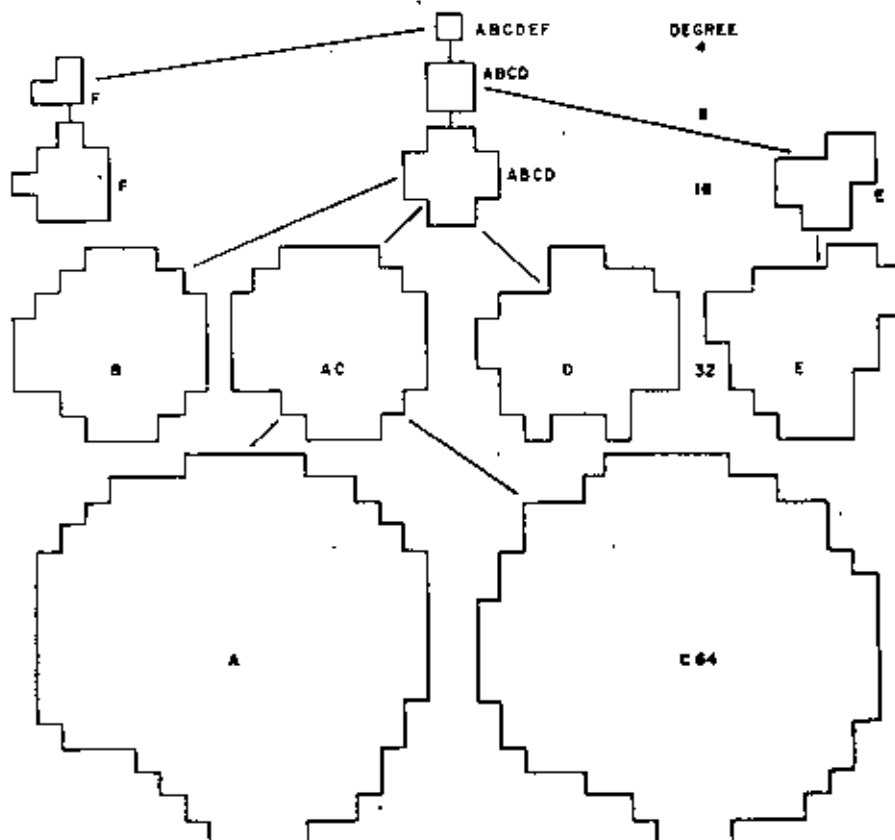
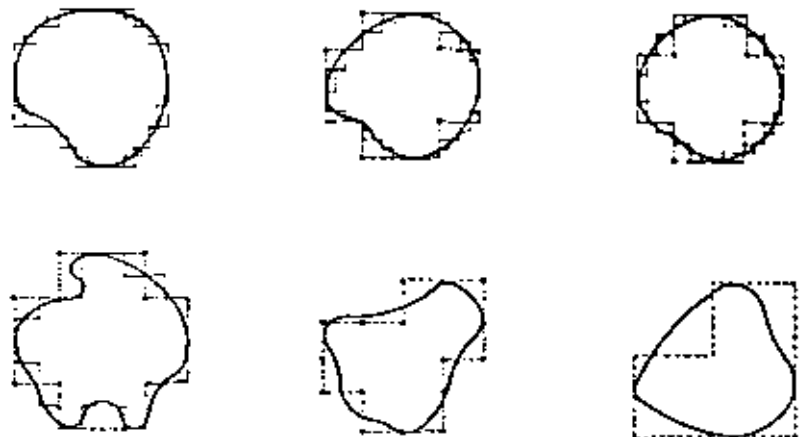


Fig. 10. Similarity tree for the Bshapes of Regions A to F. The tree shows that the degree of similarity between B and E is 8, but between B and C is 16.



	A	B	C	D	E	F
A	1					
B		1				
C			1			
D				1		
E					1	
F						1

TABLE "SIMILARITY MATRIX FOR THE B-SHAPES OF REGIONS A-F"
Notice that $A \approx_{32} D$, $C \approx_{16} D$, but $E \neq_{32} C$

	A	B	C	D	E	F
A	0	1/16	1/32	1/16	1/8	1/4
B		0	1/16	1/16	1/8	1/4
C			0	1/16	1/8	1/4
D				0	1/8	1/4
E					0	1/4
F						0

TABLE "DISTANCE MATRIX FOR B-SHAPES OF REGIONS A TO F"
A and C are very together ($1/32$) in B-shape.
The region F is quite dissimilar ($1/4$) in shape to all others.

Fig. 11. Example of B-shapes and their similarity. The arrows on the figures signal the beginning of the string of order 32 or 64.

Disadvantage of theory "B": Squeezing along one axis is now a valid (Bshape preserving) transformation. Thus, either the application does not care about the eccentricity or aspect ratio, or this has to be carried as another parameter, in addition to the Bshape number.

Also, more care needs to be exercised now when selecting the major and minor axis, to avoid noise perturbations. It may pay to use the rectangle suggested in.¹³

4. THE SHAPE NUMBERS OF SHAPES WITH HOLES

It is possible to assign shape numbers for regions with holes, and to use them for shape comparison and shape similarity measurement. The idea is to use the basic rectangle of the outer boundary for discretization of all the boundaries (both the outer and the inner boundaries). Using the shortest possible vertical or horizontal cuts, join the boundaries among them. Each cut reduces by one the number of boundaries. Finally, a single boundary is found. Then such a boundary can be described by an ordinary shape number. Such a shape number is then associated with the original region.

Notice that no other shape with holes could also be the owner of that shape number, since the new number

has "touching edges" (those running along the cut). And since the set of cuts is unique (cf. discussion below), the resulting shape number is also unique. See Fig. 13.

The procedure is detailed now for Bshapes. To find the Bshape number of order n of a region with holes, proceed as follows:

1. Find the Bshape number of order n of the outer boundary.
2. Using the grid defined in (1), find the discrete Bshapes of the inner boundaries.
3. Let a "cut" be a sequence of purely vertical or purely horizontal segments of the grid. Find the minimum spanning tree of cuts that connects the boundaries (This tree can be found as follows: (a) find the two boundaries closest to each other; that is, the two boundaries with the shortest cut joining them. That cut belongs to the tree, and these two boundaries are now joined by such a cut. (b) Now, find the boundary closest to that new boundary. That defines another cut. This new cut belongs to the tree, and this new boundary is now joined (by such a cut) to the former collection of boundaries. (Now we have three boundaries joined by two cuts). (c) Keep iterating (b), each time adding a new boundary (the closest one) to the collection of boundaries, and its corresponding cut to the mini-

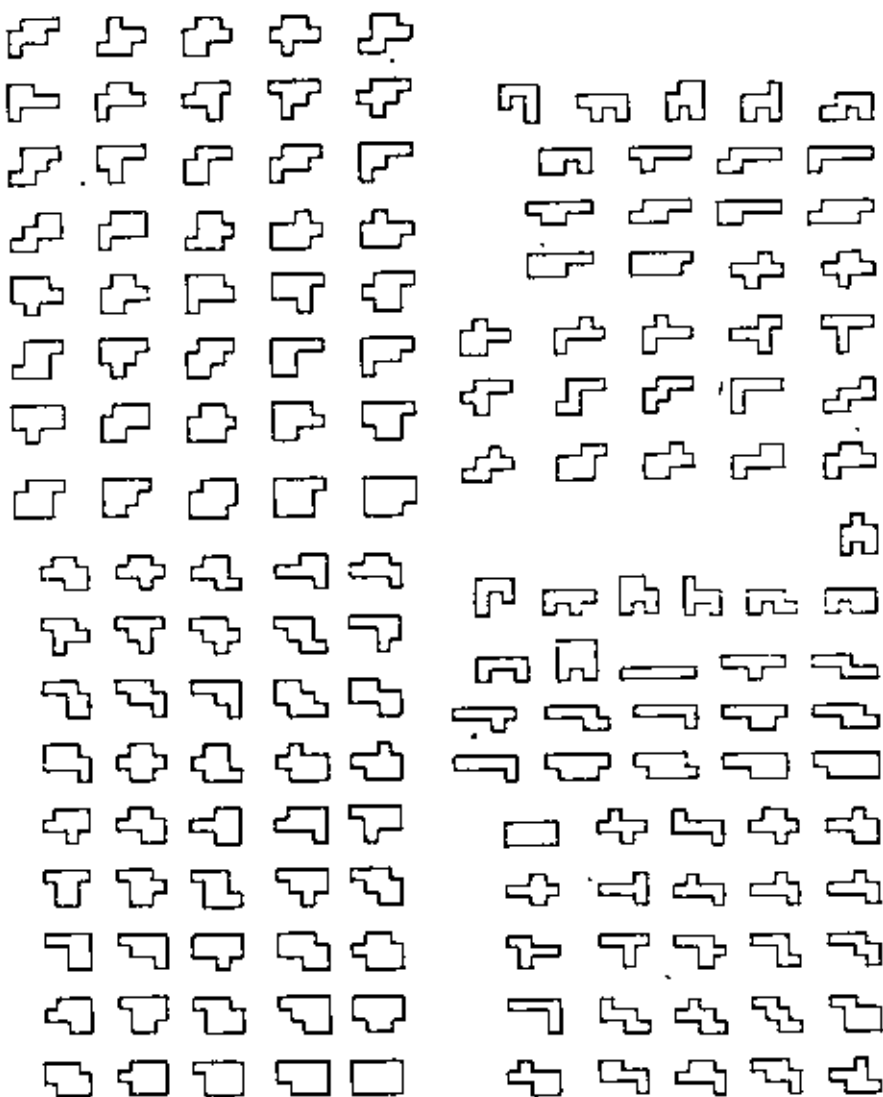


Fig. 12. All the shapes of order 14.

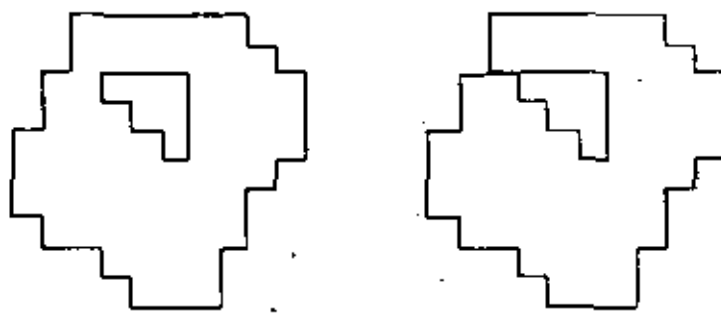


Fig. 13. Shapes with holes. To find the Bshape number of a discrete shape (A) with a hole, cut a channel across the region, so as to have a simply connected region (B); then return the Bshape of (B) as the answer. The text provides more explanation.

minimum spanning tree of cuts. When all boundaries are joined, stop.

The result is a simply connected boundary.

4. Find the *Bshape* of this simply connected boundary, and give that as answer.

If there are two cuts of equal length, use the cut that minimizes the resulting *Bshape* number. This favors cuts near the starting point of the *Bshape* number.

With this tie-breaking rule, the *Bshape* number is unique.

CONCLUSIONS

For each two-dimensional region, a shape number can be derived. This number depends exclusively on the form of the region.

These shape numbers can be found without table look-up or correlation or string matching.

The shape numbers can be of different order; high orders are more accurate for shape description. Informally, the number of ternary digits of a shape number will tell its order.

The *degree of similarity* between two regions, introduced in this paper, permits to find out how close in shape two regions are. Two regions with shapes that look alike will have a high degree of similarity.

Informally speaking, the degree of similarity between the shapes of two regions is the highest optical resolution (power of the magnifying lens) that still confuses them.

The *distance* between two shapes is defined and it is found to be an ultradistance or ultrametric.

The *Bshape* numbers allow additional advantages and overcome some problems of the (ordinary) shape numbers.

The shape numbers of figures with holes are defined.

Suggestion for further work: apply the shape numbers to three-dimensional surfaces enclosing a volume.

Acknowledgements – The research herein reported was partially done under the Joint Research Agreement (XI-1976) between DETENAL and UNAM. The work was carried on at IIMAS-UNAM and at DETENAL.

The computer programs were written at the M.I.T. Artificial Intelligence Laboratory (Boston) during a summer visit; we acknowledge the hospitality of Prof. Marvin Minsky.

Some ideas developed during a winter stay at the Ecole Nationale Supérieure des Télécommunications (Paris), where we thank Prof. C. Gueguen.

Discussions at the Mathematics Dept. (Centro Investigación del Politécnico) and at the Computer Science Dept. (IIMAS) have been valuable.

REFERENCES

1. E. Bribiesca and A. Guzmán. Shape description and shape similarity measurement for two-dimensional regions. *Proc. 4th Int. Int. Conf. on Pattern Recognition*, Kyoto, Japan, Nov. 1978, 608-612. Also available as a Technical Report PR-78-18, Computer Science Dept., IIMAS, National University of Mexico, 1978.
2. A. Guzman and H. V. McIntosh, "CONVERT". *Communications of the ACM*, 9, (8), 604-615 (1966).
3. H. Freeman and R. Shapira, Determining the minimum-area enclosing rectangle for an arbitrary closed curve. *Comm. Ass. Comput. Mach.*, 17, (7), 409-413 (1975).
4. A. K. Agrawala and A. V. Kulkarni, A sequential approach to the extraction of shape features. *Computer Graphics and Image Processing* 6, 538-557 (1977).
5. T. Pavlidis, Algorithms for shape analysis of contours and waveforms. *Proc. 4th Int. Int. Conf. on Pattern Recognition*, Kyoto, 70-85 (1978).
6. W. Perkins, A model-based vision system for industrial parts. *IEEE Trans. Computers*, C-27, 126-143 (1978).
7. H. Wechsler, A structural approach to shape analysis using mirroring axes. *Computer Graphics and Image Processing* 9, (3) 246-266 (1979).

About the Author – ERNESTO BRIBIESCA was born in 1952 in Mexico City. He attended the Instituto Politécnico Nacional, where he graduated as an Electrical and Electronics Engineer in 1974. His B.Sc. Thesis was a geographic data base system. He is currently working at DGETENAL, (Dirección General de Estudios del Territorio Nacional) where he carries on research on reconfigurable data bases and computer studies on pure form and measures of shape resemblance.

About of Author – ADOLFO GUZMAN was born in Ixtaltepec, Mexico, in 1943. He graduated from the Instituto Politécnico Nacional (México) in 1965, obtaining a B.Sc. as an Electrical and Electronics Engineer, producing a thesis on "CONVERT", a pattern matching language. His graduate studies were carried on at the Massachusetts Institute of Technology, where he obtained his Ph.D. with the thesis "Decomposition of a Visual Scene into three-dimensional bodies". He stayed until 1970 as an Assistant Professor at the Electrical Engineering Department of M.I.T. After returning to Mexico, he was Director of the Centro Nacional de Cálculo of the Politécnico, Professor Titular at the Research Center (CIEA-IPN) of the Politécnico, and Director of the IBM Latin American Scientific Center. Currently, he is a Professor ("Investigador Titular") at the Applied Mathematics Institute (IIMAS-UNAM) of the National University of Mexico (UNAM), where he teaches graduate courses in Computer Architecture and Image Processing. His current interests are reconfigurable computer architectures, image analysis (measures for Pattern similarity), remote sensing and pictorial-geographic data bases (digital terrain models).



COMPUTACION APLICADA A LA PLANEACION URBANA

Reconfigurable geographic data bases

Agosto, 1981

REPRINTED FROM:

PATTERN RECOGNITION IN PRACTICE

Proceedings of an International Workshop
held in Amsterdam, May 21-23, 1980

edited by

Edzard S. GELSEMA

Department of Medical Informatics
Free University, Amsterdam

and

Laveen N. KANAL

Department of Computer Science
University of Maryland, College Park, Md.



1980

NORTH-HOLLAND PUBLISHING COMPANY - AMSTERDAM • NEW YORK • OXFORD

RECONFIGURABLE GEOGRAPHIC DATA BASES

Adolfo Guzman

Computing Systems Dept., IPNUS
National University of Mexico

Information systems that handle geographic information usually store the data in one of these manners: (1) as a matrix of adjacent PIXELS, such as the LANDSAT Systems; (2) as polygons surrounding areas with uniform properties; (3) as shape descriptions with neighborhood relations among them. The time and difficulty used to retrieve, update, locate and transform the data, depend on the format it is stored.

In this paper a configurable data base is proposed, that dynamically changes its data representation, trying to provide best performance in view of current and past uses of it. This data base contains a cost function to be minimized, a statistics module that collects information of past usages of the data base, and a predictor that extrapolates the current user's behavior into future (possible) users behavior. Finally, according to the prediction, an reconfigurator module actually changes the format of the stored data to the most suitable format.

INTRODUCTION

Geographic information is obtained in large quantities through the world. Airplanes and satellites such as LANDSAT and SKYLAB obtain each day vast amounts of pictorial data.

In order to efficiently use this information (see "The need for electronic paper"), it is necessary to improve the acquisition, distribution, storage and access to relevant parts of this data.

This article addresses the last two aspects of the problem: how to store the information in an economic way, and how to get it back efficiently when needed.

The first part of the paper describes and delimits the problem; the second part reviews actually available solutions. The main thrust of our proposition is in the third part, where a system is proposed that stores geographic information in several ways, and dynamically changes these storage formats, according to an efficiency criterion. The last part of the article describes other reconfigurable systems, one of which is already implemented at the University of Mexico.

The purpose of the paper is to invite criticisms and suggestions, since the proposed system will soon be implemented at the Computing Systems Department.

LIMITATIONS OF GEOGRAPHIC INFORMATION SYSTEMS.

Memory. Pictorial and graphical information systems require large amounts of storage areas and fast access to it.

Fortunately, memory costs go down each year. Also, new memory types, between central memory and disk, have appeared (ccd's, bubble memories).

Also, minicomputers and recent microcomputers possess a large address space, which simplifies software writing.

In addition, each information level (each type of picture, map, detail and precision) has its optimum way of storing it. These ways have not been systematically combined in the same package.

Moreover, different uses of the same information have different retrieval speeds, according again to the storage format.

CPU Time. To manage large quantities of data, a great amount of computer's time is required. Processing is slow.

Fortunately, computer prices are also going down, at the same time that their speed goes up, because of faster components and better architectures (pipelines, asynchronous computers, image machines [5,12, 13], heterarchical architectures [11]).

Data Acquisition. To acquire map information is expensive, as well as to digitize it. The same is true for image data.

Fortunately, a great part of the information is already in digital form, because it is acquired in that way, or it can be cheaply digitized if this is done at the early stages of its acquisition.

Languages. There is a need to design and use better picture-manipulation/picture-processing languages.

Some new designs [11] possess specialized data-types, and can be executed in parallel machines.

Man-machine interaction. The mutual collaboration between man and machine must be such that each part carries on the tasks best suited for it. It is also required that the common "language" for interaction should be picture related (application related).

It is relevant here to mention the efforts of Gaillat [6] to marry Detenai's geographic data bank [2] with the P.R. System [10], in order to produce a smart assistant to the photointerpreter.

PROBLEM DESCRIPTION

A bidimensional image or map is a set of geometric elements possessing attributes (properties). There are three types of geometric elements: points (well, ruins, airport), lines (rivers, boundaries, highways) and regions (lake, city, swamp). Examples of attributes are: population, altitude, chemical composition, slope. In addition, the adjective "geometric" indicates that each element has a position (x,y coordinates) in the plane.

THE NEED FOR "ELECTRONIC PAPER"

Most of the geographic information is recorded in maps and pictures, and it is accessed with the help of ruler and compass, copied by hand and ink, much in the same manner of Ptolemaic times.

These archaic methods of storing and accessing information create a strong bottleneck that delimits its uses.

Fortunately, the computer and visual/geographic information systems [10] provide new ways to store and use this information. Each way of storage has advantages and drawbacks. Why not combine these different manners of storage through an "intelligent" system that dynamically chooses the best for a given application or pattern of use?

A geographic data base is a data base containing items that are geometric elements. Since a set of geometric elements forms an image or map, it is appropriate to say that a geographic data base manipulates maps and images. This article deals with the problem "how to design geographic data bases that exhibit reconfigurability".

A data base is reconfigurable [7] if its contents can be stored in a different manner, changing the form or format in which they are kept, but keeping invariant the information contained. For instance, we can represent Lake Chapala [Figure "Lake Chapala"] (a) by its boundary; (b) by a collection of pixels; (c) by its shape number [1]. From the point of view of the user, (a), (b) and (c) represent the same lake in different formats. Now, if the data base automatically changes (due to some convenient reason) the storage format of Lake Chapala from (a) to (b), it is a reconfigurable data base. The user did not order the change; he is unaware of it.

Reconfigurable data bases are able to choose the best format for the information they keep, according to the patterns of use of the data. They need to have, for each format, an access mechanism; conversion routines (from one format to another) are also needed.

An attribute is inheritable if the subelements of an element also possess the attribute. Thus, "it is a pine forest" is an inheritable attribute, since each part of an element that "is a pine forest" is also a pine forest. The property (this town) "contains 2000 inhabitants" is not inheritable.

Inheritable attributes allow savings in memory, because it is not necessary to repeat the attribute for each subelement; the attribute can be placed at a "high level" element. This will become clear later.

ACTUAL SOLUTIONS FOR DATA REPRESENTATION

A reconfigurable geographic data base has several manners to represent and store its data. It is now convenient to study them, in terms of occupied memory and also in terms of access methods and access time.

Representation of points.

Xy-representation. A point is represented by a pair of coordinates. The attributes associated to that point are represented by a collection of pairs property (attribute)-value.

Representation of lines.

Freeman chains. A line is represented by the relative coordinates of sequential points. The coordinates of each point are expressed relative to the preceding point in the line.

The inheritable attributes are associated with the line, and the non-inheritable attributes are defined along the line.

Storage of Freeman chains is compact. Reconstruction of the line is easy, but the "geometric" properties of the represented line are difficult to obtain; for instance "what is the shortest distance between two lines?".

Polygonal lines. A line is represented by the absolute (x,y) coordinates of sequential points. That is, the line is approximated by straight-line segments, and each vertex is recorded.

The inheritable attributes are associated with the line, and the non-inheritable attributes are defined along the line. For instance, "elevation" is defined along

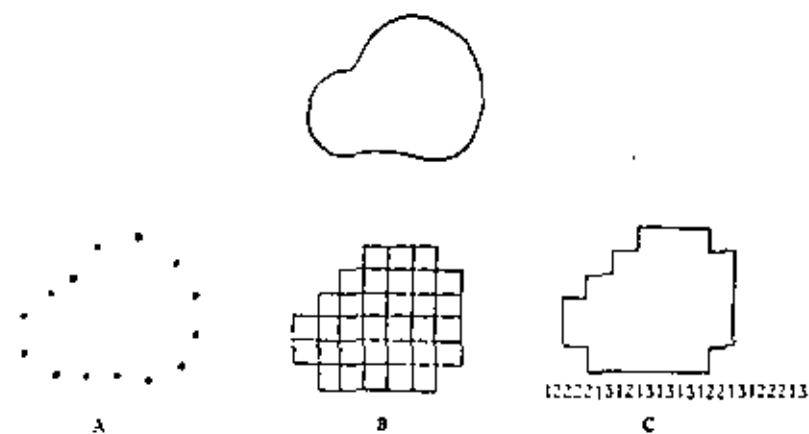


Figure "LAKE CHAPALA"

- (A) Stored as a collection of Boundary points: (3.5, 4.2), (3.6, 4.7), ...
- (B) Stored as a collection of pixels:
- (C) Stored as a shape number: 1222131213131312213122213

In a reconfigurable geographic data base, you could store Lake Chapala as a collection of pixels and later discover that the information system now contains it as a shape number. Under what conditions is such change desirable? Read the section "The proposed system".

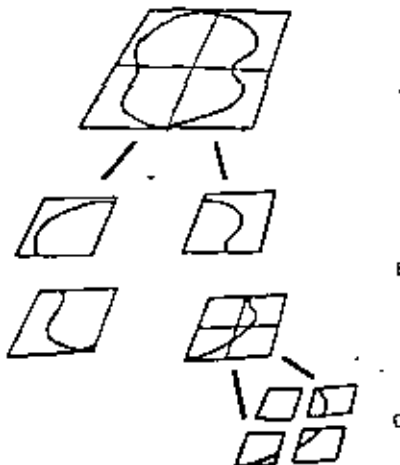


Figure "BRIBIESCA'S REPRESENTATION"

The region (A) begins to be subdivided (B) into a hierarchy of pixels (quad tree), but this subdivision is stopped prematurely (C). Each final leave (C) then carries as attribute the Freeman chain describing its portion of the boundary. This increases the precision with which final graphs can be obtained.

the line, v. gr., at fixed intervals.

This is a popular representation. It demands more memory than the Freeman chain. Reconstruction is easy.

Representation of regions

Pixels. Each region is divided in squares (pixels) of size dictated by the desired precision. Attributes are assigned to each pixel, as if it were a point. For this reason, it is not possible to distribute further non-inheritable attributes within a pixel. For example, if a pixel contains "5000 inhabitants", we can not know from this information if they are located near its center, or in its SW corner. Should this information become necessary, the picture has to be resampled (in order to measure the attributes again) with a finer pixel size.

Pixel representation avoids storing the x,y coordinates of each pixel; these coordinates are implicit properties [7], because from the position of the pixel information within the record, it is possible to deduce the coordinates.

Access to the information is fast, since it is possible to compute in advance the record position of the needed information. Geometric properties are easily obtained, too, because each pixel has known coordinates.

Storage of properties associated with each pixel follows one of these two ways:

(A) Access through the property. See figure 'Pixel Representation, (a)'. This is in widespread use. Each property is represented by a 2-d matrix of values. For instance, LANDSAT data consists of a "green image" stored in a large matrix containing numbers from 0 to 127 (the intensity in the green range), plus a "red image", plus an "infrared image", etc.

'Other example: a matrix of altitudes.'

This form of storage is advantageous when the values of the stored attribute exist everywhere (v.gr., altitudes). But it will be expensive to use for properties that show up only in a few places (copper deposits), since most of the data will consist of zeroes.

If the data base is going to frequently answer questions that combine several properties ("give me all the places with green>80 and altitude between 1500 and 2000"), it is disadvantageous to have the properties of the same pixel stored in different planes (matrices), since several records --one for each property-- need to be read from disk.

(B) Access through the pixel. The properties or attributes of each pixel are placed in a list associated to the pixel. Stored in this format, a LANDSAT image will be a matrix of 4-tuples of numbers, each 4-tuple being of the form $b1=15-b2=23$, meaning "green=63, red=15, infrared=119, etc." See Figure 'Pixel Representation,(b)'.

For attributes that exist everywhere, storage size is the same for both (A) and (B). But now suppose that it is necessary to store "rare" properties, that show up only in a few places. Then we could use (B) with explicit properties [7], meaning that together with the attribute value it is necessary to store the name (which is generally a number) of the attribute.

That is, a pixel could have the following property list:

GREEN - 64
COPPER - 301
ALTITUDE - 1500

while another pixel could have the following property list:

GREEN	=	39
CACTUS	=	227
ALTITUDE	=	1500
ARCHAEOLOGICAL MONUMENTS	=	3
AIRPORTS	=	1

Very well. Do not store nonexistent attributes. Store the existing attributes as explicit properties. Nevertheless, these rules give rise to property lists of unequal length (See Figure "Pixel Representation, (c)") which is fatal for quick access to a given pixel. It is necessary to keep all the list equally long. If this is accomplished, we may as well use arrays instead of lists. I have found two ways to keep property lists of equal length:

- (1) In Detenel's geographic data bank [2], a "reasonable maximum length" is computed, and this size is assigned to each "list" (an array, in fact). If a pixel has fewer properties, space on its property list is left unused. If it has more, some properties are lost (not stored).
- (2) In the Mexican Child data base [9] popular properties (those existing everywhere) are stored implicitly [7], but "rare" properties are stored in a list of fixed size, like Detenel's. Both (1) and (2) achieve the use of fixed size property lists.

Victor Germán Sánchez [7] abounds in the advantages of implicit vs. explicit properties, when to use which, and when to reconfigure from one to another.

Quad trees. [14]. Each region is divided in an initial number of (big) pixels; to each of them properties are associated as explained under "pixels" above. Now, each of these pixels is considered under some homogeneity criterion (v. gr., that the gray level maximum difference between subportions of the pixel should not exceed 10% of the average; or that max height - min height < 10 μ.). If it is homogeneous, it is left alone and it does not generate sons. If not homogeneous, it produces a fixed number (four, for the quad-trees of U. of Maryland) of children. These are pixels of smaller size. All of them collectively cover the same region as their father. Attributes are also associated to these smaller pixels, thus allowing greater accuracy in the representation. Each pixel is further considered for subdivision, and so on; the process stops when all the (final) leaves of the tree satisfy the homogeneity criterion.

The pixels need not be square; the brothers need not be of the same size or shape. Dora Gómez [8] uses, for representation of terrain and 3-d surfaces (elevations), quad trees of irregularly shaped triangles of different size.

Each pixel does not need to have exactly four sons. Bribiesca [2] uses, in Detenel's geographic data bank, a different number of sons for each level, in order to have layer of pixels representing a given map scale. See Figure "Tree of Pixels in Detenel's Geographic Data Bank".

Quad trees allow easy access to the information. If we only keep the attributes of the final leaves (those pixels having no descendants), storage shrinks.

Quad trees keep fairly well most geometric and neighborhood properties.

Polygon representation. Describe each region by its boundary; describe this boundary by a polygon (see "polygonal lines" above); that is, by a number of perimeter points.

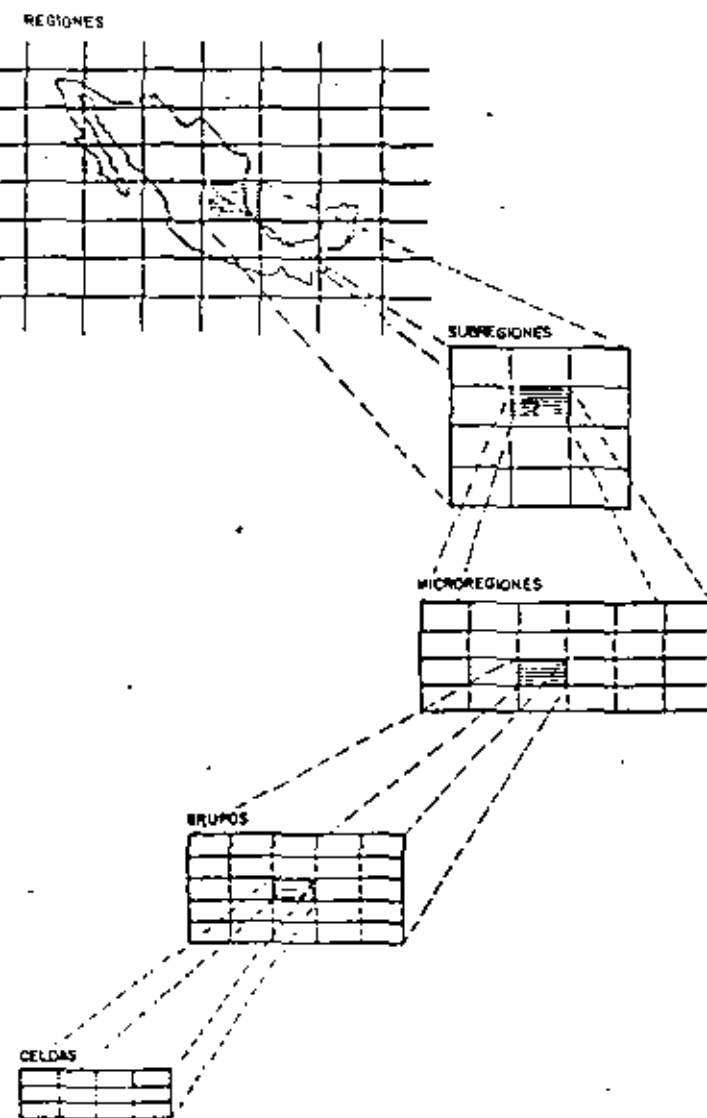


Figure "TREE OF PIXELS IN DETENAL'S GEOGRAPHIC DATA BANK"

Each layer is formed by pixels that represents maps at different scales. These scales determine the number of sons each pixel must have. At each level, all pixels have the same number of sons.

Properties are attached to each polygon.

Polygon representation occupies little memory. Nevertheless, to find region intersections ("give me all the deciduous forests that grow on top of sandy soil") is slow.

First pixels, then polygons. In a recent implementation of Detenel's geographic data base, Bribiesca uses quad-trees up to a certain level, then stops. But at these leaves of the tree he then stores the Freeman chain of the part of the boundary of the region crossing that pixel. See Figure "Bribiesca's Representation".

This is useful when most questions asked to the data base do not need high precision in their answers (they are answered with the help of the pixels only), but the final maps need to be drawn precisely. Instead of a map with staircase-like boundaries, each step the size of a pixel, he uses the freeman chain within a pixel and obtains a much smoother boundary. And he avoids a lot of polygon intersections.

Shape numbers. When a region is considered disregarding its size, orientation and position, it is seen as a "shape". From each shape, it is possible [5, 1] to deduce a unique shape number, that allows easy comparisons between shapes. With the help of the shape numbers it is possible not only to decide whether two shapes are identical, but (if not identical), how close in shape they are. They give a metric or distance that measures the similarity in shape.

Shape numbers occupy very little memory. Unfortunately, operations other than shape comparison become difficult on them: intersection of two shapes, for instance.

ACTUAL SOLUTIONS FOR DATA ACCESS

Geometric elements can be accessed (a) according to their geographic location; (b) according to the value of their attributes. It is very common to combine both mechanisms: "give me all the places within 10 kilometers of Popocatépetl Volcano having lava soil".

The access mechanisms for the attributes are precisely those used in general information systems: arrays, records, inverted lists, access vectors, hash coding, multilists, index sequential files, auxiliary keys, etc. [7].

The access mechanism for points is through their coordinates.

The access mechanism for lines is through the coordinates (or coordinates interval) of some point of it: its centroid, or a rectangle just enclosing the line.

For pixel access, to access a pixel with given x,y coordinates, these coordinates are used to compute the row (of the matrix) containing it. This record is then read from disk into memory. Then x gives us the position within the row.

To access a pixel within a quad tree, the tree is penetrated always from its root. Some interval comparisons of the coordinates of the needed pixel will reveal which of its sons contains such point. In this manner we descend towards the inner levels. To go down from one level to the next, some comparisons are required. Access is fast.

WHY ARE RECONFIGURABLE DATA BASES NEEDED?

The data access mechanisms described above for geographic information (that is, for purely geometric elements) greatly differ from those used in conventional information systems. When the first methods are combined with the last, a great variety results. Each combination has its ecological niche.

Nevertheless,

- (1) The needs for accessing and the subsequent modification of the information may vary, as time changes, and a different form of data representation may become more attractive.
- (2) Even if each image or map is represented in its most efficient format, it is quite common for the data base to have to answer questions that need to access information from several images, hence to have to manipulate several formats.
- (3) To transform each format to a canonical form each time a question is answered, in order to simplify the obtention of the answer, may become inefficient.
- (4) To save the same map information in different formats is very expensive in memory, as well as in updating time.

On the other hand, conventional (i.e., not geographic) information systems exhibit some diversity of formats for storing their data. Recently, there has been some interest in the implementation of reconfigurable systems [5], even in the form of reconfigurable machines [12].

THE PROPOSED SYSTEM

It is hereby proposed to design and to implement a geographic reconfigurable data base that:

- (1) Accepts and uses the main formats employed in cartographic/geographic/image processing systems.
- (2) Answers arbitrary questions about the information it contains, irrespective of the formats used to store it.
- (3) Obtains those answers in an optimal or near-optimal manner, with respect to the formats of the involved information. That is, "does its best" when it is required to agglutinate information kept in dissimilar forms.
- (4) Collects and extrapolates statistics about questions and updates, so as to decide to change the format of some portion of the information, if the trends show this to be desirable.

The parts of the system

The reconfigurable geographic data base will consist of the following modules:

- A syntactic analyzer/parser for queries/uploads.
- An optimizer.*
- Access routines for different representations.
- Utility library to perform the operations.
- Reporter/graph maker.
- Statistics module.*
- Predictor.*
- Cost function.*
- Reconfigurator.*

With asterisks are signaled the modules needed to make to data base reconfigurable.

How the system works

The syntactic analyzer converts input from the user into calls to the appropriate access routines and utility subprograms. The optimizer is needed before these calls are made, because the richness of formats makes more desirable to chose a good way

to perform the operations. Then the access routines bring the data into memory, and the utility subprograms perform the desired operations. These operations usually end with a report or map being produced: this is the job of the report/graph maker.

While all this is being done, the statistics module counts the number of access and updates. The predictor extrapolates past use into future behavior; it predicts what future use of the data base will arise. From time to time, a cost function is invoked to ascertain whether the current formats are cost-effective. If not, this cost function suggests a reconfiguration. This reconfiguration is performed by the Reconfigurator.

We now proceed to describe each of the starred parts: those modules needed to make the data base reconfigurable.

The optimizer. When an execution command is received, the form and order of execution of the operations is important. For instance, if the command makes necessary to perform operations between a pixel image and a map stored in polygon representation (as it was the case with Gaillat [6]), the optimizer decides whether to transform the polygon to pixel representation and perform the operations in that format, or, instead, to do everything in polygon representation.

The statistics module. This part of the system keeps several counters, for retrievals, access, updates, searches and the like. This information pertains to the "recent past" behavior of the data base.

The predictor. By extrapolation of the behavior of the data base in the recent past, the predictor calculates its behavior in the immediate future, taking notice of trends.

The cost function. Each form of storage has different costs in terms of speed of access, storage required, and cpu time needed to perform several operations. The cost function contains all these parameters. From time to time, the system uses this function to compute the current cost (of the use of the data base in the immediate future). Specifically, it computes the cost of continuing using the data base with the current formats, as well as the cost of use with alternate formats. It then selects the best (least expensive) alternative, and indicates to the reconfigurator how it wants the data base to be changed.

The reconfigurator. Transforms the data base, changing the formats of storage of some of the items, but keeping unaltered its information. It basically consists of several transformation routines that go from one format type to another.

The reconfigurator works under request from the cost function. Since the task of reconfiguring also has a (high) cost, it should be taken into account in the cost function, at least in an approximate manner.

CONCLUSIONS

Geographic information systems perform useful and necessary tasks, in view of the large amounts of data and processing required. The formats that the information systems use for storing its data have several costs in terms of speed and memory requirements. It is therefore advisable to design a reconfigurable geographic data base, which always keeps its information stored in a best or near-best set of formats.

Drawbacks. The proposed system is larger than fixed-format systems, since it handles richer varieties of formats. The cost of the Reconfigurator may be large in terms of programming effort and running time.

Advantages. The user needs not worry about how to capture its data, because it is internally converted, if necessary, into a near-optimum format. If the evolution

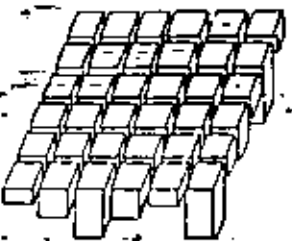
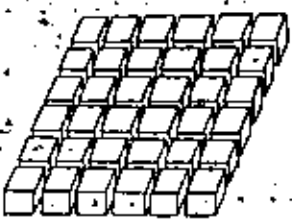
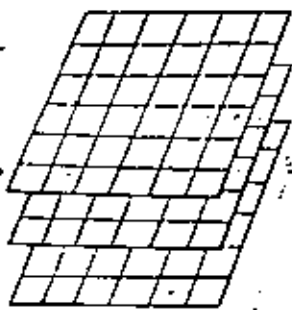
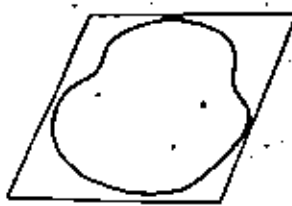


Figure - "PIXEL REPRESENTATION"

- (1) The region
- (A) Access through the property: each attribute forms a matrix of values
- (B) Access through the pixel: each pixel has a small list of attributes
- (c) Access through the pixel: same as (B), but the lists are of unequal length

function is properly chosen, the overall performance of the system will surpass that of a fixed-format system.

Future work. A reconfigurable data base is already implemented [7] at the University of Mexico. We propose to implement the system described in this paper at the Computing Systems Dept. of the University. Main difficulties felt are: the evaluation function, and the optimizer.

ACKNOWLEDGEMENTS

My appreciation to the members of the Computing Systems Department, and particularly to Renato Barrera, who is coauthor of several ideas.

The AIR Project [12], with its reconfigurable computer, has provided a good place to work and think.

Work hereby described was partially supported by a grant (#1632) from the Consejo Nacional de Ciencia y Tecnología (Mexico).

REFERENCES

- 1 Barrera, R., Guzmán, A., Jinich, J., Radhakrishnan, T. Design of a High level Language for Image Processing. IIMAS, 1979, PR-78-22. University of Mexico.
- 2 Bribiesca, E., Guzmán, A. User's manual to Exploit a Geographic Data Bank. CCAL-74-17, Scientific Center, IBM de México. Dec. 74.-(in Spanish).
- 3 Bribiesca, E., and Guzmán, A.. Shape Description and Shape Similarity measurement for two-dimensional regions. Proceedings of the 4th International Conference on Pattern Recognition Kyoto, Japan, 1978, 608-612. Also available as Comunicaciones Técnicas IIMAS-UNAM, 1978;9, 160 (PR-78-18). IIMAS, National University of Mexico. Accepted for Publication in Journal of Geoprocessing.
- 4 Bribiesca, E., A. How to describe pure form and how to measure differences in shapes using shape numbers. 1979 IEEE Conference on Pattern Recognition and Image Processing. Chicago, U.S.A. Accepted for publication in Pattern Recognition Journal. (1980).
- 5 Briggs, F.A., Fu, K.S.T., Huang, K.J., Patel, J.H. PML: a reconfigurable multi-processor system for pattern recognition and image processing. TR-EE-79-11, March. 79. School of Electrical Engineering, Purdue University, U.S.A.
- 6 Gaillat, J.P., Méndez, R. An intelligent assistant to the photointerpreter. Comunicaciones Técnicas IIMAS, Univ. of México. 1979 (in Spanish).
- 7 Germán-Sánchez, Victor. A general reconfigurable information system. M. Sc. Thesis, IIMAS, National Univ. of Mexico. To appear in 1980 (in Spanish).
- 8 Gómez, Dora and Guzmán, A.. Digital Model for three-dimensional surface representation. Journal of Geoprocessing 1-(1979)-53-70. Elsevier Publishing Co.
- 9 Guzmán, A., et al. Banco de datos del niño Mexicano. Comisión Nal. para el año Internacional del niño. DIF. 1979. (in Spanish)
- 10 Guzmán, A., Seco, Rosa and Sánchez, Victor-Germán. Computer Analysis of LANDSAT images for crop identification in Mexico. Proceedings of the International Conference on Information Sciences and Systems, August 19-24, 1976. University of Patras, Patras, Greece.
- 11 Guzmán, A.. Hierarchical architectures for parallel processing of digital images. IIMAS, 1979, AIR-79-3 (PR-79-23), Comunicaciones Técnicas, Serie Naranja. Univ.

- Nal. de México. Presented at the II Seminario Internacional sobre el uso de los sensores remotos. México, D.F., 1979.
- 12. Gómez, A., y Segovia, Raymundo. A Parallel reconfigurable LISP machine. Proceedings of the International Conference on Information Sciences and Systems, August 19-24, 1978. University of Patras, Patras, Greece. 207-211.
 - 13. Levialdi, S., Duff, M., Preston, K., Norgen, P., Toriwaki, J. Theoretical and practical considerations in the application of neighborhood logic to image Processing. Proc. 4th Intl. Joint Conf. on Patt. Recogn., Kyoto, 1979. 139-145.
 - 14. Samet, H: Computing perimeters of images represented by quad trees. TR-755 # 368, DAAG-53-76C-0138, April 1979. Computer Science Center, Univ. of Maryland



COMPUTACION APPLICADA A LA PLANEACION URBANA

Digital model for three-dimensional surface representation

Agosto, 1981

DIGITAL MODEL FOR THREE-DIMENSIONAL SURFACE REPRESENTATION

DORA GOMEZ and ADOLFO GUZMAN

Computer Science Department, IIMAS, National University of Mexico, Mexico 20 D.F.
(Mexico)

ABSTRACT

Gómez, D. and Guzmán, A., 1979. Digital model for three-dimensional representation. *Geo-Processing*, 1:53-70.

A tree of planar or spherical triangles is used to represent a 3-d-surface; rather flat regions will be represented by large triangles; while abrupt zones will require further subdivision of the model into smaller triangles. Their vertices are not placed on a regular grid; they are allowed to fall at (or near) places such as ridges and peaks, where the change in slope is significant.

Starting from a collection, not necessarily good or complete, of "significant" points, the model selects five of them to form four triangles. Each triangle either matches the surface within a prespecified error tolerance, or else is further subdivided, by selecting appropriate "significant" points, into four triangular sons, which then receive in turn the same treatment. The tree stops growing when all the surface is represented within the specified tolerance. The model consists of the vertex points arranged into a table suitable for quick retrieval and interpolation.

Thus, the model guides its own construction; its components (points) are taken from the set of "significant" points, not in an arbitrary fashion but only where and when needed. Since the model proposes the approximate location of the next point to be included in it, the set of "significant" points may be small or non-existent.

A constant signal-to-noise ratio and a representation thrifty in storage are achieved in this manner.

The model is being tested for use in digital representation of terrain elevation. Large savings in memory are expected, when compared to contour lines storage, for instance.

The paper concludes with some comments in favor of the use of this model to describe gray level pictures.

INTRODUCTION

The digital representation of three-dimensional surfaces plays important roles in photogrammetry and cartography (drainage patterns, contour lines (Gómez, 1978), valleys formation, stereoscopy (Gómez), dimensions of the human body); scene analysis (closure of bodies, explanation of regions (Guzmán, 1971) and objects, range finding, shape from shading (Horn, 1970); computer graphics (hidden lines, shadows, coloring, specular reflexions); image processing; remote sensing (thickness of ice (Jansen, 1976), underground geology), and other disciplines.

The surfaces to be considered are of the following types:

$$z = f(x,y) \quad (I)$$

$$g(x,y,z) = 0 \quad (II)$$

Surfaces of type (I) give a single z value ("height") at each pair of coordinates x,y ; surfaces of type (II) can represent more general surfaces in the space, for instance the skin of a hand (Figure 1). The examples of the paper refer only to surfaces of type (I), but the model hereby proposed can be used for both types.

Our model for a surface consists of a minimum complete cover of triangles; that is, a mutually exclusive, collectively exhaustive finite set of triangles such that (1) each point in the surface is represented by exactly one triangle and (2) every triangle represents at least one point of the surface. To this we add the important restriction: (3) the difference between the coordinates x,y,z of a point in the surface and those x',y',z' of its representative (as given or computed from the model) is less than a pre-specified error or tolerance ϵ . Thus, for two tolerances $\epsilon_1 > \epsilon_2$, the same surface will be represented by two models M_1 and M_2 , where M_2 is a refinement of M_1 .

For surfaces of type (I), we make $x=x$, $y=y$ and the distance between the real point and the model point is just the difference in heights.

Non uniqueness of the model

Several complete covers for a surface exist; in order to save memory, it is preferable to use a cover with fewer triangles (hence, each triangle covers, on average a larger area), as long as they obey restriction (3) above. The idea is: (4) not to subdivide a triangle unless it fails to represent reality within the ϵ tolerance.

Even so, a 3-d-surface can be represented by several models complying with (4) above. There is no unique model; by changing the position of the original rectangular frame a new representation is obtained. A different starting rectangle, in the procedure or a different orientation of the grid will produce a different cover of triangles.

¹The width of the sidewalk is a constant fraction k_1 (say, 10%) of the corresponding median: $w_{sr} = k_1 \cdot w - r$. To incorporate these sidewalks to the model, it was only necessary to modify the definition of the function *inside*, so that a point is "inside" triangle t if it falls inside it or at the sidewalk. (Refer to fig. 7). If not significant point r is found near enough r'' so as to meet the 10% requirement, the model orders to find (to fabricate) a new significant point with coordinates x,y closer to r'' (r'' is the midpoint of $(c_x,c_y,0)-(d_x,d_y,0)$) to ensure that the resultant flaps will not be wider than k_1 . An optimal way (suggestion 1) is needed to compute k_1 . The sidewalks slightly contradict the assumption (1); uniqueness of representation for a point, of the introduction. This is of no importance.

This is not a problem for 3-d surface representation, as used for instance in applications to cartography and computer graphics. For surface comparison it is

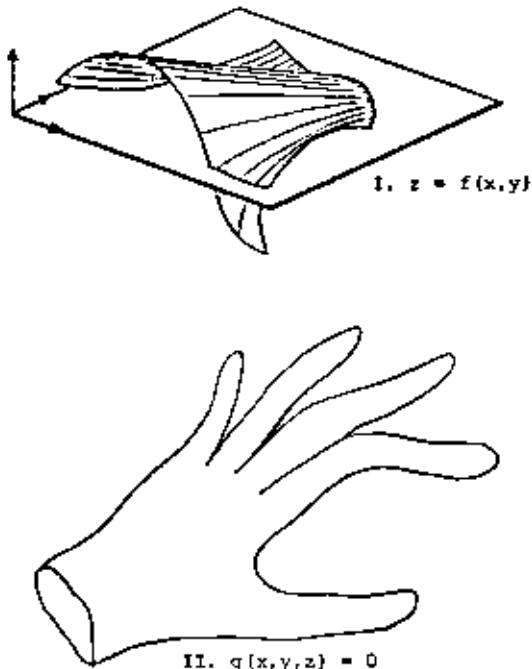


Fig. 1. TYPES OF SURFACES. The model described in this paper is able to represent either (I) single height surfaces, or (II) more general surfaces.

much better to have a unique (canonical) model, perhaps through a normalization procedure.

The set of significant points. Using a method external to the model, for instance stereoscopy [Gómez], gradient extraction (Signor and Nadler, 1978), river following, or others, an initial set of "significant" points is chosen on the 3-d surface that we want to represent. A point is called "significant" if in its neighborhood the change in slope is large.

The model begins by using some of these points; if it later finds necessary to grow, it indicates the approximate place (x, y coordinates) where a new "significant" point should be added to the model.

The model thus consists of a subset of "significant" points, defining a triangular irregular mesh; if the original set of "significant" points is too small, the model will suggest where to add one; if too many, most of them will be ignored (not included in the model); if the procedure that implements "significance" is noisy or unreliable, the model still guarantees the ϵ tolerance, but storage economy suffers.

Therefore, in a computer implementation, it is not necessary to obtain first the set of significant points and then to pick the model from them; instead, the

model can begin to grow as soon as five or six are found, and the procedure that extracts significant points is called by the model as it deems necessary.

Obtention of the three-dimensional surface

It is assumed that the surface to be modelled already was obtained and exists available in some suitable representation, v.gr., a 2-d matrix containing height values. This data could have been obtained by stereocorrelation (Gómez) of a pair of pictures, by interpolation of digitized contour lines (Bribiesca and Avilés, 1974) or by other means.

CONSTRUCTION OF THE MODEL

In order to describe the model, it is necessary to explain

- (1) its constituent parts. In this case, they are vertices ("significant" points from the 3-d surface to be represented) that form planar, but tilted, triangles.
- (2) how the model is stored; the data structure used to keep the model in memory (primary or secondary storage). A tree of triangles, each with none or four sons, is used.
- (3) the use of the model: the procedure to follow for reconstruction of the 3-d surface from the model; the way to obtain the coordinates of a point in the surface from the cover of triangles. Here a directed access is used to the correct triangle starting from the top of the tree of (2), and falling down the appropriate chain of triangle sons, using little search and no backtracking.
- (4) the construction of the model, i.e., the obtention of its parts from the 3-d surface. A recursive procedure will be presented, where the model guides its own construction, by suggesting places (x,y coordinates) where to incorporate into itself points from the 3-d surface that are also "significant" with respect to changes in slope.

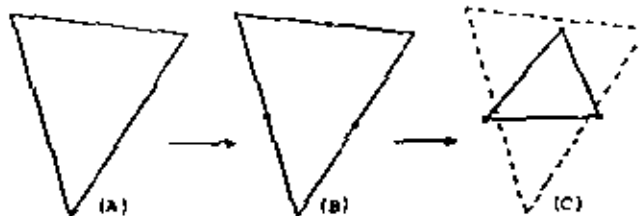


Fig. 2. TRIANGLE REFINEMENT. If it is necessary to refine triangle (A), three new vertices are proposed at the mid-points (B) of the sides; "significant" points are located near those mid-points; once they are found (C), four new triangles stand instead of the original (A).

The parts of the model

To represent a surface $z = f(x,y)$, the model uses a collection of planar tilted triangles; each of them is defined by its three vertices, chosen to lie on the surface $z = f(x,y)$ to be represented.

All the points inside the triangle are interpolated linearly: the surface inside the triangle is considered flat (but not horizontal, in general). Since the real surface $z = f(x,y)$ is not flat, an error is introduced by this assumption. If everywhere in the triangle this error (height difference) does not exceed a tolerance ϵ , the planar triangle is considered to be a good (and final or "terminal") representative for that region of the surface, and it is included in the model. If the error is larger, the triangle is discarded by dividing it into four smaller triangles, each of which in turn undergoes the same treatment.

Initially the surface is divided into a small set of arbitrarily chosen large triangles; if the surface is bound by a rectangle (as it is frequently the case in maps), four triangles are chosen as shown in part C of Figure 3.

The final model contains triangles (of different sizes) that represent the surface $z = f(x,y)$ with a tolerance ϵ . Each of the vertices of these triangles was proposed by the model by dividing a triangle in four through inclusion of new vertices near the middle points of the sides (Figure 2).

Once every triangle is refined, the vertices (E in Fig. 3) are stored in an appropriate way, suitable for quick data retrieval for surface reconstruction.

When to stop refining

A triangle such as in Figure 2A is refined further, unless

- 1) the difference between the real height $z = f(x,y)$ and the computed height \bar{z} at the center of mass ($\bar{x}, \bar{y}, \bar{z}$) of the triangle is smaller than ϵ , and
- 2) every point in a grid of points spaced at most K units apart and inside A is within ϵ of the real point on the surface $z = f(x,y)$.

Test (1) is a quick test; test (2) is applied only if (1) does not find a difference exceeding ϵ .

K , the distance between two points in the grid of (2), is a function of ϵ ; normally, $K = \min(1/m, K_0)$, where m is the mean slope of the surface at the triangle (A), and K_0 is the diameter of the smallest topographic feature (hill, ravine) that it is necessary to represent in the model. Generally K_0 is given by the user of the model: "be sure to check the model every 500 horizontal meters for accuracy"; then $K_0 = 500$.

Flow diagram. The procedure for construction of the model could be summarized as:

-- Let T be the set of triangles that are candidates to be included in the model.

Initialize T with the four triangles of (C), Fig. 3.

- Mark every triangle of T as "terminal" if it passes tests (1) and (2) of the Section "When to stop refining". If these tests fail for a triangle, mark it "non-terminal", divide it into four sons (cf. Fig. 2) and add them to T .
- Exit when all triangles of T (including all the additions to T) are marked (either "terminal" or "non-terminal"). Then T is the model.

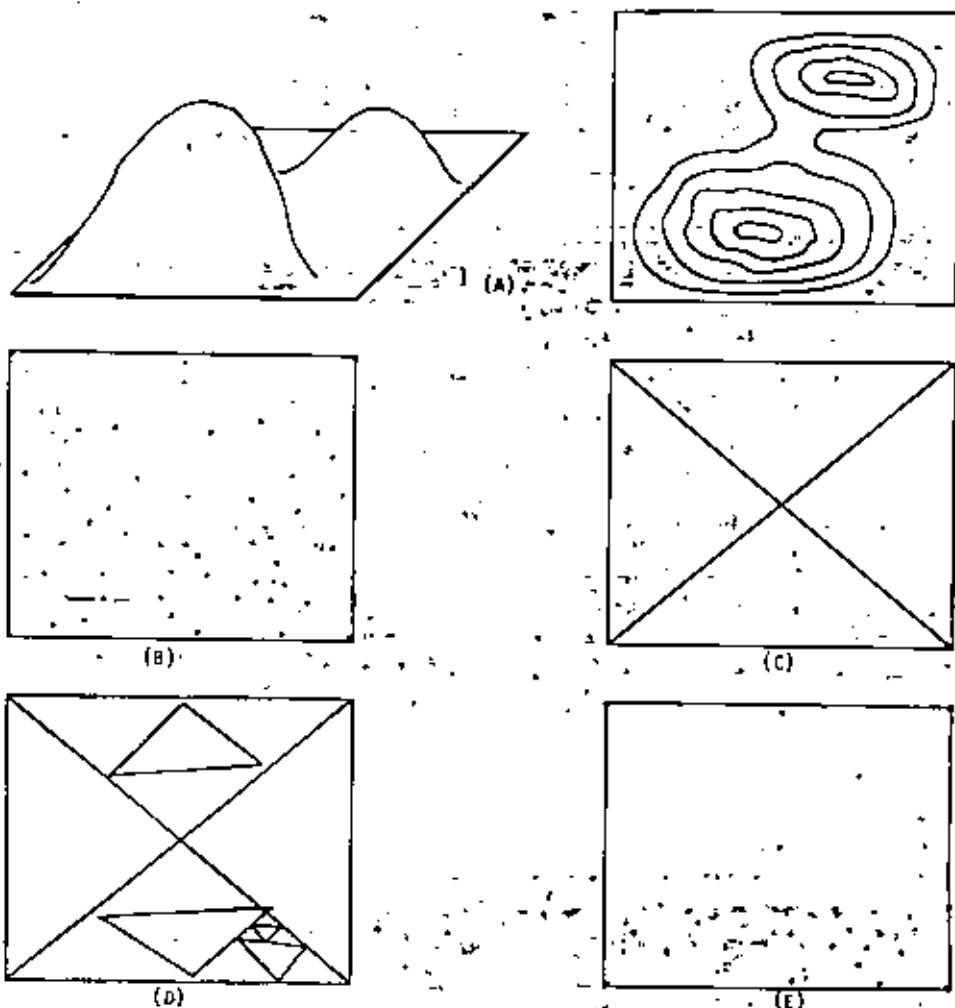


Fig. 3. MODEL BUILDING: (a) the surface, (b) the "significant" points, (c) the four initial-triangles, (d) the final triangles, (e) the points of the model, usually a subset of (b). Triangles (d) are in the space (they project out of the paper); similarly, points (e) have three coordinates.

TABLE I. FLOW DIAGRAM FOR MODEL BUILDING.

This simple program constructs surface models such as that shown in fig. 6.

BEGIN

T the four initial triangles of fig. 3C;
For every triangle in T

if it passes tests (1) and (2) of section "When to stop refining"
then mark it 'terminal'
else mark it non-terminal and
add its four sons to T ;

END.

A non-terminal triangle is not needed in the model, since
(1) its accuracy is worse than ϵ , and
(2) some of its descendants are *definitely* terminal triangles, hence suitable for modelling.

Thus, the model could be just the collection of terminal triangles.

This is advisable when the cover is made of similar triangles (q.v.), where it is easy to pick up the correct triangle for surface reconstruction. If the triangles are not similar, it is preferable to retain the non-terminal triangles into the model. This facilitates the addressing of the correct terminal triangle that gives the height Z of a point (x,y) (i.e., the point (x,y,Z) that represents the point (x,y,z) of the 3-d surface). More of this in the section IV 'Data Retrieval for Surface Reconstruction'.

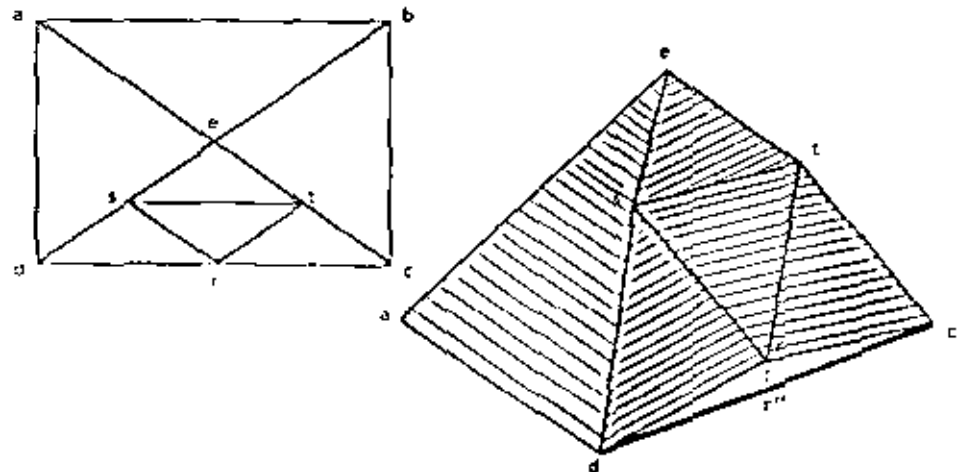


Fig. 4. MODEL VISUALIZATION. We try to give an isometric view of the appearance of the triangular model in 3-d space. Point $s = (s_x, s_y, s_z)$ does not lie on the 3-d line $a - c$; but point $(s_x, s_y, 0)$ does lie on the line $(d_x, d_y, 0) \rightarrow (e_x, e_y, 0)$. Triangles such as $d - c - s$ or $d - t - c$ are not part of the model; they represent no part of the real 3-d surface because they lie vertical. They are useless.

Cover of similar triangles

Two polygons are similar if the corresponding angles are equal, the sides parallel and their length proportional.

If in Figure 2 we stop the refinement at (B), choosing the midpoints as new vertices to include in the model, the final cover of the model is composed of two families of similar triangles, because a line joining the middle points of two sides is parallel to the third side.

A word of caution: the triangles are not similar as they lie in the 3-d space. Their projections on the plane x,y do form a family of similar 2-d triangles (for triangles a b c and d e f of Fig. 4, and all their descendants) another family of similar 2-d triangles for triangles d a c and b c f, and all their descendants.

The advantages of the cover of similar triangles are:

- storage of these triangles is easy. (Blinier and Nitiles) stores a hierarchy of squares.
- reconstruction of the surface from the model becomes simplified.
- a set of "significant" points (B in Fig. 3) is not needed.

The disadvantage comes from (c):

- the model might contain more points, since they are not special or significant: they are not the best to choose for interpolation of planes.

DATA STRUCTURE FOR MODEL STORAGE

This section describes the way to organize the storage of the model. Essentially, the storage consists of a collection of triangles. Each triangle is stored in a "frame"; each of them contains

- three internal vertices
- a "terminal" or non-terminal mark for each son.

The terminal mark (zero) indicates that a triangle son already fulfills the accuracy, hence it (the son) has no sons of its own --need not be further subdivided--. The non-terminal mark, an integer different from zero, indicates the location (frame) in the model matrix occupied by this triangle son. Thus, when a node is marked as non-terminal, the mark itself also says where (in what frame) that son is stored. See Fig. 5 and Table II. Slightly different conventions were used in IIMAS-UNAM (Gómez, 1978).

The model is stored in a matrix (C, Fig. 5) which is a collection of frames. A non-terminal triangle occupies a frame; it stores clockwise (F, Fig. 5) its three central vertices and a mark specifying for each son whether it is terminal or not. A terminal triangle does not use a frame, since it has no sons. But a non-terminal triangle could very well have four terminal sons. That is the case of frames 4 to 9 of Fig. 6.

The initial frame, frame 1, is stored in a slightly different manner (part A of Fig. 5, because it describes a rectangle.

A more complicated example is given in Fig. 6.

Storage of vertices. When describing a non-terminal triangle (v.gr., triangle 1 2 3 of B, Fig. 5, only vertices 4, 5 and 6 are stored in the frame belonging to that triangle 1 2 3, since vertices 1, 2 and 3 were undoubtedly stored in the ancestors of triangle 1 2 3. This avoids multiple storage of vertices, and exploits the fact that in order to examine whether a point (x,y) falls inside the

TABLE III. NAMING CONVENTIONS.

These conventions are important for correct storage of vertices (such as 4 of the internal triangle P), and its subsequent appropriate retrieval for reconstruction of the 3-d surface. For a use, see definition of procedure 'altitude' in section "Data retrieval for surface reconstruction".

CONVENTIONS-I.- Refer to part (A) of Fig. 5.

Vertices of triangles which are sons of the rectangle are named as shown. The correct names for (A) are:

rectangle: a b c d
M = triangle a b e
N = triangle b c e
O = triangle c d e
P = triangle d a e

CONVENTIONS-II.- Refer to part (B) of Fig. 5.

Vertices of triangles that are sons of triangles are named clockwise, starting with the vertex that also belongs to the father.

If the triangle to be named is the internal triangle [P], then start with the vertex that falls near the middle point of line 1 + 2, where 1 is the first of the vertices that belong to the father, and 2 is the second of them.

The correct names for triangles of (B) are:

triangle 1 2 3	(first vertex is 1)
M = triangle 1 4 6	
N = triangle 2 5 4	
O = triangle 3 6 5	
P = triangle 4 5 6	

$2-d^2$ triangle. If it is not, we already asked a similar question to the ancestors of 1 2 3. In this way the coordinates of vertices 1, 2 and 3 are already known when triangle 1 2 3 is accessed (cf. Section 'Data Retrieval for Surface Reconstruction').

A vertex is stored by storing its three coordinates x, y, z . Some duplication (not triplication or multiplication) occurs when a vertex such as 5, 20 or 15 in Fig. 6 gets stored by two non-terminal brother triangles. For instance, vertex 5 is stored at frame 4 that describes triangle 3 1 9, and also at frame 3 that

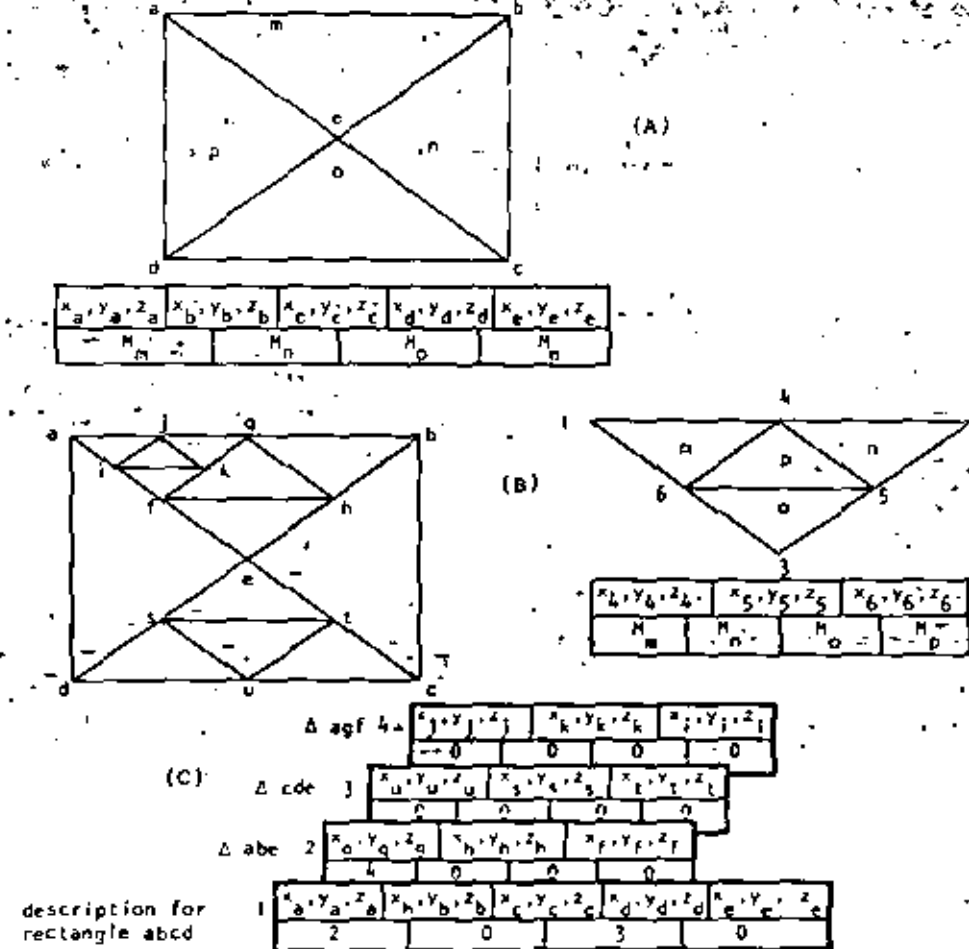
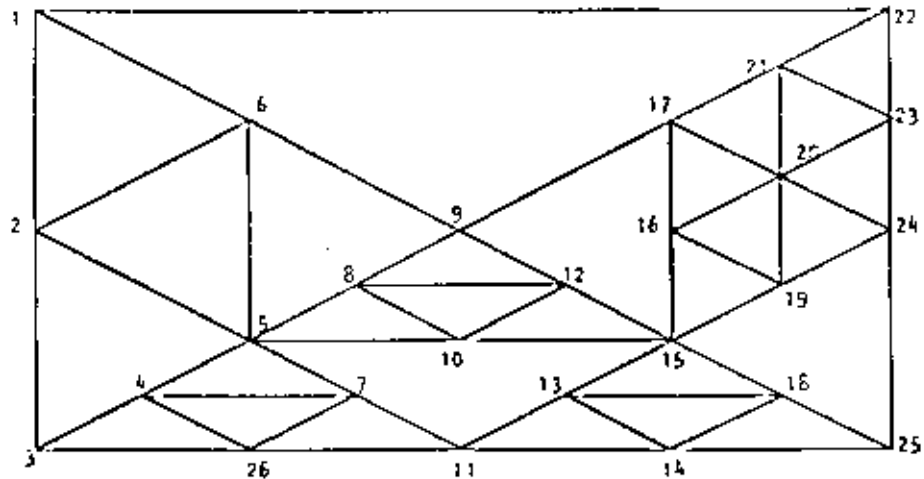


Fig. 5. DATA STRUCTURE. (A) Storage conventions for the initial rectangle. (B) Storage conventions for a non-terminal triangle 1 2 3. Its sons are M, N, O, P. (C) Example of a model and its data structure. Only a non-terminal triangle uses up a frame. The 2 0 3 0 marks of frame 1 mean that son M is non-terminal and it is described in frame 2, son N is terminal, son O is non-terminal and it is described in frame 3, and son P is terminal (mark = 0 means terminal). The model is stored in a matrix (C) which is a collection of frames.

describes triangle 2 5 5 9. The trivial cure will be to keep a table of vertices, and to store in the frame pointers to the table, instead of the three coordinates x,y,z.

- This table of vertices is not used in our model because it saves little storage:
- (1) if both a pointer and a vertex coordinate occupy a word of memory, then to use the table requires 2 pointers + 3 coordinates = 5 words; not to use the table requires 3 coordinates + the same 3 coordinates = 6 words;
 - (2) if for some reason triangle 25 3 9 selects vertex 5 as the "significant" point near the mid-point of side 3-9 (Refer to Fig. 6), but triangle 3 1 9 selects vertex 5' (a different vertex, near vertex 5 but not the same) as the "significant" point near the mid-point of side 9-3, then the table wastes memory.



frame	V E R T E X					Δ Δ Δ Δ				
	a	b	c	d	e	n	m	o	p	
{1 22 25 3}	1	2	24	15	3	9	0	7	3	1

	V	E	R	T	E	X				
	4	5	6							
{1 22 25 9}	2	24	15	17			5	0	0	6
{1 25 3 9}	3	11	5	15			7	6	9	0
{1 5 1 4}	4	2	6	5			0	0	0	0
{1 22 24 17}	5	25	20	21			0	0	0	0
{1 24 15 17}	6	19	16	20			0	0	0	0
{1 25 11 15}	7	14	13	18			0	0	0	0
{1 3 5 7}	8	26	4	7			0	0	0	0
{1 9 7 5}	9	8	12	10			0	0	0	0

Fig. 6. MODEL EXAMPLE. This example was constructed using the rules (A) and (B) of Fig. 5 and Table III. Each frame consists of vertices and pointers to other frames. Only non-terminal triangles occupy a frame of the matrix. This matrix is the model.

Simplified storage for cover of similar triangles

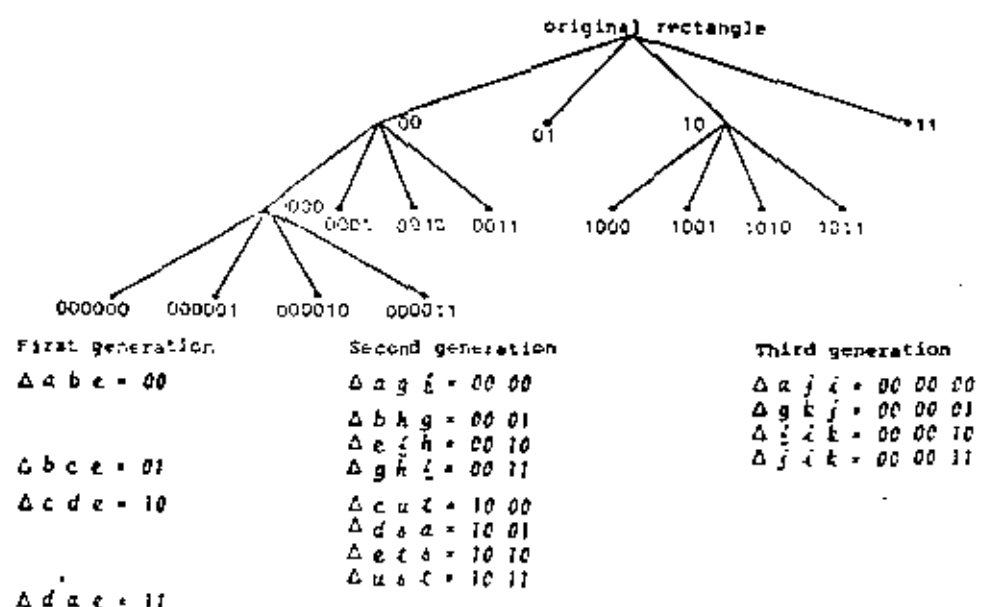
If we assume that the rectangle $a b c d$ (Fig. 5) is a square and that the "significant" points are exactly at the mid-points of the sides of the triangles, instead of near them, then all the two-dimensional triangles² are similar (in fact, they are isosceles right angled triangles) and the (x,y) coordinates of any vertex need not be stored, since they are the average of the (x,y) coordinates of the vertices of an appropriate side.

The new representation for square $a b c d$ of Fig. 5 is:

	Frame #	vertex a	vertex b	vertex c	vertex d	vertex e	vertex f	$\Delta \Delta \Delta$ M N O P
{rectangle a b c d}	1	l_a	l_b	l_c	l_d	l_e	l_f	1 0 3 0
{triangle a b c}	2		l_g	l_h	l_i			2 0 0 0
{triangle c d e}	3		l_u	l_v	l_x			0 0 0 0
{triangle a g f}	4		l_j	l_k	l_i			0 0 0 0

If the original area is not an square but a rectangle, we will have two families of similar two-dimensional triangles.

If we denote the sons M, N, O and P by 00, 01, 10 and 11, then we could form from Figure 5 the following tree:



These codes could be combined with the z values to render a compact model. We do not pursue this further. In a similar manner, a tree of squares can be represented (Klinger and Nikitas).

DATA RETRIEVAL FOR SURFACE RECONSTRUCTION

In order to recover the 3-d surface, it is sufficient to ask the model what is the z value for any pair x, y . This is realized by the function ALTITUDE.

ALTITUDE $[x, y]$ returns the height z of the point $[x, y]$ as obtained from the model. It is defined as:

```

a := MODEL[1,1];  # first vertex of frame 1. Frame 1 is the rectangle.
b := MODEL[2,1];  # MODEL [*,1] is the frame  $i$ , a non-terminal triangle.
c := MODEL[3,1];  # MODEL [*,*] is the matrix containing the whole model.
d := MODEL[4,1];
e := MODEL[5,1];
m := MODEL[6,1]; n := MODEL[7,1]; o := MODEL[8,1];
p := MODEL[9,1]; # retrieving the pointers to the sons.
error := -1;

ALTITUDE := if inside[a,b,e,x,y]
    then if m=0 then height(a,b,e,x,y)
    else ZETA(a,b,e,x,y,m)
    else if inside[b,c,e,x,y]
        then if n=0 then height(b,c,e,x,y)
        else ZETA(b,c,e,x,y,m)
    else if inside[c,d,e,x,y]
        then if o=0 then height(c,d,e,x,y)
        else ZETA(c,d,e,x,y,m)
    else if inside[d,a,e,x,y]
        then if p=0 then height(d,a,e,x,y)
        else ZETA(d,a,e,x,y,m)
    else error;

```

FIND ALTITUDE.

Function INSIDE-(a,b;c,x,y) is true if the point $(x, y, 0)$ is inside the triangle $(a_x, a_y, 0), (b_x, b_y, 0), (c_x, c_y, 0)$ with sidewalks (see Fig. 7).

A point p is inside triangle $a \cdot b \cdot c$ if p and c fall on the same side of $a \cdot b$ and p and b lie on the same side of $a \cdot c$, and p and a rest on the same side of $b \cdot c$. A thesis (Gómez) contains listings and results.

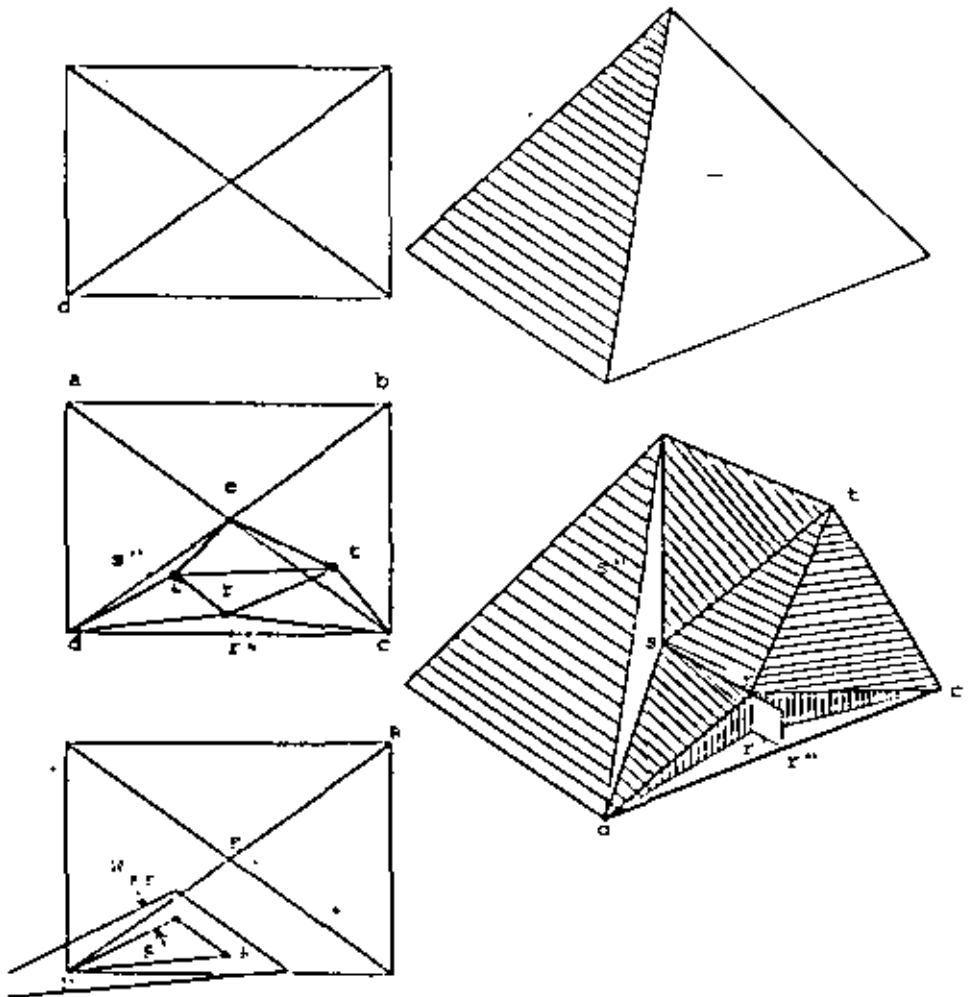


Fig. 7. COPLANAR SIDEWALKS. Compare with Figure 4. If point $x = (r_x, r_y, 0)$ does not fall on line $(c_x, c_y, 0) \rightarrow (d_x, d_y, 0)$, an horizontal area $c \cdot d \cdot t$ will be without coverage by the triangles; a corresponding part of the 3-d surface will fail to be represented. The cure for this is to give "flaps" to the triangles, so that triangle $t \cdot d \cdot s$ (and its other three brothers) are enlarged by a coplanar sidewalk that covers up to t .

Procedure ZETA (v_1, v_2, v_3, x, y, m) is defined as

```

 $v_4 := \text{model}[1,m];$ 
 $v_5 := \text{model}[2,m];$ 
 $v_6 := \text{model}[3,m];$ 
 $mm := \text{model}[4,m];$ 
 $n := \text{model}[5,m];$ 
 $o := \text{model}[6,m];$ 
 $p := \text{model}[7,m];$ 

ZETA := if inside ( $v_1, v_4, v_6, x, y$ )
    then      if  $nm=0$  then height ( $v_1, v_4, v_6, x, y$ )
              else ZETA ( $v_1, v_4, v_6, x, y, mm$ )  // see Table II 'Naming Conventions'
    else if inside ( $v_2, v_5, v_6, x, y$ )
    then      if  $n=0$  then height ( $v_2, v_5, v_6, x, y$ )
              else ZETA ( $v_2, v_5, v_6, x, y, n$ )
    else if inside ( $v_3, v_6, v_5, x, y$ )
    then      if  $o=0$  then height ( $v_3, v_6, v_5, x, y$ )
              else ZETA ( $v_3, v_6, v_5, x, y, o$ )
    else if  $p=0$ 
    then      height ( $v_1, v_4, v_6, x, y$ )
    else      zeta ( $v_1, v_4, v_6, x, y, p$ );
END ZETA.
```

The search for the correct triangle that represents a point generates no backtracking. At each level of the tree of triangles, we simply go down to the next level through the appropriate son (that son containing the point!), until we hit a terminal triangle, where we compute the height by a planar interpolation.

CONCLUDING REMARKS

Since a gray level picture can be seen as a surface in three dimensions, z being the gray level value, it is in principle possible to use the models described here to represent them. This could have use for shape comparison of these surfaces, but the authors have not experimented with this. The idea, anyway, is to use models with large ϵ (large error tolerance, coarse representation) to compare two surfaces; if the models are equal (in some appropriate sense, for instance, the quantized z values agree) then we could afford comparison with a smaller ϵ (more accurate representation). In this way the shape similarity between any two 3-dimensional surfaces (or any two gray level pictures) can be ascertained. A related paper (Bribiesca and Guzmán, 1978a) develops this idea fully for two-dimensional flat regions (binary pictures). The largest problem

with this approach is to find a normalization procedure (the basic rectangle of (Bribiesca and Guzmán, 1978b)) that will produce a unique model for the 3-d case; it is easier to compare canonical models.

The method described in this paper is currently being implemented and tested for representation of topographic surfaces formerly described by their contour lines.

Merging of models into a larger model. If four adjacent surfaces a , b , c , d are represented by models \underline{a} , \underline{b} , \underline{c} , \underline{d} , the model of the joint surface $[a,b,c,d]$ is formed by creating a new frame 1 (cf. Fig. 5) which has as non-terminal pointers M_1 , M_R , M_D and M_P , pointers to the frames 1 of \underline{a} , \underline{b} , \underline{c} and \underline{d} .

Significant points vs. correlation points. The significant points (also called surface-specific points (Peucker, et. al., 1976) are those points of the terrain where slope changes in an important way. The points that a correlation routine finds in an easy manner, based for instance in the two pictures of a stereo pair, are called "correlation points;" they are points that are easy to correlate in the pictures, because the gray levels in their neighborhood are quite different from others, hence they can be identified rapidly and unmistakably. But they will not necessarily fall on top of "significant" points.

The components of the model. The model so far described and its construction can be seen as formed by:

- a tessellation of polygons (Gómez, 1978) (triangles in this case);
- an accuracy criteria, which tells whether a polygon of the model needs further refinement (in our case, comparison of modelled vs. real heights, cf. section "When to stop refining");
- a procedure to refine the model (in our model, select a significant point near the middle point of a side);
- a manner to store the model (as exemplified in Fig. 6);
- a way to access the model (as seen in section 'Data Retrieval for Surface Reconstruction');
- a method to reconstruct the surface from the model (this is given by the procedure height $\{a,b,c,x,y\}$ evaluated at the appropriate triangle a b c which contains the point $(x,y,0)$; the appropriate definition of containment is embodied in procedure inside' $\{a,b,c,x,y\}$, which takes into account, for instance, the "flaps" of Fig. 7).

Suggestions for further work

1. Refer to Fig. 7. Do not use $k_1 = 10\%$ for the width of the sidewalks. Compute instead the maximum distance that $(x_x, x_y, 0)$ can be from r'' for the enlarged

triangle i & j to meet still the error tolerance ϵ . This has to do with average slopes of the triangles.

2. Refer to section "Simplified storage for cover of similar triangles". Fully develop the model that uses the representation of each triangle as a string of pairs of binary digits, v.gr., triangle $g\ k\ j = 00\ 00\ 01$ (the son N of the son M of the son N of the rectangle).
3. Do not retrieve the triangles from the root of the tree (cf. section "Data retrieval for surface reconstruction") but store them so as to access them by a double binary search on the coordinates of the vertices (Gómez).
4. Consider the methods of this paper and of (Bribiesca and Avilés, 1974; Bribiesca and Guzmán, 1976a) as similar procedures that address data representation at arbitrary accuracy levels, and use them for shape comparison.

ACKNOWLEDGEMENTS

Andrew Clement and T. Peucker gave the triangular idea; Renato Barrera contributed to the concept of a hierarchy of triangles and other good advices. Abel Carreño and Angel García Amaro, of CETEMAL, gave good photogrammetric advice. T. Radhakrishnan kindly revised the manuscript.

Work herein reported was partially done under the Joint Research Agreement (JX-1976) between CETEMAL and UNAM.

REFERENCES

- Bribiesca, E. and Avilés, R. 1974. Codificación en cadenas y técnicas de reducción de información para mapas y dibujos lineales. IBM Latin American Scientific Center (Mexico City), Informe RCAL-74.
- Bribiesca, E. and Guzmán, A. 1978a. Shape description and shape similarity measurement for two-dimensional regions. Submitted to Fourth International Joint Conference on Pattern Recognition. Kyoto, Japan.
- Bribiesca, E. and Guzmán, A. 1978b. Shape numbers: a notation to describe pure form and to measure resemblance and difference in shape. Computer Science Dept., IIMAS, National University of Mexico. Report PR-78-18.
- Gómez, D. Modelos digitales del terreno de precisión variable. B.S. Thesis, Facultad de Ciencias, Universidad Nacional de México (in preparation).
- Gómez, D. 1978. Tessellation of triangles of variable precision as an economical representation for DTM's. Proceedings of the Digital Terrain Models Symposium St Louis, Mo. Available from American Society of Photogrammetry.
- Guzmán, A. 1971. Analysis of curved line drawings using context and global information. In Machine Intelligence VI, (D. Michie and B. Meltzer, eds) University of Edinburgh Press. Chapter 20.
- Horn, B.K.P. 1970. Shape from shading: a method for obtaining the shape of a smooth opaque object from one view. Ph.D. Thesis, E.E. Dept., M.I.T. Project MAC Technical Report MAC-TR-79.
- Jensen, H.H. 1976. Collaboration in Physics within the Nordic countries. *Europhysics news* 7, 5, pp 1-4.

- Klinger, A. and Nikitas, A. Picture decomposition, tree data structures, and identifying directional symmetries as node combinations. Computer Graphics and Image Processing [to appear].
- Peucker, T., Fowler, R.J., Little, J.J. and Mark, D.M. 1976. Triangulated irregular networks for representing three-dimensional surfaces. Simon Fraser University, Burnaby, Canada. Technical Report # 10.
- Signor, G. and Nadler, M. 1978. Une application de la corrélation numérique d'images: la stéréophotogrammétrie automatique. Congrès AFCET/IRIA, Reconnaissance des formes et Traitement des Images, Paris.



**DIVISION DE EDUCACION CONTINUA
FACULTAD DE INGENIERIA U.N.A.M.**

COMPUTACION APLICADA A LA PLANEACION URBANA

Simap

Mapas por Computadora

Arq.. Alejandro Villanueva Egan

Agosto, 1981



UNIVERSIDAD NACIONAL
AUTÓNOMA

DIVISIÓN DE ESTUDIOS SUPERIORES
FACULTAD DE INGENIERÍA
SUBJEFATURA DE SISTEMAS

COMPUTACIÓN APLICADA A LA PLANEACIÓN URBANA

DECFI. AGOSTO 10-14



MAPAS POR COMPUTADORA

ARQ. ALEJANDRO VILLANUEVA EGAN.

I: DESCRIPCIÓN DEL SISTEMA

SYMAP es un programa para la producción de mapas que fue desarrollado por el Laboratorio de Computación Gráfica y Análisis Espacial de la Universidad de Harvard. En la actualidad existen numerosos usuarios de este programa en todo el mundo.¹ Su popularidad se basa en el hecho de que todos los centros de computación tienen los dos ingredientes que necesita para elaborar mapas: una computadora y una impresora de línea eléctrica. Como se mencionó anteriormente las impresoras de línea produce dibujos tomando ventaja de los diferentes tonos de gris mediante la sobreimposición de diferentes caracteres alfanuméricos, utilizando generalmente 132 símbolos por línea. Esto no es una restricción al tamaño del mapa, ya que se puede producir un mapa en franjas que pueden ser ensambladas posteriormente.

La forma más común de alimentar con datos al programa es mediante tarjetas perforadas, pero la información también puede ser leída a partir de cintas o discos magnéticos. Este proceso normalmente es resultado de alguna computación previa, tal como la utilización de datos estandarizadas, análisis de regresión, análisis factorial y otros métodos similares.

Hay un formato estándar para las tarjetas de datos, pero puede cambiarse bajo el control del usuario.

El programa está escrito en FORTRAN IV nivel G; necesita 128 K bytes de memoria y consta aproximadamente de 6000 instrucciones contenidas en un programa principal y 49 subrutinas. Para producir un mapa deben conjuntarse los diversos paquetes y opciones que se describen en los capítulos siguientes.

Entre las aplicaciones más frecuentes del programa se encuentran las siguientes:

- a. Mapeo estadístico
- b. Análisis de Mercados.
- c. Definición de patrones de eficiencia, y el carácter socio económico para la penetración de mercados potenciales.
- d. Planeación urbana.
- e. Localización de servicios e identificación de áreas problema.
- f. Selección de terrenos óptimos.
- g. Clasificación de factores como costo, pendiente, tipo de suelo, vegetación, profundidad de aguas freáticas, accesos a vías de comunicación, etc.
- h. Mapeo de recursos naturales.
- i. Análisis de la calidad del aire y del agua.
- j. Para identificar patrones espaciales y temporales relacionados a diferentes concentraciones de partículas en suspensión.
- k. Demografía.
- l. Para definir patrones padados, presentes o proyecciones futuras de características de la población.
- m. Geología.
- n. Simulación de fallas en los encajes geológicos.

II: TIPO DE MAPAS QUE SE PUEDEN PRODUCIR CON SYMAP

1. MAPAS CON INFORMACIÓN POR ZONAS. (COROPLÉTAS).



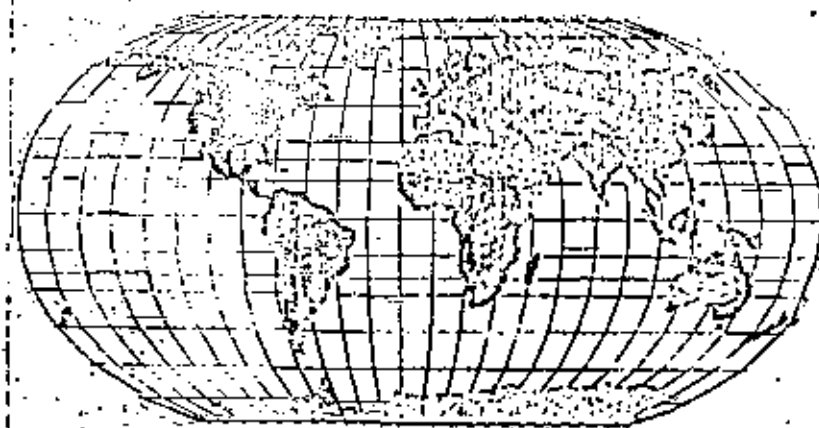
Las zonas pueden ser parcelas, manzanas, delegaciones, municipios, distritos, regiones, países, etc.

2. MAPAS CON INFORMACIÓN PESTRAL

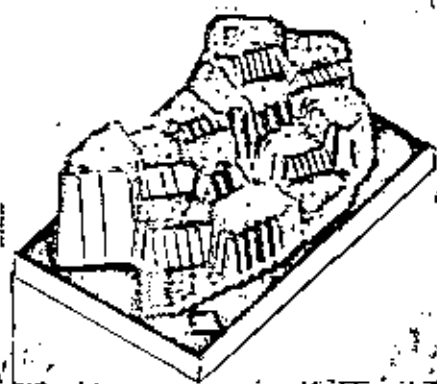
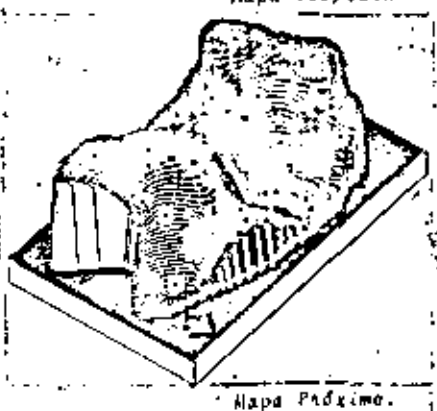
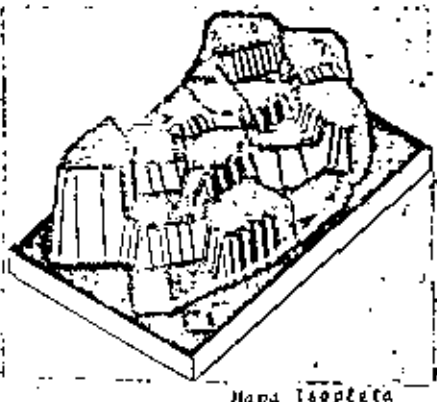
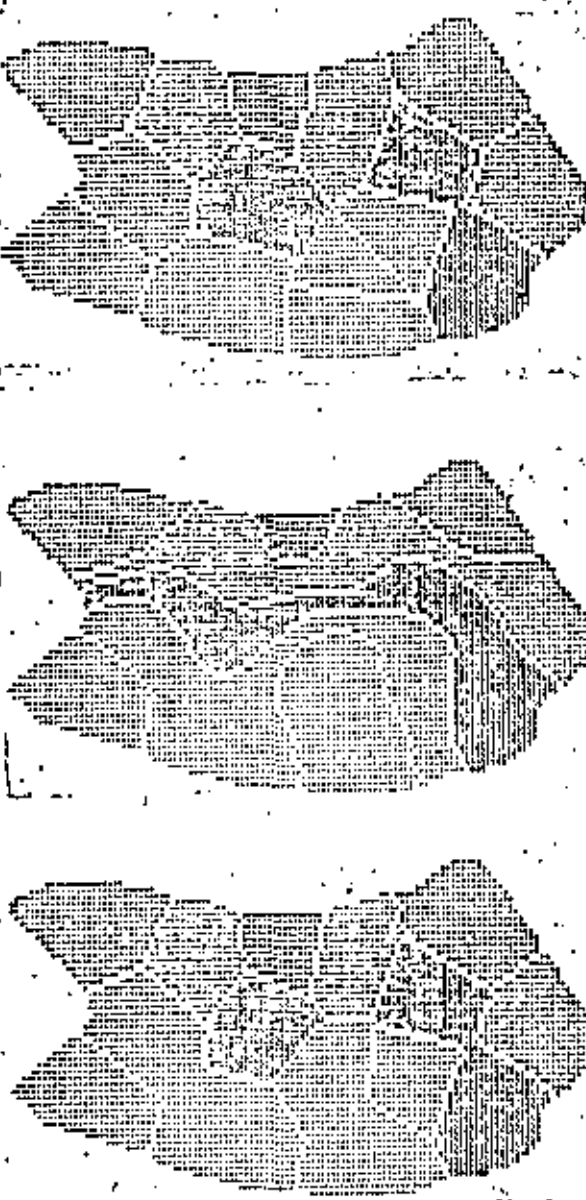


Mediante procedimientos estadísticos, el programa permite estimar el comportamiento de un fenómeno en la totalidad del área bajo estudio, basándose solamente en información tomada en puntos muestrales.

La información puede estar basada en encuestas, estaciones de monitorio, fotografías aéreas o imágenes de satélite.



A continuación se muestran algunos ejemplos de los mapas que se pueden producir en otros programas similares y en algunos casos, compatibles con el programa SYMAP.



III.

OPCIONES DEL PAQUETE F-MAPA

1. Dimensiones del mapa.
2. Ventana del mapa.
3. Número de niveles ó intervalos de clase.
4. Valor mínimo de rango.
5. Valor máximo del rango.
6. Tamaño de los intervalos de clase ó niveles.
7. Simbolismo.
8. Eliminación de líneas de contorno e isolíneas.
9. Eliminación del histograma.
10. Texto explicativo.
11. Impresión del valor de los datos en el mapa.
12. Repetición múltiple de opciones.
13. Escala del mapa.
14. Margenes del mapa.
15. Número de caracteres por pulgada.
16. Mapas grandes.
17. Eliminación de los resultados tabulares.
18. Invalidación de valores faltantes.
19. Valor mínimo para datos inválidos.
20. Valor máximo para datos inválidos.
21. Grabación del mapa en cinta.
22. Contornos continuos.
23. Eliminación del simbolismo de los puntos inválidos.
24. Eliminación de la interpretación numérica.
25. Eliminación de los símbolos de los puntos dato.
26. Alineamiento de sobre impresión.
27. Tipo de mapa.
28. Extrapolación fraccional relativa.
29. Mínimo absoluto en la extrapolación.
30. Máximo absoluto en la extrapolación.
31. Radio inicial de búsqueda.
32. Radio máximo de búsqueda.
33. Número de puntos dato para la interpolación.
34. Independencia.

Opción 1.- DIMENSIONES DEL MAPA (1 tarjeta)

Col. 5 1 Para identificar la opción
Col. 11-20 Dimensión vertical del mapa, dada
 en pulgadas y como número decimal.
Col. 21-30 Dimensión horizontal del mapa da-
 da en pulgadas y como número deci-
 mal.

Si no se incluye esta opción, el programa determina las dimensiones del mapa asignando 13 pulgadas a la dimensión mayor, siempre y cuando no se utilice la opción 13, sola ó en combinación con las opciones 2 y 14. Si la dimensión horizontal excede las 13 pulgadas (ancho del papel de la computadora), el mapa es impreso en secciones que deberán ensamblarse. El tamaño del mapa está limitado a 72 pulgadas en cualquier dirección, para mapas mayores, debe especificarse la opción 16.

Opción 2.- VENTANA DEL MAPA (1 tarjeta)

Col. 5 2 Para identificar la opción.
Col. 11-20 Coordenadas vertical y horizontal
y 21-30 del punto superior izquierdo de
 la ventana.
Col. 31-40 Coordenadas vertical y horizontal
y 41-50 del punto inferior derecho de la
 ventana.

La ventana es una región rectangular que el usuario da sea observar dentro del área de estudio. Se especifi-

ca mediante los puntos extremos del rectángulo, el cual deberá tener sus lados paralelos a los márgenes del mapa. Si no se especifica esta opción, se logra el mismo efecto mediante la opción 14.

Opción 3. NÚMERO DE NIVELES O INTERVALOS DE CLASE (1 tarjeta)

Col. 5 3 , Para identificar la opción.
Col. 11-20 Número deseado de niveles, desde
 1 hasta 10, perforado como número decimal.

Esta opción sirve para especificar el número de niveles ó intervalos de clase en que se desea dividir el rango total de los valores contenidos en los datos, con el propósito de asignar un simbolismo particular a todos los datos contenidos en el mismo intervalo. Si no se especifica esta opción, el programa divide el rango total de valores en cinco intervalos iguales. Puede usarse en combinación con las opciones 4, 5 y 6.

Opción 4.- VALOR MÍNIMO DEL RANGO (1 tarjeta).

Col. 5 4 Para identificar la opción.
Col. 11-20 El valor mínimo deseado, perforado como número decimal.

Todos los valores menores que este aparecerán con un simbolismo de 'L', que puede ser modificado mediante la opción 7. Si no se especifica esta opción, el programa toma como valor mínimo al menor de los valores contenidos en el paquete E-VALORES y que no esté declarado inválido por las opciones 18, 19 y/o 20.

Opción 5.- VALOR MAXIMO DEL RANCHO (1 tarjeta)

Col. 5 5 Para identificar la opción.
 Col. 11-20 El valor máximo deseado, perforado como un número decimal.

Todos los valores mayores que este apartecerán con un simbolismo especial de 'H', que puede modificarse mediante la opción 7. Si no se especifica esta opción, el programa toma como valor máximo al mayor de los valores contenidos en el paquete E-VALORES y que no está declarado inválido por las opciones 18, 19 y/o 20.

Opción 6. TAMANO DE LOS INTERVALOS DE CLASE O NIVELES (1 tarjeta).

Col. 5 6 Para identificar la opción.

Especificando solo este número, el programa distribuirá equitativamente los valores de manera que haya aproximadamente la misma frecuencia en cada uno de los niveles. En caso de que se deseen intervalos diferentes, el tamaño de estos deberá estar indicado en la misma tarjeta de la siguiente manera:

Col. 11-20 Tamaño del primer intervalo, perforado como un número decimal.
 Col. 21-30 Tamaño del segundo intervalo, perforado como un número decimal.

Así se continúa en campos de 10 columnas hasta la columna 70. En caso de más de 6 niveles, se usa otra --

tarjeta. Esta opción puede usarse en combinación con las opciones 3, 4 y 5. Si no se especifica, el programa calcula 5 intervalos de igual tamaño ó intervalos iguales de acuerdo al mismo número especificado en la opción 1.

El tamaño de los intervalos puede especificarse de diferentes maneras:

Ejemplo 1: Si existen 5 niveles y el tamaño de cada nivel es el doble del tamaño del nivel previo, se deben perforar los siguientes números:

Columna 5 11 - 20 21 - 30 31 - 40 41 - 50 51 - 60
 6 1. 2. 4. 8. 16.

Ejemplo 2: Si se desea dividir los datos en cuatro grupos el menor 10%, el siguiente 25%, el siguiente 35% y el restante, se deben perfilar los siguientes números:

Columna 5 11 - 20 21 - 30 31 - 40 41 - 50
 6 10. 25. 35. 30.

Ejemplo 3. Para especificar los siguientes intervalos

0 150 200 271.5 500 750 819 1.000

Se deben perforar los números siguientes:

	Columna 5	11 - 20	21 - 30	31 - 40	41 - 50	51 - 60	61 - 70
Tarjeta 1	6	150.	50.	71.5	228.5	250.	139.
Tarjeta 2		111.					

Cualquier valor que cae en el límite entre dos intervalos, es asignado al nivel mayor, con la excepción de los valores que caigan en el límite del último intervalo.

Opción 7. SIMBOLISMOS (5 tarjetas)

En esta opción se especifican los caracteres que se deben imprimir y sobre-imprimir para formar los símbolos representativos de cada uno de los niveles. Cada símbolo puede estar compuesto por un máximo de cuatro caracteres, perforados en la columna correspondiente al nivel, en estas tarjetas:

Tarjeta 1

Col. 3 ? para identificar la opción.

Tarjetas 2, 3, 4 y 5

Col. 1-10 Símbolo para cada uno de los intervalos dados en orden ascendente. Se debe utilizar solo las columnas necesarias para los niveles especificados.

Col. 11-20 Símbolismo para los puntos señal de los intervalos 1-10 en ese orden. Solo deben usarse las columnas necesarias para el número de intervalos especificado, dejando las demás en blanco.

Col. 21 Símbolo para aquellas áreas del mapa cuyo

valor interpolado es menor que el especificado en la opción 4.

Símbolo para las posiciones de los puntos dato cuyos valores son menores que el mínimo establecido en la opción 4.

Símbolo para aquellas áreas del mapa cuyo valor interpolado es mayor que el especificado en la opción 5.

Símbolo para las posiciones de los puntos dato cuyos valores son mayores que el máximo establecido en la opción 5.

Símbolo para el fondo que aparece entre el área de estudio y los bordes del mapa, así como en las zonas declaradas inválidas por las opciones 18, 19 y/o 20.

Símbolo para las isolíneas y contornos de las zonas.

Símbolo para aquellas áreas del mapa donde no hay interpolación, debido al uso de la opción 35 y/o barreras impermeables.

Símbolo para indicar la presencia de dos o más puntos dato en la misma localización de la impresora.

Símbolo para indicar las posiciones de los puntos dato declarados inválidos en las opciones 18, 19 y/o 20.

Cuando no se especifica esta opción el programa tiene un conjunto de simbolismos estándar que se muestran a continuación:

Simbolismo general Simbolismo de los puntos dato

Columna: 1 2 3 4 5 6 7 8 9 0 1 2 3 4 5 6 7 8 9 0

Niveles

1	.	1
2	- *	1 2
3	- 0 *	1 2 3
4	- + 0 *	1 2 3 4
5	- + 0 0 *	1 2 3 4 5
6	- + x 0 0 *	1 2 3 4 5 6
7	- - + x 0 0 *	1 2 3 4 5 6 7
8	- - + x 0 0 0 *	1 2 3 4 5 6 7 8
9	- - + x 0 0 0 *	1 2 3 4 5 6 7 8 9
10	- - - + x 0 0 0 *	1 2 3 4 5 6 7 8 9 *

A continuación se muestran ejemplos de simbolismo:

Ejemplo 1.

Se tienen 6 niveles y se desea invertir el orden del simbolismo estándar:

Columna 1 2 3 4 5 6 7 8 9 0 1 2 3 4 5 6 7 8 9 0 1 2 3 4 5

Tarjeta 1 7

Tarjeta 2 0 0 0 x + . - 1 2 3 4 5 6

Tarjeta 3 X X -

Tarjeta 4 A

Tarjeta 5 V

Ejemplo 2:

Se desea suprimir todo el simbolismo dejando las isolíneas 6 - los contornos de las zonas en negro y con un fondo de guiones:

Columna 1 2 3 4 5 6 7 8 9 0 1 2 3 4 5 6 7 8 9 0 1 2 3 4 5 6

Tarjeta 1 7

Tarjeta 2 1 2 3 4 5 - 0

Tarjeta 3 X

Tarjeta 4 A

Tarjeta 5 V

Ejemplo 3:

Se desea usar los símbolos A, B, C, D y E para las clases de datos en un mapa de proximidad

Columna 1 2 3 4 5 6 7 8 9 0 1 2 3 4 5 6 7 8 9 0 1 2 3 4 5 6

Tarjeta 1 7

Tarjeta 2 A B C D E A B C D E

Tarjeta 3 // // //

Tarjeta 4

Tarjeta 5

Opción 8. ELIMINACION DE LAS LINEAS DE LOS CONTOURNOS Y LAS ISOLINIAS (1 tarjeta)

Col. 5 8 Para identificar la opción.

Estas líneas generalmente aparecen como blancas, a menos que sea especificado otro simbolismo para ellas en la opción 7. Si no se especifica esta opción, estas líneas aparecerán en el mapa.

Opción 9. ELIMINACION DEL HISTOGRAMA (1 tarjeta)

Col. 5 9 Para identificar la opción.

Si no se especifica esta opción, aparecerá impreso debajo del mapa un histograma que muestra la distribución de frecuencias de los datos en los intervalos de clase.

Opción 10. TEXTO EXPLICATIVO (32 tarjetas máxima)

El usuario dispone de esta opción para agregar a sus mapas información complementaria de cualquier tipo. El texto aparecerá inmediatamente debajo del mapa.

Primer tarjeta:

Col. 4-5 10 Para identificar la opción.

Tarjetas intermedias:

Col. 1-72 El texto explicativo deseado; pueden incluirse hasta 30 tarjetas.

Última tarjeta:

Col. 1-4 9999 para terminar el texto.

Opción 11. IMPRESION DEL VALOR DE LOS DATOS EN SUS LOCALIZACIONES CORRESPONDIENTES. (1 tarjeta)

Col. 4-5 11 para identificar la opción.

Si no se especifica esta opción aparecerá impreso el número del nivel o intervalo en el que se encuentre el valor del punto dato.

Opción 12. REPETICION MULTIPLE DE OPCIONES (1 tarjeta).

Esta opción permite repetir todas las opciones usadas en el mapa previo.

Col. 4-5 12 Para identificar la opción.

Opción 13. ESCALA DEL MAPA (1 tarjeta)

Col. 4-5 13 Para identificar la opción.

Col. 11-20 La escala deseada, perforada como número decimal.

Si el mapa está medido en un sistema coordenado cualquiera, la escala especifica el número de pulgadas que representará a cada unidad de medida del mapa base. Por ejemplo, 2.0 producirá un mapa en el que cada unidad del mapa base está representada por 2 pulgadas. Si el mapa está medido en octavos y décimos de pulgadas, la escala especifica qué tantas veces se desea aumentar o disminuir el mapa. Por ejemplo, 1.0 - producirá un mapa a la misma escala del mapa base, 2.0 uno el doble, etc.. Si no se especifica esta opción, la escala quedará determinada por las opciones 1, 2 - y/o 14.

Opción 14. MARGENES DEL MAPA (1 tarjeta)

Col. 4-5 14 Para identificar la opción.

Col. 11-20 Número de pulgadas deseadas como margen a partir del borde superior del mapa.

Col. 21-30 Número de pulgadas deseadas como margen a partir del borde izquierdo del mapa.

- Col. 31-40 Número de pulgadas deseadas como margen a partir del límite inferior del mapa.
Col. 41-50 Número de pulgadas deseadas como margen a partir del límite derecho del mapa. Todos los márgenes deben perforarse como números decimales.

Se pueden especificar valores positivos y negativos para los márgenes. Los valores positivos añaden área a la ventana del mapa, mientras que los negativos le restan.

Opción 15. NÚMERO DE CARÁCTERES POR PULGADA (1 tarjeta)

- Col. 4-5 15 Para identificar la opción.
Col. 11-20 Número de renglones por pulgada en los que la computadora ha sido ajustada para imprimir, dado como número decimal.
Col. 21-30 Número de columnas por pulgada.

En muchas computadoras la impresora de línea ha sido ajustada para imprimir 6 renglones y 10 columnas de caracteres por pulgada. SYMAP supone que los resultados estarán dados en 8 renglones y 10 columnas de caracteres por pulgada y así es como produce mejores resultados. Si la impresora no está ajustada de esta manera, se deberá usar esta opción para evitar deformaciones en el mapa.

Opción 16. MAPAS GRANDES (1 tarjeta)

- Col. 4-5 16 Para identificar la opción.

Esta opción permite al usuario producir mapas mayores de 72 pulgadas (183 cm) en cualquier sentido. Si el mapa pasa de esta medida y esta opción no es usada, el programa reducirá la dimensión mayor a 13 pulgadas.

Opción 17. ELIMINACION DE LOS RESULTADOS TABULARES (1 tarjeta)

- Col. 4-5 17 Para identificar la opción.

Mediante esta opción se eliminan los resultados tabulares que aparecen antes del mapa y que contienen información sobre la localización, valor y nivel asignado a cada zona o punto dato.

Opción 18. INVALIDACION DE VALORES FALTANTES (1 tarjeta)

- Col. 4-5 18 Para identificar la opción.

Con esta opción se hacen inválidos los valores de --- 0.0 y en blanco. El símbolo 'M' aparecerá en su localización. Si no se especifica, todos los valores serán considerados válidos.

Opción 19. VALOR MINIMO PARA DATOS INVALIDOS (1 tarjeta)

- Col. 4-5 19 Para identificar la opción.

Col. 11-20 El valor que se declara inválido, perforado como número decimal. Este y todos los valores mayores serán declarados inválidos.

Puede usarse en combinación con la opción 20.

Opción 20. VALOR MAXIMO PARA DATOS INVALIDOS (1 tarjeta)

Col. 4-5 20 Para identificar la opción.
 Col. 11-20 El valor que se declara invalido, perfe-
 rado como número decimal. Este y todos
 los valores menores quedarán declarados-
 invalidos.

Opción 21. GRABACION DEL MAPA EN CINTA (1 tarjeta)

Col. 4-5 21 Para identificar la opción.
 Col. 19-21 1.0 Para obtener un listado de estos va-
 lores.

Al producirse un mapa, el programa calcula un valor pa-
 ra cada localización impresa en el mapa; en el caso -
 de mapas isopletas y de proximidad lo hace mediante -
 interpolación. Esta opción almacena estos valores en
 cinta para su utilización posterior por otros progra-
 mas (SYMVU, por ejemplo).

Opción 22. CONTORNOS CONTINUOS (1 tarjeta)

Col. 4-5 22 Para identificar la opción.

Esta opción asegura la aparición de líneas de contor-
 no que podrían ser suprimidas para permitir la repre-
 sentación de simbolismo descriptivo cuando el espacio
 entre puntos dato & zonas es inadecuado para represen-
 tar simbolismo y líneas de contorno a la vez.

Opción 23. ELIMINACION DEL SIMBOLISMO DE LOS PUNTOS INVALIDOS
 (1 tarjeta).

Col. 4-5 23 Para identificar la opción.

Elimina el simbolismo que aparece en cualquier punto -
 dato cuyo valor asociado está declarado invalido por -
 las opciones 18, 19 y/o 20.

Opción 24. ELIMINACION DE LA INTERPRETACION NUMERICA (1 tarje-
 ta).

Col. 4-5 24 para identificar la opción.

Después del mapa y el texto explicativo, el programa -
 imprime información sobre los valores extremos, valo-
 res invalidos, los límites de los intervalos de clase-
 y el porcentaje que estos representan en el rango, de-
 la variable. Si no se dase esta información, debe es-
 pecificarse esta opción.

Opción 25. ELIMINACION DE LOS SIMBOLOS DE LOS PUNTOS DATO.
 (1 tarjeta)

Col. 4-5 25 Para identificar la opción.

Elimina la aparición del simbolismo de los puntos dato
 poniendo en su lugar el simbolismo del valor interpola-
 do en esa localización.

Opción 26. ALINEAMIENTO DE SOBREIMPRESION (1 tarjeta)

Col. 4-5 26 Para identificar la opción.

La sobreimpresión es realizada con sistemas diferentes
 en diversas computadoras, que no siempre coinciden con

de SYMAP. Esta opción sustituye este método en el caso de que el alineamiento sea incorrecto.

Opción 27. TIPO DE MAPA (1 tarjeta)

Col. 4-5 27 Para identificar la opción.

Esta opción permite al programa identificar el mapa como incompleto cuando se incluyen mapas completos en la misma corrida.

Opción 31. EXTRAPOLACION FRACCIONAL RELATIVA.

(Necesaria para mapas de proximidad) (1 tarjeta)

Col. 4-5 31 Para identificar la opción.

Col. 11-20 Límite deseado para la extrapolación expresada como una fracción del rango de la variable, perforado como número decimal.

El Programa extraepta esta fracción del rango total de valores arriba ó abajo de un extremo local. Si no se especifica esta opción, el programa supone una extrapolación fracción de 0,1; en los mapas de proximidad dejar en blanco las columnas 11-20.

Opción 32 MINIMO ABSOLUTO EN LA EXTRAPOLACION (1 tarjeta)

Col. 4-5 32 Para identificar la opción.

Col. 11-20 Mínimo deseado, perforado como número decimal.

Esta opción fija un valor mínimo, abajo del cuál la

computadora no extrapolará.

Se recomienda su empleo cuando el usuario conoce un mínimo lógico para sus datos (0.0 para densidades de población, por ejemplo).

Si no se especifica, el programa tendrá un mínimo de interpolación igual al valor mínimo de los datos válidos.

Opción 33. MAXIMO ABSOLUTO EN LA EXTRAPOLACION

(1 tarjeta)

Col. 4-5 33 Para identificar la opción.

Col. 11-20 Máximo deseado, perforado como número decimal.

Esta opción fija un valor máximo, arriba del cual la computadora no extrapolará. Se recomienda su empleo cuando el usuario conoce un máximo lógico para sus datos (100,0 para datos porcentuales, por ejemplo). Si no se especifica, el programa tendrá un máximo de extrapolación igual al valor máximo de los datos válidos.

Opción 34. RADIO INICIAL DE BUSQUEDA (1 tarjeta)

Col. 4-5 34 Para identificar la opción.

Col. 11-20 Radio inicial de búsqueda deseado, perforado como un número decimal.

El radio de búsqueda es la distancia sobre la cual el programa busca puntos dato para usarlos como base en-

la interpolación. Si no se especifica, el radio de búsqueda está basado en el número y dispersión de los puntos dato, utilizando en promedio 7 puntos.

Opción 35. RADIO MAXIMO DE BUSQUEDA. (1 tarjeta)

Col. 4-5 35 Para identificar la opción.
Col. 11-20 Radio máximo de búsqueda perforado como número decimal.

La computadora buscará puntos dato con los cuales interpolara a una distancia no mayor de este radio, que no deberá ser menor que el inicial.

Opción 36. NUMERO DE PUNTOS DATO PARA LA INTERPOLACION.
(Necesaria para mapas de proximidad) (1 tarjeta).

Col. 4-5 36 Para identificar la opción.
Col. 11-20 Número deseado de puntos (no más de 10), perforado como número decimal.

Si no se especifica esta opción, se tiene un mínimo de 4 y un máximo de 10, teniendo como promedio 7 puntos para la interpolación. Para mapas de proximidad dejar en blanco las columnas 11-20.

Opción 37. INDEPENDENCIA (Necesaria para mapas de proximidad)
(1 tarjeta)

Col. 4-5 37 Para identificar la opción.

Esta opción previene el suavizamiento de las líneas - creadas por las barreras & mediante la utilización de

las opciones 35 y 36. Si no se especifica esta opción, el programa calcula valores a cada 2 caracteres en sentido vertical y a cada 3 en sentido horizontal.

IV. EL ALGORITMO DE INTERPOLACION DE SYMAP

IV.1 Introducción

su objetivo es crear una superficie que cumpla ciertas propiedades para poder representar espacialmente un fenómeno a partir de la información proporcionada en un cierto número de puntos dato. Puede aplicarse a diferentes campos tales como demografía, meteorología, planeación urbana, contaminación ambiental, etc.

El programa toma las coordenadas de los puntos dato y sus valores asociados para construir una superficie diferenciable en forma continua, que pasa por los puntos dato y representa las tendencias que estos muestran.

El método consiste en obtener para cada localización de impresión en el mapa un promedio ponderado de las pendientes y los valores de los puntos dato cercanos, calculandolo mediante un modelo de tipo gravitacional.

El valor para cada localización se estima a partir de la fórmula:

$$z_p = \frac{\sum_{i=1}^n w_i z_i}{\sum_{i=1}^n w_i} \quad (1)$$

donde:

w_i = la ponderación del punto dato i .

z_i = el valor en el punto dato i , modificado por la pendiente en i y su desplazamiento con respecto al punto P .

IV.2 MODELO BASICO

De acuerdo al modelo básico, el valor en el punto P debe ser el promedio ponderado de los valores en los puntos dato $1, 2, \dots, n$, considerando la ponderación como el inverso de la distancia al cuadrado.

Sea: $\bar{P}1$ = distancia del punto P al punto dato 1

$\bar{P}2$ = distancia del punto P al punto dato 2

$z1$ = valor en el punto dato 1

$z2$ = valor en el punto dato 2

zp = valor que se va a calcular para el punto P .

$$z_p = \frac{\frac{1}{(\bar{P}1)^2} z_1 + \frac{1}{(\bar{P}2)^2} z_2 + \frac{1}{(\bar{P}3)^2} z_3 + \dots + \frac{1}{(\bar{P}n)^2} z_n}{\frac{1}{(\bar{P}1)^2} + \frac{1}{(\bar{P}2)^2} + \frac{1}{(\bar{P}3)^2} + \dots + \frac{1}{(\bar{P}n)^2}}$$

O bien:

$$z_p = \frac{\sum_{i=1}^n \frac{1}{(\bar{P}i)^2} z_i}{\sum_{i=1}^n \frac{1}{(\bar{P}i)^2}}$$

Si el punto P está muy cerca del punto 1 , por ejemplo, entonces $\bar{P}1$ es pequeña comparada con $\bar{P}2$ y $\bar{P}3$, etc., por lo tanto el peso $\frac{1}{(\bar{P}1)^2}$ es grande comparada con $\frac{1}{(\bar{P}2)^2}$ y $\frac{1}{(\bar{P}3)^2}$ etc.

IV.3 MODIFICACIONES

Se deben hacer las siguientes modificaciones al método para hacerlo más eficiente:

a. Radio de búsqueda.

Por razones prácticas, tiene que limitarse el número de puntos dato que se consideren para interpolar el valor en una localización dada. Tomando en cuenta el número de puntos dato y el área sobre la que se extienden, el algoritmo determina un radio inicial de búsqueda R , en tal forma que un círculo con ese radio generalmente tendrá el número promedio de puntos en los que se basará la interpolación.

Para cualquier localización P , se eligen aquellos puntos dato cuya distancia efectiva a P , sea menor que R . Si dentro del círculo hay más puntos que el número máximo especificado, se contrae el radio de búsqueda hasta que queden exactamente el número de puntos dato permitidos. Si dentro del radio inicial quedan menos puntos que el número mínimo permitido, el radio es expandido hasta que se encuentren todos los puntos especificado por el usuario o hasta que sean usados todos los puntos que no estén bloqueados por una barrera impermeable.

Las ponderaciones consistentes en la inversa de la distancia al cuadrado, se usan para puntos dato cercanos a P . Cuando la distancia a un punto dato se approxima al radio final de búsqueda R' , la ponderación en ese punto tiende a cero.

b. Dirección

Para que las localizaciones relativas de los puntos dato entran en el cálculo, debe encontrarse el "almacenamiento direccional" del punto dato i mediante la fórmula:

$$Q_i = \frac{1}{P_1} \left[1 - \cos(i P_1) \right] + \frac{1}{P_2} \left[1 - \cos(i P_2) \right] + \dots + \frac{1}{P_n} \left[1 - \cos(i P_n) \right]$$

Si los otros puntos dato $1, 2, 3, \dots$ están en la misma dirección que i con respecto a P , entonces los ángulos $i P_1, i P_2, i P_3, \dots$ son pequeños. Las cantidades $1 - \cos(i P)$ son también pequeñas y la suma Q_i es cercana a cero. Dado que i no es el único punto en una dirección particular, se le da una ponderación reducida definida de la siguiente manera:

Si $\overline{P_j}$ es la distancia de P al punto dato j , la distancia ponderada es

$$\frac{1}{(\overline{P_j})^2} \text{ para } 0 < \overline{P_j} \leq R'/3$$

$$S_j =$$

$$\frac{1}{(\overline{P_j})^2} \text{ para } R'/3 < \overline{P_j} \leq R'$$

Sea $N = \sum_j S_j$ y sea

$$T_i = \sum_{j \neq i} S_j \times \left[1 - \cos(i \overline{P_j}) \right]$$

los puntos j , son puntos dato vecinos dentro del radio de búsqueda R' . La ponderación total en el punto dato i para la localización P es:

$$w_i = (S_i)^2 \times (H+T_i)$$

Entre mayor sea el aislamiento direccional de un punto dato y menor su distancia al punto considerado, mayor es su ponderación y por tanto su influencia en la determinación del valor interpolado.

c. Pendientes

Para evitar que la superficie presente niveles en los puntos dato, se calcula un gradiente bi-dimensional (pendiente) $\frac{\partial z}{\partial x} i + \frac{\partial z}{\partial y} j$ en cada punto dato, tomando un promedio ponderado de las pendientes de varios planos secantes. Cada plano contiene al punto P y a uno de sus puntos dato vecinos i ; el plano es tan horizontal como sea posible; la líneas que va de P al punto dato debe ser la línea de pendiente más pronunciada en ese plano. El valor de la superficie en el punto P se aproxima a:

$$z'_i = z_i + \Delta z_i$$

donde:

$$\Delta z_i = \left(\frac{\partial z}{\partial x} \Big|_i \Delta_x + \frac{\partial z}{\partial y} \Big|_y \Delta_y \right) \times k_i$$

Δ_x y Δ_y son las diferencias x y y tomadas a partir de i .

El factor $k_i = \frac{a}{a + p_i}$ se introduce en tal forma, -- que el efecto de considerar la pendiente es pequeña a grandes distancias. El parámetro a se escoge en tal forma que aunque i fuera el punto dato con la pendiente más pronunciada, Δz pueda ser menor en magnitud que una fracción especificada del rango total de z .

Si el valor en un punto dato i es mayor que los valores de los puntos dato circundantes, la pendiente en ese punto no será cero a menos que las pendientes ponderadas de los planos secantes se cancelen a sí mismas. Así, la superficie continuará creciendo en alguna dirección y por tanto los máximos y mínimos relativos no ocurren con frecuencia en los puntos dato.

d. Barreras

El algoritmo se modifica si se incluyen barreras a la interpolación. Las distancias usadas en los cálculos son "distancias efectivas". El cuadrado de la distancia efectiva es igual al cuadrado de la distancia real mas la suma de los cuadrados de las resistencias de todas las barreras atravesadas un número no de veces. A las barreras impermeables se les asigna una resistencia tan grande que la distancia efectiva resultante hace que no sea considerado un punto como punto dato cercano, y por tanto se elimine del proceso de interpolación.

IV. 4

EJEMPLO DE INTERPOLACION USANDO EL ALGORITMO DE SYVAP.

punto 1 = 200 hab./ km^2

Densidad de población

punto 2 = 400 hab/km²

200

403

punto 1

2

PURZO 3

2 von 6 Seiten

idad

L	S_1	B	T_1	N_1
1	.5	1.5	2.0	.375
2	1.0	1.5	1.0	2.5

i	Z_i	$\frac{\partial Z}{\partial x} _{x_1}$	K_i	ΔZ_i	Z'_i
1	200	66.7	.261	17.4	217.4
2	400	66.7	- .231	-13.4	384.6

$$E_{\text{H}} = 3.375$$

El valor en el punto P_1 es:

$$z_{\text{p}} = \frac{z_1 w_1 + z_2 w_2}{tw_1}$$

asistuyendo

$$z_{\alpha} = \frac{(217.4) - 1.875}{3.375} + \frac{(384.6)}{(2.5)} = 34.2$$

Densidad de población en el punto P = 361 hab/km²



COMPUTACION APLICADA A LA PLANEACION URBANA

Imgrid

Uso del suelo e impacto ambiental

Arq. Alejandro Villanueva Egan

Agosto, 1981

VERFILE DE ESTADISTICAS BASICAS
ESTADISTICAS BASICAS

FILE ESTALIST (CREATION DATE = 06/02/01) SUBFILE SUBA SUBB SUBC ARCHIVO CON LA INFORMACION

06/02/01

PAGE

ALPHABETICAL INDEX

V2

VARIABLE PAGE	VARIABLE PAGE	VARIABLE PAGE	VARIABLE PAGE
0 V3	0 V4	0 V8	0

VERFILE DE ESTADISTICAS BASICAS
ESTADISTICAS BASICAS

FILE ESTALIST (CREATION DATE = 06/02/01) SUBFILE SUBA SUBB SUBC ARCHIVO CON LA INFORMACION

06/02/01

PAGE 5

ALPHABETIC INDEX

V2

VARIABLE PAGE	VARIABLE PAGE	VARIABLE PAGE	VARIABLE PAGE
0 V3	0 V4	0 V8	0

VERFILE DE ESTADISTICAS BASICAS

06/02/01

PAGE

DATA TRANSFORMATION DONE UP TO THIS POINT..

NO OF TRANSFORMATIONS	0
NO OF RECODE VALUES	0
NO OF ARITHM. OR LOG. OPERATIONS	0

AVE FILE

FILE ESTALIST HAS BEEN SAVED WITH 9 VARIABLES..

GROUP	SUBFILE	CASHGT	V1	V2	V3	V4	V8	V9
-------	---------	--------	----	----	----	----	----	----

THE SUBFILES ARE..

NAME	NO OF CASES
SUBA	15
SUBB	13
SUBC	13

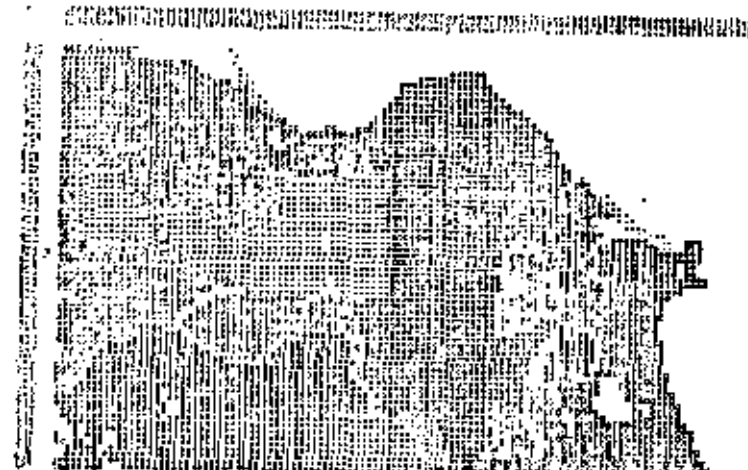
FINISH



UNIVERSIDAD NACIONAL
AUTONOMA

DIVISION DE ESTUDIOS SUPERIORES
FACULTAD DE INGENIERIA
SUBJEFATURA DE SISTEMAS

COMPUTACION APLICADA A LA PLANEACION URBANA
DECFI, AGOSTO 10-14



IMGRID

USO DEL SUELO E IMPACTO AMBIENTAL

ARQ. ALEJANDRO VILLANUEVA EGAN.

I: DESCRIPCION DEL SISTEMA

IMGRID es un conjunto de programas para computadora que procesa y maneja la información generada dentro de un proceso de planeación ecológica del uso del suelo. Los seis programas que lo componen constituyen técnicas avanzadas de inventarios y análisis de recursos. El sistema permite que los programas interactúen entre sí, ya que los resultados de cada etapa son almacenados en archivos de disco magnético para que puedan ser utilizados por los demás módulos o programas en el proceso.

Los programas están escritos en el lenguaje de programación FORTRAN IV y en el sistema UNIVAC-6700 se tienen dos subrutinas en ALGOL para el cambio de nombre en los archivos.

En este sistema, el usuario es un factor esencial para el éxito del proceso, ya que los resultados dependen de su conocimiento y la información de que disponga sobre el proyecto en cuestión.

Las ventajas que ofrece el sistema son las siguientes:

- a. Un proceso de planeación bien estructurado
El sistema ofrece un marco de referencia para analizar en forma explícita la forma en que se toman las decisiones y se asignan criterios de evaluación.
- b. Conocimiento de las soluciones propuestas y sus repercusiones ambientales.
Permite predecir los impactos probables de la urbanización sobre los eco-sistemas existentes, dándole así una capacidad mayor de previsión a los planes.
- c. Flexibilidad
Debido a la generalidad en su diseño, este sistema se puede aplicar a cualquier proyecto, independientemente de su localización y escala.
- d. Mayor conocimiento de los eco-sistemas existentes en el área.
Al utilizar este sistema, el grupo planificador va adquiriendo conocimientos acerca de las componentes ambientales relevantes, su funcionamiento, su interacción, los factores que las afectan, como afectan y son afectadas por el uso del suelo, etc.

e. Facilidad de utilización.

El sistema está diseñado para ser utilizado por personas sin conocimientos en programación, dado que se controla mediante instrucciones sencillas que realizan operaciones específicas. Una vez que el usuario entiende la naturaleza de las instrucciones, está en posibilidad de manejar el sistema sin mayor conocimiento del mismo.

f. Adaptabilidad con otros sistemas

IMGRID puede formar parte como un sub-sistema dentro de un sistema mayor de recopilación, almacenamiento, análisis y geofunción de información geográfica.

g. Ahorro en tiempo y costo mediante la computadora.

La facilidad de manipulación y manejo de grandes cantidades de información por las computadoras le da a IMGRID una ventaja de eficiencia económica sobre los métodos tradicionales de análisis subjetivo y dibujo manual.

II: COMPONENTES DEL SISTEMA

Los programas para computadora que contiene el sistema IMGRID son los siguientes:

a. BANCO DE DATOS

Programa ECODATOS/IMGRID.

Permite almacenar en forma digital la información relevante de los recursos del suelo registrada a partir de los mapas fuente. El programa crea un archivo en disco magnético para cada variable, pudiendo contener hasta 50 variables diferentes subdividida cada una de ellas en un número máximo de 10 categorías.

Estos archivos son utilizados por los programas correspondientes a la producción de mapas y modelos analíticos.

b. MODELOS DE ATRACTIVO

Programa ATRACTIVO/IMPACTO

Mediante este programa se pueden especificar modelos para encontrar la localización más adecuada de los usos del suelo propuestos.

Es posible considerar hasta 20 diferentes usos del suelo, cada uno con su modelo correspondiente. El método utilizado por los modelos consiste en obtener para cada una de las celdillas en el área de estudio, un índice de "atractivo" que refleja su adecuación para localizar un uso del suelo específico.

El usuario determina las variables del banco de datos que intervienen en el modelo, las jerarquiza y asigna preferencias a sus categorías, expresando así, los factores de localización de cada uso del suelo que sean importantes a su criterio.

El programa utiliza categorías que toman las variables en cada celdilla y calcula el índice como un promedio ponderado de las asignaciones del usuario.

El atractivo de cada celdilla puede tomar un valor entre 0 y 9, considerándose al 0 como "nada atractivo" y al 9 como "lo más atractivo".

Al efectuarse una corrida, se crea un archivo en disco magnético para los resultados de cada modelo. Estos archivos son utilizados por los programas correspondientes a la producción de mapas y evaluación de planes.

c. MODELOS DE VULNERABILIDAD.

Programa IMPACTO/IMGRID

Mediante este programa se pueden especificar modelos para estimar el daño probable ocasionado por los usos del suelo propuestos sobre los eco-sistemas existentes en el área de estudio.

Es posible considerar hasta 30 sistemas diferentes, cada uno con su modelo correspondiente. El método utilizado por los modelos consiste en obtener para cada celdilla en el área de estudio un índice de vulnerabilidad o grado de impacto negativo producido por un uso del suelo específico. El usuario determina las variables del banco de datos que intervienen en el modelo y pondrá sus categorías en forma individual y combinada para expresar su sensibilidad al impacto considerado.

El programa accesa el banco de datos para registrar las categorías que toman las variables en cada celdilla y determina el grado de impacto negativo ponderado de acuerdo a las asignaciones hechas por el usuario.

El impacto puede tomar un valor entre 1 y 4, de acuerdo a la siguiente escala:

- 1 = compatible
- 2 = moderado
- 3 = severo
- 4 = terminal

Al efectuarse una corrida, se crea un Archivo en disco magnético para los resultados de cada modelo.

Estos archivos son utilizados por los programas correspondientes a la producción de mapas y evaluación de planes.

d. EVALUACION DE PLANES

Programa PLANES/INGRID

Programa EVALUACION/INGRID

Mediante estos dos programas es posible almacenar en disco magnético los diversos planes de uso del suelo generados por el usuario y evaluarlos con respecto a los criterios de atractivo y vulnerabilidad formulados en los modelos. El resultado de la evaluación consiste en dos tablas de resumen.

La primera, expresa el atractivo ó adecuación lograda en la localización de los usos del suelo. La segunda, indica el grado de impacto negativo causado por el plan sobre cada uno de los sistemas descritos por el usuario.

Estos resultados son almacenados en archivos de disco magnético para ser accedidos por el programa de producción de mapas.

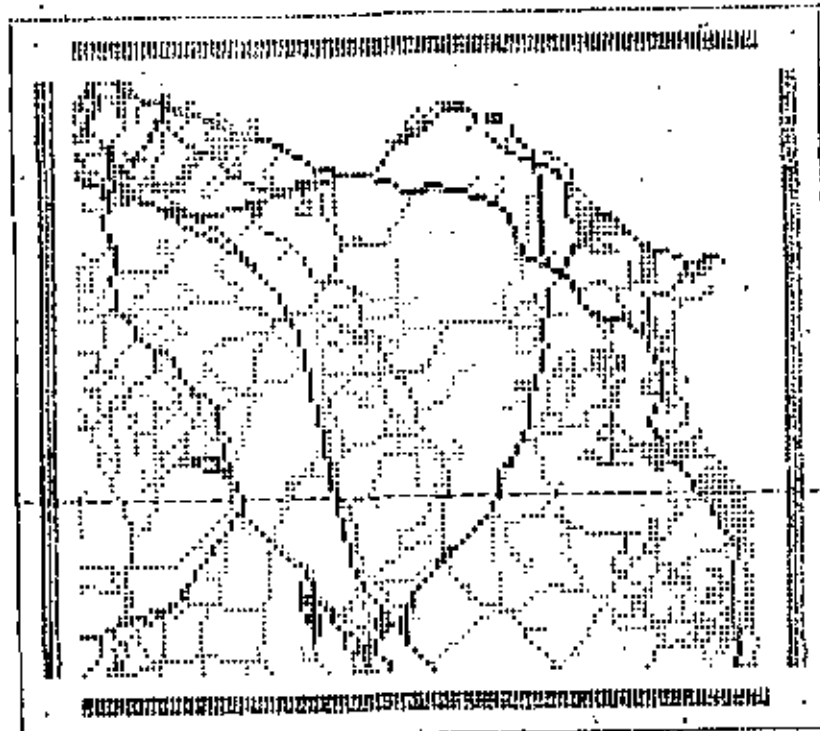
En una corrida pueden evaluarse hasta 30 diferentes planes de uso del suelo.

5. PRODUCCION DE MAPAS

Programa MAPAS/INGRID

Mediante este programa se utiliza la impresora de líneas de la computadora para producir mapas de la información contenida en el banco de datos y la generada por los modelos y la evaluación de planes.

El usuario puede controlar aspectos del mapa tales como tamaño, simbolismo, numeración de referencia, textos explicativos y obtención de histogramas. La figura muestra un ejemplo de estos mapas.





**DIVISION DE EDUCACION CONTINUA
FACULTAD DE INGENIERIA U.N.A.M.**

COMPUTACION APLICADA A LA PLANEACION URBANA

Imgrid

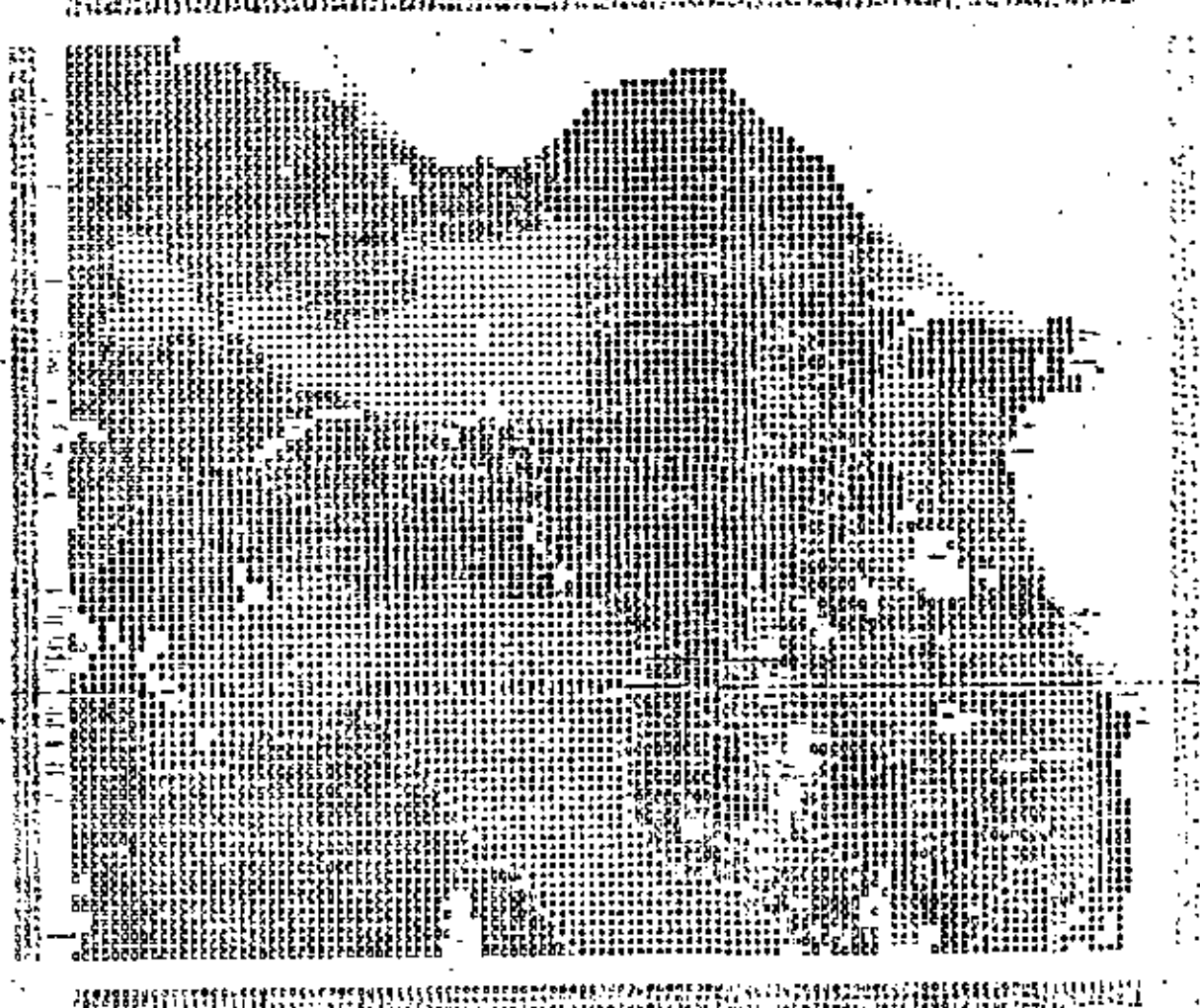
Sistema programado de planeación urbano-ambiental

Agosto, 1981



DIVISION DE ESTUDIOS DE POSGRADO
FACULTAD DE INGENIERIA
SUBJEFATURA DEL AREA DE INGENIERIA DE SISTEMAS
PROGRAMOTeca

UNIVERSIDAD NACIONAL
AUTONOMA



IMGRID

SISTEMA PROGRAMADO DE PLANEACION URBANO-AMBIENTAL

IMGRID

Versión 1.0/DEPFI/B-6700

MANUAL DEL USUARIO.

Preparado por:

ARQ. ALEJANDRO VILLANUEVA EGAN

basado en la información y los programas proporcionados
por el DR. CARL STEINITZ y DAVID SINTON de la Universidad
de Harvard, así como por el DR. RICHARD TOTH y LARRY
WEGKAMP de la Universidad Estatal de Utha..

CONTENIDO

I. INTRODUCCION.

1. Descripción del sistema.
2. Componentes.
3. Forma de utilización.
4. Aplicaciones.
5. - Descripción del ejemplo utilizado.

II. BANCO DE DATOS.

1. Selección de variables y definición de sus categorías.
2. Determinación del tamaño de la celdilla.
3. Geo-codificación del contorno del área de estudio.
4. Geo-codificación de las variables.
5. Creación de archivos del banco de datos.
6. - Mapeo del banco de datos.
7. - Ejemplo de banco de datos.

III. MODELOS DE ATRACTIVO.

1. Selección de variables.
2. Jerarquización de las variables.
3. Preferencia e deseabilidad de las categorías.
4. Codificación de modelos.
5. Creación de archivos de atractivo.
6. Mapeo de los resultados..
7. Ejemplo de modelos de atractivo.

IV. MODELOS DE VULNERABILIDAD.

1. Selección de variables.
2. Estimación de la sensitividad de las categorías.
3. Estimación de la sensitividad combinada de la 2a. y 3a. variables.
4. Agrupación de los usos del suelo.

5. Estimación de impacto negativo.
6. Codificación de los modelos.
7. Creación de archivos de vulnerabilidad.
8. Mapeo de los resultados.
9. Ejemplo de modelos de vulnerabilidad.

V. EVALUACION DE PLANES DE USO DEL SUELO.

1. Localización de usos del suelo.
2. Codificación de los planes.
3. Creación de los archivos de planes.
4. Evaluación de los Planes.
5. Mapeo de los resultados.
6. Análisis de resultados y generación de nuevos planes.
7. Ejemplo de evaluación de mapas.

VI. PRODUCCION DE MAPAS.

1. Forma de alimentar al programa.
2. El paquete MAP.
3. Opciones del paquete MAP.
4. Ejemplos.

VII. BIBLIOGRAFIA

Reconocimientos.

Planeación ecológica del uso del suelo.

El deterioro medio-ambiental es actualmente uno de los problemas más urgentes a resolver por la sociedad moderna. La preocupación pública a este respecto ha motivado el desarrollo de métodos avanzados para hacer más eficiente la toma de decisiones que involucran la calidad de los recursos ambientales.

Dentro de estos métodos se encuentra el sistema IMGRID. Este sistema combina las facilidades de manipulación y graficación e información de las computadoras con métodos que permiten estructurar la opinión de grupos interdisciplinarios de expertos.

IMGRID está orientado para desarrollar un enfoque ecológico-en la planeación del uso del suelo, en el cual se diseñan y evalúan los planes de acuerdo a las componentes ambientales - del terreno.

I.1 Descripción del sistema.

IMGRID es un conjunto de programas para computadora que procesa y mapea la información generada dentro de un proceso de planeación ecológica del uso del suelo. Los seis programas - que lo componen constituyen técnicas avanzadas de inventario- y análisis de recursos. El sistema permite que los programas interactúen entre sí, ya que los resultados de cada etapa son almacenados en archivos de disco magnético para que puedan -- ser utilizados por los demás modulos 6 programas en el proceso. Los programas están escritos en el lenguaje de programación FORTRAN IV y en el sistema UNAM/B-6700 se tienen dos subrutinas en ALGOL para el cambio de nombre en los archivos.

En este sistema, el usuario es un factor esencial para el éxito del proceso, ya que los resultados dependen de su conocimiento y la información de que disponga sobre el proyecto en cuestión.

Las ventajas que ofrece el sistema son las siguientes:

a. Un proceso de planeación bien estructurado.

El sistema ofrece un marco de referencia para analizar en forma explícita la forma en que se toman las decisiones y se asignan criterios de evaluación.

b. Conocimiento de las soluciones propuestas y sus repercusiones ambientales.

Permite proceder los impactos probables de la urbanización sobre los eco-sistemas existentes, dándole así una capacidad mayor de previsión a los planes.

c. Flexibilidad.

Debido a la generalidad en su diseño, este sistema se puede aplicar a cualquier proyecto, independientemente de su localización y escala.

d. Mayor conocimiento de los eco-sistemas existentes en el área.

Al utilizar este sistema, el grupo planificador va adquiriendo conocimientos acerca de las componentes ambientales relevantes, su funcionamiento, su interacción, los factores que las controlan, como afectan y sus afectadas por el uso del suelo, etc.

e. Aumento de la creatividad.

El procedimiento desarrollado por IMGRID permite aumentar la habilidad creativa del planificador mediante un proceso de búsqueda sistemático que permite evaluar y comparar una gran cantidad de conceptos alternativos de diseño y desarrollo espacial de los planes.

f. Facilidad de utilización.

El sistema está diseñado para ser utilizado por personas sin conocimientos en programación, dado que se controla mediante instrucciones sencillas que realizan operaciones específicas. Una vez que el usuario entiende la naturaleza de las instrucciones, está en posibilidad de manejar el sistema sin mayor conocimiento del mismo.

g. Adaptabilidad con otros sistemas.

IMGRID puede ofrmar parte como un sub-sistema dentro de un sistema mayor de recopilación, almacenamiento, análisis

sis y graficación de información geográfica.

h. Ahorro en tiempo y costo mediante la computadora.

La facilidad de manipulación y mapeo de grandes cantidades de información por las computadoras le dá a IMGRID una ventaja de eficiencia económica sobre los métodos tradicionales.

I.2 COMPONENTES DEL SISTEMA

Los programas para computadora que contiene el sistema IMGRID son los siguientes:

a. BANCO DE DATOS.

Programa ECODATOS/IMGRID.

Permite almacenar en forma digital la información relevante de los recursos del suelo registrada a partir de los mapas fuentes. El programa crea un archivo en disco magnético para cada variable, pudiendo contener hasta 50 variables diferentes subdividida cada una de ellas en un número máximo de 10 categorías.

Estos archivos son accesados por los programas correspondientes a la producción de mapas y modelos analíticos.

b. MODELOS DE ATRACTIVO

Programa ATRACTIVO/IMGRID

Mediante este programa se pueden especificar modelos para encontrar la localización más adecuada de los usos del suelo puestos. Es posible considerar hasta 20 usos del suelo diferentes, cada uno con su modelo correspondiente. El método utilizado por los modelos consiste en obtener para cada una de las celdillas en el área de estudio, un índice de "atractivo" que refleja su adecuación para localizar un uso del suelo específico.

El usuario determina las variables del banco de datos que intervienen en el modelo, las jerarquiza y asigna preferencias a sus categorías, expresando así, de una manera formal, los factores de localización de cada uso del suelo que sean importantes a su criterio.

El programa accesa el banco de datos para registrar las categorías que toman las variables en cada celdilla y calcula el índice como un promedio ponderado de las asignaciones del usuario.

El atractivo de cada celdilla puede tomar un valor entre 0 y 9, considerándose el 0 como "nada atractivo" y el 9 como "lo más atractivo".

Al efectuarse una corrida, se crea un archivo en disco magnético para los resultados de cada modelo. Estos archivos son utilizados por los programas correspondientes a la producción de mapas y evaluación de planes.

c. MODELOS DE VULNERABILIDAD.

Programa IMPACTO/IMGRID

Mediante este programa se pueden especificar modelos para estimar el daño probable ocasionado por los usos del suelo propuestos sobre los eco-sistemas existentes en el área de estudio.

Es posible considerar hasta 30 eco-sistemas diferentes, cada uno con su modelo correspondiente. El método utilizado por los modelos consiste en obtener para cada celdilla en el área de estudio un índice de vulnerabilidad ó grado de impacto negativo producido por un uso del suelo específico. El usuario determina las variables del banco de datos que intervienen en el modelo y pondera sus categorías en forma individual y combinada para expresar su sensibilidad al impacto considerado.

El programa accesa el banco de datos para registrar las categorías que toman las variables en cada celdilla y determina el grado de impacto negativo producido de acuerdo a las asignaciones hechas por el usuario. El impacto puede tomar un valor entre 1 y 4, de acuerdo a la siguiente escala:

- 1 = Compatible.
- 2 = Moderado.
- 3 = Severo.
- 4 = Terminal.

Al efectuarse una corrida, se crea un archivo en disco magnético para los resultados de cada modelo.

Estos archivos son utilizados por los programas correspondientes a la producción de mapas y evaluación de planes.

d. - EVALUACION DE PLANES

Programa PLANES/IMGRID
Programa EVALUACION/IMGRID

Mediante estos dos programas es posible almacenar en disco magnético los diversos planes de uso del suelo generados por el usuario y evaluarlos con respecto a los criterios de atractivo y vulnerabilidad formulados en los modelos. El resultado de la evaluación consiste en dos tablas sumario.

La primera, expresa el atractivo ó adecuación ligada en la localización de los usos del suelo. La segunda, indica el grado de impacto negativo causado por el plan sobre cada uno de los sistemas descritos por el usuario.

Estos resultados son almacenados en archivos de disco magnético para ser accesados por el programa de producción de mapas.

En una corrida pueden evaluarse hasta 30 diferentes planes de uso del suelo.

5. PRODUCCION DE MAPAS.

Programa MAPAS/IMGRID

Mediante este programa se utiliza la impresora de líneas de la computadora para producir mapas de la información contenida en el banco de datos y la generada por los mcielos y la evaluación de planes.

El usuario puede controlar aspectos del mapa tales como tamaño, simbolismo, numeración de referencia, textos explicativos y obtención de histogramas (Ver figura).

I.3 FORMA DE UTILIZACION

El conjunto de programas para computadora que contiene el sistema, es utilizado para procesar la información generada por el grupo planificador en las diferentes etapas del proceso de planeación.

En cada una de estas etapas, se requiere realizar un análisis previo que permita hacer estimaciones y tomar decisiones acerca de la información y los criterios con que se va alimentar a la computadora. Es decir, en el proceso de planeación está blecido por IMGRID, una parte se realiza "fuera de la computadora" y la otra "dentro de la computadora".

De manera general, el proceso sigue el diagrama ilustrado en la figura, pero debe entenderse que no es un procedimiento lineal sino que al efectuar cualquiera de las etapas debe tenerse en mente el proceso en su totalidad.

→ Un diagrama detallado del proceso, indicando las decisiones del grupo planificador; los programas utilizados y los resultados obtenidos se muestra en la figura.

1. PRE-ANALISIS.

- Tipo de proyecto
- Definición de sitio, programa y contexto

BANCO DE DATOS

2. CRITERIOS DE LOCALIZACION

- Análisis de Usos del suelo

MODELOS
DE
ATRACTIVO

MAPEO

MODELOS
DE
VULNERABI-
LIDAD

3. CRITERIOS DE IMPACTO AMBIEN- TAL.

- Análisis de com-
ponentes medi-
ambientales.

EVALUACION DE PLANES.

4. GENERACION DE PLANES

- Desarrollo de conceptos espaciales alternativos
- Análisis de resultados.

Figura . Diagrama del proceso de utilización de IMGRID.

II. BANCO DE DATOS.

El banco de datos consiste en un conjunto de archivos en disco magnético, que pueden ser accesados por los programas correspondientes a los modelos y producción de mapas. Se cuenta con un archivo para cada variable y pueden considerarse hasta 50 diferentes variables en el banco.

Las variables están subdivididas en categorías identificadas por un dígito entre 0 y 9. La información es registrada en forma digital mediante una retícula regular que se superpone a los mapas fuente. El registro es celdilla por celdilla e hilera por hilera. El escoger el tamaño adecuado de cada celdilla ó sea, el área de la unidad básica de análisis, es una de las decisiones más importantes en esta etapa del proceso.

Para la elaboración del banco de datos se deben llevar a cabo los siguientes pasos:

17. ENLISTAR LAS VARIABLES Y DEFINIR SUS CATEGORIAS:

Basándose en los análisis de la etapa anterior y la disponibilidad de información y recursos, se deben seleccionar las variables que estarán contenidas en el banco de datos, así como las categorías en que se subdivide cada una de ellas. Cada variable debe tener un número en orden creciente a partir del 1 y las categorías deben ser identificadas por un dígito entre 0 y 9. Por ejemplo:

Número de la variable: 1

Nombre de la variable: USO DEL SUELO EXISTENTE

Categorías:

- 0 = No hay datos.
- 1 = Campamentos.
- 2 = Uso diurno.
- 3 = Servicio forestal.
- 4 = Escuela.
- 5 = Estacionamiento..
- 6 = Pasto.
- 7 = Caminos..
- 8 = Reserva forestal..
- 9 = Océano..

Número de la variable: 2

Nombre de la variable: PORCENTAJE DE PENDIENTE.

Categorías:

- 0 = No hay datos.
- 1 = 100% agua.
- 3 = 0 a 9%.
- 5 = 10 a 15%.
- 7 = 16 al 25%.
- 8 = Más del 25%.
- 9 = Océano.

2. DETERMINAR EL TAMAÑO DE LA CELDILLA.

La información contenida en los mapas fuente es registrada en forma digital (geo-codificación), mediante una retícula regular sobre puesta. La forma de las celdillas es cuadrada y su área debe ser la misma en toda el área de estudio. Su tamaño depende de los siguientes factores:

- Exactitud y tipo de los datos disponibles.
- Tamaño del menor rasgo que se desee registrar.
- Propósito para el cual van a usarse los datos.
- Tamaño del área de estudio.
- Limitaciones en los recursos para geo-codificar la información.

Las figuras muestran ejemplos de retículas sobre puestas para el registro de información geográfica.

3. GEO-CODIFICAR EL CONTORNO DEL AREA DE ESTUDIO.

Contorno regular:

1a. tarjeta:

Col. 1-5	Número de celdillas de la retícula en sentido vertical. Perforado como un número entero, justificado a la derecha.
Col. 10	0
Col. 15	0

2a. tarjeta:

Col. 1-5 99999 para indicar que termina el contorno.

Contorno irregular:

1a. tarjeta:

Col. 15 Número de hileras de la retícula en el sentido vertical que tienen el mismo desplazamiento hacia la derecha y la izquierda. Perforado como un número entero y justificado a la derecha.

Col. 6-10 Número de celdillas que se desplazan a la derecha del margen del contorno regular. Perforado como número entero y justificado a la derecha.

Col. 10-15 Número de celdillas que se desplazan a la izquierda del contorno regular. Perforado como número entero y justificado a la derecha.

Debe repetirse este procedimiento en tantas tarjetas como sea necesario para especificar todas las fronteras del área de estudio.

Última tarjeta:

Col. 1-5 99999 para indicar que termina el contorno.

La figura ilustra la forma de geo-codificar el contorno del área de estudio.

4. GEO-CODIFICAR LAS VARIABLES.

La geo-codificación se hace superponiendo la retícula al área de estudio y registrando el valor o categoría que toma la variable en cada una de las celdillas, anotando el número correspondiente de acuerdo a la subdivisión especificada.

Los datos pueden ser registrados como:

- a) Datos de punto (vgr. una cascada, un pozo, etc.).
- b) Porcentaje de la celdilla con una actividad determinada.
- c) Tipo predominante de uso del suelo.
- d) Datos de línea (vgr. una carretera, un río, etc.).

Cada columna en una tarjeta representa una celdilla de la retícula. Cada tarjeta representa una hilera de celdillas. Si

ci6n 10 de Texto explicativo en cada mapa, deberá contener una clave con el número y nombre de la variable y las categorías en que se subdivide.

Una vez revisados, analizados y corregidos los mapas, es posible pasar a la siguiente etapa del proceso de IMGRID.

16

se tienen más de 80 celdillas en una hilera se deberán usar - dos o más tarjetas.

1a. tarjeta:

Col. 1-2 Número de la variable, perforado como número entero justificado a la derecha.

Tarjetas siguientes:

Col. 1-80 Valor o categoría que toma la variable en cada una de las celdillas. Deben perforarse como números enteros de una cifra (0-9) en las columnas correspondientes. Se debe utilizar solamente el número de columnas necesarias. Para registrar todas las celdillas de una hilera de la retícula. Se deben perforar tantas tarjetas como sea necesario para registrar todas las hileras de la retícula.

El programa limita el número de variables a 50 y el de categorías para cada variables a 10, numerándolas del 0 al 9.

La figura muestra un ejemplo de geo-codificación de una variable.

5. CREACION DE ARCHIVOS DEL BANCO DE DATOS.

El almacenamiento de las variables en archivos en disco magnético para su posterior utilización en la producción de mapas y modelos, se realiza mediante la alimentación de la información geo-codificada en el paso anterior al programa ARCHIVOS/IMGRID.

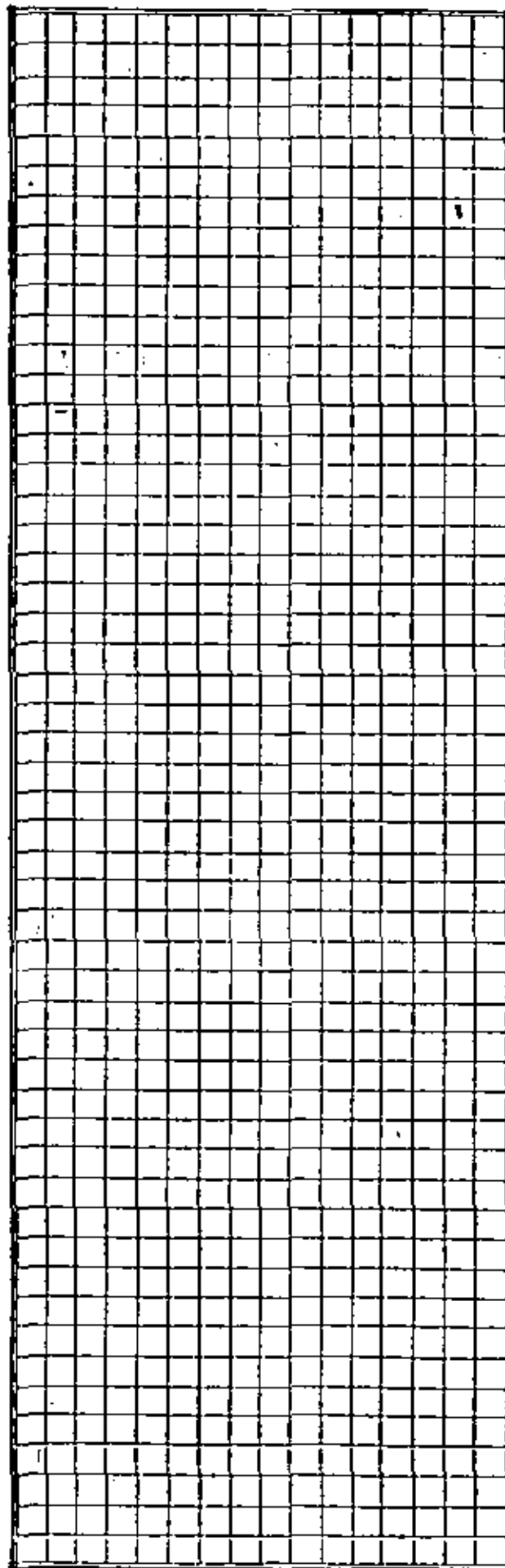
En el sistema UNAM/B-6700 esta información debe ir precesida por tres tarjetas de control y por el contorno del área de estudio geo-codificado en el paso 3. Después de las tarjetas de la última variable debe colocarse una tarjeta de control final para la terminación del trabajo.

La forma de preparar el paquete de datos se ilustra en la figura

6. MAPEAR EL BANCO DE DATOS.

Debe producirse un mapa para cada una de las variables incluidas en el banco de datos utilizando el programa MAPAS/IMGRID, cuya descripción es proporcionada en el capítulo VI. La op-

1 2 3 4 5 6 7 8 9 10 11 12 13 14 15 16



52
51
50
49
48
47
46
45
44
43
42
41
40
39
38
37
36
35
34
33
32
31
30
29
28
27
26
25
24
23
22
21
20
19
18
17
16
15
14
13
12
11
10
9
8
7
6
5
4
3
2
1

VALE DE PACIFICO

CAYO GAVIOTAS

BOCA ANDREA

BAHIA BLANCA

PUNTA CHINUC

PARAISO

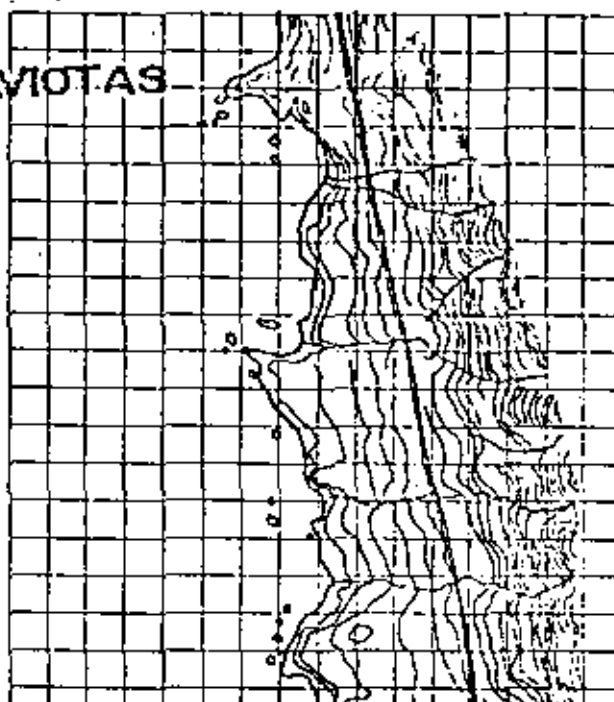


VALLE DE PACIFICO

1 2 3 4 5 6 7 8 9 10 11 12 13.14 15 16

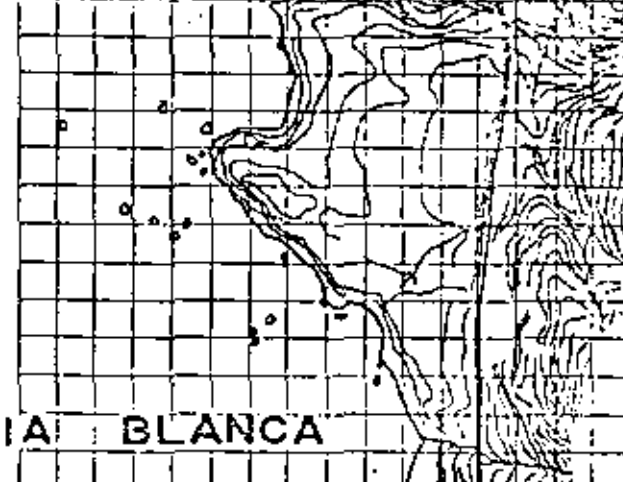
2.0

CAYO GAVIOTAS

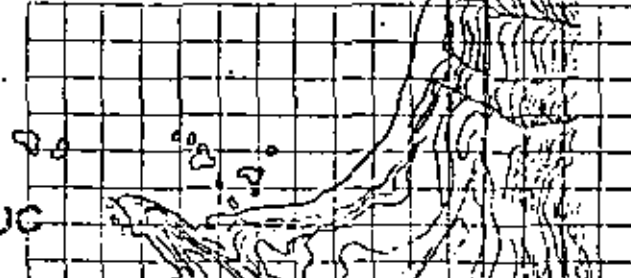


52
51
50
49
48
47
46
45
44
43
42
41
40
39
38
37
36
35
34
33
32
31
30
29
28
27
26
25
24
23
22
21
20
19
18
17
16
15
14
13
12
11
10
9
8
7
6
5

BOCA ANDREA



BAHIA BLANCA



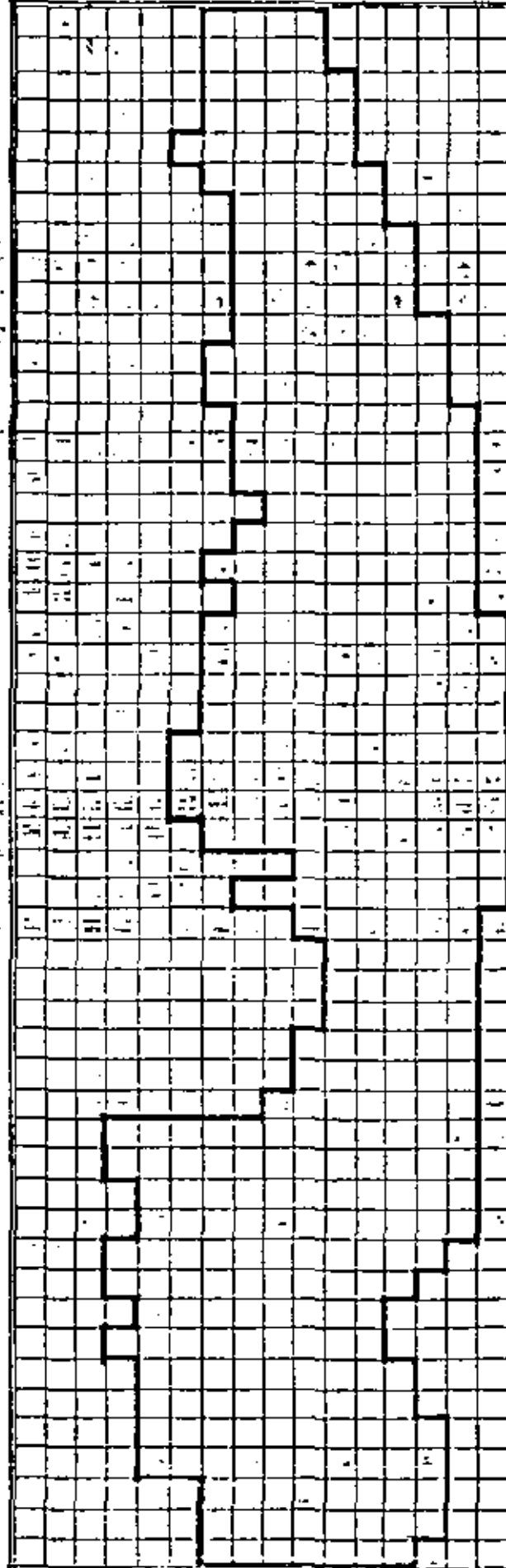
PUNTA CHINUC



PARAISO

CONTORNO IRREGULAR

1 2 3 4 5 6 7 8 9 10 11 12 13 14 15 16
C O L U M N A S



NÚMERO DE
DÍAS

NO. DE CEDILLAS
QUE SE DESPLAZAN
A LA DERECHA DEL
CONTORNO REGAL

2	6	6
---	---	---

2	8	5
---	---	---

1	5	5
---	---	---

1	6	4
---	---	---

1	2	4
---	---	---

3	7	3
---	---	---

1	7	2
---	---	---

2	6	2
---	---	---

3	7	1
---	---	---

1	8	1
---	---	---

1	7	1
---	---	---

1	6	1
---	---	---

1	7	1
---	---	---

4	6	0
---	---	---

3	5	0
---	---	---

1	6	0
---	---	---

1	9	0
---	---	---

1	7	0
---	---	---

1	9	1
---	---	---

3	10	1
---	----	---

2	9	1
---	---	---

1	8	1
---	---	---

2	7	1
---	---	---

2	4	1
---	---	---

1	3	2
---	---	---

1	3	3
---	---	---

1	4	4
---	---	---

1	3	4
---	---	---

2	4	3
---	---	---

2	4	2
---	---	---

2	6	2
---	---	---

1	6	3
---	---	---

21
82
51
50
49
48
47
46
45
44
43
42
41
40
39
38
37
36
35
34
33
32
31
30
29
28
27
26
25
24
23
22
21
20
19
18
17
16
15
14
13
12
11
10
9
8
7
6
5
4
3
2
1

MAPA DE LA VARIABLE 1 DEL INVENTARIO DE DATOS USOS DEL SUELO ACTUALES
 AREA DE ESTUDIO: VALLE PACIFICO LABORATORIO DE PLANEACION URBANA

0000000000000000
 0000000011111111
 1234567890123456

SUBVARIABLES, DATO

0 = NO HAY DATOS
 1 = CAMPAMENTOS
 2 = USO DIFERIDO
 3 = ADMINISTRACION-DE SERVICIO FORESTAL
 4 = ESCUELA
 5 = PASTO
 6 = CAFETERIAS
 7 = PRESEPVA-FORESTAL
 8 = OCEANO

EL TAMAÑO DE LA CELULA DE LA MAZALA ES DE: 200x320
 ACRES: 50x360

NIVELES

SIMBOLOS:

FRECUENCIA 26 3 26

	3	4	5	6	7
+	XXXXXX	XXXXXXXX	XXXXXXXX	XXXXXXXX	XXXXXXXX
+	XXXXXX	XXXXXXXX	XXXXXXXX	XXXXXXXX	XXXXXXXX
+	XXXXXX	XXXXXXXX	XXXXXXXX	XXXXXXXX	XXXXXXXX
+	XXXXXX	XXXXXXXX	XXXXXXXX	XXXXXXXX	XXXXXXXX
+	XXXXXX	XXXXXXXX	XXXXXXXX	XXXXXXXX	XXXXXXXX
=====	=====	=====	=====	=====	=====
.	6	1	2	8	7

052
 051
 050
 049
 048
 047
 046
 045
 044
 043
 042
 041
 040
 039
 038
 037
 036
 035
 034
 033
 032
 031
 030
 029
 028
 027
 026
 025
 024
 023
 022
 021
 020
 019
 018
 017
 016
 015
 014
 013
 012
 011
 010
 009
 008
 007
 006
 005
 004
 003
 002
 001

0000000000000000
 0000000011111111
 1234567890123456

76 203 517

MAPA DE LA VARIABLE 2 DEL INVENTARIO DE DATOS - PORCENTAJE DE PENDIENTE
ÁREA DE ESTUDIO VALLE DEL PACÍFICO LABORATORIO DE PLANEACIÓN URBANA

0000000000000000
0000000000111111
1234567876543210

SUBVARIABLES DATA

- DO-HAY DATOS
100% AREA
6-9%
10-15%
16-25%
26%+
OCFAHO

EL TAMAÑO DE LA CELULA DE LA MALLA ES DE 2.5
ACRES

NIVELES	0	1	2
SIMBOLOS1...	...2...
EFFECTUACION	99	42	0

00000000000000000000
00000000000000000000
1234567890123456

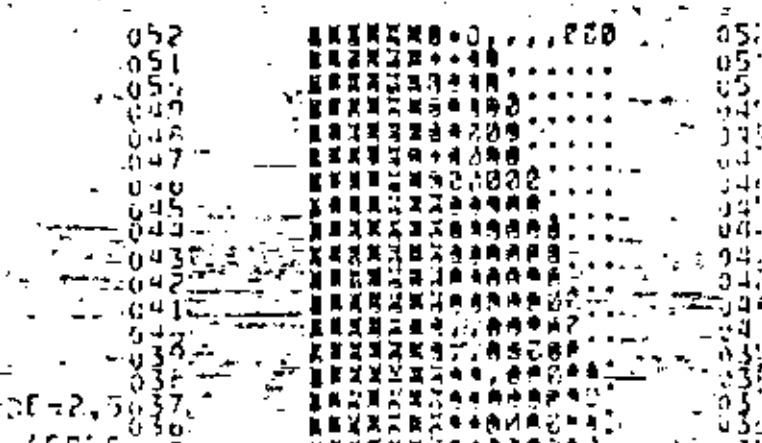
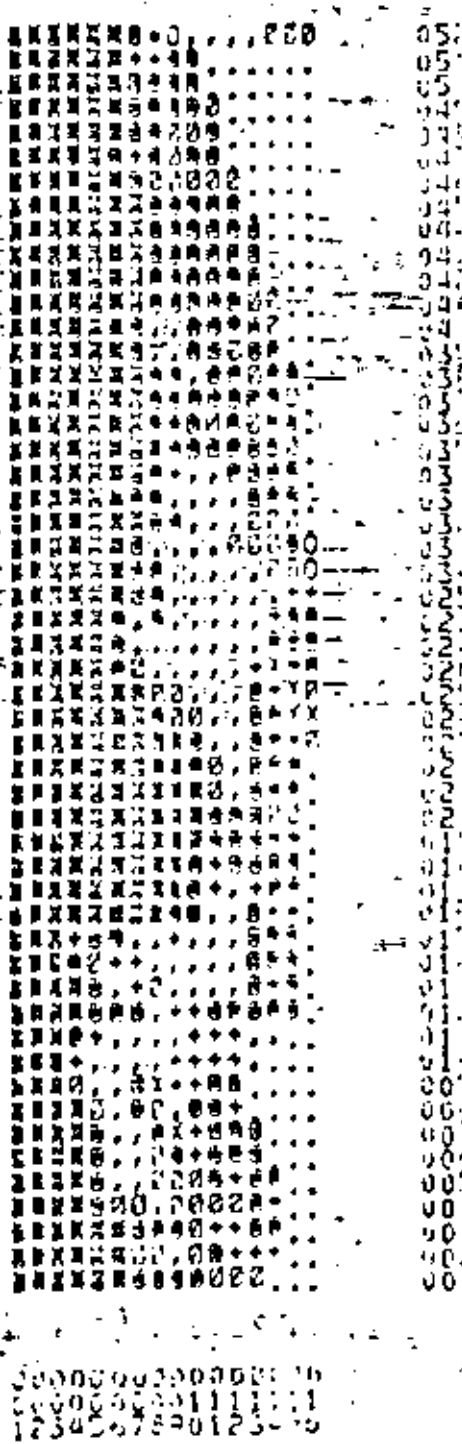
MAPA DE LA VARIABLE 3 DEL INVENTARIO DE DATOS ORIENTACION PENDIENTE
 AREA DE ESTUDIO VALLE DEL PACIFICO LABORATORIO DE PLANEACION DRAMA

SUSVARIABLES DATO

- 0 = NO HAY DATOS
- 1 = LLANURA
- 2 = NORTE
- 3 = NOROESTE
- 4 = NOROESTE
- 5 = SUR
- 6 = SURESTE
- 7 = SURESTE
- 8 = OESTE
- 9 = OCEANO

CANTIDAD DE CELULAS DE 1 MALLA ES DE 2,500,000

00000000000000000000
 00000000000000000000
 00000000000000000000



NIVELES

SIMBOLOS

FRECUENCIAS

ACRES

0.35

0.36

0.37

0.38

0.39

0.40

0.41

0.42

0.43

0.44

0.45

0.46

0.47

0.48

0.49

0.50

0.51

0.52

0.53

0.54

0.55

0.56

0.57

0.58

0.59

0.60

0.61

0.62

0.63

0.64

0.65

0.66

0.67

0.68

0.69

0.70

0.71

0.72

0.73

0.74

0.75

0.76

0.77

0.78

0.79

0.80

0.81

0.82

0.83

0.84

0.85

0.86

0.87

0.88

0.89

0.90

0.91

0.92

0.93

0.94

0.95

0.96

0.97

0.98

0.99

1.00

1.01

1.02

1.03

1.04

1.05

1.06

1.07

1.08

1.09

1.10

1.11

1.12

1.13

1.14

1.15

1.16

1.17

1.18

1.19

1.20

1.21

1.22

1.23

1.24

1.25

1.26

1.27

1.28

1.29

1.30

1.31

1.32

1.33

1.34

1.35

1.36

1.37

1.38

1.39

1.40

1.41

1.42

1.43

1.44

1.45

1.46

1.47

1.48

1.49

1.50

1.51

1.52

1.53

1.54

1.55

1.56

1.57

1.58

1.59

1.60

1.61

1.62

1.63

1.64

1.65

1.66

1.67

1.68

1.69

1.70

1.71

1.72

1.73

1.74

1.75

1.76

1.77

1.78

1.79

1.80

1.81

1.82

1.83

1.84

1.85

1.86

1.87

1.88

1.89

1.90

1.91

1.92

1.93

1.94

1.95

1.96

1.97

1.98

1.99

2.00

2.01

2.02

2.03

2.04

2.05

2.06

2.07

2.08

2.09

2.10

2.11

2.12

2.13

2.14

2.15

2.16

2.17

2.18

2.19

2.20

2.21

2.22

2.23

2.24

2.25

2.26

2.27

2.28

2.29

2.30

2.31

2.32

2.33

2.34

2.35

2.36

2.37

2.38

2.39

2.40

2.41

2.42

2.43

2.44

2.45

2.46

2.47

2.48

2.49

2.50

2.51

2.52

2.53

2.54

2.55

2.56

2.57

2.58

2.59

2.60

2.61

2.62

2.63

2.64

2.65

2.66

2.67

2.68

2.69

2.70

2.71

2.72

2.73

2.74

2.75

2.76

2.77

2.78

2.79

2.80

2.81

2.82

2.83

2.84

2.85

2.86

2.87

2.88

2.89

2.90

2.91

2.92

2.93

2.94

2.95

2.96

2.97

2.98

2.99

3.00

3.01

3.02

3.03

3.04

3.05

3.06

**MAPA DE LA VARIABLE 4 DEL INVENTARIO DE DATOS VEGETACIÓN POR ZONA
ÁREA DE ESTUDIO VALLE DEL PACÍFICO LABORATORIO DE PLANEACIÓN URBANA**

0000000000000000
0000000000111111
1234567890123456

SUBVARIABLES DATA

- 0 = NO HAY DATOS
 1 = ZONA COSTERA
 2 = SUELDO PASTADO
 3 = VEGETACION: CHAPARRAL
 4 = ZONA DE BOSQUE
 5 = OCEANO

EL TAMAÑO DE LA CÉLULA DE LA MALLA ES DE 2.5040
ACRES 039

NIVELES	0	1	2
SÍMBOLOS0.....	/ / / / / / / /2.....
FRECUENCIA	161	9	62

052
051
050
049
048
047
046
045
044
043
042
041
040
039
038
037
036
035
034
033
032
031
030
029
028
027
026
025
024
023
022
021
020
019
018
017
016
015
014
013
012
011
010
009
008
007
006
005
004
003
002
001

00000000000000
000000000111111
1234567890123456

MAPA DE LA VARIABLE 5 DEL INVENTARIO DE DATOS VENISPAH DE ARBOLÉS

AREA DE ESTUDIO VALLE DEL PACÍFICO LABORATORIO DE PLATEACIÓN CORRIENTES

0000000000000000
#0000000000000000
1234567890123456

SUPERVETAPESSTATE

0 = NO DAY LATOS
1 = HADIA
2 = 1-25%
3 = 26-50%
4 = 51-75%
5 = 76-100%
6 = 100%

EL TANQUE DE LA CELULA DE LA MALLA ES DE 21000 LITROS

-114-
-115-

STRUCTURES

peculiarities

FREQUENCY 48 6 300

3 4 5 6

+++ + + + + + + X X X X X X X X ИСКОРОБОДО ГРИКРРИИ
+++ + + + + + + X X X X X X X X ИСКОРОБОДО ГРИКРРИИ
+++ + + + + + + X X X X X X X X ГОСНОВОГС ИСИЛСИИ
+++ + + + + + + X X X X X X X X ОДНОСОДО ИИИСИИИ
+++ + + + + + + X X X X X X X X ГОСНОВОГС ИИИСИИИ

70 23 11 0

7 - 8 9

卷之三

134 0 312

-000000000000000-
00000000001111111
1234567890123456

MAPA DE LA VANTABILIDAD DEL INVENTARIO DE DATOS ZONAS LLANAS

AREA DE ESTUDIO VALLE DEL PACIFICO LABORATORIO DE PLANEACION URBANA

00000000000000
 00000000111111
 1234567890123456

SISTEMA DE CLASIFICACION

- 0 = NO HAY DATOS
- 2 = NO ZONAS LLANAS
- 3 = LLANOS SOBRE LA COSTA > DE 2000
- 4 = LLANOS SOBRE LA COSTA < DE 2000
- 5 = LLANOS TERRESTRES < DE 2000
- 7 = LLANOS TERRESTRES > DE 2000
- 9 = OCEANO

EL TAMAÑO DE LA CELULA DE LA MALLA ES DE 2,5 ACRES

NIVELES 0 1 2

SÍMBOLOS . / \ - +

FRECUENCIAS 97 1 318

	3	4	5	6
19	XXXXXX	0000000000	RRRRRRRRRR	
20	XXXXXX	0000000000	RRRRRRRRRR	
38	XXXXXX	0000000000	RRRRRRRRRR	
0				

	7	8	9
22	RRRRRRRRRR	RRRRRRRRRR	RRRRRRRRRR
0	RRRRRRRRRR	RRRRRRRRRR	RRRRRRRRRR
317	RRRRRRRRRR	RRRRRRRRRR	RRRRRRRRRR

052	-----
051	-----
050	-----
049	-----
048	-----
047	-----
046	-----
045	-----
044	-----
043	-----
042	-----
041	-----
040	-----
039	-----
038	-----
037	-----
036	-----
035	-----
034	-----
033	-----
032	-----
031	-----
030	-----
029	-----
028	-----
027	-----
026	-----
025	-----
024	-----
023	-----
022	-----
021	-----
020	-----
019	-----
018	-----
017	-----
016	-----
015	-----
014	-----
013	-----
012	-----
011	-----
010	-----
009	-----
008	-----
007	-----
006	-----
005	-----
004	-----
003	-----
002	-----
001	-----

00000000000000
 0000000001111111
 1234567890123456

MAPA DE LA VARIABLE 7 DEL INVENTARIO DE DATOS ACCIDENTES GEOLÓGICOS.

ÁREA DE ESTUDIO VALLE DEL PACÍFICO LABORATORIO DE FLUORACIÓN URBANA

00000000CCCCCCCC
0000000000111111
1234567890123456

052	
051	
050	
049	
048	
047	
046	
045	
044	
043	
042	
041	
040	
039	
038	
037	
036	
035	
034	
033	
032	
031	
030	
029	
028	
027	
026	
025	
024	
023	
022	
021	
020	
019	
018	
017	
016	
015	
014	
013	
012	
011	
010	
009	
008	
007	
006	
005	
004	
003	
002	
001	

	7	8	9
	9	0	317
1			
2			
3			
4			
5			
6			
7			
8			
9			
10			
11			
12			
13			
14			
15			
16			
17			
18			
19			
20			
21			
22			
23			
24			
25			
26			
27			
28			
29			
30			
31			
32			
33			
34			
35			
36			
37			
38			
39			
40			
41			
42			
43			
44			
45			
46			
47			
48			
49			
50			
51			
52			
53			
54			
55			
56			
57			
58			
59			
60			
61			
62			
63			
64			
65			
66			
67			
68			
69			
70			
71			
72			
73			
74			
75			
76			
77			
78			
79			
80			
81			
82			
83			
84			
85			
86			
87			
88			
89			
90			
91			
92			
93			
94			
95			
96			
97			
98			
99			
100			
101			
102			
103			
104			
105			
106			
107			
108			
109			
110			
111			
112			
113			
114			
115			
116			
117			
118			
119			
120			
121			
122			
123			
124			
125			
126			
127			
128			
129			
130			
131			
132			
133			
134			
135			
136			
137			
138			
139			
140			
141			
142			
143			
144			
145			
146			
147			
148			
149			
150			
151			
152			
153			
154			
155			
156			
157			
158			
159			
160			
161			
162			
163			
164			
165			
166			
167			
168			
169			
170			
171			
172			
173			
174			
175			
176			
177			
178			
179			
180			
181			
182			
183			
184			
185			
186			
187			
188			
189			
190			
191			
192			
193			
194			
195			
196			
197			
198			
199			
200			
201			
202			
203			
204			
205			
206			
207			
208			
209			
210			
211			
212			
213			
214			
215			
216			
217			
218			
219			
220			
221			
222			
223			
224			
225			
226			
227			
228			
229			
230			
231			
232			
233			
234			
235			
236			
237			
238			
239			
240			
241			
242			
243			
244			
245			
246			
247			
248			
249			
250			
251			
252			
253			
254			
255			
256			
257			
258			
259			
260			
261			
262			
263			
264			
265			
266			
267			
268			
269			
270			
271			
272			
273			
274			
275			
276			
277			
278			
279			
280			
281			
282			
283			
284			
285			
286			
287			
288			
289			
290			
291			
292			
293			
294			
295			
296			
297			
298			
299			
300			
301			
302			
303			
304			
305			
306			
307			
308			
309			
310			
311			
312			
313			
314			
315			
316			
317			
318			
319			
320			
321			
322			
323			
324			
325			
326			
327			
328			
329			
330			
331			
332			
333			
334			
335			
336			
337			
338			
339			
340			
341			
342			
343			
344			
345			
346			
347			
348			
349			
350			
351			
352			
353			
354			
355			
356			
357			
358			
359			
360			
361			
362			
363			
364			
365			
366			
367			
368			
369			
370			
371			
372			
373			
374			
375			
376			
377			
378			
379			
380			
381			
382			
383			
384			
385			
386			
387			
388			
389			
390			
391			
392			
393			
394			
395			
396			
397			
398			
399			
400			
401			
402			
403			
404			
405			
406			
407			
408			
409			
410			
411			
412			
413			
414			
415			
416			
417			
418			
419			
420			
421			
422			
423			
424			
425			
426			
427			
428			
429			
430			
431			
432			
433			
434			
435			
436			
437			
438			
439			
440			
441			
442			
443			
444			
445			
446			
447			
448			
449			
450			
451			
452			
453			
454			
455			
456			
457			
458			
459			
460			
461			
462			
463			
464			
465			
466			
467			
468			
469			
470			
471			
472			
473			
474			
475			
476			
477			
478			
479			
480			
481			
482			
483			
484			
485			
486			
487			
488			
489			
490			
491			
492			
493			
494			
495			
496			
497			
498			
499			
500			

MAPA DE LA VARIANTE 8 DEL INVENTARIO DE DATOS SUCIOS

ÁREA DE ESTUDIO VALLE DEL PACÍFICO

LABORATORY OF PLANE REACTIONS OF POLY

0000000000000000
-0000000000111111
1234567890123456

Stylized Features

0 = NO PAY RATIOS
1 = NO FG?
2 = ST
3 = L/H/C
4 = CNE
5 = P/GH
6 = CZI
7 = GP/GH
8 = CZE
9 = UC/LAD

JAKA-LA-EE-LA-GELLA-A-EE-LA-HAL-LA-EE-PE

-2-5 AGFA-S

NIVELES 0 1 2

FRECUENCIAS 99 29 67

3	4	5	6
+++ ++ ++ ++ ++ ++	XXX XXX XXX XXX XXX XXX	0000000000 0000000000 0000000000 0000000000 0000000000 0000000000	0000000000 0000000000 0000000000 0000000000 0000000000 0000000000
++ ++ ++ ++ ++ ++	XXX XXX XXX XXX XXX XXX	0000000000 0000000000 0000000000 0000000000 0000000000 0000000000	0000000000 0000000000 0000000000 0000000000 0000000000 0000000000
++ ++ ++ ++ ++ ++	XXX XXX XXX XXX XXX XXX	0000000000 0000000000 0000000000 0000000000 0000000000 0000000000	0000000000 0000000000 0000000000 0000000000 0000000000 0000000000
++ ++ ++ ++ ++ ++	XXX XXX XXX XXX XXX XXX	0000000000 0000000000 0000000000 0000000000 0000000000 0000000000	0000000000 0000000000 0000000000 0000000000 0000000000 0000000000
++ ++ ++ ++ ++ ++	XXX XXX XXX XXX XXX XXX	0000000000 0000000000 0000000000 0000000000 0000000000 0000000000	0000000000 0000000000 0000000000 0000000000 0000000000 0000000000

~~0000000000000000
0000000011111111
1234567890123456~~

MAPA DE LA VARIABLE ID DEL INVENTARIO DE DATOS VISTAS

ÁREA DE ESTUDIO VALLE DEL PACÍFICO

LABORATORIES OF THE PLANEAGLE CORPORATION

0000000000000000
0000000000111111
1234567890123456

SUTYAE TABUUS-PAFC

- 0 = NO HAY DATOS
2 = NO HAY VISTAS INFORTUNADAS
3 = BUENAS VISTAS AL OCEANO
4 = EXCELENTE VISTAS AL OCEANO
5 = BUENAS PANORAMICAS DEL LUGAR
6 = EXCELENTE PANORAMICAS DEL LUGAR
8 = CIELO

EL TAPADO DE LA CELULA DE LA HALLA ES DE

2.5. ACCEPTS

LIVELIES

SÍMBOLOS

FREQUENCY 98 C

133 87 157 14

26 0 0 317

III. MODELOS DE ATRACTIVO

Mediante estos modelos se calcula un índice que expresa el atractivo que tiene cada una de las celdillas del área de estudio para localizar un uso del suelo determinado. Es decir, estos modelos permiten realizar un análisis de la volación del terreno.

Una vez determinados los factores de localización de un uso del suelo específico (variables que intervienen en el modelo), el método consiste primeramente en asignar una ponderación en orden de importancia a cada uno de ellos y en determinar la adecuación o deseabilidad de sus categorías con respecto al uso del suelo considerado.

Al alimentar la computadora con esta información, el programa registra las categorías que toman las variables del modelo en cada celdilla y obtiene un promedio basado en las asignaciones de adecuación o deseabilidad, ponderado por la importancia que tiene cada variable en la localización del uso del suelo en cuestión.

Este índice o promedio ponderado de atractivo toma valores entre 0 y 9 en tal forma que 0 significa "nada atractivo" y 9 significa "lo más atractivo".

Se debe elaborar un modelo para cada uno de los usos del suelo que se desee localizar en el área de estudio. En la elaboración de un modelo se realizan los siguientes pasos:

1. ENLISTAR LAS VARIABLES DEL MODELO

Deben identificarse las variables del banco de datos que sean más representativas de los factores de localización del uso del suelo considerado. Puede incluirse un máximo de diez variables en un modelo. Por ejemplo, en el caso de Valle del Pacífico:

Nombre del modelo: ESTACIONAMIENTOS.

Variables del modelo:

NUMERO	NOMBRE DE LA VARIABLE
2	Porcentaje de pendiente
5	Densidad de arboles
6	Cuencas espaciales
8	Tipo de suelo

2. DIFERENCIAR LA IMPORTANCIA DE LAS VARIABLES

En la mayoría de los casos, no todas las variables tienen la misma importancia en la localización del uso del suelo considerado.

Para dar prioridad a ciertas variables (factores de localización) sobre otras, se deben ponderar de acuerdo a la siguiente escala:

1 = Menos importante

2 = Importante

3 = Muy importante

En el caso de nuestro ejemplo, se puede tener:

NUMERO	NOMBRE DE LA VARIABLE	IMPORTANCIA
2	Porcentaje de pendiente	3
5	Densidad de arboles	2
6	Cuencas espaciales	1
8	Tipo de suelo	1

3. ESPECIFICACION DE LA ADECUACION O DESEABILIDAD DE LAS CATEGORIAS

A cada una de las categorías en las que se subdividen las variables se les debe asignar un número entre 0 y 9 para indicar una mayor o menor adecuación o deseabilidad de acuerdo a los requerimientos específicos del uso del suelo considerado. Una asignación de 0 significa "nada deseable"; una asignación de 9 significa "lo mas deseable o adecuado". Por ejemplo:

NUMERO DE LA VARIABLE	CATEGORIAS DE LA VARIABLE									
	0	1	2	3	4	5	6	7	8	9
2	0	0		9		2		0	0	0
5	0		0	7	9	6		5		0
6	0		3	0	0	6		9		0
8	0	9	0	9	0	9	0	9	0	0

Los espacios en blanco son debido a que no existe una categoría con ese número en esa variable.

4. CODIFICACION DEL MODELO.

Para cada modelo de atractivo se deben perforar las siguientes tarjetas:

1a. tarjeta:

Col. 1-2 Número del modelo.

2a. tarjeta:

Col. 1-2 Número de variables que intervienen en el modelo.*

3a. tarjeta:

Col. 1-2 Número de la primera variable;*
 Col. 10, 11, 12, 13, 14 Preferencias asignadas a las categorías: (Par 1-7
 16, 18, 20 so 3) ; Dados en orden ascendente.*
 22, 24, 26
 28

Tarjetas siguientes:

Los mismos que la 3a tarjeta. Una tarjeta por cada variable incluida en el modelo.

La figura muestra un ejemplo de hoja de codificación para este tipo de modelos..

5. CREACION DE ARCHIVOS DE ATRACTIVO

Para almacenar en disco magnético los índices de atractivo (promedios de las asignaciones de adecuación ponderado por la importancia de las variables), calculados por el modelo para cada una de las celdillas, se debe alimentar el programa ATRACTIVO/IMGRID con la información codificada y perforada en el paso 4 para cada modelo que se desee correr.

En el sistema UNAM/B-6700, esta información debe ir precedida por tres tarjetas de control y por la especificación del contorno del área de estudio (Ver capítulo II, paso 3). Despues de las tarjetas del ultimo modelo, debe colocarse una tarjeta de control final para la terminación del trabajo. La forma de preparar el paquete de datos se ilustra en la figura . Al correr el programa se obtiene un listado como el de la figura

* Los números en estas tarjetas deben ser perforados como enteros justificados a la derecha.

6. MAPEAR LOS RESULTADOS.

Mediante el programa MAPAS/IMGRID se debe hacer un mapa que muestre el valor del índice de atractivo en las celdillas del área de estudio para cada uno de los modelos corridos.

La forma de producir los mapas está explicada en el capítulo VI.

Después de revisar y analizar estos mapas, se deben hacer las correcciones y/o modificaciones deseadas.

Programa ATTRACTIVO/INGRIT

HOJA DE CODIFICACION PARA LOS MODELOS DE ATRACTIVIDAD

Nombre del(os) usuario(s):

Nombre de la actividad (usos del suelo)

para la que se construyó el modelo.

Número del modelo (formato .i2), --

Número de variables que intervienen en el modelo (formato I2).

Columnas 1 y 2

Cuales son las variables? Cual es la preferencia de las subvariables (del 0 al 9) variables.

Cual es la importancia de la variable β_2

Figura 4.- Hoja de codificación para los MODELOS DE ATRACTIVIDAD

34

```

*END JOB
09      0 0 2 5 4 2 3 5 2 2    1  (OTROS VARIABLES)
06      0 0 2 5 4 2 3 5 2 2    1  (OTROS VARIABLES)
05      0 0 2 5 4 2 3 5 2 2    1  (OTROS VARIABLES)
02      0 0 2 5 4 2 3 5 2 2    1  (OTROS VARIABLES)
05      (NUMERO DE VARIABLES QUE INTERVIENEN EN OTRO MODELO)
02      (NUMERO DEL MODELO) 2
07      0 2 5 3 0 4 2 2 1 0    2  (12-6, 1012-54, 110)
10      3 2 5 4 2 3 5 4 2 2    2  (PESO DE LA VARIABLE) 1
09      2 4 6 5 0 7 5 4 2 0    1  (PREFERENCIAS DE SUBVARIABLES) 10
04      0 5 4 0 5 3 7 9 3 5    0  (NO. DE VARIABLES) 23
04      (NUMERO DE VARIABLES QUE INTERVIENEN EN EL MODELO) 11 23
01      (NUMERO DEL MODELO) 11 23
52      20  (TAMANO DE LA MATRIZ) 2 53
99999
52      0 0  (CONTORNO IRREGULAR) 2 53
*DATA
EXECUTE ATTRACTIVOM/IMGRID
JOB IMGRID : USER AA80/AA : CLASS 3 : BEGIN :

```

Figura . forma de ordenar su paquete de tarjetas para utilizar el programa ATRACTIVO/MGRID en el sistema B-6700 del CSC de la UNAM.

END JOB

39

(Tarjetas del programa MAPAS/INGRID ver capítulo VI)

LAEP
\$00000
52 0 0
IRREGULAR TITLE
DATA
FILE FILE40(TITLE-LAEP/ATTR10)
FILE FILE39(TITLE-LAEP/ATTR09)
FILE FILE38(TITLE-LAEP/ATTR08)
FILE FILE37(TITLE-LAEP/ATTR07)
FILE FILE36(TITLE-LAEP/ATTR06)
FILE FILE35(TITLE-LAEP/ATTR05)
FILE FILE34(TITLE-LAEP/ATTR04)
FILE FILE33(TITLE-LAEP/ATTR03)
FILE FILE32(TITLE-LAEP/ATTR02)
FILE FILE31(TITLE-LAEP/ATTR01)
EXECUTE MAPASKINGRID
SUB-IMGRIBB-USER-AABUZAA;CLASS 34-BEGINIT

Gestão de Serviços da Smed/SC

--Figura 6.--Forma de obtener los mapas de los "modelos de atractividad" con el programa MAPAS/INGRID. Este ejemplo muestra la manera de obtener 10 mapas {FILE31,...,40} a partir de los archivos {LAEP/ATTR01,...,10} que fueron generados por el programa ATRACTIVO/INGRID.

*** MODELO DE ATRACTIVIDAD NUMERO 1 ***

LOS INDICES DE ATRACTIVIDAD SON PUESTOS EN EL ARCHIVO EN DISCOLAB/ATTR 1
 EL NUMERO DE VARIABLES EN EL MODELO ES 4

ESTAS SON LAS TABLAS DE LA HOJA DE CODIFICACION USADA EN EL MODELO

10	0 0 0 6 3 7 9 0 0 0	2
6	0 0 0 6 6 9 0 9 0 0	2
9	0 0 9 7 4 6 5 0 0 0	2
2	0 0 0 9 0 6 0 5 0 0	1

TITULO DEL FICHERO:

MODELO DE ATRACTIVIDAD 1: ACTIVIDADES DE EXPEDIENTES

AREA DE ESTUDIO: MATERIALES DE EXPEDIENTES

LABORATORIO DE PLANIFICACION INDUSTRIAL

OPCIONES USADAS PARA ESTE FICHERO

1. EL TAMAÑO DE LA PALLA ES 52, LOS LINES Y LOS COLUMNA
 SE SEPARAN CON DOS SPACES, LOS CARACTERES SON SPATIOS VERTICALES
 Y 11 CARACTERES EN LA LINEA HORIZONTAL

7. LOS SIGNOS DE PUNTO Y COMA

10. EL TAMAÑO DEL AREA DE LOS DATOS
 VARIABLES SON USADAS EN EL MODELO

TIPO	DESCRIPCION	PESO
10	VISTAS	2
6	ZONAS LLANAS	2
9	FLUJOS DE AGUA	2
2	PERCENTAJE DE PREDOMINIO	1

13. LA SUMA TOTAL DE LA PALLA COMIENZA EN 1 52

14. SE SUPONE QUE LOS DATOS ESTAN FRESCALADOS

ACTIVIDADES DE ESPARCIMIENTO

032
051
C50
049
048
047
046
045
044
043
042
041
040
039
038
037
036
035
034

AREA DE ESTUDIO VALLE DEL PACIFICO

032
040
039
038
037
036
035
034

LARGATIJAS DE EL ALFARITO

033
032
031
030
029
028
027
026
025
024
023
022
021
020
019
018

VARIABLES USADAS EN EL MODELO

	1	2	3	4	5	6	7	8	9
1	INCUMBRIR	016	017	016	017	016	017	016	017
10	VISTAS	015	014	015	014	015	014	015	014
6	ZONAS SECASTAS	013	013	013	013	013	013	013	013
9	EL AGUA	012	012	012	012	012	012	012	012
2	PERCENTAJE DE PENDIENTE	011	011	011	011	011	011	011	011
		006	006	006	006	006	006	006	006
		005	005	005	005	005	005	005	005
		004	004	004	004	004	004	004	004
		003	003	003	003	003	003	003	003
		002	002	002	002	002	002	002	002
		001	001	001	001	001	001	001	001

000000000000000
000000001111111

1234567890123456

NIVELES	0	1	2	3	4	5	6	7	8	9
---------	---	---	---	---	---	---	---	---	---	---

SIMBOLOS	0	1	2	3	4	5	6	7	8	9
----------	---	---	---	---	---	---	---	---	---	---

FRECUENCIA	420	13	101	54	64	82	33	16	8	1
------------	-----	----	-----	----	----	----	----	----	---	---

*** MODELO DE ATRACTIVIDAD NUMERO 2 ***

LOS INGRESOS DE ATRACTIVIDAD SON PUESTOS EN EL APC-IVD EN DISCOLAF/ATTR 2
EL NUMERO DE VARIABLES EN EL MODELO ES 4

ESTAS SON LAS TARJETAS DE LA HOJA DE CODIFICACION USADAS EN EL MODELO:

2	C C C 9 2 0 0 0	2
5	C C C 7 4 6 0 5 0	1
6	C 0 3 C C 6 0 9 0	1
F	C 9 C 9 C 9 0 0 0	1

TITULO DEL MODELO

MODELO DE ATRACTIVIDAD 2: ESTACIONAMIENTOS

AREA DE ESTUDIO: VALLE DEL RACIPIO

LAROPATRON: PLANEACION URGENTE

OPCIONES DISPONIBLES PARA ESTIMACIONES

10 EL TEXTO DEL DATO ES

variables dato-susana en el modelo

Nº	DETALLE	DESC
3	PORCENTAJE DE VEHICULOS	2
5	PERCENTAJE DENSIDAD DE ANGULOS	1
6	20% LAS LLANAS	1
8	SIERRAS	1

MODIFICATIONS CONTRACTIVE INDEX & 21

0000000000000000
0000000000000000
1234567890123456

ESTACACIONAMENTOS

0000000000000000
0000000000000000
1234567890123456

PIVOTLES	0	1	2	3	4	5	6	7	8	9
STABILUS	+	*	*	*	*	*	*	*	*	*
TRITOMERIA	619	59	123	35	74	16	66	11	7	1

-MODELO DE ATRACTIVIDAD-

LOS INDICES DE ATRACTIVIDAD SON PUESTOS EN EL ARCHIVO EN DISCOLAB/ATTR 3
EL NUMERO DE VARIABLES EN EL MODELO ES 4

ESTAS SON LAS TARJETAS DE LA HOJA DE CODIFICACION USADA EN EL MODELO:

P	0 0 0 9 0 7 0 0 0 0	1
S	0 0 0 6 8 9 0 7 0 0	1
E	0 0 0 0 9 9 0 7 0 0	1
Z	0 0 9 0 9 0 0 0 0 0	1

TITULO DEL MAPA

MODELO DE ATRACTIVIDAD #3: ESTRUCTURAS

AREA DE ESTUDIO: VALLE DEL PACIFICO

LABORATORIO DE PLANEACION URBANA

Opciones usadas para este mapa

10. EL TEXTO DEL MAPA ES: VARIABLES DATO USADAS EN EL MODELO

NO	NOMBRE	PESO
2	BUDGETO DE PREDICION	1
2	BUDGETO DENSIDAD DE APART.	1
6	ZONAS ALTAZAS	1
7	ACCIDENTES GEOLÓGICOS	1

ESTRUCTURAS

052 ----- X ----- 052
 051 ----- X ----- 051
 050 ----- 0 ----- 050
 049 ----- X,0 ----- 049
 048 ----- 000 ----- 048
 047 ----- 0 ----- 047
 046 ----- 0 ----- 046
 045 ----- X ----- 045
 044 ----- XXXX0 ----- 044
 043 ----- 0,XY ----- 043
 042 ----- 0000XXX ----- 042
 041 ----- 00XX,XY ----- 041
 040 ----- 00XX,X ----- 040
 039 ----- 00XX,XX ----- 039
 038 ----- 0XXY,XX ----- 038
 037 ----- 00XY, ----- 037
 036 ----- 00XX,XX ----- 036
 035 ----- 0XXX, ----- 035
 034 ----- 0CY, ----- 034
 033 ----- 000CY ----- 033
 032 ----- 0000000000 ----- 032
 031 ----- X0000000000 ----- 031
 030 ----- 0000000000 ----- 030
 029 ----- 0000000000 ----- 029
 028 ----- 0000000000 ----- 028
 027 ----- X0000000000 ----- 027
 026 ----- 0000000000 ----- 026
 025 ----- X0000000000 ----- 025
 024 ----- 0000000000 ----- 024
 023 ----- 0000000000 ----- 023
 022 ----- 0000000000 ----- 022
 021 ----- 0000000000 ----- 021
 020 ----- 0000000000 ----- 020
 019 ----- 0000000000 ----- 019
 018 ----- 0000000000 ----- 018
 017 ----- 0000000000 ----- 017
 016 ----- 0000000000 ----- 016
 015 ----- 0000000000 ----- 015
 014 ----- 0000000000 ----- 014
 013 ----- 0000000000 ----- 013
 012 ----- 0000000000 ----- 012
 011 ----- 0000000000 ----- 011
 010 ----- 0000000000 ----- 010
 009 ----- 0000000000 ----- 009
 008 ----- 0000000000 ----- 008
 007 ----- 0000000000 ----- 007
 006 ----- 0000000000 ----- 006
 005 ----- 0000000000 ----- 005
 004 ----- 0000000000 ----- 004
 003 ----- 0000000000 ----- 003
 002 ----- 0000000000 ----- 002
 001 ----- 0000000000 ----- 001

VARIABLES DATOS SACADOS EN EL HOGLIO

NO	ENCUENTRO	PESO
2	PERCIENTO DE HUMEDAD	1
3	PERCIENTO DENSIDAD DE ARROLES	1
6	ZONAS LLUVIAS	1
7	ACCIDENTES GEOLÓGICOS	1

NIVELES	0	1	2	3	4	5	6	7	8	9
STRUCTURAS	0	1	2	3	4	5	6	7	8	9
FRECUENCIA	921	0	159	0	103	84	37	15	6	2

*** MODELO DE ATRACTIVIDAD NÚMERO 4 ***

LOS ÍNDICES DE ATRACTIVIDAD SON PUESTOS EN EL ARCHIVO EN DISCOLAES/ATTR 4
 EL NÚMERO DE VARIABLES EN EL MODELO ES 2

ESTAS SON LAS TARJETAS DE LA HOJA DE CODIFICACIÓN USADA PARA EL MODELO:

2	0 0 0 9 0 5 0 0 0 0	1
9	0 0 0 2 5 9 0 0 0 0	1

TÍTULO DEL MAPA

MÓDULO DE ATRACTIVIDAD 4 CABALLERIZAS

ÁREA DE ESTUDIO ---VALLE DE LA PACIFICO---

LABORATORIO DE PLANEACIÓN UPRAMA

Opciones usadas para este mapa

10 EL TEXTO DEL MAPA ES -----
 VALORES DE DATO USADOS EN EL MODELO

Nº	NOMBRE	PESO
----	--------	------

2	PROCENTAJE DE POCIENTE	2
---	------------------------	---

9	PROXIMIDAD AL AGUA	1
---	--------------------	---

MODIFICATIONS AT PRACTICAL & 4%

2236087-20123-56

۱۷

©/F&L&R12345

AREA OF EXPANSION - VALLEJO PACIFIC

LABORATORIUM DE LASCALES (Barcelona)

VARIABLES DE PATRÓN USADAS EN EL MODELO

THE NATURE

**3. PROPORCIÓN DE HENDIESTE
PROXIMAMENTE AL AGUA**

PES

2
1

LEVELS	2	1	4	3	4	5	6	7	8	9
SIMULUS	+	+	+	XXXXXX	000000	RRRRRR	PPPPPP	TTTTTT	VVVVVV	MMMMMM
FREQUENCY	517	94	0	81	11	107	195	26	0	6

*** MODELO DE ATRACTIVIDAD NÚMERO 5***

COSTOS INDICES DE ATTRACTIVIDAD SON LOS ESTOS EN EL ARCHIVO ESTOS SON LOS ATRATIVOS
EL NÚMERO DE VARIABLES EN EL MODELO ES 6

ESTAS SON LAS TARJETAS DE LA HOJA DE CODIFICACION USADA EN EL ARCHIVO :

2	0 0 0 9 0 3 0 0 0 0	2
5	0 0 0 6 5 0 0 0 0 0	2
6	0 0 0 0 0 9 0 9 0 0	2
4	0 0 0 0 6 9 0 0 0 0	1
9	0 0 0 7 9 7 3 0 0 0 0	1
1	0 0 0 5 0 0 0 5 0 0	1

TÍTULO DEL MAPA

MODELO DE ATRACTIVIDAD ESTACIONARIO PARA LOS VILLOS

ÁREA DE ESTUDIO VALLE DEL PAZ DIAZO

LABORATORIO DE ESTADÍSTICA MURAZA

OPCIONES DE ESTIMACIONES DEL MAPA

10 EL TEXTO DEL MAPA ES:

VARIABLES USADAS EN EL MODELO

Nº	NOMBRE	PESO
2	PORCENTAJE DE PREDICCIÓN	2
3	PORCENTAJE CENSUS DE ARRELES	2
4	ZONAS LLANAS	1
5	YACIMIENTOS PER 2014	1
6	PROYECTO DAL AGUA	1
7	LOSOS DEL SUELO ACTUALES	1

MODELO DE SENSIBILIDAD #15:

0000000000000000
0000000011111111
1234567890123456

ESTACIONAMIENTO PARA TRAILERS

052 - X 052
051 - X 051
050 - X 050
049 - X 049
048 - X 048
047 - X 047
046 - X 046
045 - X 045
044 - X 044
043 - X 043
042 - X 042
041 - X 041
040 - X 040
039 - X 039
038 - X 038
037 - X 037
036 - X 036
035 - X 035
034 - X 034
033 - X 033
032 - X 032
031 - X 031
030 - X 030
029 - X 029
028 - X 028
027 - X 027
026 - X 026
025 - X 025
024 - X 024
023 - X 023
022 - X 022
021 - X 021
020 - X 020
019 - X 019
018 - X 018
017 - X 017
016 - X 016
015 - X 015
014 - X 014
013 - X 013
012 - X 012
011 - X 011
010 - X 010
009 - X 009
008 - X 008
007 - X 007
006 - X 006
005 - X 005
004 - X 004
003 - X 003
002 - X 002
001 - X 001

0000000000000000
0000000011111111
1234567890123456

RIASERES DATA USADAS EN EL MODELO

| 0 | 1 | 2 | 3 | 4 | 5 | 6 | 7 | 8 | 9 | 10 | 11 | 12 | 13 | 14 | 15 | 16 | 17 | 18 | 19 | 20 | 21 | 22 | 23 | 24 | 25 | 26 | 27 | 28 | 29 | 30 | 31 | 32 | 33 | 34 | 35 | 36 | 37 | 38 | 39 | 40 | 41 | 42 | 43 | 44 | 45 | 46 | 47 | 48 | 49 | 50 | 51 | 52 | 53 | 54 | 55 | 56 | 57 | 58 | 59 | 60 | 61 | 62 | 63 | 64 | 65 | 66 | 67 | 68 | 69 | 70 | 71 | 72 | 73 | 74 | 75 | 76 | 77 | 78 | 79 | 80 | 81 | 82 | 83 | 84 | 85 | 86 | 87 | 88 | 89 | 90 | 91 | 92 | 93 | 94 | 95 | 96 | 97 | 98 | 99 | 100 | 101 | 102 | 103 | 104 | 105 | 106 | 107 | 108 | 109 | 110 | 111 | 112 | 113 | 114 | 115 | 116 | 117 | 118 | 119 | 120 | 121 | 122 | 123 | 124 | 125 | 126 | 127 | 128 | 129 | 130 | 131 | 132 | 133 | 134 | 135 | 136 | 137 | 138 | 139 | 140 | 141 | 142 | 143 | 144 | 145 | 146 | 147 | 148 | 149 | 150 | 151 | 152 | 153 | 154 | 155 | 156 | 157 | 158 | 159 | 160 | 161 | 162 | 163 | 164 | 165 | 166 | 167 | 168 | 169 | 170 | 171 | 172 | 173 | 174 | 175 | 176 | 177 | 178 | 179 | 180 | 181 | 182 | 183 | 184 | 185 | 186 | 187 | 188 | 189 | 190 | 191 | 192 | 193 | 194 | 195 | 196 | 197 | 198 | 199 | 200 | 201 | 202 | 203 | 204 | 205 | 206 | 207 | 208 | 209 | 210 | 211 | 212 | 213 | 214 | 215 | 216 | 217 | 218 | 219 | 220 | 221 | 222 | 223 | 224 | 225 | 226 | 227 | 228 | 229 | 230 | 231 | 232 | 233 | 234 | 235 | 236 | 237 | 238 | 239 | 240 | 241 | 242 | 243 | 244 | 245 | 246 | 247 | 248 | 249 | 250 | 251 | 252 | 253 | 254 | 255 | 256 | 257 | 258 | 259 | 260 | 261 | 262 | 263 | 264 | 265 | 266 | 267 | 268 | 269 | 270 | 271 | 272 | 273 | 274 | 275 | 276 | 277 | 278 | 279 | 280 | 281 | 282 | 283 | 284 | 285 | 286 | 287 | 288 | 289 | 290 | 291 | 292 | 293 | 294 | 295 | 296 | 297 | 298 | 299 | 300 | 301 | 302 | 303 | 304 | 305 | 306 | 307 | 308 | 309 | 310 | 311 | 312 | 313 | 314 | 315 | 316 | 317 | 318 | 319 | 320 | 321 | 322 | 323 | 324 | 325 | 326 | 327 | 328 | 329 | 330 | 331 | 332 | 333 | 334 | 335 | 336 | 337 | 338 | 339 | 340 | 341 | 342 | 343 | 344 | 345 | 346 | 347 | 348 | 349 | 350 | 351 | 352 | 353 | 354 | 355 | 356 | 357 | 358 | 359 | 360 | 361 | 362 | 363 | 364 | 365 | 366 | 367 | 368 | 369 | 370 | 371 | 372 | 373 | 374 | 375 | 376 | 377 | 378 | 379 | 380 | 381 | 382 | 383 | 384 | 385 | 386 | 387 | 388 | 389 | 390 | 391 | 392 | 393 | 394 | 395 | 396 | 397 | 398 | 399 | 400 | 401 | 402 | 403 | 404 | 405 | 406 | 407 | 408 | 409 | 410 | 411 | 412 | 413 | 414 | 415 | 416 | 417 | 418 | 419 | 420 | 421 | 422 | 423 | 424 | 425 | 426 | 427 | 428 | 429 | 430 | 431 | 432 | 433 | 434 | 435 | 436 | 437 | 438 | 439 | 440 | 441 | 442 | 443 | 444 | 445 | 446 | 447 | 448 | 449 | 450 | 451 | 452 | 453 | 454 | 455 | 456 | 457 | 458 | 459 | 460 | 461 | 462 | 463 | 464 | 465 | 466 | 467 | 468 | 469 | 470 | 471 | 472 | 473 | 474 | 475 | 476 | 477 | 478 | 479 | 480 | 481 | 482 | 483 | 484 | 485 | 486 | 487 | 488 | 489 | 490 | 491 | 492 | 493 | 494 | 495 | 496 | 497 | 498 | 499 | 500 | 501 | 502 | 503 | 504 | 505 | 506 | 507 | 508 | 509 | 510 | 511 | 512 | 513 | 514 | 515 | 516 | 517 | 518 | 519 | 520 | 521 | 522 | 523 | 524 | 525 | 526 | 527 | 528 | 529 | 530 | 531 | 532 | 533 | 534 | 535 | 536 | 537 | 538 | 539 | 540 | 541 | 542 | 543 | 544 | 545 | 546 | 547 | 548 | 549 | 550 | 551 | 552 | 553 | 554 | 555 | 556 | 557 | 558 | 559 | 560 | 561 | 562 | 563 | 564 | 565 | 566 | 567 | 568 | 569 | 570 | 571 | 572 | 573 | 574 | 575 | 576 | 577 | 578 | 579 | 580 | 581 | 582 | 583 | 584 | 585 | 586 | 587 | 588 | 589 | 590 | 591 | 592 | 593 | 594 | 595 | 596 | 597 | 598 | 599 | 600 | 601 | 602 | 603 | 604 | 605 | 606 | 607 | 608 | 609 | 610 | 611 | 612 | 613 | 614 | 615 | 616 | 617 | 618 | 619 | 620 | 621 | 622 | 623 | 624 | 625 | 626 | 627 | 628 | 629 | 630 | 631 | 632 | 633 | 634 | 635 | 636 | 637 | 638 | 639 | 640 | 641 | 642 | 643 | 644 | 645 | 646 | 647 | 648 | 649 | 650 | 651 | 652 | 653 | 654 | 655 | 656 | 657 | 658 | 659 | 660 | 661 | 662 | 663 | 664 | 665 | 666 | 667 | 668 | 669 | 670 | 671 | 672 | 673 | 674 | 675 | 676 | 677 | 678 | 679 | 680 | 681 | 682 | 683 | 684 | 685 | 686 | 687 | 688 | 689 | 690 | 691 | 692 | 693 | 694 | 695 | 696 | 697 | 698 | 699 | 700 | 701 | 702 | 703 | 704 | 705 | 706 | 707 | 708 | 709 | 710 | 711 | 712 | 713 | 714 | 715 | 716 | 717 | 718 | 719 | 720 | 721 | 722 | 723 | 724 | 725 | 726 | 727 | 728 | 729 | 730 | 731 | 732 | 733 | 734 | 735 | 736 | 737 | 738 | 739 | 740 | 741 | 742 | 743 | 744 | 745 | 746 | 747 | 748 | 749 | 750 | 751 | 752 | 753 | 754 | 755 | 756 | 757 | 758 | 759 | 760 | 761 | 762 | 763 | 764 | 765 | 766 | 767 | 768 | 769 | 770 | 771 | 772 | 773 | 774 | 775 | 776 | 777 | 778 | 779 | 780 | 781 | 782 | 783 | 784 | 785 | 786 | 787 | 788 | 789 | 790 | 791 | 792 | 793 | 794 | 795 | 796 | 797 | 798 | 799 | 800 | 801 | 802 | 803 | 804 | 805 | 806 | 807 | 808 | 809 | 810 | 811 | 812 | 813 | 814 | 815 | 816 | 817 | 818 | 819 | 820 | 821 | 822 | 823 | 824 | 825 | 826 | 827 | 828 | 829 | 830 | 831 | 832 | 833 | 834 | 835 | 836 | 837 | 838 | 839 | 840 | 841 | 842 | 843 | 844 | 845 | 846 | 847 | 848 | 849 | 850 | 851 | 852 | 853 | 854 | 855 | 856 | 857 | 858 | 859 | 860 | 861 | 862 | 863 | 864 | 865 | 866 | 867 | 868 | 869 | 870 | 871 | 872 | 873 | 874 | 875 | 876 | 877 | 878 | 879 | 880 | 881 | 882 | 883 | 884 | 885 | 886 | 887 | 888 | 889 | 890 | 891 | 892 | 893 | 894 | 895 | 896 | 897 | 898 | 899 | 900 | 901 | 902 | 903 | 904 | 905 | 906 | 907 | 908 | 909 | 910 | 911 | 912 | 913 | 914 | 915 | 916 | 917 | 918 | 919 | 920 | 921 | 922 | 923 | 924 | 925 | 926 | 927 | 928 | 929 | 930 | 931 | 932 | 933 | 934 | 935 | 936 | 937 | 938 | 939 | 940 | 941 | 942 | 943 | 944 | 945 | 946 | 947 | 948 | 949 | 950 | 951 | 952 | 953 | 954 | 955 | 956 | 957 | 958 | 959 | 960 | 961 | 962 | 963 | 964 | 965 | 966 | 967 | 968 | 969 | 970 | 971 | 972 | 973 | 974 | 975 | 976 | 977 | 978 | 979 | 980 | 981 | 982 | 983 | 984 | 985 | 986 | 987 | 988 | 989 | 990 | 991 | 992 | 993 | 994 | 995 | 996 | 997 | 998 | 999 | 1000 | 1001 | 1002 | 1003 | 1004 | 1005 | 1006 | 1007 | 1008 | 1009 | 10010 | 10011 | 10012 | 10013 | 10014 | 10015 | 10016 | 10017 | 10018 | 10019 | 10020 | 10021 | 10022 | 10023 | 10024 | 10025 | 10026 | 10027 | 10028 | 10029 | 10030 | 10031 | 10032 | 10033 | 10034 | 10035 | 10036 | 10037 | 10038 | 10039 | 10040 | 10041 | 10042 | 10043 | 10044 | 10045 | 10046 | 10047 | 10048 | 10049 | 10050 | 10051 | 10052 | 10053 | 10054 | 10055 | 10056 | 10057 | 10058 | 10059 | 10060 | 10061 | 10062 | 10063 | 10064 | 10065 | 10066 | 10067 | 10068 | 10069 | 10070 | 10071 | 10072 | 10073 | 10074 | 10075 | 10076 | 10077 | 10078 | 10079 | 10080 | 10081 | 10082 | 10083 | 10084 | 10085 | 10086 | 10087 | 10088 | 10089 | 10090 | 10091 | 10092 | 10093 | 10094 | 10095 | 10096 | 10097 | 10098 | 10099 | 100100 | 100101 | 100102 | 100103 | 100104 | 100105 | 100106 | 100107 | 100108 | 100109 | 100110 | 100111 | 100112 | 100113 | 100114 | 100115 | 100116 | 100117 | 100118 | 100119 | 100120 | 100121 | 100122 | 100123 | 100124 | 100125 | 100126 | 100127 | 100128 | 100129 | 100130 | 100131 | 100132 | 100133 | 100134 | 100135 | 100136 | 100137 | 100138 | 100139 | 100140 | 100141 | 100142 | 100143 | 100144 | 100145 | 100146 | 100147 | 100148 | 100149 | 100150 | 100151 | 100152 | 100153 | 100154 | 100155 | 100156 | 100157 | 100158 | 100159 | 100160 | 100161 | 100162 | 100163 | 100164 | 100165 | 100166 | 100167 | 100168 | 100169 | 100170 | 100171 | 100172 | 100173 | 100174 | 100175 | 100176 | 100177 | 100178 | 100179 | 100180 | 100181 | 100182 | 100183 | 100184 | 100185 | 100186 | 100187 | 100188 | 100189 | 100190 | 100191 | 100192 | 100193 | 100194 | 100195 | 100196 | 100197 | 100198 | 100199 | 100200 | 100201 | 100202 | 100203 | 100204 | 100205 | 100206 | 100207 | 100208 | 100209 | 100210 | 100211 | 100212 | 100213 | 100214 | 100215 | 100216 | 100217 | 100218 | 100219 | 100220 | 100221 | 100222 | 100223 | 100224 | 100225 |<
| --- | --- | --- | --- | --- | --- | --- | --- | --- | --- | --- | --- | --- | --- | --- | --- | --- | --- | --- | --- | --- | --- | --- | --- | --- | --- | --- | --- | --- | --- | --- | --- | --- | --- | --- | --- | --- | --- | --- | --- | --- | --- | --- | --- | --- | --- | --- | --- | --- | --- | --- | --- | --- | --- | --- | --- | --- | --- | --- | --- | --- | --- | --- | --- | --- | --- | --- | --- | --- | --- | --- | --- | --- | --- | --- | --- | --- | --- | --- | --- | --- | --- | --- | --- | --- | --- | --- | --- | --- | --- | --- | --- | --- | --- | --- | --- | --- | --- | --- | --- | --- | --- | --- | --- | --- | --- | --- | --- | --- | --- | --- | --- | --- | --- | --- | --- | --- | --- | --- | --- | --- | --- | --- | --- | --- | --- | --- | --- | --- | --- | --- | --- | --- | --- | --- | --- | --- | --- | --- | --- | --- | --- | --- | --- | --- | --- | --- | --- | --- | --- | --- | --- | --- | --- | --- | --- | --- | --- | --- | --- | --- | --- | --- | --- | --- | --- | --- | --- | --- | --- | --- | --- | --- | --- | --- | --- | --- | --- | --- | --- | --- | --- | --- | --- | --- | --- | --- | --- | --- | --- | --- | --- | --- | --- | --- | --- | --- | --- | --- | --- | --- | --- | --- | --- | --- | --- | --- | --- | --- | --- | --- | --- | --- | --- | --- | --- | --- | --- | --- | --- | --- | --- | --- | --- | --- | --- | --- | --- | --- | --- | --- | --- | --- | --- | --- | --- | --- | --- | --- | --- | --- | --- | --- | --- | --- | --- | --- | --- | --- | --- | --- | --- | --- | --- | --- | --- | --- | --- | --- | --- | --- | --- | --- | --- | --- | --- | --- | --- | --- | --- | --- | --- | --- | --- | --- | --- | --- | --- | --- | --- | --- | --- | --- | --- | --- | --- | --- | --- | --- | --- | --- | --- | --- | --- | --- | --- | --- | --- | --- | --- | --- | --- | --- | --- | --- | --- | --- | --- | --- | --- | --- | --- | --- | --- | --- | --- | --- | --- | --- | --- | --- | --- | --- | --- | --- | --- | --- | --- | --- | --- | --- | --- | --- | --- | --- | --- | --- | --- | --- | --- | --- | --- | --- | --- | --- | --- | --- | --- | --- | --- | --- | --- | --- | --- | --- | --- | --- | --- | --- | --- | --- | --- | --- | --- | --- | --- | --- | --- | --- | --- | --- | --- | --- | --- | --- | --- | --- | --- | --- | --- | --- | --- | --- | --- | --- | --- | --- | --- | --- | --- | --- | --- | --- | --- | --- | --- | --- | --- | --- | --- | --- | --- | --- | --- | --- | --- | --- | --- | --- | --- | --- | --- | --- | --- | --- | --- | --- | --- | --- | --- | --- | --- | --- | --- | --- | --- | --- | --- | --- | --- | --- | --- | --- | --- | --- | --- | --- | --- | --- | --- | --- | --- | --- | --- | --- | --- | --- | --- | --- | --- | --- | --- | --- | --- | --- | --- | --- | --- | --- | --- | --- | --- | --- | --- | --- | --- | --- | --- | --- | --- | --- | --- | --- | --- | --- | --- | --- | --- | --- | --- | --- | --- | --- | --- | --- | --- | --- | --- | --- | --- | --- | --- | --- | --- | --- | --- | --- | --- | --- | --- | --- | --- | --- | --- | --- | --- | --- | --- | --- | --- | --- | --- | --- | --- | --- | --- | --- | --- | --- | --- | --- | --- | --- | --- | --- | --- | --- | --- | --- | --- | --- | --- | --- | --- | --- | --- | --- | --- | --- | --- | --- | --- | --- | --- | --- | --- | --- | --- | --- | --- | --- | --- | --- | --- | --- | --- | --- | --- | --- | --- | --- | --- | --- | --- | --- | --- | --- | --- | --- | --- | --- | --- | --- | --- | --- | --- | --- | --- | --- | --- | --- | --- | --- | --- | --- | --- | --- | --- | --- | --- | --- | --- | --- | --- | --- | --- | --- | --- | --- | --- | --- | --- | --- | --- | --- | --- | --- | --- | --- | --- | --- | --- | --- | --- | --- | --- | --- | --- | --- | --- | --- | --- | --- | --- | --- | --- | --- | --- | --- | --- | --- | --- | --- | --- | --- | --- | --- | --- | --- | --- | --- | --- | --- | --- | --- | --- | --- | --- | --- | --- | --- | --- | --- | --- | --- | --- | --- | --- | --- | --- | --- | --- | --- | --- | --- | --- | --- | --- | --- | --- | --- | --- | --- | --- | --- | --- | --- | --- | --- | --- | --- | --- | --- | --- | --- | --- | --- | --- | --- | --- | --- | --- | --- | --- | --- | --- | --- | --- | --- | --- | --- | --- | --- | --- | --- | --- | --- | --- | --- | --- | --- | --- | --- | --- | --- | --- | --- | --- | --- | --- | --- | --- | --- | --- | --- | --- | --- | --- | --- | --- | --- | --- | --- | --- | --- | --- | --- | --- | --- | --- | --- | --- | --- | --- | --- | --- | --- | --- | --- | --- | --- | --- | --- | --- | --- | --- | --- | --- | --- | --- | --- | --- | --- | --- | --- | --- | --- | --- | --- | --- | --- | --- | --- | --- | --- | --- | --- | --- | --- | --- | --- | --- | --- | --- | --- | --- | --- | --- | --- | --- | --- | --- | --- | --- | --- | --- | --- | --- | --- | --- | --- | --- | --- | --- | --- | --- | --- | --- | --- | --- | --- | --- | --- | --- | --- | --- | --- | --- | --- | --- | --- | --- | --- | --- | --- | --- | --- | --- | --- | --- | --- | --- | --- | --- | --- | --- | --- | --- | --- | --- | --- | --- | --- | --- | --- | --- | --- | --- | --- | --- | --- | --- | --- | --- | --- | --- | --- | --- | --- | --- | --- | --- | --- | --- | --- | --- | --- | --- | --- | --- | --- | --- | --- | --- | --- | --- | --- | --- | --- | --- | --- | --- | --- | --- | --- | --- | --- | --- | --- | --- | --- | --- | --- | --- | --- | --- | --- | --- | --- | --- | --- | --- | --- | --- | --- | --- | --- | --- | --- | --- | --- | --- | --- | --- | --- | --- | --- | --- | --- | --- | --- | --- | --- | --- | --- | --- | --- | --- | --- | --- | --- | --- | --- | --- | --- | --- | --- | --- | --- | --- | --- | --- | --- | --- | --- | --- | --- | --- | --- | --- | --- | --- | --- | --- | --- | --- | --- | --- | --- | --- | --- | --- | --- | --- | --- | --- | --- | --- | --- | --- | --- | --- | --- | --- | --- | --- | --- | --- | --- | --- | --- | --- | --- | --- | --- | --- | --- | --- | --- | --- | --- | --- | --- | --- | --- | --- | --- | --- | --- | --- | --- | --- | --- | --- | --- | --- | --- | --- | --- | --- | --- | --- | --- | --- | --- | --- | --- | --- | --- | --- | --- | --- | --- | --- | --- | --- | --- | --- | --- | --- | --- | --- | --- | --- | --- | --- | --- | --- | --- | --- | --- | --- | --- | --- | --- | --- | --- | --- | --- | --- | --- | --- | --- | --- | --- | --- | --- | --- | --- | --- | --- | --- | --- | --- | --- | --- | --- | --- | --- | --- | --- | --- | --- | --- | --- | --- | --- | --- | --- | --- | --- | --- | --- | --- | --- | --- | --- | --- | --- | --- | --- | --- | --- | --- | --- | --- | --- | --- | --- | --- | --- | --- | --- | --- | --- | --- | --- | --- | --- | --- | --- | --- | --- | --- | --- | --- | --- | --- | --- | --- | --- | --- | --- | --- | --- | --- | --- | --- | --- | --- | --- | --- | --- | --- | --- | --- | --- | --- | --- | --- | --- | --- | --- | --- | --- | --- | --- | --- | --- | --- | --- | --- | --- | --- | --- | --- | --- | --- | --- | --- | --- | --- | --- | --- | --- | --- | --- | --- | --- | --- | --- | --- | --- | --- | --- | --- | --- | --- | --- | --- | --- | --- | --- | --- | --- | --- | --- | --- | --- | --- | --- | --- | --- | --- | --- | --- | --- | --- | --- | --- | --- | --- | --- | --- | --- | --- | --- | --- | --- | --- | --- | --- | --- | --- | --- | --- | --- | --- | --- | --- | --- | --- | --- | --- | --- | --- |

*** MODELO DE ATRACTIVIDAD HUERPE ***

TUS INDICES DE ATRACTIVIDAD SON PUESTOS EN EL ARCHIVO EN DISCOLAGE/ATR 6
EL NUMERO DE VARIABLES EN EL MODELO ES 5

ESTAS SON LAS TARJETAS DE LA HOJA DE CODIFICACION USADA PARA EL MODELO:

2	C C C S C E C 4 0 0	2
6	C C C C C 9 0 8 0 0	2
5	C C C S 4 4 0 - 8 0 0	1
7	C - C 9 7 7 - 0 0 0 0 0	1
4	C C C C 2 9 0 C 0 0	1

TITULO DEL MAPA:

MODELO DE ATRACTIVIDAD HUERPE - CANTABRIA

AREA DE ESTUDIO: VALLE DEL RIO RIBAURDE

LABORATORIO DE PLACASILIN, BURGOS

OPCIONES DE LOS DATOS ESTIMADOS:

10 EL TIPO DE LAMPAES
CARACTERISTICAS UTILIZADAS EN EL MODELO

Nº	TIPO DE LAMPARA	PESO
2	SUFICIENTE DE PLACASILIN	2
6	ZONAS LLANAS	2
5	FACILIDAD DE DESPLAZAMIENTOS	1
4	PROXIMIDAD AL AGUA	1
8	VEGETACION POCO ZONA	1

MODÈLE ET ATTRACTION

1234567890123456
1234567890123456

SANTUARIA

52
5510
5559
555976
555976

AREA OF ESTUARY VALUE OF L. PACIFIC

123456789012345678

IV. MODELOS DE VULNERABILIDAD:

Mediante estos modelos es posible analizar los efectos probables que tendrán los usos del suelo propuestos sobre diferentes sistemas biológicos y físicos existentes en el área. Estos efectos se miden de acuerdo al grado de impacto negativo ó daño ambiental, jerarquizándolos en compatible, moderado, -severo y terminal. El método consiste principalmente en la asignación y combinación de sensitividades de las variables que intervienen en el modelo mediante el uso de matrices. - Para cada modelo deben realizarse los siguientes pasos:

1. ENLISTAR LAS VARIABLES DEL MODELO.

Por razones prácticas, sólo deben considerarse tres variables para describir un sistema. Estas deben ser enlistadas en orden de importancia decreciente: más importante, importante y menos importante. Por ejemplo, para el caso de Valle del Pacífico:

Nombre del modelo: EROSION

IMPORTANCIA	NUMERO	NOMBRE DE LA VARIABLE
más importante	2	Porcentaje Dependiente
importante	4	Tipo de vegetación
menos importante	8	Tipo de suelo

2. DIFERENCIAR LA SENSITIVIDAD DE LAS CATEGORIAS DE CADA VARIABLE.

Las categorías en que se subdivide cada variable, deben agruparse de acuerdo a su sensitividad al impacto considerado. -- Los grados de sensitividad en el modelo se asignan de la siguiente manera:

1 = Alta sensibilidad.

53

2 = Media.

3 = Baja.

En las hojas para codificar los modelos debe escribirse el número de cada categoría en la casilla correspondiente a su grado de sensitividad. Por ejemplo:

NOMBRE DE LA VARIABLE	SENSITIVIDAD DE LA CATEGORÍA		
	ALTA	MEDIA	BAJA
Porcentaje de pendiente	8,7	5	0,1,3,7
Tipo de vegetación	2	5	0,4,3,2
Tipo de suelo	4	8,6,2	0,1,3,5,7,9

A continuación, debe anotarse el grado de sensitividad 1, - 2 ó 3) de cada categoría en la columna correspondiente en una tabla como la siguiente:

NUMERO DE LA VARIABLE	NUMERO DE LA CATEGORIA									
	0	1	2	3	4	5	6	7	8	9
2	3	3		3		2		1	1	3
4	3		1	3	3	2				3
8	3	3	2	3	1	3	2	3	2	3

Los espacios dejados en blanco son debidos a que no existe una categoría con ese número en esa variable.

3. COMBINAR LAS SENSITIVIDADES DE LAS VARIABLES IMPORTANTE Y MENOS IMPORTANTE.

Se debe asignar un grado de sensitividad conjunta a cada una de las combinaciones posibles de sensitividades de las categorías de estas dos variables. La estimación de estos grados de sensitividad combinada se hace con la jerarquía:

1 = Alta sensitividad

1 = Alta sensibilidad

39

2 = Media

3 - Baja

Las asignaciones deben ser colocadas en una matriz como la siguiente:

SENSITIVIDAD DE LA VARIABLE "IMPORTANTE"

	ALTA	MEDIA	BAJA
ALTA	1	2	3
MEDIA	1	2	2
BAJA	1	1	3

4. AGRUPAR LOS USOS DEL SUELO.

Los usos del suelo considerados deben agruparse de acuerdo al grado de impacto potencial ocasionado por su construcción, mantenimiento y actividades de los usuarios. Estos impactos se clasifican como:

1 = Bajo

2 = Medio

3 = Alto

El número del grupo al que pertenece cada uso del suelo considerado en el proyecto, debe ser anotado en una tabla como la siguiente:

NUMERO DE USO DEL SUELO

1	2	3	4	5	6	7	8	9	10	...	20
1	2	2	3	3	1	3	2

5. DETERMINAR LA VULNERABILIDAD DEL SISTEMA.

Debe asignarse un índice de vulnerabilidad (grado de impacto negativo: daño ambiental del sistema con respecto al impacto considerado, para todas las combinaciones posibles de los grados de la sensibilidad obtenidos en el paso 3 con los grados de sensibilidad de la variable más importante. - Los índices de vulnerabilidad corresponden a las siguientes categorías:

- 1 = Comparable
- 2 = Moderado
- 3 = Severo
- 4 = Terminal

Debe hacerse un análisis por separado para cada uno de los grupos de usos del suelo. Las asignaciones deben colocarse en forma matricial como se ilustra a continuación:

a. Grupo 1 de los usos del suelo.

**SENSITIVIDAD DE LA VARIABLE
"MAS IMPORTANTE"**

SENSITIVIDAD COMBINADA DE LAS VARIABLES "IMPORTANTE" Y "MENOS IMPORTANTE"

	ALTA	MEDIA	BAJA
	ALTA	3	2
MEDIA	2	1	1
BAJA	2	1	1

b. Grupo 2 de usos del suelo.

**SENSITIVIDAD DE LA VARIABLE
"MAS IMPORTANTE"**

SENSITIVIDAD COMBINADA DE LAS VARIABLES "IMPORTANTE" Y "MENOS IMPORTANTE"

	ALTA	MEDIA	BAJA
	ALTA	4	3
MEDIA	3	2	1
BAJA	3	2	1

SENSITIVIDAD DE LA VARIABLE
"MAS IMPORTANTE"

SENSITIVIDAD COMBINADA DE LAS VARIABLES "IMPORTANTE" Y "MENOS IMPORTANTE"

	ALTA	MEDIA	BAJA
ALTA	4	3	2
MEDIA	3	3	2
BAJA	3	2	1

6. CODIFICACION DEL MODELO.

Para cada modelo se deben perforar las siguientes tarjetas:

1a. tarjeta:

Col. 1-2 Número del modelo. Perforado como entero -- justificado a la derecha.

2a. tarjeta:

Col. 1-9 LAEP/IMPT para indicar que se crea un archivo de impactos.

Col. 10-11 Número del modelo. Perforado como entero -- justificado a la derecha.

Col. 12 . Para indicar que termina el nombre del archivo.

3a. tarjeta:

Col. 1-3 Número de la variable más importante.

Col. 4-6 Número de la variable importante.

Col. 7-9 Número de la variable menos importante.
Perforados como enteros y justificados a la derecha.

4a. tarjeta:

Col. 2, 4, 6 Valores de sensitividad de las categorías de
8, 10, 12 la variable más importante, asignados en el
14, 16, 18 paso 2.
20.

5a. tarjeta: Lo mismo que la 4a. tarjeta para la variable importante.

6a. tarjeta: Lo mismo que la 4a. tarjeta para la variable menos importante.

7a. tarjeta:

Col. 2, 4, 6 Grados de sensitividad conjunta de las variables importante y menos importante. (matriz 8, 10, 12 14, 16, 18 del paso 3)*.

8a. tarjeta:

Col. 2, 4, 6 Grados de impacto negativo (vulnerabilidad).- 8, 10, 12 para el primer grupo de usos del suelo. (la. 14, 16, 18 matriz del paso 5)*.

9a. tarjeta: Lo mismo que la 8a. tarjeta para el segundo grupo de usos del suelo. (2a. matriz del paso 5)*.

10a. tarjeta: Lo mismo que la 8a. tarjeta para el tercer grupo de usos del suelo. (3a. matriz del paso 5)*.

11a. tarjeta:

Col. 2, 4; 6 Número de grupo de usos del suelo al que pertenece cada uno de los usos considerados en el estudio (paso 4). Se deben utilizar solamente el número de columnas necesarias para registrar la clasificación de todos los usos. El programa permite como máximo 30 usos diferentes.

Un ejemplo de hoja de codificación se ilustra en la figura

7. CREACION DE ARCHIVOS DE VULNERABILIDAD.

Para almacenar un disco magnético los índices de vulnerabilidad calculados por el modelo para cada una de las celdillas del área de estudio, debe alimentarse el programa IMPACTO/GRID con la información codificada en el paso 4 para cada uno de los modelos que se deseen correr.

Los índices de vulnerabilidad calculados por cada modelo para cada celdilla, corresponden a la siguiente jerarquía:

0 = Los tres grupos, COMPATIBLE.

1 = Grupo 2, MODERADO.

2 = Grupo 3, MODERADO; Grupo 2, MODERADO.

* Las matrices deben ser codificadas empezando por la primera columna y de arriba hacia abajo, continuando hasta registrar las nueve casillas.

- 3 = Los tres grupos. MODERADO.
4 = Grupo 3. SEVERO.
5 = Grupo 3. SEVERO; Grupo 2. SEVERO.
6 = Los tres grupos. SEVERO.
7 = Grupo 3. TERMINAL.
8 = Grupo 3. TERMINAL; Grupo 7, TERMINAL.
9 = Los tres grupos, TERMINAL.

58

En el sistema UNAM/B-6700, esta información debe ir precedida por tres tarjetas de control y la especificación del contorno del área de estudio (ver capítulo II, paso 3). Despues de -- las tarjetas del último modelo, debe colocarse una tarjeta de control final para la terminación del trabajo. La forma de -- preparar el paquete de datos se ilustra en la figura

8. MAPEAR LOS RESULTADOS.

Mediante el programa MAPAS/IMGIRD se debe hacer un mapa que muestre el valor que tiene el indice de vulnerabilidad en las celdillas del area de estudio, para cada uno de los modelos - corridos.

La forma de producir los mapas está explicada en el capítulo- IV. La opción 10 de texto explicativo en cada mapa debe tener la clave de jerarquización de impactos enlistada en el- paso 7.

PAQUETE INGRID

Programa IMPACTO/INGRID

Co

HOJA DE CODIFICACION PARA LOS MODELOS DE IMPACTO

Nombre del modelo: _____

Tarjeta 1.- Número del modelo formato (I2): _____

Tarjeta 2.- Nombre del modelo: LAEP/IMPACT, ..., LAEP/IMPACT3.

Tarjeta 3.- Número de las variables dato (3I3): _____
cols. 3 6 9

Encontrar los valores de sensibilidad, para cada una de las subvariables de las 3 variables que intervienen en el modelo, de acuerdo a la siguiente escala:

Subvariable más sensible = 1 = A

Subvariable mediana = 2 = B

Subvariable menos sensible = 3 = C

Subvariables

más importante  menos importante	no. de variable	Variable	más sensible	Subvariables		
				A	B	C

cols.- 2 4 6 8 10 12 14 16 18 20

Tarjeta 4.- _____ Variable 1

Tarjeta 5.- _____ Variable 2

Tarjeta 6.- _____ Variable 3

Reducir las variables 2 y 3 comparando entre sí sus grados de sensibilidad para obtener la matriz (3,3) de sensibilidades combinadas.

Variable 2

C	A B C		
	A		
Variable 3	B		
C	C		

Valores de:

X= MÁS sensible = 1

Y= Mediana = 2

Z= MENOS sensible = 3

Tarjeta 7.- Valores de la matriz de sensibilidades combinadas (3x3).

Encontrar la matriz de impactos para cada grupo de usos del suelo, estos valores de impactos se obtienen a partir de la combinación - de sensitividades de la matriz de sensitividades combinadas de las variables 2 y 3 con las sensitividades de la variable 1.

Variable 1		
A	B	C
X		
Y		
Z		

Uso del suelo

	A	B	C
X			-
Y			-
Z			-

Uso del suelo

Variable 3		
A	B	C
X		
Y		
Z		

Uso del suelo

Asignación de grupos de usos del suelo

Uso del suelo 1, 2, 3, 4, 5, 6, 7, 8, 9, 10, 11, 12, 13, 14, 15, 16, 17, 18, 19

Gupto

La matriz de impactos tiene tres niveles de impacto por grupo de usos del suelo.

Asignando valores de C - Impacto Compatible

M- Inspeção Hidráulica

S- Impact Severe

T- Impacto Técnico

— + + + + —

Tarjeta 8.- Valores de la matriz de impactos (I.S. Grupo 1 (7-1-2))

Tarjeta 9.- Valores de la matriz de impactos t.s. grupo II (9 1 2).

Tarjeta10.- Valores de la matriz de impactos U.S. propuesta (V 1.2)

Figura 7.- Hojas de codificación para el programa Impacte/INGRID.

TITLE SHEET

MODELO DE IMPACTO N° 13 CPOB104
ÁREA DE ESTUDIO VALLE DEL PACÍFICO
LABORATORIO DE PLANEACIÓN UTA

OPCIONES USADAS PARA ESTE MAPA

- 1 EL TABLA DE LA MALLA ES 52 DE 640x60 X 10 CELULAS
2 EL TABLA DE LA CRUZADA ES 1 CELULA EN EL CENTRO Y 10 CELULAS
3 LAS FILAS SON 100
4 ***+XXXXXXXXXXXXXX
5 /****
6 +y
7
8
9
10 EL TEXTO DEL MAPA ES ~~XXXXXXXXXX~~
11 VARIABLES DATOS USADAS EN EL MODELO
12
13 S PORCENTAJE DE PREDICIOS
14 S VEGETACION POR ZONA
15 S SUELOS POR TIPO
16
17 LA SUMERACION DE LA MALLA COMIENZA EN 1 50
18 SE SUPONE QUE LOS DATOS ESTAN DESCALIBRADOS

LEGENDA: EL SIMBOLO MAS OSCURO CORRESPONDE AL IMPACTO MAXIMO Y LOS VALORES DEL IMPACTO PARA LOS 3 GRUPOS DEL USH DEL SUELO SON:

- LOS TRES GRUPOS DE US COMPATIBLES
 GRUPO DE US 111 SEVERO
 GRUPO DE US 111 SEVERO, GRUPO 11 TROPICAL
 LOS TRES GRUPOS DE US INCOMPATIBLES
 GRUPO DE US 111 SEVERO
 GRUPO DE US 111 SEVERO, GRUPO 11 SEVERO
 LOS TRES GRUPOS DE US SEVERO
 GRUPO DE US 111 TROPICAL
 GRUPO DE US 111 TROPICAL, GRUPO 11 TROPICAL
 LOS TRES GRUPOS DE US TROPICAL

MODELO DE IMPACTO # 11 EPOCICO

REA DE ESTUDIO VALLE DEL PACIFICO

LABORATORIO DE PLANEACION URBANA

VARIABLES DATO USADAS EN EL MODELO

2. PORCENTAJE DE DESARROLLO
 3. VEGETACION POR ZONA
 4. SUELOS POR TIPO

LEGENDA: EL SIMBOLO MAS OSCURO
 CORRESPONDE AL IMPACTO MAYORLOS VALORES DEL IMPACTO PARA LOS
 3 GRUPOS DEL USO DEL SUELTO SON:

LOS TRES GRUPOS DE USO COMUNICATOS

- GRUPO DE US. 111. MONTAÑAS
 GRUPO DE US. 111. MONTAÑAS, GRUPO 11. MONTAÑAS
 SISTEMAS GRUPOS DE US. MONTAÑAS
 GRUPO DE US. 111. SEVERO
 GRUPO DE US. 111. SEVERO, GRUPO 11. SEVERO
 LOS TRES GRUPOS DE US. SEVERO
 GRUPO DE US. 111. TERMINAL
 GRUPO DE US. 111. TERMINAL, GRUPO 11. TERMINAL
 LOS TRES GRUPOS DE US. TERMINAL

USO DEL SUELTO 1 USO DEL SUELTO 11

- ACTIVIDADES DE EDIFIC.
 CASIADA

USO DEL SUELTO 111
 SERVICIOS INF. TURISTICA
 CASIADA
 ESTACIONES FERROCARRILES

052 0000
 051 00
 050 00000
 049 0000
 048 0000
 047 0000
 046 0000
 045 00000
 044 0000
 043 0000
 042 0000
 041 0000
 040 0000
 039 0000
 038 0000
 037 0000
 036 0000
 035 0000
 034 0000
 033 0000
 032 0000
 031 0000
 030 0000
 029 0000
 028 0000
 027 0000
 026 0000
 025 0000
 024 0000
 023 0000
 022 0000
 021 0000
 020 0000
 019 0000
 018 0000
 017 0000
 016 0000
 015 0000
 014 0000
 013 0000
 012 0000
 011 0000
 010 0000
 009 0000
 008 00000000
 007 00000000
 006 00000000
 005 00000000
 004 00000000
 003 00000000
 002 00000000
 001 00000000

0000000000000000
 0000000000000000
 1234567890123456

NIVELES 0 1 2 3 4 5

***** ***** ***** ***** ***** *****

TIPOS ***** ***** ***** ***** ***** *****

***** ***** ***** ***** ***** *****

FRECUENCIA 500 1 60 200 200

TITULO DEL MAPA

MODELO DE IMPACTO 9-2: CAMBIO EN LA VISUALIDAD
 AREA DE ESTUDIO VALLE DEL PACIFICO
 LABORATORIO DE PLANEACION UGRADA

Opciones usadas para este mapa

10 EL TEXTO DEL MAPA ES ~~VARIABLES SATO USADAS EN EL MODELO~~

- 4 VEGETACION SECA ARIA
- 5 POCILIENTO DE AGUA DE AREAL
- 2 POCILIENTO DE AGUA Y ALTA

LEGENDA: EL SIMBOLO MAS OSCURO CORRESPONDE AL IMPACTO MAYOR
 LOS VALORES DEL IMPACTO PARA LOS 3 GRUPOS DEL USO DEL SUELO SON:

- 0 LOS TRES GRUPOS DE USOS COMBINADOS
- 1 GRUPO DE US 111 MUY FUERTE
- 2 GRUPO DE US 111 FUERTE, GRUPO 11 MUY FUERTE
- 3 LOS TRES GRUPOS DE US MUY FUERTE
- 4 GRUPO DE US 111 FUERTE
- 5 GRUPO DE US 111 SEVERO, GRUPO 11 SEVERO
- 6 LOS TRES GRUPOS DE US SEVERO
- 7 GRUPO DE US 111 FUERTE
- 8 GRUPO DE US 111 FUERTE, GRUPO 11 FUERTE
- 9 LOS TRES GRUPOS DE US FUERTE

USO DEL SUELO 1

ACTIVIDADES DE ESPACIO: ESTRUCTURAS
 CANTILLANAS CABALLERIZAS

USO DEL SUELO 11

ESTRUCTURAS
 VIAL

USO DEL SUELO 111

ESTRUCTURAS
 CANTILLANAS
 ESTUCHE MATERIALES

CAMBIO EN LA VISUALIZACION

052
051
020
029
048
047
046
045
044
043
042
041
040
039
038
037
036
035
034
033
032
031
030
029
028
027
026
025
024
023
022
021
020
019
018
017
016
015
014
013
012
011
010
009
008
007
006
005
004
003
002
001

AREA DE ESTUDIO VALLE DEL PACIFICO

LABORATORIO DE PLANEACION UPRADA

"APLICABLES DADO USADAS EN EL SUELO"

- 4 VEGETACION POR ZONEA
3 SUPERFICIE FAVORABLE AL USO
2 FRECUENCIA DE PREDOMINIO

LEGENDA: EL SIMBOLO MAS FRECUENTE CORRESPONDE AL IMPACTO MAYOR

LOS VALORES DEL IMPACTO PARA LOS 3 GRUPOS DEL USO DEL SUELO SON:

6 LOS TRES GRUPOS DE USO COMPATIBLES
1 GRUPO DE US 111 COBERTURA
2 GRUPO DE US 111 COBERTURA, GRUPO 11 COBERTURA
3 LOS TRES GRUPOS DE US INCOMPATIBLES
4 GRUPO DE US 111 SEVERO
5 GRUPO DE US 111 SEVERO, GRUPO 11 SEVERO
6 LOS TRES GRUPOS DE US SEVERO
7 GRUPO DE US 111 TERMINAL
8 GRUPO DE US 111 TERMINAL, GRUPO 11 TERMINAL
9 LOS TRES GRUPOS DE US TERMINAL

USO DEL SUELO 11
ESTRUCTURAS
VIS
USO DEL SUELO 11
ESTRUCTURAS
VIS
USO DEL SUELO 11
ESTACIONAMIENTOS
CAMIOS
ESTAC, / TRAILERS

NIVELES	1	2	3	4	5	6	7
SIMBOLOGIA	=====	=====	=====	=====	=====	=====	=====
FRECUENCIA	123.	11	90	70			

NIVELES	1	2	3	4	5	6	7
SIMBOLOGIA	=====	=====	=====	=====	=====	=====	=====
FRECUENCIA	123.	11	90	70			

TITULO DEL MAPA

ANALISIS DE IMPACTO A 30: CONTAMINACION DE LA SUPERFICIE DEL TERRITORIO
 AREA DE ESTUDIO VALLE DEL PACIFICO
 LABORATORIO DE PLANEACION UMAKA

OPCIONES USADAS PARA ESTE MAPA

10 EL TEXTO DEL MAPA ES VARIABLES DATO USADAS EN EL MODELO

- 2 PROXIMIDAD AL AGUA
- 3 SUELOS PBP ZONE
- 4 VEGETACION PBP ZONE

LEGENDA: EL SIGUIENTE TABLA MUESTRA LOS VALORES DEL IMPACTO PARA LOS 3 GRUPOS DEL 100 DEL SISTEMA SOBRE

0	LOS TRES GRUPOS DE LOS CONSTITUTIVOS
1	GRUPO DE US 111, USPES 100, GRUPO 11 DE USPES
2	LOS TRES GRUPOS DE LOS CONSTITUTIVOS
3	GRUPO DE US 111, GRUPE 100
4	GRUPO DE US 111, USPES 100, GRUPO 11 DE USPES
5	LOS TRES GRUPOS DE LOS CONSTITUTIVOS
6	GRUPO DE US 111, USPES 100
7	LOS TRES GRUPOS DE LOS CONSTITUTIVOS
8	GRUPO DE US 111, USPES 100, GRUPO 11 DE USPES
9	LOS TRES GRUPOS DE US 111, USPES 100

ACTIVIDADES DE ESPACIO. ESTACIONAMIENTOS
 CAMINATOS ESTACIONAMIENTOS
 ESTACIONAMIENTOS
 CALLES
 VIAL

ESTACIONAMIENTOS
 ESTACIONAMIENTOS

MODELO DE IMPACTO N° 3:

ESTACIONES
ESTRUCTURAS
CAMINOS
YIS

10000000 40000000

ACTIVIDADES DE ESPAÑOL

NIVELES	0	1	2	3	4
SIMBOLOS	=====	====/	=====	====	XXXXXX
FRECUENCIA	581	111	5	111	581

TITULO DEL MAPA

MODELO DE IMPACTO 4-41 VULNERABILIDAD A FENOMENOS

AREA DE ESTUDIO VALLE DEL PACIFICO

LABORATORIO DE PLANEACION REGIONAL

OPCIONES USADAS PARA ESTE MAPA

10. EL TEXTO DEL MAPA ES:

2. VEGETACION, POC. ZONA
 3. ORGANICACION
 5. Efectos de erosión en el A.P.C. L.C.

LEGENDA: EL SIMBOLO MAS ALGUNAS CONSIDERACIONES DE LOS SÍMBOLOS
 LOS VALORES DEL SIMBOLITO PARA LOS 3 NÚMEROS DEL USO DEL SUELO. SI SE

0	LOS TRES GRUPOS DE USO COMBINADOS
1	GRUPO DE US. 111 (USO DE POC. ZONA)
2	GRUPO DE US. 111 (USO DE POC. ZONA) + 11 (TIERRAS)
3	LOS TRES GRUPOS DE US. COMBINADOS
4	GRUPO DE US. 111 (SEÑALIZACION)
5	GRUPO DE US. 111 (SEÑALIZACION) + 11 (SEÑALIZACION)
6	LOS TRES GRUPOS DE US. COMBINADOS
7	GRUPO DE US. 111 (TIERRAS)
8	GRUPO DE US. 111 (TIERRAS) + 11 (TIERRAS)
9	LOS TRES GRUPOS DE US. TIERRAS

USO DEL SUELO:
 ESTACIONAMIENTOS
 CARRILLERIAS
 CAMPOS

USO DEL SUELO: 11
 ACTIVIDADES DE EDIFICACIONES
 ESTUCHEZAS
 VIAL

AREA DE ESTUDIO VALLE DEL PACIFICO.

MODELO DE IMPACTO N. 43 VULNERABILIDAD A FUEGOS 0000000000000000
1234567890123456

VARIABLES DATO USADAS EN EL MODELO

	052	+++	052
	051	+++	051
4	VEGETACION RPP ZONA	050	+++
5	ORIENTACION	049	+++
5	POBLACION DENSIDAD DE Poblacion	048	+++
		047	+++
		046	+++
		045	+++
		044	+++
		043	+++
		042	+++
		041	+++
		040	+++
		039	+++
		038	+++
		037	+++
		036	+++
		035	+++
		034	+++
		033	+++
		032	+++
		031	+++
		030	+++
		029	+++
0	LOS-TRES GRUPOS DE US COMPATIBLES	028	+++
1	GRUPO DE US 111 INDEPEND	027	+++
1	GRUPO DE US 111 INDIVIDUAL, GRUPO 11 COOPERAT	026	+++
	LOS-TRES GRUPOS DE US INDEPEND	025	+++
	GRUPO DE US 111 SEVERO	024	+++
5	GRUPO DE US 111 SEVERO, GRUPO 11 FEMERO	023	+++
6	LOS-TRES GRUPOS DE US SEVERO	022	+++
7	GRUPO DE US 111 TECNICAL	021	+++
8	GRUPO DE US 111 TECNICAL, GRUPO 11 TECNICAL	020	+++
9	LOS-TRES GRUPOS DE US TECNICAL	019	+++
	USO DEL SUELO 1	018	+++
	ESTACIOMIENTOS	017	+++
	CAMALUFITZAS	016	+++
	FAENAS	015	+++
		014	+++
		013	+++
		012	+++
		011	+++
		010	+++
		009	+++
	ACTIVIDADES DE ESPAÑA	008	+++
	ESTRUCTURAS	007	+++
	YIS	006	+++
		005	+++
		004	+++
		003	+++
		002	+++
		001	+++

0000000000000000
0000000011111111
1234567890123456

NIVELES 0 3 4 5
***** 0***** 3***** 4***** 5*****

SIMBOLOS ***** 0***** 3***** 4***** 5*****
*****A***** 0***** 3***** 4***** 5*****

FRECUENCIA 595 233 1

TITULO DEL MAPA

ANALISIS DE IMPACTO A S: DESLIZAMIENTOS DE TIERRA
 AREA DE ESTUDIO: VALLE DEL PACIFICO
 LABORATORIO DE PLANEACION URGENTE

Opciones usadas para este mapa

10. EL TEXTO DEL MAPA ES:
VARIABLES DADO USADA EN EL MAPA:

- 7 ACCIDENTES DE VIALIDAD
- 2 PREDICCIÓN DE FLOODES
- 4 VEGETACION PARA ZONA

LEGENDA: EL SIMBOLO MAS OSCURO INDICARIA EL IMPACTO MAYOR
 LOS VALORES DEL IMPACTO PARA LOS 3 GRUPOS DEL USO DEL SUELDO SON:

- | | |
|---|--|
| 0 | LOS TRES GRUPOS DE US. COMBINADAS |
| 1 | GRUPO DE US. 111 MODERADO |
| 2 | GRUPO DE US. 111 MODERADO, GRUPO 11 MODERADO |
| 3 | LOS TRES GRUPOS DE US. MODERADO |
| 4 | GRUPO DE US. 111 SEVERO |
| 5 | GRUPO DE US. 111 SEVERO, GRUPO 11 SEVERO |
| 6 | LOS TRES GRUPOS DE US. SEVERO |
| 7 | GRUPO DE US. 111 TERMINAL |
| 8 | GRUPO DE US. 111 TERMINAL, GRUPO 11 TERMINAL |
| 9 | LOS TRES GRUPOS DE US. TERMINAL |

USO DEL SUELDO I	USO DEL SUELDO II	USO DEL SUELDO III
ACTIVIDADES DE ESPARC. CARRILES	CABALLERIAS	ESTACIONAMIENTOS ESTRUCTURAS VTS CAMPINGOS ESTACIONES TRAILERS

DESLIZAMIENTOS DE TIERRA	052	*****	052
	051	*****	051
	050	*****	050
	049	*****	049
	048	*****	048
AREA DE ESTUDIO ... VALLE DEL PACIFICO	047	*****	047
	046	*****	046
	045	*****	045
	044	*****	044
LABORATORIO DE PLANEACION URBANA	043	*****	043
	042	*****	042
	041	*****	041
	040	*****	040
	039	*****	039
	038	*****	038
VARIABLES DATO USADAS EN EL MODELO	037	*****	037
7 ACCIDENTES GEOLÓGICOS	036	*****	036
2 POBLACION DE HABITANTE	035	*****	035
4 VEGETACION POF 2000	034	*****	034
LEGENDAS EL SÍMBOLO MAS OSCURO	025	*****	025
CORRESPONDE AL IMPACTO MAYOR	024	*****	024
	023	*****	023
	022	*****	022
	021	*****	021
	020	*****	020
LOS VALORES DEL IMPACTO PARA LOS	019	*****	019
3 GRUPOS DEL USO DEL SUELO SON:	018	*****	018
	017	*****	017
	016	*****	016
	015	*****	015
	014	*****	014
	013	*****	013
LOS TRES GRUPOS DE US COMPATIBLES	012	*****	012
GRUPO DE US 111 MIDE PAGO	011	*****	011
GRUPO DE US 111 MIDE PAGO, GRUPO 11 MIDE PAGO	010	*****	010
LOS TRES GRUPOS DE US MIDE PAGO	009	*****	009
GRUPO DE US 111 SEVERO	008	*****	008
GRUPO DE US 111 SEVERO, GRUPO 11 SEVERO	007	*****	007
LOS TRES GRUPOS DE US SEVERO	006	*****	006
GRUPO DE US 111 TERMINAL	005	*****	005
GRUPO DE US 111 TERMINAL, GRUPO 11 TERMINAL	004	*****	004
LOS TRES GRUPOS DE US TERMINAL	003	*****	003
	002	*****	002
	001	*****	001

USO DEL SUELO 1 USO DEL SUELO 11
 ACTIVIDADES DE ESPAFO. CABALLERIZAS
 CAVIMATA

USO DEL SUELO 111

ESTACIONAMIENTOS
 ESTRUCTURAS
 VES
 CAJONES
 ESTACION TRAILERS

NIVELES

***** 0 ***** 7 ***** 9

SÍMBOLOS

***** 0 ***** 7 ***** 9

FRECUENCIA

***** 0 ***** 7 ***** 9

TITULO DEL MAPA

MÓDULO DE IMPACTO 4-6: BASURA EN EL MAR
 AREA DE ESTUDIO VALLE DEL PACÍFICO
 LABORATORIO DE PLANEACIÓN URBANA

Opciones usadas para este mapa

10 EL TEXTO DEL MAPA ES
 VARIABLES DATO USADAS EN EL MODELO

- 4 VEGETACION DRO ZONA
- 8 ZONAS ILUSAS
- 9 PROXIMIDAD AL AGUA

LEGENDA: EL SÍMBOLO MAS OSCURO CORRESPONDE AL IMPACTO MAYOR
 LOS VALORES DEL IMPACTO PARA LOS 3 GRUPOS DEL USO DEL SUELO SON:

- | | |
|---|---|
| 0 | LOS TRES GRUPOS DE USO COMPATIBLES |
| 1 | GRUPO DE US 111 MODERADO |
| 2 | GRUPO DE US 111 MODERADO, GRUPO 11 MUY POCO |
| 3 | LOS TRES GRUPOS DE US MODERADO |
| 4 | GRUPO DE US 111 SEVERO |
| 5 | GRUPO DE US 111 SEVERO, GRUPO 11 SEVERO |
| 6 | LOS TRES GRUPOS DE US SEVERO |
| 7 | GRUPO DE US 111 TERMINAL |
| 8 | GRUPO DE US 111 TERMINAL, GRUPO 11 TERMINAL |
| 9 | LOS TRES GRUPOS DE US TERMINAL |

USO DEL SUELDO I

ACTIVIDADES DE ESPARC. ESTRUCTURAS
 CANTINAS
 CABALLEPIZAS

USO DEL SUELDO II

USO DEL SUELDO III

ESTACIONAMIENTOS
 VTS
 CAFETERIAS
 ESTAC./ TRAILERS

AREA DE ESTUDIO VALORES DE IMPACTO

LARGOALTEZA DE PLANEAMIENTOVARIABLES DATO USADAS EN EL MODELO

- 4 VEGETACION POR ZONA
 5 ZONAS LLUVIAS
 9 PERCUTIDOR AL AGUA

~~EL LARGO AL ALTO DE LAS MAREAS~~
~~CHIQUERAS Y PUNTAZOS~~

LOS VALORES DEL IMPACTO PARA LOS
 3 GRUPOS DE USO DEL SUELO SON:

- 1 LOS TRES GRUPOS DE USO CORRESPONDEN:
 2 GRUPO DE USO III ALTA PESADA
 3 LOS TRES GRUPOS DE USO MEDIANA
 4 GRUPO DE USO III LEVE
 5 GRUPO DE USO III SEVERA GRUPO +1 SEVERA
 6 LOS TRES GRUPOS DE USO SEVERA
 7 GRUPO DE USO III MUY SEVERA
 8 GRUPO DE USO III TERMINADA BONITA +1 TERMINADA
 9 LOS TRES GRUPOS DE USO TERMINADA.

USO DEL SUELO'SUSO DEL SUELO II

ACTIVIDADES DE ESPACIO •
 CIMENTACIONES
 COSECHAS

ESTRUCTURAS

USO DEL SUELO III
 ESTACIONES TÉRMICAS
 VIB
 ESTACIONES TRAILERS

TIMBLES

SUELOS	TIERRAS	ROPA	ROPA
SIENAS	TIERRAS	ROPA	ROPA
FRECUENCIA	966	317	35

V. EVALUACION DE PLANES DE USO DEL SUELO

El objetivo de los planes es localizar los usos del suelo propuestos en los sitios de mayor atractivo y al mismo tiempo minimizar el impacto ambiental negativo en el área.

El resultado de la evaluación de cada plan se expresa en dos tablas sumario. Una con el atractivo total del plan y la otra con los impactos producidos en los sistemas considerados. Además, se obtienen un mapa de atractivo del plan y uno para cada impacto.

La evaluación de planes de uso de suelo se lleva a cabo mediante los siguientes pasos:

1. LOCALIZAR LOS USOS DEL SUELO

Cada uno de los usos del suelo considerados en el proyecto debe ser localizado en el área de estudio. Esta localización debe seguir los lineamientos de diferentes conceptos de desarrollo espacial desarrollados por los planificadores.

Cada uso del suelo debe tener un número para su identificación, este deberá ser el mismo que el utilizado en los modelos de atractivo y vulnerabilidad.

El número del uso del suelo localizado debe ser anotado en la celdilla correspondiente. Se permite solamente un tipo de uso del suelo en cada celdilla.

Deben ocuparse tantas celdillas como sea necesario para alojar toda el área requerida en el proyecto destinada a un uso del suelo específico.

La figura muestra un ejemplo de localización en un plan.

2. CODIFICAR LOS PLANES

El procedimiento es bastante similar al utilizado en la preparación del banco de datos. Se debe comenzar por la orilla superior izquierda del área de estudio y recorrer horizontalmente, celdilla por celdilla e hilera por hilera. El número del uso del suelo debe perforarse en la columna correspondiente, dejando en blanco aquellas en donde no se localice ningún uso. Las hileras de la retícula se registran mediante una o mas tarjetas, dejando 2 columnas por cada celdilla ya que algunos

números de usos del suelo necesitan dos cifras.

Para cada uno de los planes que se deseen evaluar debe prepararse un paquete como el que se ilustra en la figura

3. CREAR ARCHIVOS DE PLANES

Cada uno de los planes es almacenado en un archivo en disco magnético mediante el programa PLANES/IMGRID. Estos archivos serán utilizados posteriormente en la evaluación de los planes.

En el sistema UNAM/B-6700, la información codificada y perforada en el paso 2, debe ir precedida por tres tarjetas de control, el contorno del área de estudio (ver capítulo II, paso 3), y el número de hileras y columnas de la retícula. Despues de las tarjetas del ultimo plan se debe colocar una tarjeta de control final para la terminación del trabajo. La forma de preparar el paquete de datos esta indicada en la figura

4. EVALUACION DE LOS PLANES EN LA COMPUTADORA

Durante la fase de evaluación, la computadora suma todos los atractivos que corresponden a las celdillas designadas para localizar un uso del suelo particular. La suma total se divide entre el número total de celdillas distribuidas para ese uso del suelo. El resultado es un indicador de atractivo promedio. Este es multiplicado por 10 para ponerlo en una escala de 1 a 100.

Un marcador final alto indica que el uso del suelo fue puesto en áreas que cumplen muchos de los criterios deseados para ese uso del suelo. Un marcador bajo indica una pobre selección en la localización de los usos del suelo con respecto al atractivo de las celdillas.

Todos los usos del suelo que se van a incluir en el área de estudio son evaluados en forma similar y reciben un marcador final de atractivo promedio.

La segunda parte en la evaluación de un plan consiste en dar una estimación del grado de impacto negativo creado por el plan de uso del suelo en su totalidad, sobre cada uno de los sistemas previamente definidos por los modelos de vulnerabilidad.

Cuando la computadora encuentra una celdilla a la que se ha asignado un uso del suelo, determina el grado de impacto que-

tendrá ese uso del suelo sobre el sistema que está siendo analizado. El grado de impacto dependerá de la combinación de categorías encontrada en la celdilla y del grupo de usos del suelo al que pertenezca.

El marcador final de cada modelo indica el grado de impacto - promedio creado por la totalidad del plan sobre el sistema -- considerado en toda el área de estudio. La media numérica es una media ponderada. El número de celdillas que reciben un indicador de impacto 1, se multiplica por 1. El número de -- celdillas que reciben un indicador de impacto 2 (impacto moderado) se multiplica por 2, etc. El total final de los cuatro impactos se divide entre el número total de celdillas donde se localizan los nuevos usos del suelo. La media resultante estará entre un máximo de 4 y un mínimo de 1. Un marcador -- cercado a 4 indican que los usos del suelo han sido puestos -- donde crean una gran cantidad de impacto negativo. Un marcador cercado a 1 indica poco impacto negativo en el sistema.

Para la evaluación de los planes deben perforarse las siguientes tarjetas para alimentar el programa EVALUA/IMGRID.

1a. tarjeta:

Col. 1-5 Número de hileras de la retícula.*
 Col. 6-10 Número de columnas de la retícula.*

2a. tarjeta:

Col. 4-5 Número de modelos de atraktividad realizados en el estudio.*
 Col. 9-10 Número de modelos de impacto realizados en el estudio.*
 Col. 14-15 Número del plan que se desea evaluar.*

3a. tarjeta:

Col. 2, 4, 6 Agrupación de los usos del suelo en el primer 8, 10, modelo de impacto (paso 1). Debe anotarse el 12, 14, número de grupo al que pertenece cada uno de 16 los usos considerados en el estudio dados en orden creciente.*

Tarjetas siguientes:

Lo mismo que la 3a. tarjeta.

Una para cada modelo de vulnerabilidad realizado en el estudio.

Deben darse en el mismo orden en que se corrieron los modelos.

En el sistema UNAM/B-6700, esta información debe ir precedida por tres tarjetas de control y por el contorno del área -

*Deben perforarse como números enteros justificados a la derecha.

de estudio (Ver capítulo II, paso 3).

Después de las tarjetas para evaluar el último plan, debe colocarse una tarjeta de control final para la terminación del trabajo.

La forma de preparar el paquete de datos se ilustra en la figura

5. MAPEO DE LOS RESULTADOS DE LA EVALUACION

Se debe producir un mapa del atractivo del plan y uno de cada impacto considerado.

El mapa de atractivo indica el grado de atractividad logrado - al haber localizado los usos del suelo en los sitios que se -- pensaron convenientes.

Se obtendrá un mapa impreso para cada sistema descrito por un modelo de vulnerabilidad. Cada mapa representa un sistema diferente e indica cuantas celdillas del total distribuidas tienen impacto compatible, moderado, severo ó terminal.

La impresión del mapa estará basada en un rango numérico de 1- a 4. El número 1 indica que el uso del suelo es compatible; - un número 4 indica que el uso del suelo tiene un impacto terminal sobre el área.

La forma de especificar los mapas con el programa MAPAS/GRID se explica en el capítulo VI.

Para producir los mapas de evaluación debe prepararse un paquete como el de la figura.

6. ANALISIS DE RESUTLADOS Y GENERACION DE NUEVOS PLANES

Con esta información a mano y las áreas problema localizadas, = se puede preparar un segundo plan.

La preparación de este segundo plan implica la relocalización de los usos del suelo que crean impactos mayores ó que reciben bajos indicadores de atractivo.

El objetivo final es elevar la atractivo y disminuir los impactos. Se debe lograr un equilibrio en el que la atractividad total no puede ser elevada sin elevar también los impactos negativos.

Deben identificarse las áreas problema cuyos indicadores de --

atractividad son mas bajos que los esperados ó sus indicadores de impacto son mayores que los deseables.

06905659011111
1234567890123456

EVALUACION DE LA ATRACTIVIDAD DEL PLAN N° 2 052

7

AREA DE ESTUDIO VALLE DEL PACIFICO

LÀBORATORIUS DE PLANEACIÓ URBANA

LOS JESUS DEL SUELO SE AGRUPARON EN LOS GRUPOS

DEL-SUTCO 1

USO DEL SUELO 11

-ACTIVITIES-OF-FS-ARE-
CAPITALIA
CAPITALIZAS.

-5-
-5-

MSD DEL SITI 0.111

-ESTACIONAMIENTOS-
VIS
CAMINOS
ESTACIONES

2 052
051
050
049
048
047
046
045
044
043
042
041
040
039
038
037
036
035
034
033
032
031
030
029
028
027
026
025
024
023
022
021

0000003000500000
6000y0400111111
1230507890123456

2	3	4	5	6	7	8	9
...	+++ +++ +++ +++ +++	XXXXXX XXXXXX XXXXXX XXXXXX XXXXXX	00000000 00000000 00000000 00000000 00000000	00000000 00000000 00000000 00000000 00000000	00000000 00000000 00000000 00000000 00000000	00000000 00000000 00000000 00000000 00000000	00000000 00000000 00000000 00000000 00000000
5	7	10	19	26	16	7	8

~~EL ESTUARIO~~~~VALLE DEL RÍO PACÍFICO~~~~ESTACIÓN DE ESTUARIO~~~~ESTACIÓN DE ESTUARIO~~~~ESTACIONES PARA ESTE MARA~~

EL TIPO DEL MARA ES	LOS LOSOS DEL SISTEMA SE ACORDEAN EN LOS PROYECTOS	ESTACIONES DE ESTUARIO
ESTACIONES DE ESTUARIO	ACTIVIDADES DE ESTUARIO	ESTACIONES DE ESTUARIO
CARACTERES	ESTRUCTURAS	ESTRUCTURAS

~~EL ESTUARIO~~~~VALLE DEL RÍO PACÍFICO~~~~ESTACIÓN DE ESTUARIO~~~~ESTACIONES PARA ESTE MARA~~

EL TIPO DEL MARA ES	LOS LOSOS DEL SISTEMA SE ACORDEAN EN LOS PROYECTOS	ESTACIONES DE ESTUARIO
ESTACIONES DE ESTUARIO	ACTIVIDADES DE ESTUARIO	ESTACIONES DE ESTUARIO
CARACTERES	ESTRUCTURAS	ESTRUCTURAS

~~EL ESTUARIO~~~~VALLE DEL RÍO PACÍFICO~~~~ESTACIÓN DE ESTUARIO~~~~ESTACIONES PARA ESTE MARA~~

EL TIPO DEL MARA ES	LOS LOSOS DEL SISTEMA SE ACORDEAN EN LOS PROYECTOS	ESTACIONES DE ESTUARIO
ESTACIONES DE ESTUARIO	ACTIVIDADES DE ESTUARIO	ESTACIONES DE ESTUARIO
CARACTERES	ESTRUCTURAS	ESTRUCTURAS

C O M P U T A C I O N

A P L I C A D A

A L A

P L A N E A C I O N

U R B A N A

D E C F I , A G O S T O 10-14 , 1 9 8 1 .

- 1.- Descripción del formato MPS
- 2.- Ejemplos de :
 - 2.1.- Programación lineal .
 - 2.2.- Programación entera .
 - 2.3.- Programación mixta .
- 3.- Descripción del formato SPSS
- 4.- Ejemplo de uso del paquete SPSS
a través de problema de regresión .

SECCION III

En esta sección se especifica el formato utilizado por el paquete de programación matemática TEMPO/NPS/ALL , el cual para desarrollar la solución de un problema , utiliza dos archivos de datos necesariamente .

- 1/ CCARD .- En este archivo están contenidas las instrucciones sobre el problema .
 - 2/ CARDIN .- En este archivo están contenidos los datos del problema , los cuales se dividen en 5 secciones ROWS , COLUMNS , RHS , RANGES , BOUNDS .

Cada tarjeta de datos consiste de 80 columnas y esta dividida en 6 campos , un * en la columna 1 indica se trata de una tarjeta de comentarios .

FORMATO DE LOS DATOS DE ENTRADA

(Formato M9)

Organización de los datos de entrada del problema de programación matemática .

1/ Una tarjeta de NAME sera la primer tarjeta en los datos y una de ENDDATA al final , ya que con esta se indica fin de -- archivo de datos , la tarjeta de NAME también tiene en el campo numero 3 un nombre especificado por el usuario . Las secciones de ROWS , COLUMNS , y RHS son necesarias , y las secciones -- RANGES , BOUNDS serán opcionales y no es necesario declararlas o especificarlas .

2/ La sección de ROWS es en la que se define el tipo de restricción de cada renglón , y se utilizan 4 indicadores para especificar el tipo de restricción en el modelo . seguido por algun nombre especificado por el usuario en el campo dos;

- a/ N Renglón de la función objetivo .
- b/ E Igualdad en la restricción .
- c/ G Mayor o igual en la restricción .
- d/ L Menor o igual en la restricción .

3/ La sección de COLUMNS , es en la que se especifican los coeficientes de las restricciones y los nombres de cada variable . el nombre de la columna es dado en el campo dos , y los nombres de los renglones (restricciones) estarán especificados en los campos 3 y 5 , en los campos 4 y 6 se declaran los --- coeficientes correspondientes , El sistema trata como cero a los coeficientes omitidos en el modelo , es decir solo es --- necesario declarar los coeficientes que sean diferentes de -- cero.

4/ La sección de RHS , es donde se especifica el vector de -- recursos (o vectores) empezando en el campo dos , el formato es el mismo conque fue definido columns , aunque un nombre para el vector de recursos deberá ser declarado y esto para cada -- vector de recursos . con que se desea resolver el modelo .

5/ La sección de RANGES , es utilizada para condensar los datos de entrada .

Esto se hace cuando una restricción es mayor o igual y menor o igual , El renglón original necesita ser especificado en la sección de rows y columns solamente con uno de sus limits superior o inferior b(i) especificado en la sección de rhs.

EL rango es utilizado como se especifica en la siguiente tabla , donde r(i) es el rango sobre el renglón i dado en la sección de rangos , si r(i) es negativo para un renglón G o un renglón L , se utiliza el valor absoluto.

Tipo de renglón	Signo de b(i)	Límite superior que resulta en la rest.	Límite inferior q' resulta en la rest.
G	+	b(i) + r(i)	b(i)
L	+	b(i)	b(i) - r(i)
E	+	b(i) + r(i)	b(i)
E	-	b(i)	b(i) - r(i)

6/ La sección de BOUNDS , es en donde se especifica que variables estarán acotadas , si esta sección no se especifica se considera que todas las variables son mayor o igual que cero , se utilizan 6 indicadores para especificar el tipo de cota que sera impuesto sobre la actividad .

- a/ LO Cota inferior.
- b/ UP Cota superior.
- c/ FX Valor fijo.
- d/ MI Cota inferior es - infinito.
- e/ PL Cota superior es + infinito.
- f/ FR Variable libre (- infinito a + infinito)

En los campos 3 y 4 se especifica el nombre de la variable que será acotada y su cota finita asociada-respectivamente , dejar el campo 4 en blanco si la cota es infinito. El campo 2 identifica un nombre asociado con un conjunto de cotas esto es , puede haber más de un conjunto de cotas declaradas en la sección de bounds , lo cual es similar a la opción de definir varios vectores de recursos en la sección rhs .

Dentro de las secciones de ROWS y COLUMNS las opciones 'MARKER' son provistas con el siguiente formato.

- i/ El campo 1 permanece en blanco excepto cuando es utilizado para datos GUB .
- ii/ El campo 2 identifica el nombre de el marker , el cual - debe ser distinto de los nombres de rows y columns .
- iii/ El campo 3 contiene la palabra 'MARKER' (incluyendo los apostrofos) .
- iv/ El campo 4 permanece en blanco .
- v/ El campo 5 contiene las palabras claves :

 - a/ 'INTORG' indica que las variables que están en las tarjetas que siguen , son enteras hasta donde se -- encuentre 'INTEND' .
 - b/ 'BIVORG' indica que las variables que están en las tarjetas que siguen , son binarias (solo toman el valor cero o uno) hasta donde se encuentre 'BIVEND'.
 - c/ 'SEPBORG' y 'SEPEND' son reservadas para programación separable.
 - d/ 'GUBORG' y 'GUBEND' se reservan para definir renglon es tipo GUB.

las palabras incluyen los apostrofes , los nombres asignados a marker , renglones , variables , terminos del vector de recursos , cotas , y rangos son asignados por el usuario y son a lo más de ocho caracteres .

- vi/ El campo 6 permanece en blanco .

La forma de ejecutar el programa por tarjetas es :

```
?JOB LINEAL;USER=SF82/MP;CLASS=5;BEGIN
?RUN*SERVICIO/MPS/ALL;DATA CARD
      Instrucciones      } Tarjetas de
      :                   } procedimiento
?DATA CARDIN
      :
      Tarjetas de datos
      :
?END JOB
```

Explicación de las tarjetas de procedimiento (Archivo CARD) :

ZDATA="DATOS"

Esta instrucción asigna al conjunto de datos el nombre "DATOS" , el cual debe ser a lo más de 8 caracteres .ZDATA debe aparecer con el mismo nombre con el que se identifica el, conjunto de datos en el archivo CARDIN (Tarjeta de NAME) .

ZNAME="LINEAL"

Esta instrucción asigna el nombre del problema a -- ZNAME .

ZOBJ="FD"

Esta instrucción asigna el nombre de la función --- objetivo .

ZRHS="Ti"

Esta instrucción asigna el nombre del vector de --- recursos del lado derecho .

ZRNGST="RANGO"

Esta instrucción asigna el nombre para el conjunto de restricciones con rangos .

ZBNGST="COTA"

Esta instrucción asigna el nombre para el conjunto de variables acotadas , es opcional y si no hay variables acotadas no es necesario declararla lo mismo que ZRNGST en caso de que - no haya restricciones con rangos , los nombres asignados a las instrucciones que empiezan con Z , que aparecen entre comillas deberán ser a lo más de 8 caracteres .

INPUT(CARD,SUMMARY)

Este procedimiento es utilizado para leer los datos del problema y los convierte a un formato binario en el archivo ZPROF , SUMMARY ocasiona que las estadísticas de los renglones y columnas se impriman .

BCDDOUT

Imprime el problema en el formato de los datos de -- entrada .

SETUP(MAX)

Genera la matriz de trabajo para el problema identificado por ZNAME. MAX indica se trata de optimizar maximizando en caso de querer minimizar reemplazar MAX por MIN .

PRIMAL

Este procedimiento obtiene la solución optima si -- existe .

PICTURE

Este procedimiento imprime una grafica de la matriz original en la que los coeficientes que son cero permanecen en blanco y en el lugar en que hay un coeficiente distinto de cero aparece un caracter alfabetico .

RANGE

Este procedimiento produce un analisis de sensibilidad de la solución optima .

OUTPUT

Este procedimiento imprime la solución incluyendo - niveles de actividad ; costos reducidos , coeficientes de los costos originales ,elementos del vector de recursos , y ----- actividades duales .

La impresión es listada cómo sigue :

- 1/ Nombre del problema .
- 2/ El nombre del conjunto de rangos , si hay alguno.
- 3/ El nombre del conjunto de cotas , si lo hay .
- 4/ La función .
- 5/ La restricción .
- 6/ El estado de la solución :
 - a/ Infactible .
 - b/ No-optimo
 - c/ Optimo .
- 7/ Número de iteración .
- 8/ Valor de la función .

Las secciones de ROWS y COLUMNS son similares en -- estructura y contenido .

Una linea de salida es impresa para cada variable - con la siguiente información impresa .

1/ NUMBER .- El número entero asignado a la variable . A la primer columna es asignado el número ($n+1$) , donde n es igual al numero del ultimo renglón , a la segunda columna es asignado el numero ($n+2$) , y asi sucesivamente , este número puede ser utilizado para identificar la variable en la iteración corriente .

2/ NAME.- El nombre de entrada del renglón o la columna .

3/ STATUS.- Dos caracteres indicarán el estado de solución en el renglón o columna :

- a/ BS En la base y factible .
- b/ ** En la base y infactible .
- c/ FR No-basica , libre .
- d/ EQ No-basica , artifical o fija .
- e/ UL No-basica , actividad en limite superior .
- f/ LL No-basica , actividad en el limite inferior .
- g/ IV No-basica , variable entera .

4/ ACTIVITY.- El valor de actividad del renglón o columna en la solución .

5/ SLACK ACTIVITY/INPUT COST.- Es el costo de entrada .

6/ LOWER LIMIT.- El más pequeño valor factible que la actividad puede tomar .

7/ UPPER LIMIT.- El mayor valor factible que la actividad puede tomar .

8/ DUAL ACTIVITY/REDUCED COST.- En la sección ROWS representa la actividad dual , esto es también el costo reducido de la -- variable logica asociada . En la sección de COLUMNS es el costo reducido de la columna , los costos reducidos son conocidos como los dj's . Las actividades duales son conocidas como los valores pi o multiplicadores simplex .El costo reducido de una variable es la tasa de incremento en la función objetivo por - unidad de incremento en la actividad de la variable .

La presencia de una variable no-basica con costos reducidos de cero en la solución optima indica que la solución alternativa optima existe . Tales variables son identificadas por una A sobre el lado izquierdo de la tabulación .

Para algún renglón compuesto o columna compuesta , - los valores impresos para el renglón base o la columna base son los valores compuestos . Si la función objetivo es compuesta - las actividades duales , costos de entrada y costos reducidos son para la función objetivo compuesta . Si el lado derecho es compuesto , los límites inferior y superior en la sección de - ROWS son para el lado derecho compuesto .

Cero o cantidades muy cercanas a cero serán impresas como un punto decimal .

TRANCOL

Este procedimiento imprime el ultime tabla por columnas .

TRANROW

Este procedimiento imprime la tabla actualizada por renglones .

TRANCOL (INVERSE)

Este procedimiento imprime la inverse .

TRANCOL (MATRIX)

La matriz original es impresa .

SECCION II.1

a/ Considere el siguiente problema , el cual es un problema de programación lineal .

$$\text{Min } Z = -20x_1 - 10x_2 - x_3$$

Sujeto a.

$$3x_1 + 2x_2 + 10x_3 \leq 10$$

$$2x_1 + 4x_2 + 20x_3 \leq 15$$

$$x_1 \geq 0; x_2 \geq 0; x_3 \geq 0$$

Se resolverá este problema usando el paquete TEMPO/MPS/ALL vía tarjetas (Batch) . En la hoja de codificación anexa se muestra :

i/ Tarjetas de control del sistema.

ii/ Tarjetas de instrucciones sobre el problema .

iii/ Tarjetas de datos (Formato MPS) .

Este es en el formato especificado en la sección anterior , a continuación en las hojas siguientes se da la secuencia utilizada para resolver el problema por terminal .

Zprinter - .true. es utilizado para que los resultados aparezcan tanto en la terminal como en la impresora que se localiza en el C.S.C. en caso de omitirla se obtendrán los resultados en la terminal solamente .

En la hoja se muestra la secuencia seguida con los comandos del paquete tempo y posteriormente la forma en que se interactúa con la computadora a través de la terminal .

La ventaja de utilizar una terminal es que la información se transmite en formato libre y no en el formato convencional mencionado en la sección anterior .

```

? J,OB, , H,O,N,B,R,E, U,S,E,R,E,S,F, 8,2, /,0 P,T,I,M, :G1:ASS=5, :B:E,L,G,I,N,
? R,U,N,*S,E,R,V,I,C,I,O,/M,P,S,/A,I,L,;D,A,T,A,C,A,R,D,
? D,A,T,A = "D,A,T,O,S"
? N,A,M,E = "M,O,L,I,N,O"
? O,B,J = "F,O,B"
? R,H,S = "T,E,R,M,I"
? I,N,P,U,T(C,A,R,D,S,U,M,M,A,R,Y)
? B,C,D,O,U,T
? S,E,T,U,P(M,I,N)
? P,R,I,M,A,L
? O,U,T,P,U,T
? ? D,A,T,A,C,A,R,D,I,N
? N,A,M,E = "D,A,T,O,S"
? R,O,W,S
? R,1, F,1, O,B
? L,1, R,1
? L,2, R,2
? C,O,L,U,M,N,S
? X,1, F, O,B, +2,0, R,1, 3
? X,1, R,2, 2, R,1, 3
? X,2, F, O,B, -1,0, R,1, 2
? X,2, R,2, 4, R,1, 10
? X,3, F, O,B, -1, R,1, 10
? X,3, R,2, 2,0, R,2, 15
? R,H,S
? T,E,R,M,I, R,1, 10, R,2, 15
? E,N,D,A,T,A
? E,N,D,J,O,B

```

SFB2/MP	(R)
RUN*SERVICIO/MPS/ALL	(R)
ZDATA = "DATOS"	(R)
ZNAME = "LINEAL"	(R)
ZRHS = "T1"	(R)
ZOBJ = "OF"	(R)
INPUT(REMOTE,SUMMARY)	(R)
ROWS	(R)
N OF	(R)
L R1	(R)
L R2	(R)
COLUMNS	(R)
X1 OF -20	(R)
* R1 3	(R)
* R2 2	(R)
X2 OF -10	(R)
* R1 2	(R)
* R2 4	(R)
X3 OF -1	(R)
* R1 10	(R)
* R2 20	(R)
ENDATA	(R)
RHS	(R)
T1 R1 10	(R)
* R2 15	(R)
ENDATA	(R)
SETUP(MIN)	(R)
BCDOUT	(R)
PRIMAL	(R)
OUTPUT	(R)
EXIT	(R)

Nota.- (R) indica teclear return .

#B67CC1126 CANDE 30.1407 YOU ARE SCHED(CC1(S5))

* DEFAULT PRINT DESTINATION=SITE

*SESSION 3C28 171321Z 01/14/81

BUNNERSERVICE/MPS/ALL

*PRINTING 3C28

1?

E77CC/B67CC TECMFC(20.600,000) - MARCH 7/1 01/14/81 171331Z

READY

APRINTER = TRUE,

READY

ZDATA = "EATLCS"

55

READY

ZNAME = "ECLIN0"

READY

ZRTS = "TERMI"

READY

ZDEV = "LT"

READY

INFCT(REPLTE,SUMMARY)

*** INFCT ***

A

MURS

A

N CF

A R1

A

A R2

A

COLLEGS

A

A1 CF *20

A

* R1 3

A

* R2 2

A

A2 CF *10

A

* R1 2

A

* R2 4

A

A3 CF *1

A

* R1 10

A

* R2 20

A

MHS

A

TERMI R1 10

A

* R2 15

A

ENCDATA

LLC ENTRY CLINE ENTERED ON ZPREF (CR & CLEF)

NEW ENTRY PULLING ENTERED ON ZPREF (CR & CLEF)

NUMBER OF ELEMENTS BY COLUMN ORDER

49 X1 *****3 X2 *****3 X3 *****3

NUMBER OF ELEMENTS BY ROW ORDER, EXCLUDING RHS, INCLUDING SLACK ELEMENT

1 R CT *****4 L R1 *****4 L R2 *****4

READY

SETUP(SPIN)

*** SETUP ***

READY

PRIMAL

*** PRIMAL ***

*** INVERT ***

FACELEM FEASIBLE

ITER NO	UB VALUE	REG DS	LLT	IN
1	-06,66667	3	2	49

EXIT CONDITION! OPTIMAL SOLUTION.

FUNCTION VALUE * *66+66667

READY
CUTFLT

*** CUTFLT ***

SECTION STATUS a CHTAREL
PCWS SECTION

BB

NAME	STAT	ACTIVITY	LOWER LIP	UPPER LIP	DUAL ACTIVITY
CF	BS	*50.667	NONE	NONE	1.000
R1	UL	10.000	NONE	10.000	0.667
R2	BS	0.667	NONE	15.000	*

COLUMNS SECTION

NAME	STAT	ACTIVITY	LOWER LIP	UPPER LIP	REDUCED COST
X1	BS	3.333	*	NONE	*
X2	LL	*	*	NONE	3.333
X3	LL	*	*	NONE	65.667

READY

EXIT

67700/66700 TERMFC TERMINATED.
*ET=4324+4 FT=7+4 LG=5+0

Para el problema considerado se obtuvieron los siguientes resultados :

a/ Solución optima factible , la cual se obtuvo en la primer iteración y resultó igual a -66.66667 , esto es que

$$\text{Min } Z = -20(3.33) - 10(0) - 1(0) \leq -66.66$$

b/ Se obtuvo como resultado $x_1 = 3.333$, con x_1 variable básica factible y $x_2 = x_3 = 0$ y son no-básicas con actividad en el límite inferior .

En la restricción R1 se obtuvo

$$3(3.333) + 2(0) + 10(0) \leq 10 \leq 10$$

y en la restricción R2 obtuvo

$$2(3.333) + 4(0) + 20(0) = 6.666 \leq 15 \quad (\&)$$

c/ Términa la ejecución .

(&) ver páginas 60 y 61 .

S E C C I O N II.I

b/ Considere el siguiente problema , el cual es un problema de programación entera .

$$\text{Max } Z = 10x_1 + x_2 + 12x_4 + 7x_5 + 8x_6 + 6x_7 + 3x_8$$

Sujeto a.

$$6x_1 + 8x_2 + x_3 + 10x_4 + 5x_5 + 6x_6 + 5x_7 + 3x_8 \leq 25 , 30$$

$$x_1, x_3 + x_4 + x_5 + x_6 + x_7 + x_8 = 0,1$$

$$x_2 \in \mathbb{Z}^+$$

Se resolverá este problema a través de una terminal - utilizando el paquete TEMPO/MPS/ALL , note que en el problema las variables son binarias a excepción de x_2 que es entera , - este problema es conocido como el problema de la mochila , en la restricción se considera primera acotada superiormente por 25 y se resuelve el problema , posteriormente se resuelve el - problema con cota superior en la restricción de 30 , las ---- instrucciones TEMPO utilizadas y su secuencia se muestra en la siguiente hoja .

RUN*SERVICIO/KPS/ALL	(R)
ZPRINTER=.TRUE.	(R)
ZNAME="ENTERA"	(R)
ZDATA="DATOS"	(R)
ZOBJ="OF"	(R)
ZRHS="TI"	(R)
INPUT(REMOTE,SUMMARY)	(R)
ROWS	(R)
N OF	(R)
L R	(R)
COLUMNS	(R)
EMP1CZA 'MARKER' 'BIVORG'	(R)
X1 OF 101	(R)
X1 R 6	(R)
X3 R 1	(R)
X4 OF 12	(R)
X4 R 10	(R)
X5 OF 7	(R)
X5 R 5	(R)
X6 OF 8	(R)
X6 R 6	(R)
X7 OF 6	(R)
X7 R 5	(R)
X8 OF 3	(R)
X8 R 3	(R)
TERMINA 'MARKER' 'BIVEND'	(R)
EMP 'MARKER' 'INTORG'	(R)
X2 OF 1	(R)
X2 R .8	(R)
TERM 'MARKER' 'INTEND'	(R)
RHS	(R)
TI R 25	(R)
T12 R 30	(R)
ENDATA	(R)
'SETUP(MAX)	(R)

PRIMAL	(R)
NXINT	(R)
OUTPUT	(R)
ZRH5="T12"	(R)
MXINT	(R)
RETURN	(R)
OUTPUT	(R)
EXIT	(R)

BB6700:126 CANDE 36.140; YOU ARE SCHEDNOW1(142)

R DEFAULT PRINT DESTINATION=SITE

SENIGARIA PARK HAYD/JUNIOR TECLEE NEWS

SESSION 3343 15:13:14 05/06/81

HUN+SERVICIO/MPS/ALL

NRUNNING 3344

R?

87700/86700 TEMPO(23.600-00) - MARCH 77) 05/06/81 15:13:19

READY

ZPRINTER=.TRUE.

READY

ZNAME="ENTERA"

READY

ZDATA="DATOS"

READY

ZOBJS="UF"

READY

ZRHS="TIP"

READY

INPUT(REMOTE,SUMMARY)

--- INPUT ---

Z

ROWS

X

N OF

L R

Z

COLUMNS

Z

EMPIEZA "MARKER" "BIVORG"

Z

X1 OF 101

Z

X1 R 6

Z

X3 R 1

Z

X4 OF 12

Z

X4 R 10

Z

X5 OF 7

Z

X5 R 5

Z

X6 OF 8

Z

X6 R 6

Z

X7 OF 6

Z

X7 R 5

Z

X8 OF 3

Z

X8 R 3

Z

MP 'MARKER' 'INTORG'

2 OF 1

12 R .0

TERM 'MARKER' 'INTEND'

RHS

1 R 25

12 R 30

LNTDATA

NEW ENTRY ENTERED ENTERED ON ZPROF (OR ZSOLF)

NUMBER OF ELEMENTS BY COLUMN ORDER

49	X12	X31	X42
52	X52	X62	X72
55	X82	X22		

NUMBER OF ELEMENTS BY ROW ORDER, EXCLUDING RHS, INCLUDING SLACK ELEMENT

1 N OF8 L R9

READY

SETUP(MAX)

--- SETUP ---

ERPUP = INTEGER X2 60 UNITS RESET TO: UPPER= 1022 LOWER= 0

** PRINTING DURING SEE ***

READY
PRIMAL

--- PRIMAL ---

--- INVERT ---

PROBLEM FEASIBLE.

ITER NO	OBJ VALUE	NEG CJ	OUT	IN
1	141.00000	7	490	490
2	113.00000	7	510	510
3	121.00000	7	530	530
4	125.20000	7	2	52
5	125.66667	1	520	510
6	126.00000	1	51	56

EXIT CONDITION: OPTIMAL SOLUTION.

FUNCTION VALUE = 126.00000

READY
MXINT

--- MXINT ---

* X INT BRANCH & BOUND
L P SOLUTION IS INTEGRAL

READY
OUTPUT

SOLUTION S DS = OPTIMAL

ROWS SECTION

NAME	STAT	ACTIVITY	LOWER LIM	UPPER LIM	DUAL ACTIVITY
OF	BS	126.000	NONE	NONE	1.000
R	UL	25.000	NONE	25.000	-1.250

COLUMNS SECTION

NAME	STAT	ACTIVITY	LOWER LIM	UPPER LIM	REDUCED COST
x1	UL	1.000	*	1.000	93.500
x3	LL	*	*	1.000	-1.250
x4	LL	*	*	1.000	-0.500
x5	UL	1.000	*	1.000	6.750
x6	UL	1.000	*	1.000	0.500
x7	LL	*	*	1.000	-0.250
x8	LL	*	*	1.000	-0.750
x2	BS	106.000	*	1022.000	*

READY

ZRHS="TTE"

READY

MXINT

--- MXINT ---

MXINT BRANCH & BOUND

INTEGER SOLUTION

NUDE ** 12 ** OPTIMIZED INTEGER NODE
FIRST INTEGER SOLUTION OBJECTIVE = 129.0000
CUTOFF NOW AT 129.0000 LAST ONE AT 129.0006

ACTUAL INTEGER SOLUTIONS

Para el problema considerado en esta sección se obtuvieron los siguientes resultados .

a/ Los resultados obtenidos cuando la restricción está acotada superiormente por 25 son los siguientes :

$x_2 = 10$, y se trata de una variable básica factible ;

$x_1 = x_5 = x_6 = 1$ son variables no-básicas con actividad en el límite superior ;

$x_3 = x_4 = x_7 = x_8 = 0$ son variables no-básicas con actividad en el límite inferior .

La solución es optima y el valor de la función objetivo es de 126.00 ya que

$$\text{Max } Z = 10(1) + 1(10) + 7(1) + 8(1) = 126$$

y en la restricción

$$6(1) + .8(10) + 5(1) + 6(1) \leq 25$$

b/ Los resultados obtenidos cuando la restricción está acotada superiormente por 30 son los siguientes :

$x_1 = x_2 = x_4 = x_5 = x_7 = x_8 = 1$ son variables enteras ;

$x_3 = x_6 = 0$ son variables enteras también ;

El problema tiene solución optima y es cuando la función objetivo es igual a 130

$$\text{Max } Z = 10(1) + 1(1) + 12(1) + 7(1) + 6(1) + 3(1) = 130$$

y en la restricción se obtiene a través del paquete

$$6(1) + .8(1) + 10(1) + 5(1) + 5(1) + 3(1) = 29.8 \leq 30 ; (&)$$

(&) ver páginas 60,61 .

PROCEDURE.

READY

OUTPUT

*** OUTPUT ***

SOLUTION STATUS = OPTIONAL

ROWS SECTION

NAME	STAT	ACTIVITY	LOWER LIM	UPPER LIM	DUAL ACTIVITY
OF	DS	150.000	NONE	NONE	1.000
R	BS	29.900	NONE	32.000	*

COLUMNS SECTION

NAME	STAT	ACTIVITY	LOWER LIM	UPPER LIM	REDUCED COST
x1	IV	1.000	*	1.000	101.000
x3	IV	*	*	1.000	*
x4	IV	1.000	*	1.000	12.000
x5	IV	1.000	*	1.000	7.000
x6	IV	*	*	1.000	6.000
x7	IV	1.000	*	1.000	6.000
x8	IV	1.000	*	1.000	3.000
x2	IV	1.000	*	1022.000	1.000

READY

EXIT

67700/86700 TEMPO TERMINATED.

RET=40.7 PT=10.6 IO=5.3

SECCION III.1

E/ Considera el siguiente problema , el cual es un problema de programación mixta .

$$\text{Min } Z = 3x_1 + 2x_2 - 6x_3$$

Sujeto a.

$$9 \leq 3x_1 + 6x_2 \leq 20$$

$$4x_1 + 2x_2 - 5x_3 = -15$$

$$3 \leq x_2 \leq 5 , \quad x_2 \text{ variable entera}$$

$$x_3 = 0 , 1$$

$$x_1 \geq 0 , \quad x_1 \text{ variable real}$$

Se resolverá este problema usando el paquete TEMPO/MPS/ALL a través de una terminal remota .

Note que en la primer restricción se considera para este problema cómo una restricción con límite inferior 9 y rango 11 , la variable x_1 pertenece a los reales y es no-negativa , la variable x_2 es entera y está acotada con límite inferior 3 y límite superior 5 , y la variable x_3 es binaria , es decir - solo puede tomar el valor cero o uno .

En las hojas a continuación se muestra la forma de resolver este problema a través de la terminal , primero se dan los comandos utilizados en la secuencia seguida y posteriormente la forma en que se interactúa con la computadora a través de la terminal .

RUNXSERVICIO/MPS/ALL	(R)
ZPRINTER = .TRUE.	(R)
SFILE ZPROF = PROBLEMA	(R)
SFILE ZSOLF = SOLUCION	(R)
ZNAME = "N"	(R)
ZDATA = "N"	(R)
INPUT(REMOTE)	(R)
ROWS	(R)
N Z	(R)
G R1	(R)
E R2	(R)
COLUMNS	(R)
X1 Z 3	(R)
X1 R1 3	(R)
X1 R2 4	(R)
EMP1 'MARKER' 'INTORG'	(R)
X2 Z 2	(R)
X2 R1 6	(R)
X2 R2 2	(R)
TERM1 'MARKER' 'INTEND'	(R)
EMP2 'MARKER' 'BIVORG'	(R)
X3 Z -6	(R)
X3 R2 -5	(R)
TERM2 'MARKER' 'BIVEND'	(R)
RHS	(R)
B R1 9	(R)
B R2 15	(R)
RANGES	(R)
R R1 11	(R)
BOUNDS	(R)
UP C X2 5	(R)
LO C X2 3	(R)
ENDATA	(R)
BCDOUT	(R)
ZOBJ = "Z"	(R)

ZSOLNM = "SOLUCIO"	(R)
ZRHS = "B"	(R)
ZRNGST = "R"	(R)
ZBNDST = "C"	(R)
SETUP(MIN)	(R)
PRIMAL	(R)
MXTNT	(R)
OUTPUT(FILE)	(R)
EXIT	(R)

#96(00)126 CANCE '3U+140? YOU ARE SCHED#001(102)

* DEFAULT PRINT DESTINATION=SITE

SEMINARIOS PARA MAYU/JUNIC SECLEE NEWS

*SESSION 3582 15134105 05/06/81

RUN*SERVICIO/HPS/ALL

#RUNNING 3583

#?

B7700/B6700 TEMPE(20+000+000 - MARCH 77) 05/06/81 15134110

READY

ZPRINTER=TRUE

READY

&FILE ZPROF= PROBLEMA

READY

&FILE ZSOLF= SOLUTION

READY

ZNAME = "N"

READY *

ZDATA = "N"

READY

INPUT(RENODE)

*** INPUT ***

X

ROH3

Z

N Z

X
G R1
X
E R2
X
COLUMNS
X
X1 E 3
X
X1 R1 3
X
X1 R2 4
X
EMP1 2MARKER2 4INTORG2
X
X2 E 2
X
X2 R1 6
X
X2 R2 2
X
TERM1 2MARKER2 4INTEND2
X
EMP2 2MARKER2 4INVORG2
X
X3 E -6
X
X3 R2 -5
X
TERM2 2MARKER2 4INVEND2
X

RHS

%
B R1 9

%
B R2 19

%
RANGES

%

%
R R1 11

%
BOUNDS

%

UP 5 X2 5

%

LO 4 X2 3

%

ENDATA

OLD ENTRY N DELETED ON ZPROF (OR ZSOLF)

NEW ENTRY N ENTERED ON ZPROF (OR ZSOLF)

85

READY

BCDOUT

*** BCDOUT ***

NAME N

ROWS

N 4

G R1

E R2

COLUMNS

X1	4	3.00000	R1	0.00000
X1	R2	4.00000		
EMP1	MARKER2		ZINTDRC2	
X2	2	2.00000	R1	6.00000
X2	R2	2.00000		
TERM1	MARKER2		ZINTERD2	
EMP2	MARKER2		ZIVCFG2	
X3	4	-6.00000	R2	-5.00000
TERM2	MARKER2		ZIVEND2	

RHS

B	R1	9.00000	R2	15.00000
---	----	---------	----	----------

RANGES

R	R1	11.00000
---	----	----------

BOUNDS

UP C	X2	5.00000
LO C	X2	3.00000

ENDATA

READY

ZBRY = "Z"

READY

ZRH> = "B"

READY

ZRN&T = "R"

READY

ZBN&T = "C"

READY

SETUP(MIN)

*** SETUP ***

READY

PRIMAL

*** PRIMAL ***

*** INVERT ***

PROBLEM INFEASIBLE

NUMBER OF INFESAS * 1

SUM OF INFESAS * -9.00000

ITER NO	SUM OF INF	NC INF	CUT	IN
1	-6.33333	1	2U	49

EXIT CONDITION: INFEASIBLE SOLUTION

NUMBER OF INF * 1

SUM OF INF * -6.33333

*** ZDUNES DEMAND SET ***

TCL COMMANDS MAY NOW BE ENTERED-ENTER 2RETURN2 TO RESUME AN ITERATIVE
PROCEDURE.

READY

MXINT

*** MXINT ***

MXINT BRANCH & BOUND

CONTINUOUS PROBLEM INFEASIBLE -- PRIMAL CALLED

*** PRIMAL ***

NUMBER OF INF = 1
SUM OF INF = -6433333

*** ZDUNFS DEMAND SET ***

TCL COMMANDS MAY NOW BE ENTERED=ENTER ZRETURN2 TO RESUME AN ITERATIVE
PROCEDURE:

READY

ZSOINM = "SOLUCION"

READY

OUTPUT(FILE)

--- OUTPUT ---

SOLUTION STATUS = INFEASIBLE

8

RHS SECTION

NAME	STAT	ACTIVITY	LOWER LIM	UPPER LIM	DUAL ACTIVITY
Z	BS	8,000	NONE	NONE	1,000
R1	UL	-20,000	9,000	20,000	-1,000
R2	++	8,667	12,000	15,000	*

COLUMNS SECTION

NAME	STAT	ACTIVITY	LOWER LIM	UPPER LIM	REDUCED COST
X1	BS	0,667	*	NONE	*
X2	LL	-3,000	3,000	5,000	-4,000
X3	LL	*	*	1,000	-6,000

NEW ENTRY SOLUCION ENTERED ON ZPROF (UR ZSOLF)

READY

:

EXIT

07700/66700 TERMINATED.

15783641 RTB03.1088AD

SECCION II.2

Los archivos más utilizados por el paquete TEMPO/MPS
ZALL son :

- 1/ ZPROF .- Este archivo almacena los problemas generados por INPUT , REVISE , SAVE en un formato binario empacado , por lo que BCDOUT es utilizado para obtener la información contenida en el archivo en imagen de tarjetas .
- 2/ ZSOLF .- Este archivo almacena la solución en un formato empacado , el cual en otra corrida puede ser -- impreso al utilizar SOLDOUT .
- 3/ DISKIN .- Este archivo es utilizado para leer de disco los datos de un problema , grabados en el formato -- especificado en la sección II , primero se le -- asigna el nombre de ZRHS , ZOBJ , ZDATA , ZNAME y en caso de que se utilice rangos y cotes . - ZRNGST , ZBNGST , que deben coincidir con los -- nombres utilizados en el archivo , el cual se -- lee con INPUT(DISK) , despues se utilizan las - instrucciones de procedimiento.

Cómo ejemplo considerese el problema de programación mixta de la sección anterior , el cual sera modificado usando el procedimiento REVISE . para resolver el problema siguiente:

$$\text{Min } Z = 2x_2 - 6x_3 - x_4$$

Sujeto a.

$$7 \leq 6x_2 - x_4 \leq 18$$

$$-x_2 + 3x_4 + 4x_3 \leq 15$$

$$x_2 \leq 666; 2 \leq x_4 \leq 8 ; x_2 , x_4 \in \mathbb{Z}$$

$$x_3 = 0 , 1$$

El procedimiento seguido fue el siguiente :

- 1/ Para que el problema original se grabara con su solución se declaró el archivo ZPROF y ZSOLF de la forma siguiente :
 - i/\$FILE ZPROF = PROBLEMA , con lo que los datos se --- grabarón en un archivo llamado problema .
 - ii/\$FILE ZSOLF = SOLUCION , con lo que la solución del problema quedó grabada en un archivo llamado solución y el nombre asignado a la solución dentro del archivo fue SOLUCIO , el que fue asignado a través de ZSOLNM.
- 2/ Para modificar el problema de la sección IIIC , se volvió a correr el paquete declarando ZPROF y ZSOLF con los mismos--- nombres en que se declaró la versión anterior y que resultó ser no factible , y lo que hizo fue lo siguiente :
 - a/ Listar los datos del problema original (el de programación mixta) con el procedimiento ECDDOUT .
 - b/ Asignar el nombre de la solución requerida que en este caso es SOLUCIO asignado en ZSOLNM y se lista lo que se tenía como solución con SGLOUT .
 - c/ Se modifica el problema con el procedimiento REVISE de la siguiente forma :
 - i/ Se modifica la segunda restricción de igual a menor o igual .
 - ii/ Se borra la columna x_1 .
 - iii/ Se inserta el vector x_4 después del vector x_2 para que x_4 sea una variable entera .
 - iv/ Se modifican los coeficientes de x_2 y x_3 en la - segunda restricción .
 - v/ Se modifica la restricción 1 .
 - vi/ Se modifican las variables acotadas .
 - vii/ Se lista lo hecho para verificar los cambios , se posteriormente se lista todo el problema .
 - d/ Se dan las instrucciones de procedimiento ya conocidas en las secciones anteriores de este capítulo .
- 3/ A continuación se da la secuencia seguida en las instrucciones , y posteriormente el listado con la ejecución en la terminal.

RUN#SERVICIO/MPS/ALL	(R)
ZPRINTER#.TRUE.	(R)
\$FILE ZPROF = PROBLEMA	(R)
\$FILE ZSOLF = SOLUCION	(R)
ZNAME = "N"	(R)
ZDATA = "N"	(R)
BCDOUT	(R)
ZSOLNM = "SOLUCION"	(R)
SOLDOUT	(R)
ZONAME = "N"	(R)
ZNAME = "N1"	(R)
REVISE(REMOTE)	(R)
ROWS	(R)
MODIFY	(R)
L R2	(R)
COLUMNS	(R)
DELETE	(R)
X1	(R)
AFTER X2	(R)
X4 Z -1	(R)
X4 R1 -1	(R)
X4 R2 3	(R)
MODIFY	(R)
X2 R2 -1	(R)
X3 R2 4	(R)
RHS	(R)
MODIFY	(R)
B R1 7	(R)
BOUNDS	(R)
MODIFY	(R)
UP C X4 8	(R)
LD C X4 2	(R)
UP C X2 666	(R)
LIST	(R)
ENDATA	(R)

ZCDOUT	(R)
ZNDST = "C"	(R)
ZRGST = "R"	(R)
ZOBJ = "Z"	(R)
ZRHS = "B"	(R)
SETUP(MIN)	(R)
PICTURE	(R)
TRANCOL	(R)
PRIMAL	(R)
MXINT	(R)
RANGE	(R)
OUTPUT(BASIS)	(R)
OUTPUT(INFEAS)	(R)
TRANCOL	(R)
TRANCOL(MATRIX)	(R)
TRANCOL(INVERSE)	(R)
OUTPUT	(R)
EXIT	(R)

786(00*126 CANDE 30*140) YOU ARE SCHED#001(102)

* DEFAULT PRINT DESTINATION*SITE

SEMINARIO PARK/MATH/UNIV TECLEE NEWS

*SESSION 3747 1515157 05/06/81

RUN*SERVICIO/MPS/ALL

PRINTING 3749

??

37700/86700-TENPC(20+600*000 - MARCH 77) 05/06/81 15:521 2

READY

*PRINTER=TRUE

READY

IFILE &PROF:= PROBLEMA

READY

SFILE &SOL:=ESCOLAON

READY

INAME = "NN"

READY

ODATA = "NN"

READY

ICOUNT

-- GOODOUT --

NAME

N

ONE

N Z

G R1

E R2

COLUMNS

X1	R1	3.00000	R1	3.00000
X1	R2	4.00000		
EMP1	ZMARKERZ		ZINTORGZ	
X2	R1	2.00000	R1	6.00000
X2	R2	2.00000		
TERM1	ZMARKERZ		ZINTECZ	
EMP2	ZMARKERZ		ZBIVORGZ	
X3	R1	-6.00000	R2	-5.00000
TERM2	ZMARKERZ		ZBIVENDZ	

RHS

B	R1	9.00000	R2	15.00000
---	----	---------	----	----------

RANGES

R	R1	11.00000
---	----	----------

BOUNDS

UP C	X2	5.00000
LO C	X2	3.00000

ENDATA

READY

ZSOLNM = "SOLUCION"

READY

SOLNU)

--- SOLUT ---

S O L U T

PROBLEM IDENTIFICATION

PROBLEM NAME = N

RANGE SET NAME = R
BOUND SET NAME = C
FUNCTIONAL NAME = Z
RESTRAINT NAME = B

SOLUTION STATUS = INFEASIBLE
ITERATION NUMBER = 1
FUNCTIONAL VALUE = 0.00000

ROWS SECTION

NAME	STAT	ACTIVITY	LOWER LIM	UPPER LIM	DUAL ACTIVITY
Z	BS	0.000	NONE	NONE	1.000
R1	UL	20.000	9.000	20.000	+1.000
R2	++	8.667	12.000	15.000	-

COLUMNS SECTION

NAME	STAT	ACTIVITY	LOWER LIM	UPPER LIM	REDUCED COST
x1	BS	0.667	*	NONE	-4
x2	LL	-3.000	3.000	-5.000	-4.000
x3	LL	*	*	1.000	-6.000

READY

ZNAME = "N"

READY

ZNAME = "N1"

READY

REVISE(RENODE)

*** REVISE ***

ONE

ODDITY

RK

OLYMPAS

ELITE

1

FTER X2

4 4 *1

4 n1 *1

4 n2 3

ODDITY

2 n2 *1

3 n2 4

HS

ODDITY

B R1 7
X
BOUNDS
X
MODIFY
X
UP L X4 6
X
LO L X4 2
X
UP L X2 666
X
LIST
NAME N
RHS
MODIFY
L R2 0
COLUMNS
DELETE
X1
ALTER X2
X4 2 -1
X4 R1 -1
X4 R2 0
MODIFY
X2 R2 -1
X3 R2 4
RHS
MODIFY
B R1 7
BOUNDS

HU DATA

UP C X4 E
LO C X4 2
UP C X2 666

ENDATA

X

ENDATA

REVISING N

IN N1 ACCORDING TO N

NEW ENTRY N1

ENTERED ON ZPROF (UR ZSOLF)

READY

BCDOUT

--- ECDOUT ---

NAME A

ROWS

N 2

G R1

L R2

COLUMNS

EMP1	ZHARBERZ	ZINTORGZ	
X2	Z	2.00000	R1
X2	R2	-1.00000	
X4	Z	-1.00000	R1
X4	R2	3.00000	

TEHM1 ZHARBERZ ZINTENDZ

EMR2 ZHARBERZ ZPJVORGZ

X3	Z	-6.00000	R2	4.00000
----	---	----------	----	---------

TEHM2 ZHARBERZ ZPTVENDZ

RHS	R1	7.00000	R2	15.00000
-----	----	---------	----	----------

RES
R
NDS
C
C X4
X4
11.00000
666.00000
8.00000
2.00000

ATA
DY
DST = "C"
DY
GST = "R"
DT
DZ = "Z"
DY
IS = "B"
DY
UP(NIN)

- SETUP ---

PROBLEM STATISTICS

	NUMBER	FREE	FIXED	BOUNDED	NORMAL
ROWS:	3	1	0	1	1
COLUMNS:	3	0	0	3	0

TRIX IN CORE : MEMORY ALLOCATION = 75 WORDS.
VERSE: MEMORY ALLOCATION = 456 WORDS. RECORD LENGTH = 225 WORDS.

NUMBER OF INTEGER VARIABLES = 3

ADY

CTURE

- PICTURE ---

INPUT FOR PICTURE WILL BE PRODUCED ON SYSTEM PRINTER ONLY.

700/7760 TEMPO
VERSION: 28.620.030

N1

PAGE 7

PART 1 OF 1
PAGE 1

X	X	X	B	RANGE	SCALE
2	4	2			

UPPER BOUND	LOWER BOUND	TYPE	SCALE	C A
7	1	A-1-C		1
E1	S	A-1-A	0	R1
E2	L	-1 A A B		R2

SYMBOL	SUMMARY OF MATRIX		COUNT INCL RHS
	RANGE	LESS THAN	
Z	.000001	1.0E0	.000001
Y	.000001	1.0E0	.000009
X	.000001	1.0E0	.000099
W	.000001	1.0E0	.000299
V	.000000	1.0E0	.000999
U	.000001	1.0E0	.009999
T	.000001	1.0E0	.099999
I	1.000000	1.0E0	.999999
A	1.000000	1.0E0	1.000000
B	1.000000	1.0E0	1.000000
C	1.000000	1.0E0	1.000000
D	1.000000	1.0E0	1.000000
E	1.000000	1.0E0	1.000000
F	1.000000	1.0E0	1.000000
G	GREATER	1.EAN	1.000+000.000000

MINIMUM = -6.000000 MAXIMUM = 15.000000

NO

READY
TRANCOL

--- TRANCO ---

OUTPUT FOR TRANCOL WILL BE PRODUCED ON SYSTEM PRINTER ONLY.

--- INVERT ---

CURRENT INVERSE : ETA RECORDS = 1. ETA VECTORS = 0. ELEMENTS = 0.
 CURRENT BASIS : EQUALITY = 0. SLACKS = 2. STRUCTURALS = 0. ELEMENTS = 0.
 FUNCTION VALUE = -2.000000 TRANCOL

TABLEAU

BOUND	X2 LOWER	X4 LOWER	X3 LOWER	B LOWER
1	-2.00000	-1.00000	-6.00000	-7.00000
2	-6.00000	1.00000	4.00000	15.00000
READY PRIMAL	-1.00000	1.00000	4.00000	15.00000

--- PRIMAL ---

ZOBJ = Z	ZPLUS = R	REDUCED COST	PIVOT INDEX	VECTOR OUT	VECTOR IN	FUNCTION VALUE
ITERATION NUMBER	SUM OF INFES	NUMBER MIG TO	-6.00000	2	2	-1.00000
TYPE NUMBER	INFES	MIG TO				
1	1	1				

SOLUTION FEASIBLE

CURRENT IN E : ETA RECORDS = 1. ELEMENTS = 4.
 CURRENT EAS : EQUALITY = 6. SLACKS = 1. ELEMENTS = 4.
 NEW INVERSE : FORWARD TRIANGULAR VECTORS = 1. ELEMENTS = 3.
 FUNCTION VALUE = 1.00000
 Z00J = 7 ZRHS = 8
 ITERATION NUMBER : SUM OF NUMBER REDUCED PIVOT VECTOR VECTOR FUNCTION
 TYPE NUMBER INFAS INFAS NEG SJ CUST INDEX OUT SJ IN SJ VALUE
 PB2 1 2 0 : 2 -6.00000 3 3 3 -5.63925
 1 3 0 : 2 -7.65667 3 3 3 -6.52941

EXIT CONDITIONS: OPTIMAL SOLUTION.

FUNCTION VALUE = -6.52941

READY
MXINIT

*** MXINIT ***

MXINIT BRANCH & BOUND

L
D

INTEGER SOLUTION

NODE ** 4 ** OPTIMIZED INTEGER NODE
 FIRST INTEGER SOLUTION OBJECTIVE = -6.0000
 CUTOFF NOW AT -6.00000 POSTPONE IT -6.0000
 ACTIVE INTEGER VARIABLES

NAME	NUMBER	ACTIVITY
1. X2	4	2.00
2. X4	5	4.00
3. X3	5	1.00

EXIT MXINIT ON INTEGER SOLUTION DEMAND

*** ZINTSOL DEMAND SET ***

TCL COMMANDS MAY NOW BE ENTERED-ENTER ?RETURN? TO RESUME AN ITERATIVE PROCEDURE.

READY

RANGE

*** RANGE ***

10

COLUMNS AT LIMIT LEVEL

COLUMN ST	ACTIVITY INPUT COST	LO LIMIT UP LIMIT	LO ACTIV UP ACTIV	UNIT COST	UP COST LC COST	LIMITING PROCESS	ST
x2 LL	-	-	-0.167	*2.000	INFINITY	R1	LL
	2,000	664,000	1,667	2,000	-	R1	UL
x4	4,000	2,000	*6,000	1,000	-	R1	LL

UL	*1,000	4,000	4,333	*1,000	INFINITY R2	UL
X3	1,000	*	INFINITY	6,000	*	NONE
UL	*6,000	1,000	1,250	*6,000	INFINITY R2	UL

ROWS AT INTERMEDIATE LEVEL

ROW	ACTIVITY	LO LIMIT	LO ACTIV	HIGH	LIMITING	
ST	SUR ACTIV	UP LIMIT	UP ACTIV	COST	PROCESS	ST
R1	5,000	7,000	8,000	INFINITY	NONE	
R5	*1,000	10,000	INFINITY	0.333 x2		UL
R2	14,000	NONE	*16,000	0.333 x4		UL
R5	1,000	15,000	14,000	INFINITY	NONE	

CDT

READY

OUTPUT(BASIS)

*** OUTPUT ***

SOLUTION STATUS : OPTIMAL

ROWS SECTION

1,2,5

NAME	STAT	DUALITY	LOWER LIM	UPPER LIM	DUAL ACTIVITY
Z	BS	*6,000	NONE	NONE	1,000

R1	BS	8,000	7,000	16,000	*
----	----	-------	-------	--------	---

R2	BS	14,000	NONE	15,000	*
----	----	--------	------	--------	---

COLUMNS SECTION

NAME STAT ACTIVITY LOWER LIM UPPER LIM REDUCED COST

READY

OUTPUT(INFEAS)

*** OUTPUT ***

SOLUTION STATUS: OPTIMAL

ROWS SECTION

NAME	STAT	ACTIVITY	LOWER LIM	UPPER LIM	DEAL ACTIVITY
Z	BS	-6,000	NONE	NONE	1,000
R1	BS	8,000	7,000	10,000	
R2	BS	14,000	NONE	15,000	

COLUMNS SECTION

NAME	STAT	ACTIVITY	LOWER LIM	UPPER LIM	REDUCED COST
x2	IV	2,000	*	666,000	12,000
x4	IV	-4,000	2,000	8,000	-1,000
x3	IV	1,000	*	-1,000	-6,000

READY

TRANCOL

*** TRANCOL ***

OUTPUT FOR TRANCOL WILL BE PRODUCED ON SYSTEM PRINTER ONLY

READY

TRANCOL(MATRIX)

*** TRANCOL ***

OUTPUT FOR TRANCOL WILL BE PRODUCED ON SYSTEM PRINTER ONLY

READY

TRANCUL(INVERSE)

*** TRANCO ***

OUTPUT FOR TRANCEL WILL BE PRODUCED ON SYSTEM PRINTER ONLY.

READY

OUTPUT

*** OUTPUT ***

SOLUTION STATUS == OPTIMAL

ROWS SECTION

	NAME	STAT	ACTIVITY	LOWER LIM	UPPER LIM	DUAL ACTIVITY
Z		BS	-6,000	NONE	NONE	1,000
R1		BS	6,000	7,000	18,000	
R2		BS	14,000	NONE	15,000	

COLUMNS SECTION

	NAME	STAT	ACTIVITY	LOWER LIM	UPPER LIM	REDUCED COST
x2		IV	2,000	*	666,000	2,000
x4		IV	4,000	2,000	8,000	-1,000
x3		IV	14,000	*	1,000	-6,000

READY

EXIT

87700/86700 TERMINATED,

NET=1109.2 PT=15.0 40=8.5

READY SESSION 8747 LT=1812.7 PT=15.0 40=8.5

USER = SF82 1515310 05/06/81

C A P I T U L O V

SPSS es un conjunto de algoritmos de análisis estadístico , diseñado para el análisis de datos de ciencias sociales (Statistical Package for the Social Sciences) el cual está constituido por los siguientes 18 análisis .

AGGREGATE	.- Agrega subpoblaciones estadísticas y las imprime en un archivo en disco .
ANOVA	.- Análisis de varianza .
BREAKDOWN	.- Descripción de subpoblaciones y prueba de linealidad .
CANCORR	.- Análisis de correlación canónica .
CONDESCRIPTIVE	.- Estadísticas básicas .
CROSSTABS	.- Tablas cruzadas .
DISCRIMINANT	.- Análisis discriminante .
FACTOR	.- Análisis factorial .
FREQUENCIES	.- Tablas de frecuencias .
GUTTMAN SCALE	.- Análisis de escalograma .
NONPAR CORR	.- Correlación spearman o kendall .
ONEWAY	.- Análisis de varianza one-way .
PARTIAL CORR	.- Cálculo de coeficientes de correlación parcial .
PEARSON CORR	.- Coeficiente de correlación de pearson .
REGRESSION	.- Regresión lineal múltiple .
SCATTERGRAM	.- Graficas de parejas de datos .
T-TEST	.- Prueba t-student .
WRITE CASES	.- Para escribir algunas o todas las variables en un archivo en disco o cinta en formato bcd (formato de fortrán) .

SECCION V

En esta sección se indicara el procedimiento para el acceso a los análisis del paquete SPSS . A continuación se muestran unas de las instrucciones utilizadas por el paquete - de las cuales se considerara que las que se encuentran subrayadas serán necesarias y las demás opcionales , y su formato es:

<u>I</u>	16
<u>RUN NAME</u>	Ejemplo del uso de SPSS Nombre asignado a la corrida .
<u>FILE NAME</u>	LECTURA , archivo con la información Nombre de archivo y su etiqueta .
<u>VARIABLE LIST</u>	Lista de variables (nombre de las variables a lo más de ocho caracteres) <u>i/</u> Los nombres de las variables separados por comas , por ejemplo VAR1,VAR2,VAR3,VAR4,VAR5 y se considerán 5 variables . <u>ii/</u> VAR1 TO VAR10 indica que se considera un conjunto de variables en donde la primer -- variable se llama VAR1 y la última VAR10 .
<u>INPUT MEDIUM</u>	CARD si el archivo de datos está en tarjetas. DISK si está en disco . TAPE si se encuentra en cinta .
<u>SUBFILE LIST</u>	Lista de subarchivos (a lo más 100) SUBF1(19),SUBF2(24),SUBF3(37) Se considera que el archivo está constituido por tres subarchivos y el primer subarchivo consta de 19 casos , el segundo de 24 y el - tercer de 37 .
<u>INPUT FORMAT</u>	Formato en que se encuentran los datos . <u>i/</u> FREEFIELD indica que están en formato libre es decir separados por comas . <u>ii/</u> FIXED(formato de los datos BCD) , note que se indica el formato utilizado en fortrán.
<u>N OF CASES</u>	Número de casos <u>i/</u> n entero indicando el número de casos . <u>ii/</u> UNKNOWN cuando se desconoce el número de casos.

1	16
MISSING VALUES	VARI TO VAR10 (3), se considera en el conjunto de variables que cuando toman el valor de 3 - se tratan como valores perdidos .
VAR LABELS	Lista de variables con sus etiquetas . . . como por ejemplo las siguientes : VARI NIVEL ECONOMICO/VAR2 INDICADOR/ VAR10 ETIQUETADO/
VALUE LABELS	Lista de variables con sus valores etiquetados. como por ejemplo : VARI (5) ocasional (6) otro/ VAR3 (2) nada /
PRINT FORMATS	Lista de variables . VARI(4) / VAR4(A) , en VARI se indica se usen en la impresión 4 dígitos decimales , y VAR4 se imprima como variable alfanumérica , en el caso de impresión de dígitos decimales se usan a lo más cinco .
RECODE	
SELECT IF	Sólo utilizados para modificar variables , calcular nuevas variables , seleccionar variables , las que quedan en el SAVE/FILE .
IF	
COMPUTE	
*RECODE	
*SELECT IF	Similar a los anteriores pero no quedan en el SAVE/FILE .
*IF	
*COMPUTE	
DO REPEAT . . . END REPEAT	Repite transformaciones de datos sobre un conjunto de variables , utilizando las instrucciones anteriores .
RUN SUBFILES	ALL , todos los subarchivos son tratados como un solo archivo . EACH , cada subarchivo es tratado independientemente de los demás .

1	16
TASK NAME	TITULO
	este título aparecerá al principio de cada corrida hasta encontrar otro task name .
ASSIGN MISSING	Asignación de valores faltantes a nuevas variables .
COMMENT	Para comentar el programa spss no queda en el save-file .
DOCUMENT	Similar al anterior y si queda en el save-file .

Nombre de algún procedimiento (ver págs. 555-561 del manual)

ANOVA , FACTOR , etc .

OPTIONS Números de las opciones requeridas .

STATISTICS ALL y se dan todas las estadísticas o bien los números de las estadísticas requeridas .

READ INPUT DATA

: Datos en el caso de tarjetas

Nombre de algún procedimiento (pueden seguir varios procedimientos o bien ninguno)

SAVE FILE Para terminar la corrida SPSS , y que quede

FINISH en el save-file todo el archivo .

Otro conjunto de instrucciones utilizadas frecuentemente por SPSS son las siguientes :

EDIT Se utiliza para verificar si las instrucciones están correctas en su sintaxis (es la primera tarjeta si se utiliza)

PAGESIZE Un número entero indicando el número de líneas que se imprimirán por hoja o NOEJECT para -- impresión continua .

PRINT BACK NO y suprime la impresión de las tarjetas de control , también es utilizada para el control de formato .

	16
LIST FILEINFO	COMPLETE , lista información de la definición del archivo .
NUMBERED	YES y lee solo hasta la columna 72 , de la 73-80 se puede usar para numerar las tarjetas.
LIST CASES	CASES - n/VARIABLES - lista de variables o ALL / y se listan los primeros n casos de - cada variable .
WRITE CASES	Genera un deck de tarjetas .
WRITE FILEINFO	Genera un bloque de tarjetas con la definición del archivo .
ADD VARIABLES	Lista de variables que se van a añadir en un archivo .
ADD DATA LIST	Formato de las variables que se van a añadir.
ADD CASES	Número de casos que se añaden al archivo del sistema .
ADD SUBFILES	Añade nuevos subarchivos al sistema .
DELETE SUBFILES	Para borrar subarchivos .
DELETE VARS	Lista de variables que no quedarán en el -- save-file .
KEEP VARS	Lista de variables que se conservarán en el archivo del sistema .
MERGE FILES	Para intercalar archivos .
SORT FILES	Para ordenar casos .
RAW OUTPUT UNIT	n número entero indicando la unidad asignada .

SECCION V.I

b/ Análisis de regresión .

El procedimiento regression es utilizado para ajustar modelos de regresión lineal simple y multiple , consta de 15 opciones y 7 estadísticas .

OPCIONES :

- 1.- Incluir valores faltantes en el cálculo de coeficientes de correlación .
- 2.- Eliminación de datos faltantes en forma de parejas.
- 3.- Suprimir la impresión de las etiquetas de las variables .
- 4.- La matriz de correlación sera dada por el usuario.
- 5.- Medias y desviaciones estándard serán dadas por el usuario , precediendo a la matriz de correlación , (se usa cuando se use la opción 4)
- 6.- Suprimir la impresión step-by-step y solo el resumen de la tabla de regresión se imprime .
- 7.- Suprimir el resumen y solo el step-by-step se imprime.
- 8.- La matriz de correlación o matrices utilizados en los calculos serán impresas en una unidad , la que es especificada en RAW OUTPUT UNIT por el usuario.
- 9.- La matriz de correlación es indexada por la lista de variables (no se puede usar sin la opción 4) .
- 10.- Ocaciona se secuencie la información de la columna 1 a la 20 de cada registro sobre el raw-output-data file .
- 11.- y 12.- Los residuales estandarizados se grabarán en una unidad especificada por el usuario sobre el raw-output-data file .
- 13.- Predicciones estandarizadas , las cuales son un - producto pesado de los datos existentes .
- 14.- Suprimir la impresión de ejes sobre las gráficas de predicciones estandarizadas contra residuales estandarizados .
- 15.- Imprimir medias y desviaciones estándard en el -- raw-output-data file especificado por el usuario.

1 16
REGRESSION VARIABLES = V1,V2/
REGRESSION = V1 WITH V2(1)/
STATISTICS ALL
READ INPUT DATA
FINISH

La forma de ejecutar este problema es la siguiente :

RUNXSERVICE/SPSS6;FILE FILE6(REMOTE),% (R)
FILE5(KIND=DISK,TITLE=REGRESION),% (R)
FILE8(KIND=DISK,TITLE=DATOSR) (R)

Por lo que en las páginas siguientes se muestran los resultados de la ejecución .

STATED FOR THE BURROUGHS 66700 BY THE
SOCIAL SCIENCE DATA SERVICE
UNIVERSITY OF CALIFORNIA, DAVIS

DEFAULT WORKSPACE FOR THIS RUN IS 20000 WORDS

N NAME REGRESION LINEAL MULTIELEV
LE NAME INFORMACION A AJUSTAR EN MODELO LINEAL
COMMENT
COMMENT A CONTINUACION LA LISTA DE VARIABLES
VARIABLE LIST V1,V2
COMMENT SE ACCESA POR TARJETAS ES CARD
COMMENT EN DISCO DISK & EN CINTA TAPE
INPUT PECILP DISK
COMMENT
COMMENT LOS DATOS ESTAN EN FORMATO LIBRE
INPUT ECHMAT FREEFIELD
COMMENT EL NUMERO DE CASOS ES TALE
COMMENT DF CASES 11
COMMENT UTILIZAMOS LAS VARIABLES V1 COMO Y & V2 COMO X
VAR LABELS V1 Y/V2 X/
COMMENT COMMENT UTILIZAMOS EL PROCEDIMIENTO DE REGRESION
COMMENT
REGRESSION VARIABLES = V1,V2/
REGRESSION = V1 WITH V2(1)/
STATISTICS ALL

***** REGRESSION PROBLEM REQUIRES 24 WORDS OF WORKSPACE, NOT INCLUDING RESIDUALS *****

READ INPUT DATA
END OF DATA INPUT, READ COUNT = 11, DATA FRMCH COUNT = 0.

REGRESION LINEAL MULTIPLE

06/02/81

PAGE

LE INFOPAC (CREATION DATE = 06/02/81) A ADJUSTARLE UN MODELO LINEAL

VARIABLE	MEAN	STANDARD DEV	CASES
	17.8182	5.8621	11
	19.2697	5.9991	11

REGRESION LINEAL MULTIPLE

06/02/81

PAGE .3

LE INFLUENCIA (CREACION DATE = 06/02/81) A ADJUSTAR EL MODELO LINEAL

RELATION COEFFICIENTS

VALUE OF 99.00000 IS PRINTED.
A COEFFICIENT CANNOT BE COMPUTED.

V1	V2
1.00000	0.99840
0.99840	1.00000

REGRESION LINEAL MULTIPLE

LE INCHESAC (CREATION DATE = 06/02/81) A ADJUSTABLE LR MODEL LINEAL MULTIPLE REG
 DEPENDENT VARIABLE: Y1 Y2 X

VARIABLE(S) ENTERED OR STEM NUMBER 1.. Y2 X

MULTIPLE R	0.99840	ANALYSIS OF VARIANCE
R-SQUARE	0.99679	REGRESSION
ADJUSTED R-SQUARE	0.99844	RESIDUAL
STANDARD ERROR R	0.34559	

***** VARIABLES IN THE EQUATION *****

VARIABLE	B	BETA	STD ERROR B	F
Y2 (CONSTANT)	-9.97598	0.99840	0.01845	2797.148

MAXIMUM STEP REACHED

06/02/81 PAGE 4

REAL

REGRESION ***** REGRESION LIST

DF	SUM OF SQUARES	MEAN SQUARE	t
2	342.53424	342.53424	2797.14779
1	1.10233	1.10233	

***** VARIABLES ACT IN THE EQUATION *****

VARIABLE	BETA IN	PARTIAL	TOLERANCE	F
----------	---------	---------	-----------	---

REGRESSION ANALYSIS

C6/04/81

PAGE

ILE INTERFAC CREATION DATE = 06/02/813 A ADJUSTABLE LR MODELS LINEAR

***** MULTIPLE REGRESSION *****

DEPENDENT VARIABLE: Y

SUMMARY TABLES

MULTIPLE R R SQUARE RSC CHANGE SIMPLE R
0.99840 0.99679 0.99679 0.99840

10

VARIABLE

-2 CONSTANT)

REGRESIÓN LINEAL MÚLTIPLE

CE/04/81

fragile

DATA TRANSFORMATION DONE UP TO THIS POINT.

FINISH

SECCION IV.I

a/. Análisis De Regresión .

Conceptos del marco teórico utilizados .

$$1/ \text{Promedio muestral} = \bar{x} = \sum_{i=1}^n x_i / n$$

$$2/ \text{Desviación standard} = s = \sqrt{\sum_{i=1}^n (y_i - \bar{Y})^2 / (n - 1)}$$

$$3/ \text{Varianza} = \hat{V}^2 = s^2$$

$$4/ \text{Coeficiente de correlación muestral} = r_{x,y} =$$

$$= \left[\frac{\sum_{i=1}^n (x_i - \bar{x})(y_i - \bar{Y})}{\sqrt{\sum_{i=1}^n (x_i - \bar{x})^2} \sqrt{\sum_{i=1}^n (y_i - \bar{Y})^2}} \right]$$

i/ $r_{x,y} \rightarrow 1$ entonces $y = a + bx$; $b > 0$

ii/ $r_{x,y} \rightarrow -1$ entonces $y = a + bx$; $b < 0$

iii/ $r_{x,y} \rightarrow 0$ no indica que no están asociadas las variables , quiere decir que no están asociadas linealmente .

$$5/ \text{Coeficiente de determinación} = r_{x,y}^2$$

$$6/ \text{Covarianza} = \text{Cov}(x,y) = \sum_{i=1}^n (x_i - \bar{x})(y_i - \bar{Y}) / n$$

i/ $\text{Cov}(x,y) > 0$ entonces si x aumenta y aumenta
si x disminuye y disminuye .

ii/ $\text{Cov}(x,y) < 0$ entonces si x aumenta y disminuye
si x disminuye y aumenta ..

iii/ $\text{Cov}(x,y) = 0$ inconcluyente .

En estadística uno de los modelos lineales más utilizados es ; El Modelo De Regresión lineal multiple ,el cual es de la forma siguiente :

$$y_i = b_0 + b_1 x_{1i} + b_2 x_{2i} + \dots + b_r x_{ri} + e_i$$

Y que en forma matricial se representa por :

$$\begin{bmatrix} y_1 \\ \vdots \\ y_n \end{bmatrix} = \begin{bmatrix} 1 & x_{11} & \cdots & x_{1r} \\ \vdots & \vdots & & \vdots \\ 1 & x_{n1} & \cdots & x_{nr} \end{bmatrix} \begin{bmatrix} b_0 \\ b_1 \\ \vdots \\ b_r \end{bmatrix} + \begin{bmatrix} e_1 \\ \vdots \\ e_n \end{bmatrix}; \quad e_i \sim N(0, \sigma^2)$$

o también $Y = XB + E \quad ; \quad E \sim N(0, \sigma^2 I)$

En donde x_{ij} representa el j-esimo valor observado de las r variables , con el i-esimo valor de Y , y b_j es el parámetro que especifica cómo Y está relacionado con los x_j . La variable Y es conocida como la variable dependiente y las variables x. son conocidas como variables independientes , b_j es la derivada parcial $\partial Y / \partial x_j$ por lo que los b_j son conocidos como coeficientes de regresión parcial y indican el cambio en la variable dependiente Y asociado con una unidad de cambio en la correspondiente variable independiente (x_j) , mientras el resto de variables independientes permanecen constantes , b_0 es el valor de intercepción con el eje Y , cuando todos los x_j son cero .

Un caso particular es el modelo de regresión lineal simple que es de la forma:

$$\begin{bmatrix} y_1 \\ \vdots \\ y_n \end{bmatrix} = \begin{bmatrix} 1 & x_1 \\ \vdots & \vdots \\ 1 & x_n \end{bmatrix} \begin{bmatrix} b_0 \\ b_1 \end{bmatrix} + \begin{bmatrix} e_1 \\ \vdots \\ e_n \end{bmatrix}; \quad e_i \sim N(0, \sigma^2)$$

Considere el siguiente modelo el cual se resolverá utilizando el paquete :

$$\begin{bmatrix} 10 \\ 12 \\ 13 \\ \vdots \\ 18 \\ 21 \end{bmatrix} = \begin{bmatrix} 1 & 11.6 \\ 1 & 13.87 \\ 1 & 13.972 \\ \vdots & \vdots \\ 1 & 18.985 \\ 1 & 22.675 \end{bmatrix} \begin{bmatrix} b_0 \\ b_1 \end{bmatrix} + \begin{bmatrix} e_1 \\ e_2 \\ e_3 \\ \vdots \\ e_{10} \\ e_{11} \end{bmatrix}; \quad e_i \sim N(0, \sigma^2)$$

El modelo en forma matricial es de la forma siguiente:
 $Y = XB + E$; $E \sim N(0, \Sigma^2 I)$. El modelo de regresión lineal estimado es $\hat{Y} = X\hat{B}$, donde $\hat{Y} - Y$ es el vector de residuales, y la suma de cuadrados de los residuales es $\sum_{i=1}^n e_i^2 = (Y - \hat{Y})'(Y - \hat{Y})$, la cual cuando se minimiza con respecto a B produce el sistema de ecuaciones $(X'X)B = X'Y$, lo que es la forma equivalente de las ecuaciones normales en forma matricial. $X'X$ es simétrica y consiste del producto cruz de las variables x , $X'Y$ es el vector de los productos cruz xy . Al resolver el sistema se obtiene el estimador (\hat{B}).

$$\hat{B} = (X'X)^{-1}X'Y = \begin{bmatrix} b_0 \\ b_1 \end{bmatrix}$$

Ahora bien la información de que nos provee el paquete en la rutina de regresión lineal multiple (MULTR) es:

$$\bar{x} = 19.28 \quad \text{Promedio de las } x_i$$

$$s_x = 5.999 \quad \text{Desviación standard de las } x_i$$

$$\bar{y} = 17.81 \quad \text{Promedio de las } y_i$$

$$s_y = 5.862 \quad \text{Desviación standard de las } y_i$$

$$\text{Matriz normal } X'X = \begin{bmatrix} 11 & 212.13 \\ 212.13 & 4450.3 \end{bmatrix} \approx \begin{bmatrix} 1 & 19.28 \\ 0 & 359.8891 \end{bmatrix}.$$

Matriz de correlación

$$\begin{bmatrix} r_{xx} & r_{xy} \\ r_{yx} & r_{yy} \end{bmatrix} = \begin{bmatrix} 1 & .9984 \\ .9984 & 1 \end{bmatrix}$$

Opcionalmente se dan las inversas de la matriz normal y de la de correlación con OPTION INVERSE:

$$\hat{B} = (X'X)^{-1}X'Y = \begin{bmatrix} b_0 \\ b_1 \end{bmatrix} = \begin{bmatrix} -1.0007 \\ 0.9755 \end{bmatrix}$$

$$\text{Error standard estimado} = \sqrt{\frac{\sum_{i=1}^n (y_i - \hat{y}_i)^2}{(n - 2)}} = .34994$$

El modelo obtenido es: $y_i = -1.0007 + .9755x_i + e_i$

$$\text{Coeficiente de determinación} = \frac{\sum_{i=1}^n (y_i - \bar{Y})^2}{\sum_{i=1}^n (y_i - \bar{Y})^2 + \sum_{i=1}^n (y_i - \hat{y}_i)^2}$$

$$= .9967$$

$$\text{Coeficiente de correlación multiple} = R^2 = 1 - \frac{\sum_{i=1}^n (y_i - \hat{y}_i)^2}{\sum_{i=1}^n (y_i - \bar{Y})^2}$$

$$= .9984$$

La tabla de análisis de varianza es utilizada para la prueba de hipótesis, $H_0 : B = 0$ contra $H_a : B \neq 0$

TABLA DE ANALISIS DE VARIANZA

fuente de variación	grados de libertad	suma de cuadrados	cuadrado medio	F
Regresión	1	$SSR = \frac{\sum_{i=1}^n (x_i - \bar{X})(y_i - \bar{Y})^2}{\sum_{i=1}^n (x_i - \bar{X})^2}$ = 342.5342	$MSR = \frac{SSR}{1} = 342.53$	$\frac{MSR}{MSE} = 2797.14$
Residual	$n-2 = 9$	$SSE = SST - SSR = 1.1021$	$MSE = \frac{SSE}{n-2} = .1225$	
Total	$n-1 = 10$	$SST = \sum_{i=1}^n (y_i - \bar{Y})^2 = 343.6364$	— — —	

Regla: Si $F > F_{1,n-2}^{1-\alpha}$ (de tablas), rechazar H_0 , es decir si F es muy grande rechazamos la hipótesis H_0 , esto quiere decir que la explicación al modelo de nuestras variables es muy buena.

$F_{1,9}^{.01} = 5.12 < F$ significativa

$F_{1,9}^{.05} = 10.6 < F$ muy buena

Lo que quiere decir es que la prueba es altamente significativa.

En la tabla de residuales se tiene, observación i , y_i observación real, $\hat{y}_i = b_0 + b_1 x_i$ observación estimada, $y_i - \hat{y}_i$ residuales.

Por ultimo tenemos la estadística d Durbin-Watson que es la base para probar autocorrelación en análisis de regresión. La prueba se basa sobre la excepción de que los errores constituyen una serie recursiva de primer orden.

$$u_i = \rho u_{i-1} + e_i \quad \dots (a) \quad | \rho | < 1$$

$$e_i \sim N(0, \sigma^2) ; \quad E \sim N(0, \sigma^2 I)$$

En otras palabras el residual para el periodo t es una función del residual del periodo previo ($t-1$) más un error aleatorio, la existencia de un modelo recursivo se puede detectar por un análisis de los residuales del modelo, al utilizar la estadística d Durbin Watson.

$$d = \frac{\sum_{i=2}^n (e_i - e_{i-1})^2}{\sum_{i=1}^n e_i^2} = 1.80735$$

Para probar la hipótesis nula $H_0 : \rho = 0$ contra la alternativa $H_a : \rho \neq 0$; note que cuando $\rho = 0$ en (a) los u 's son no correlacionados, el parámetro ρ se puede estimar por r .

$$\rho = r = \frac{\sum_{i=2}^n e_i e_{i-1}}{\sum_{i=1}^n e_i^2}$$

Donde existe una relación de aproximación entre d y r , $d \approx 2(1-r)$ d toma valores entre cero y cuatro, cuando $d \rightarrow 2$ es cuando $\rho = 0$ y $d \rightarrow 4$ cuando $\rho = 1$, al hacer tender el valor muestral d a 2 se afirma la evidencia de que no se tiene autocorrelación en el error, una evidencia de autocorrelación es indicada por la desviación de d de 2, la prueba formal para autocorrelación opera de la siguiente forma:

i/ Si $d < d_L$; rechazar $H_0 : \rho = 0$

ii/ Si $d > d_U$; no rechazar $H_0 : \rho = 0$

iii/ Si $d_L < d < d_U$; no decidir

SECCION V.1

b/ Estadísticas básicas .

El procedimiento condescriptive es utilizado para obtener estadísticas básicas , consta de 4 opciones y 9 estadísticas .

OPCIONES :

- 1.- Incluir todos los casos a excepción de los declarados faltantes .
- 2.- Suprimir impresión de las etiquetas de las variables.
- 3.- Imprimir valores estandarizados (debe indicarse la unidad en RAW OUTPUT UNIT , que debe ser de 15 a - 20 , y se asigna título , maxrecsize , kind , etc. por omisión es cinta,tane y maxrecsize 22) .
- 4.- Imprime un diccionario en forma alfabética de las variables utilizadas .

ESTADISTICAS :

- | | |
|---------------------------|---------------------|
| 1.- Media . | 8.- Simetría . |
| 2.- Error estándard . | 9.- Rango . |
| 5.- Desviación estándard. | 10.- Valor mínimo . |
| 6.- Varianza . | 11.- Valor máximo . |
| 7.- Curtosis . | |

En este caso el problema se ejecutara de la siguiente forma :

```
RUN#SERVICIO/SPSS6;FILE FILE6(REMOTE);% (R)
FILE FILE5(DISK,TITLE=PROGSPSS);% (R)
FILE FILE8(DISK,TITLE=DATOSSPSS);% (R)
FILE FILE4(DISK,TITLE=ESTADISTICA) (R)
```

Se considero que el programa SPSS se encontraba en disco con el nombre PROGSPSS , y los datos también se tenían en disco con el nombre DATOSSPSS , y se utilizo la instrucción - SAVE FILE para almacenar el programa spss y los datos en disco con el nombre ESTADISTICA para posteriormente accesarlo sin tener que generarlo de nuevo .

1 16

PRINT FORMATS	V8,V9(4)
RUN SUBFILES	ALL
TASK NAME	ESTADISTICAS BASICAS
COMMENT	
COMMENT	SE UTILIZARA EL PROCEDIMIENTO CONDESCRIPTIVE
COMMENT	
CONDESCRIPTIVE	V2 TO V8
OPTIONS	1,4
STATISTICS	ALL
READ INPUT DATA	
SAVE FILE	
FINISH	

En las páginas siguientes se muestra la ejecución .

DISTRIBUTED FOR THE BURROUGHS B6700 BY THE
 IAL SCIENTIFIC DATA SERVICE
 UNIVERSITY OF CALIFORNIA, DAVIS
 DEFAULT WORKSPACE FOR THIS RUN = 20000 WORDS
 NAME ESTADISTICAS BASICAS
 NAME ESTADISTICA ARCHIVO CON LA INFORMACION
 KENT ESTE ARCHIVO SERA ALMACENADO EN UN ARCHIVO
 KENT QUE SE LLAMA ESTADISTICA PARA DESPUES ACCESARLO
 KENT CON UN PROCEDIMIENTO DE SPSS
 TABLE LIST V1 TO V4,V8,V9
 LIST FILE DISK
 KENT SE UTILIZARAN TRES SUBARCHIVOS EN ESTA CORRIDA
 FILE LIS) SUBA(15),SUBB(15),SUBC(15)
 KENT EL PRIMER SUBARCHIVO CONSTA DE 15 CASOS
 KENT EL SEGUNDO DE 15 CASOS Y EL TERCERO DE 13 CASOS
 OUT FORMAT FREEFIELD
 LABELS V1 ZONA ASIGNADA/V2 NIVEL/V3 PESO ASIGNADO/
 V4 CANTIDAD DE COPIAS/V5 VOLUMEN DE PREDECION/
 V6 CREDITOS/
 KENT KENT
 KENT SE ETIQUETAN VALORES EN LAS VARIABLES
 KENT V1 (0) NO TUVO (1)PENDIENTE/
 KNT V2 (0) SENGUE (1) IGUAL (0)ESOT
 KENT KNT
 KNT LAS VARIABLES V6 Y V9 SE IMPRIMIRAN CON 4 DECIMALES
 INT FILES ALL
 KNT SUBFILES ESTADISTICAS BASICAS
 KNT KNT
 KNT SE UTILIZARA EL PROCEDIMIENTO CON DESCRIPTIVE
 INC DESCRIPTIVE V2 TO V8

JERARQUIA DE ESTADISTICAS BASICAS
 ESTADISTICAS BASICAS
 TIONS 1,4
 STATISTICS ALL
 EACH INPUT DATA
 END OF DATA INPUT*, READ COUNT = 13 DATA ERROR COUNT = 0.

ARIABLE V2 NIVEL

MEAN	7.349	STD ERROR	1.088	STD DEV	7.134
VARIANCE	50.899	KURTOSIS	16.202	SKEWNESS	3.234
RANGE	34.000	MINIMUM	2.000	MAXIMUM	36.000

ALID OBSERVATIONS = 43 MISSING OBSERVATIONS = 0

ARIABLE V3 PESO ASIGNADO

MEAN	73.465	STD ERROR	4.749	STD DEV	31.140
VARIANCE	969.083	KURTOSIS	45.864	SKEWNESS	15.006
RANGE	118.000	MINIMUM	-95.000	MAXIMUM	15.000

ALID OBSERVATIANS = 43 MISSING OBSERVATIONS = 0

ARIABLE V4 CANTIDAD DE COMPRA

MEAN	7.140	STD ERROR	0.470	STD DEV	3.083
VARIANCE	9.504	KURTOSIS	5.243	SKEWNESS	1.819
RANGE	16.000	MINIMUM	2.000	MAXIMUM	16.000

ALID OBSERVATIANS = 43 MISSING OBSERVATIONS = 0

ARIABLE V5 VOLVER DE PRODUCCION

MEAN	7.372	STD ERROR	0.494	STD DEV	3.237
VARIANCE	10.477	KURTOSIS	6.569	SKEWNESS	2.035
RANGE	18.000	MINIMUM	3.000	MAXIMUM	21.000

ALID OBSERVATIANS = 43 MISSING OBSERVATIONS = 0